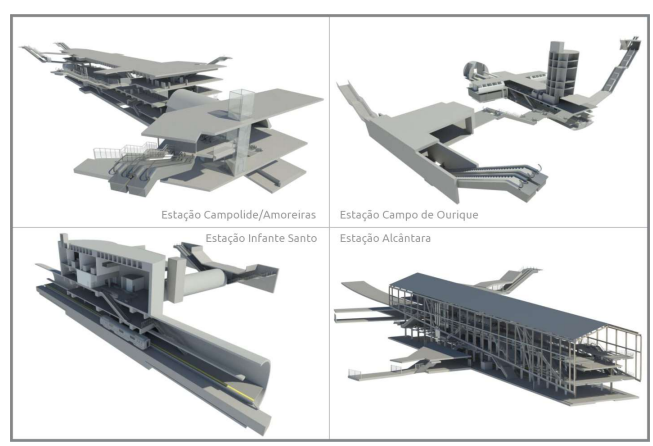
# **METRO DE LISBOA**

# PROLONGAMENTO DA LINHA VERMELHA ENTRE SÃO SEBASTIÃO E ALCÂNTARA EMPREITADA DE CONCEÇÃO E CONSTRUÇÃO

PROJETO DE EXECUÇÃO



TOMO 1 VOLUME 17 - INTERFERÊNCIAS AO LONGO DA LINHA MEMÓRIA DESCRITIVA E JUSTIFICATIVA

LVSSA MSA PE INT 000 000 MD 080001 0	Documento SAP:	LVSSA MSA PE INT 000 000 MD 080001 0
--------------------------------------	----------------	--------------------------------------

	Nome	Assinatura	Data
Elaborado	Francisco Bernardo Martim Teixeira		2024-10-03
Revisto	Sandra Ferreira		2024-10-03
Verificado	Rui Rodrigues		2024-10-03
Coordenador Projeto	Rui Rodrigues		2024-10-03

	Nome	Assinatura	Data
Gestor Projeto	Raúl Pistone		2024-10-03









### Registo e Controlo de Alterações

Revisão	Data	Descrição
0	2024-10-03	Emissão inicial





### **ÍNDICE**

1	EN	QUADRAMENTO	12
2	ΑV	'ALIAÇÃO DE DANOS	14
2.1	_	Enquadramento	14
2.2	2	Metodologia de avaliação de assentamentos	15
2.2	2.1	Escavações subterrâneas	15
2.2	2.2	Escavações a céu aberto	20
2.3	3	Metodologia de avaliação de danos em edifícios	21
2.4	ļ	Critérios de avaliação de danos em edifícios classificados	23
2.5	;	Critérios de avaliação de danos em infraestruturas ferroviárias	24
2.6	5	Fichas de avaliação de danos	25
3	ES <sup>-</sup>	TADO DO PATRIMÓNIO EDIFICADO	26
4		RACTERIZAÇÃO DE INTERFERÊNCIAS E DESCRIÇÃO DOS TRABALHOS A REALIZAR NA S NA DE INFLUÊNCIA	
4.1		Atravessamentos do Aqueduto das Águas Livres	28
4.1	1	Caracterização	28
4.1	2	Trabalhos previstos na zona de influência	29
4.2	<u>.</u>	Palácio Anadia	36
4.2	2.1	Caracterização	36
4.2	2.2	Trabalhos previstos na zona de influência	37
4.3	3	Cisterna do Aqueduto das Águas Livres	38
4.3	3.1	Caracterização	38
4.3	3.2	Trabalhos previstos na zona de influência	38
4.4	ļ	Edifício da Panificação Mecânica	39
4.4	1.1	Caracterização	39
4.4	1.2	Trabalhos previstos na zona de influência	39
4.5	<u>,</u>	Núcleo de génese pombalina e Complexo do Quartel de Campo de Ourique	40
4.5	5.1	Caracterização	40
4.5	5.2	Trabalhos previstos na zona de influência	41
4.6	<u>;</u>	Cemitério Alemão	42
4.6	5.1	Caracterização	42
4.6	5.2	Trabalhos previstos na zona de influência	43





4.7	Conjunto do Palácio das Necessidades	. 44
4.7.1	Caracterização	. 44
4.7.2	Trabalhos previstos na zona de influência	. 47
4.8	Baluarte do Livramento	. 48
4.8.1	Caracterização	. 48
4.8.2	Trabalhos previstos na zona de influência	. 49
4.9	Via ferroviária (Ligação Alcântara-Terra ao Porto de Lisboa)	. 49
4.9.1	Caracterização	. 49
4.9.2	Trabalhos previstos na zona de influência	. 52
4.10	Caneiro de Alcântara	. 52
4.10.1	Caracterização	. 52
4.10.2	Trabalhos previstos na zona de influência	. 54
4.11	Palácio Fiúza	. 54
4.11.1	Caracterização	. 54
4.11.2	Trabalhos previstos na zona de influência	. 55
4.12	Pilares do viaduto de acesso à Ponte 25 de Abril	. 56
4.12.1	Caracterização	. 56
4.12.2	Trabalhos previstos na zona de influência	. 63
5 VIB	RAÇÕES CAUSADAS PELAS ACTIVIDADES DE CONSTRUÇÃO	66
6 ME	DIDAS DE MITIGAÇÃO E DE OBSERVAÇÃO DE ASSENTAMENTOS EM INTERFERÊNCIAS	71
7 RES	SULTADOS DA AVALIAÇÃO DE DANOS EM INTERFERÊNCIAS	72
7.1	Atravessamentos do Aqueduto das Águas Livres	. 72
7.1.1	Deslocamentos e gradientes máximos estimados	. 73
7.1.2	Medidas de mitigação previstas	. 82
7.2	Palácio Anadia	. 84
7.2.1	Categoria de dano, deslocamentos e gradientes máximos estimados	. 84
7.2.2	Medidas de mitigação previstas	. 85
7.3	Cisterna do Aqueduto das Águas Livres	. 87
7.3.1	Deslocamentos e gradientes máximos estimados	. 87
7.3.2	Medidas de mitigação previstas	. 88
7.4	Edifício da Panificação Mecânica	. 89
7.4.1	Categoria de dano, deslocamentos e gradientes máximos estimados	. 89
7.4.2	Medidas de mitigação previstas	. 91





7.5	Complexo do Quartel de Campo de Ourique	92
7.5.1	Categoria de dano, deslocamentos e gradientes máximos estimados	93
7.5.2	Medidas de mitigação previstas	102
7.6	Cemitério Alemão	103
7.6.1	Deslocamentos e gradientes máximos estimados	103
7.6.2	Medidas de mitigação previstas	104
7.7	Conjunto do Palácio das Necessidades	105
7.7.1	Edifícios - Categoria de dano, deslocamentos e gradientes máximos estimados	105
7.7.2	Medidas de mitigação previstas	109
7.7.3	Chafariz e adutor - Deslocamentos e gradientes máximos estimados	110
7.7.4	Medidas de mitigação previstas	112
7.8	Baluarte do Livramento	113
7.8.1	Deslocamentos e gradientes máximos estimados	113
7.8.2	Medidas de mitigação previstas	113
7.9	Via ferroviária (Ligação Alcântara-Terra ao Porto de Lisboa)	114
7.9.1	Deslocamentos e gradientes máximos estimados	114
7.9.2	Medidas de mitigação previstas	118
7.10	Caneiro de Alcântara	118
7.10.1	1 Deslocamentos e gradientes máximos estimados	118
7.10.2	2 Medidas de mitigação previstas	119
7.11	Palácio Fiúza	120
7.11.1	1 Categoria de dano, deslocamentos e gradientes máximos estimados	120
7.11.2	2 Medidas de mitigação previstas	122
7.12	Pilares do viaduto de acesso à Ponte 25 de Abril	122
7.12.1	Deslocamentos e gradientes máximos estimados	122
7.12.2	2 Medidas de mitigação previstas	126

ANEXO I – FICHAS DE AVALIAÇÃO DE DANOS ANEXO II – RELATÓRIOS DE INSPEÇÃO





### ÍNDICE DE TABELAS

Tabela 1 – Valores da deformação de tração limite em função da categoria de dano	
e Cording, 1989) Tabela 2 – Valores de deformação de tração limite em função da categoria de dar	
1995)	
Tabela 3 – Fator de agravamento da categoria de dano para edifícios classificados	
Tabela 4 – Limites de alerta e de alarme para vias ferroviárias	
Tabela 5 – Características dos pilares	
Tabela 6 – Características dos tramos do tabuleiro	
Tabela 7 – Valores limite recomendados para a velocidade de pico em mm/s	
Tabela 8 - Resumo dos resultados da avaliação de danos em interferências	
ÍNDICE DE FIGURAS	
Figura 1 - Metodologia de avaliação de danos em Interferências	
Figura 2 – Curvas empíricas utilizadas para a obtenção de assentamentos induzido	•
Figura 3 - Localização da secção 3+130 (1/2)	
Figura 4 - Localização da secção 3+130 (2/2)	
Figura 5 – Malha do modelo numérico tridimensional	
Figura 6 — Modelo numérico com inclusão dos elementos do suporte primário	
escavação e sobrecargas de superfície	
Figura 7 – Suporte Tipo D	
Figura 8 – Localização do plano A-A de onde se extraem os deslocamentos máximo	
Figura 9 – Deslocamentos totais no plano A-A	
Figura 10 – Ajuste da curva de Gauss aos deslocamentos obtidos através do MEF 31	
Figura 11 – Curvas empíricas utilizadas para a obtenção de assentamentos ir	
escavações a céu aberto	•
Figura 12 – Vista do interior da interferência 13	28
Figura 13 – Vista do interior da Interferência 54	28
Figura 14 – Localização das interferências 13 e 16 (Planta)	29
Figura 15 – Localização das interferências 13 e 16 (Perfil)	29
Figura 16 - interferência 13 (corte)	30
Figura 17 - Interferência 16 (corte)	30
Figura 18 - Localização da interferência 54	
Figura 19 - Interferência 54 (considerando a alteração altimétrica do traçado)	31
Figura 20 – Localização das interferências 58, 60 e 69	
Figura 21 – Localização da interferência 102	
Figura 22 - Localização da interferência 130	32
Figura 23 - Localização da interferência 266 e 1007	33
Figura 24 - Localização da interferência 327	
Figura 25 - Interferência 327 (considerando a alteração altimétrica do traçado)	34





Figura 26 - Localização da interferência 375	. 34
Figura 27 - Interferência 375 (considerando a alteração altimétrica do traçado)	. 35
Figura 28 - Palácio Anadia, vista em planta	. 36
Figura 29 - Palácio Anadia, vista aérea	. 36
Figura 30 - Palácio Anadia, fachada principal	. 37
Figura 31 – Localização da interferência 58 (Cisterna do Aqueduto das Águas Livres)	. 38
Figura 32 - Panificação Mecânica, fachada	
Figura 33 - Panificação Mecânica, vista interior	. 39
Figura 34 –Complexo do Quartel de Campo de Ourique, vista em planta	. 40
Figura 35 – Complexo do Quartel de Campo de Ourique, vista aérea	
Figura 36 - Fachada lateral do Quartel de Campo de Ourique	
Figura 37 - Sobreposição do Cemitério Alemão com o traçado do túnel - 83º troço do ML, v	
em planta.	
Figura 38 - Cemitério Alemão, vista aérea	
Figura 39 - Cemitério Alemão, vista interior	
Figura 40 - Palácio das Necessidades, fachada principal	
Figura 41 - Chafariz das Necessidades, Jardim das Necessidades	
Figura 42 - Delimitação do Conjunto do Palácio das Necessidades (retirado do Atlas	
Património Classificado e em Vias de Classificação)	
Figura 43 - Sobreposição do Conjunto do Palácio das Necessidades com o traçado do túne	
Via	
Figura 44 - Sobreposição do Miradouro das Necessidades com o traçado do túnel de via	
Figura 45 - Atlas da carta topográfica nº47, 1857 de Filipe Folque in A.M.L	
Figure 47 - Estação do Alcântera Torra em 1997	
Figure 48 - Estação de Alcântara-Terra em 1887	
Figura 48 - Troço Linha Férrea afetada	
Figura 49 - Proximidade dos pilares P3 e P4 com a linha férrea nas imediações da esta	
Alcântara-Terra	
Figura 50 – Traçado e bacia do Caneiro de Alcântara – cadastro digital da rede pública	
saneamento de Lisboa (Departamento de Saneamento CML)	
Figura 51 - Planta com sobreposição do alinhamento do Caneiro de Alcântara com a localiza	
das fundações do viaduto da Linha Vermelha	
Figura 52 - Secção nº5	
Figura 53 – Fotografia do interior do Caneiro de Alcântara (Secção nº5)	
Figura 54 - Localização geográfica do Palácio Fiúza	
Figura 55 - Fachada lateral e vista aérea do Palácio Fiúza	
Figura 56 - Planta de localização da zona de intervenção	
Figura 57 – Vista aérea do ponto de cruzamento (lado nascente)	
Figura 58 – Vista aérea do ponto de cruzamento (lado poente)	
Figura 59 – Perfil geológico-geotécnico, com a localização das interferências e da obra	
Metropolitano de Lisboa. Corte A-A (ver localização do corte na Figura 56)	
Figura 60 – Pilar P18 (Peça desenhada nº C-011 As-Built 1962)	
Figura 61 – Pilar P19 (Peça desenhada nº C-050 As-Built 1962)	. 59
Figura 62 – Pilar P19A (Peça desenhada nº 76 do Projeto de Execução 1996)	. 59
Figura 63 – Perfil longitudinal do tabuleiro rodoviário (Peça desenhada nº C-003 As-Built 19	<del>)</del> 62)
	. 60
Figura 64 – Perfil longitudinal do tabuleiro rodoviário e ferroviário (Peça desenhada nº 76	o do
Projeto de Execução - 1996)	. 61





	ENGENE	1AKIA -	/ international		
CODO		JET <sub>5</sub> ,	PINI GROUP	000	S+A

Figura 65 — Analise da segurança das fundações (Memoria descritiva e justificativa — Parte	III –
Análise da segurança da estrutura global – 1995 – Projeto de Execução/Projeto Base?)	. 62
Figura 66 – Localização das juntas do tabuleiro ferroviário mais próximas da zona de intervenciones.	cão.
assinaladas a vermelho (Peça desenhada №106 do Projeto Base)	-
Figura 67 – Localização das juntas do tabuleiro rodoviário mais próximas da zona de interven	
assinaladas a vermelho (Peça desenhada №53 do Projeto de Execução — Beneficiação	
tabuleiro rodoviário)	
Figura 68 – Localização das juntas dos tabuleiros rodoviário e ferroviários, mais próximas da z	
de intervenção, assinaladas a vermelho (Peça desenhada №76 do Projeto de Execuçã	io –
Instalação da via férrea no viaduto de acesso norte à ponte sobre o Rio Tejo em Lisboa)	. 63
Figura 69 – Frentes de obra do Metropolitano de Lisboa – Linha vermelha, na zona de influên	ncia
do viaduto de acesso à Ponte 25 de Abril	. 64
Figura 70 – Suporte primário previsto para a Via de Resguardo 3 (Secção VR3.1) na zona	
influência do viaduto de acesso à Ponte 25 de Abril	
Figura 71 – Suporte primário previsto para o túnel de via – troço 85 na zona de influência	
viaduto da de acesso à Ponte 25 de Abril	
Figura 72 – Comparação dos valores limite para a velocidade de pico da partícula entre vá	
normas internacionais (adaptado de Athanasopoulos e Pelekis, 2000)	
Figura 73 – Velocidade de partícula em função da distância para operações correntes	de
escavação subterrânea (Transport Research Laboratory para o Highways Agency)	. 68
Figura 74 - Velocidade de partícula em função da distância para operações correntes	de
escavação subterrânea classificadas em função da geologia (Transport Research Laboratory p	oara
o Highways Agency)	
Figura 75 – Isolinhas de deslocamentos verticais, PK 0+180 a PK 0+400	
Figura 76 – Interferência 13, campo de deslocamentos	
Figura 77 – Interferência 16, campo de deslocamentos	
Figura 78 - Isolinhas de deslocamentos verticais, PK 0+700 a PK 1+100	
Figura 79 - Isolinhas de deslocamentos verticais, PK 1+100 a PK 1+500	
Figura 80 – Interferência 54, campo de deslocamentos	
Figura 81– Interferência 69 e 60, campo de deslocamentos	
Figura 82 – Interferência 102, campo de deslocamentos	
Figura 83 – Isolinhas de deslocamentos verticais, Interferência 130	
Figura 84 - Interferência 130, campo de deslocamentos	
Figura 85 - Isolinhas de deslocamentos verticais, PK 1+900 a PK 2+300	. 79
Figura 86 - Interferência 266, campo de deslocamentos	. 79
Figura 87 - Interferência 1007, campo de deslocamentos	. 80
Figura 88 - Interferência 327, campo de deslocamentos	. 81
Figura 89 - Isolinhas de deslocamentos verticais, PK 3+200 a OE5	. 81
Figura 90 - Interferência 375, campo deslocamentos	
Figura 91 - Palácio Anadia, troço AB, campo de deslocamentos	
Figura 92 - Palácio Anadia, troço BC, campo de deslocamentos	
Figura 93 - Palácio Anadia, isolinhas de deslocamentos verticais e alinhamentos	
Figura 94 - Palácio Anadia, Categoria de Dano	
Figura 95 - Cisterna do Aqueduto das Águas Livres, isolinhas de deslocamentos verticais	
Figura 96 - Cisterna Aqueduto Águas Livres, troço BC, campo de deslocamentos	
Figura 97 - Cisterna Aqueduto Águas Livres, troço CD, campo de deslocamentos	
Figura 98 - Cisterna Aqueduto Águas Livres, troço AB, campo de deslocamentos, gradie	ente
máximo	ጸጸ







Figura 99 - Panificação Mecânica, isolinhas de deslocamento vertical	89
Figura 100 - Panificação Mecânica, Categoria de Dano	
Figura 101 - Panificação Mecânica, secção crítica, campo deslocamentos	90
Figura 102 - Panificação Mecânica, secção crítica, Categoria Dano	91
Figura 103 - Complexo do Quartel de Campo de Ourique, isolinhas de deslocamento v	ertical e
Categoria de Dano	92
Figura 104 – Interferência 96, isolinhas de deslocamento vertical e alinhamentos	93
Figura 105 – Interferência 96, Categoria de Danos	93
Figura 106 - Interferência 96, Categoria de Dano	94
Figura 107 - Interferência 96, campo de deslocamentos	94
Figura 108 - Interferência 97, isolinhas de deslocamento vertical e alinhamentos	
Figura 109 - Interferência 97, Categoria de Dano	95
Figura 110 – Interferência 97, campo de deslocamentos	
98/CD 99/DA 97/CD 98/BB 98/BC 99/CD 99/AB 98/BC 99/AB 98/BC	98/CD
Figura 111 – Interferência 98, isolinhas de deslocamento vertical e alinhamentos	97
Figura 112 - Interferência 98, Categoria de Dano	
Figura 113 - Interferência 98, campo de deslocamentos	
Figura 114 - Interferência 99, Alinhamentos e Categoria de Dano 3D	
Figura 115 - Interferência 99, Categoria de Dano	
Figura 116 - Interferência 99, campo de deslocamentos	
Figura 117 - Interferência 100 e 101, Alinhamentos e Categoria de Dano 3D	
Figure 110 Interferência 9, Categoria de Dano	
Figure 120 - Comitério Alemão, gradiente de delecementos continues a alignmentos	
Figura 120 - Cemitério Alemão, gradiente de deslocamentos verticais e alinhamentos Figura 121 – Cemitério Alemão, campo de deslocamentos, Alinhamento AB	
Figura 122 - Cemitério Alemão, troço DE , campo de deslocamentos, gradiente crítico	
Figura 123 - Gradiente de assentamentos do Palácio das Necessidades	
Figure 125 - Edifício Calcada dos Naccessidados Fosbado Sul Compo Desbagarantes	
Figura 125 - Edifício Calçada das Necessidades, Fachada Sul, Campo Deslocamentos	
Figura 126 - Edifício Calçada das Necessidades, Fachada Sul, Categoria de Dano	
Figura 127 - Edifício Calçada das Necessidades, Fachada Este, Campo Deslocamentos	
Figura 128 - Edifício Calçada das Necessidades, Fachada Este, Categoria de Dano	
Figura 129 - Edifício Calçada das Necessidades, Fachada Norte, Campo Deslocamentos	
Figura 130 - Edifício Calçada das Necessidades, Fachada Norte, Categoria de Dano	
Figura 131 - Chafariz das Necessidades, vista 3D	
Figura 132 - Chafariz das Necessidades, troço DL14, Campo Deslocamentos	
Figura 133 - Chafariz das Necessidades, troço DL15, Campo Deslocamentos	
Figura 134 - Adutor do Chafariz das Necessidades, vista planta	111





Figura 135 - Adutor do Chafariz das Necessidades, troço DL1, Campo Deslocamentos 112
Figura 136 - Linha Comboio Alcântara-Terra, vista 3D
Figura 138 - Fase 2, Via Férrea, isolinhas de deslocamento vertical
Figura 139 - Fase 1, Linha de comboio de Alcântara-Terra, campo de deslocamentos verticais
Figura 140 - Fase 1, Linha de comboio de Alcântara-Terra, inclinação transversal 116
Figura 141- Fase 1, Linha de comboio de Alcântara-Terra, variação da inclinação transversal
numa base de 3m
Figura 142 - Linha de comboio de Alcântara-Terra, campo de deslocamentos verticais 117
Figura 143 – Fase 2, Linha de comboio de Alcântara-Terra, inclinação transversal
Figura 144 – Fase 2, Linha de comboio de Alcântara-Terra, variação da inclinação transversal
numa base de 3m
Figura 145 - Caneiro de Alcântara, isolinhas de deslocamento vertical
Figura 146 - Caneiro, campo de deslocamentos na lateral direita
Figura 147 - Palacio Fiuza, isolimas de deslocamento vertical
Figura 149 - Palácio Fiúza, Avaliação de Danos
Figura 150 - Palácio Fiúza, campo de deslocamentos ao longo do alinhamento FA
Figura 151 - Palácio Fiúza, Categoria de Dano do alinhamento FA
Figura 152 – Localização da secção A-A, B-B e C-C no modelo tridimensional
Figura 153 — Deslocamentos totais estimados na secção A-A, obtidos através do modelo
tridimensional
Figura 154 – Deslocamentos totais estimados na secção B-B, obtidos através do modelo
tridimensional
Figura 155 – Deslocamentos totais estimados na secção C-C, obtidos através do modelo
tridimensional
Figura 156 – Deslocamentos totais máximos estimados na fundação dos pilares P19 e P19A do
viaduto, obtidos através do modelo tridimensional
Figura 157 – Deslocamentos totais máximos estimados na fundação do pilar P18 do viaduto,
obtidos através do modelo tridimensional
Figura 158 – Dispositivos de instrumentação e observação a instalar no viaduto da Ponte 25 de
Abril e sua envolvente



### 1 ENQUADRAMENTO

O presente documento diz respeito ao desenvolvimento, ao nível de **Projeto de Execução**, da **Memória Descritiva e Justificativa das Interferências ao longo da linha**, no âmbito do Prolongamento da Linha Vermelha entre S. Sebastião e Alcântara, que é parte integrante do **Tomo I – Geral** do **Volume 17 – Interferências**.

No presente documento é definido o conceito de Interferência; como são caracterizadas, como é realizada a avaliação de danos e são estabelecidos critérios quanto à necessidade de implementação de medidas de mitigação.

No que respeita à caracterização de interferências e à apresentação dos resultados da avaliação de danos, a presente revisão deste documento refere-se às interferências relevantes no âmbito do RECAPE, cuja lista se apresenta em baixo:

- Atravessamentos do Aqueduto das Águas Livres (Interferências 13, 16, 54, 60, 69, 102, 130, 266, 1007, 327 e 375);
- Palácio da Anadia (Interferência 53);
- Cisterna do Aqueduto das Águas Livres (Interferência 58);
- Edifício da Panificação Mecânica (Interferências 37 e 38);
- Complexo do Quartel de Campo de Ourique (Interferência 96, 97,98, 99, 100 e 101).
- Cemitério dos alemães (Interferência 263);
- Conjunto do Palácio das Necessidades (Interferências 374, 375, 376 e 385);
- Baluarte do Livramento, localizado na Casa de Goa (Interferência 381a, b, c);
- Palácio Fiúza (Interferência 416);

A estas acrescentam-se o conjunto de interferências relativas a infraestruturas de saneamento, ferroviárias e rodoviárias, localizadas na zona de influência dos trabalhos de escavação, cuja avaliação de danos é igualmente relevante no âmbito do RECAPE:

- Caneiro de Alcântara (Interferência 429);
- Via ferroviária (Ligação Alcântara-Terra ao Porto de Lisboa) (Interferência 1008);
- Pilares do viaduto de acesso à Ponte 25 de Abril (Interferência 428, 1057 e 1059).

Genericamente, as Interferências foram definidas como estruturas ou infraestruturas que se encontram dentro de uma faixa de 30 m de ambos os lados do eixo do traçado e na zona de influência das escavações. Por puderem acomodar eventuais perturbações provocadas pela execução da obra, estas Interferências serão sujeitas a uma avaliação de danos que contemplou diversas tipologias, nomeadamente:

- Edificado, incluindo os edifícios de interesse patrimonial
- Infraestruturas enterradas
- Infraestruturas ferroviárias





A avaliação de danos será realizada com base na metodologia já mencionada nos Critérios Gerais de Projeto, apoiada pelas recomendações do Eurocódigo 7, Anexo H e ainda pelo relatório ITA/AITES Report 2006 - Settlements induced by tunneling in Soft Ground.

Após a realização da avaliação de danos, em função do tipo de Interferência e da magnitude dos danos estimados, serão definidas eventuais medidas de mitigação de assentamentos tendo em consideração:

- Tipo de obra a realizar
- Cenário geológico, geotécnico e hidrogeológico estimado para o local
- Relação custo-benefício

A execução dos trabalhos de escavação irá originar alterações do estado de tensão do maciço que resultarão em descompressões e consequentemente em deslocamentos na sua zona de influência. O método construtivo adotado em combinação com o comportamento das estruturas e dos materiais intercetados condicionará a magnitude dos deslocamentos induzidos nas estruturas nele fundadas. Em função da grandeza dos deslocamentos e da natureza das Interferências, os efeitos dos deslocamentos poderão ser significativos e resultar em danos, pelo que importa analisar o seu impacto. Com este objetivo, a metodologia proposta baseada no requisitos do Caderno de Encargos, permite quando necessário e aplicável, definir medidas de mitigação.



### 2 AVALIAÇÃO DE DANOS

#### 2.1 Enquadramento

A presente avaliação de danos foi realizada de acordo com os requisitos do Caderno de Encargos. De modo a abranger as várias tipologias de Interferências presentes no ambiente urbano em que a obra se insere, foi necessário complementar a metodologia patenteada no Programa Preliminar, encontrando-se a sua articulação com o processo de análise, ilustrada na Figura 1.

De modo a otimizar o processo de avaliação de danos, foi utilizado o programa de cálculo automático Oasys Xdisp Pro, que permite estimar os parâmetros de deformação geométrica nos diversos tipos de Interferência com base no cálculo de assentamentos através de formulações empíricas ou através de elementos finitos (importados de modelos de tensão-deformação). O programa também permite o cálculo da categoria de dano para edifícios segundo Boscardin e Cording 1989 e Burland 1995.

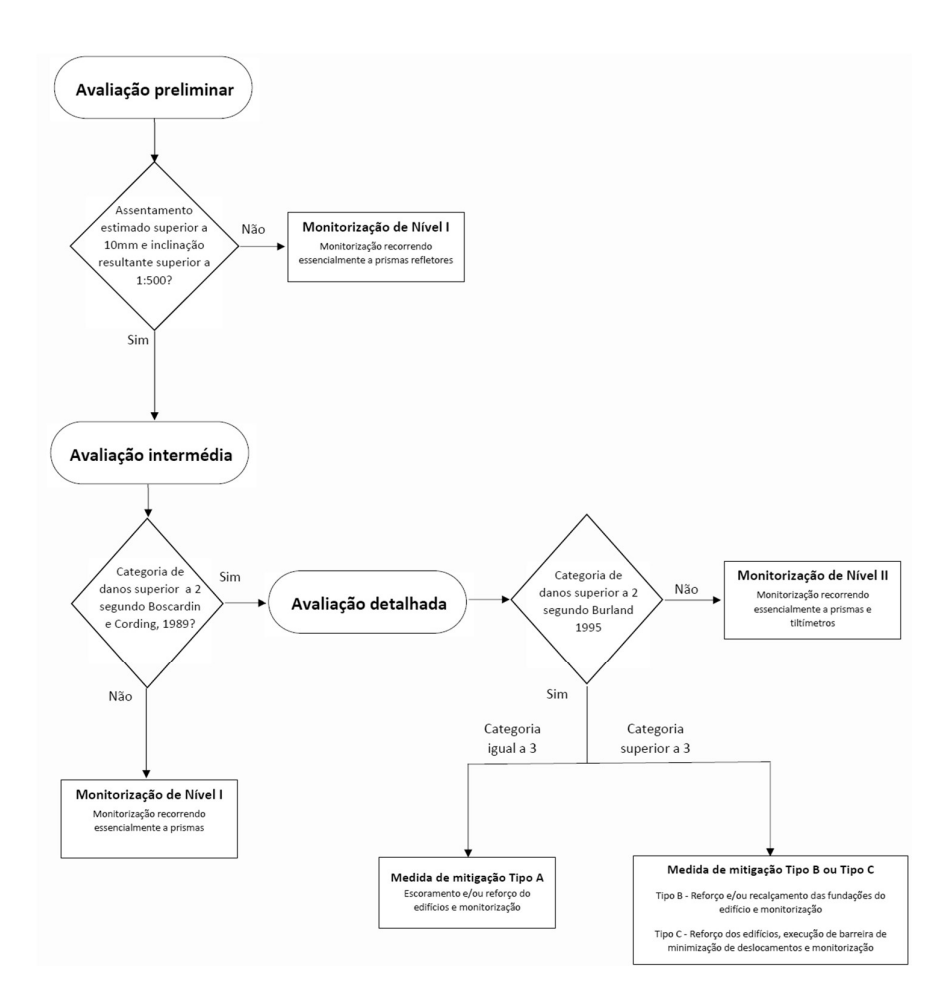


Figura 1 - Metodologia de avaliação de danos em Interferências



### 2.2 Metodologia de avaliação de assentamentos

Como referido no ponto 2.1, a estimativa dos parâmetros de deformação geométrica nos diversos tipos de Interferência foi realizada com base no cálculo de assentamentos através de formulações empíricas ou através de elementos finitos (importados de modelos de tensão-deformação).

As formulações empíricas utilizadas para túneis e escavações a céu-aberto são genericamente apresentadas nos pontos seguintes do documento.

### 2.2.1 Escavações subterrâneas

Para estimar os deslocamentos induzidos por escavações subterrâneas recorreu-se às curvas empíricas desenvolvidas por Peck (1969), O'Reilly and New (1982), complementadas por Attewell et al (1986).

A título de exemplo, apresenta-se na Figura 2 as expressões relativas à curva de Gauss para a obtenção de deslocamentos verticais e horizontais no plano perpendicular ao eixo do túnel. Para a obtenção dos deslocamentos em profundidade, foi utilizada a expressão de Mair et al (1993).

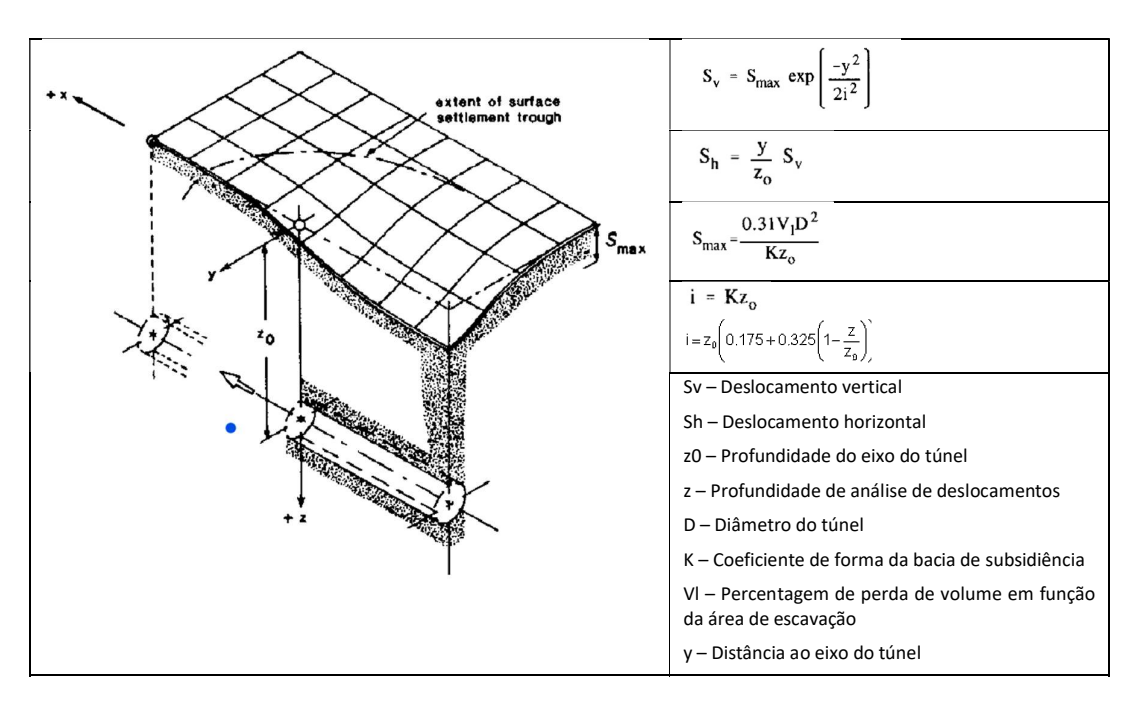


Figura 2 – Curvas empíricas utilizadas para a obtenção de assentamentos induzidos por túneis

Deste modo, a definição dos parâmetros VI (perda de volume) e k (fator de forma da bacia de subsidiência) têm uma importância muito significativa na determinação das curvas de assentamentos induzidos pelos túneis. Assim, com o objetivo de estimar o seu valor com as





ferramentas mais precisas disponíveis, foi desenvolvido um modelo numérico de elementos finitos tridimensional (MEF 3D) no programa de cálculo automático Plaxis 3D.

Tendo em conta a variabilidade de condições geológico-geotécnicas e geométricas ao longo do traçado, realizou-se um estudo comparativo das diferentes localizações e identificou-se o ponto quilométrico do traçado que reunia as condições mais propícias à ocorrência de deslocamentos elevados e distorções significativas. O ponto quilométrico identificado foi o 3+310 devido à existência de baixo recobrimento (8 m), de ocorrer sob o edifício principal do Palácio das Necessidades que introduz tensões significativas no terreno em função do seu peso e de possuir unidades geológicas com deformabilidade elevada ao nível da abóbada do túnel, onde ocorrem maiores deformações (Figura 3 e Figura 4).

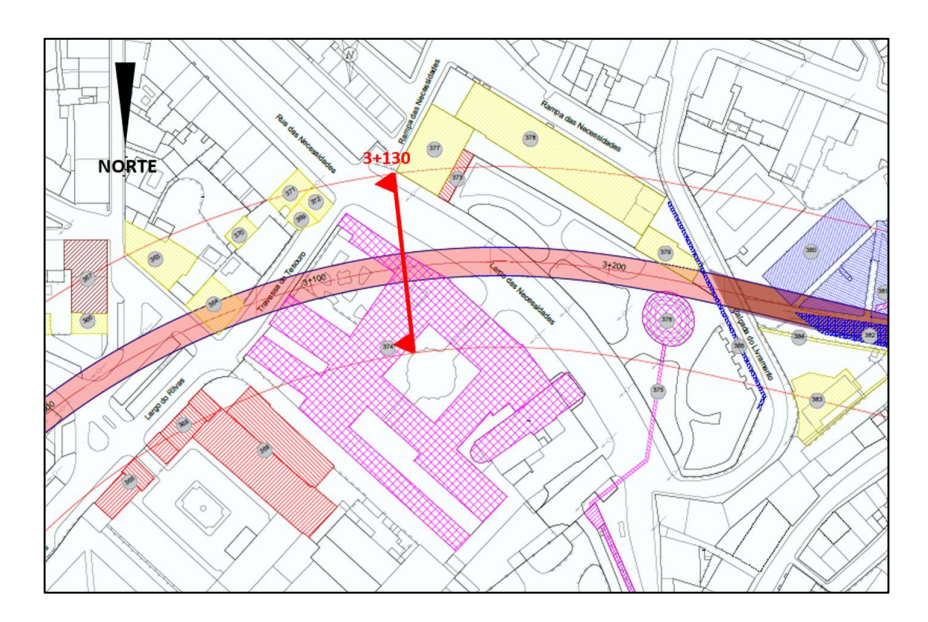


Figura 3 - Localização da secção 3+130 (1/2)



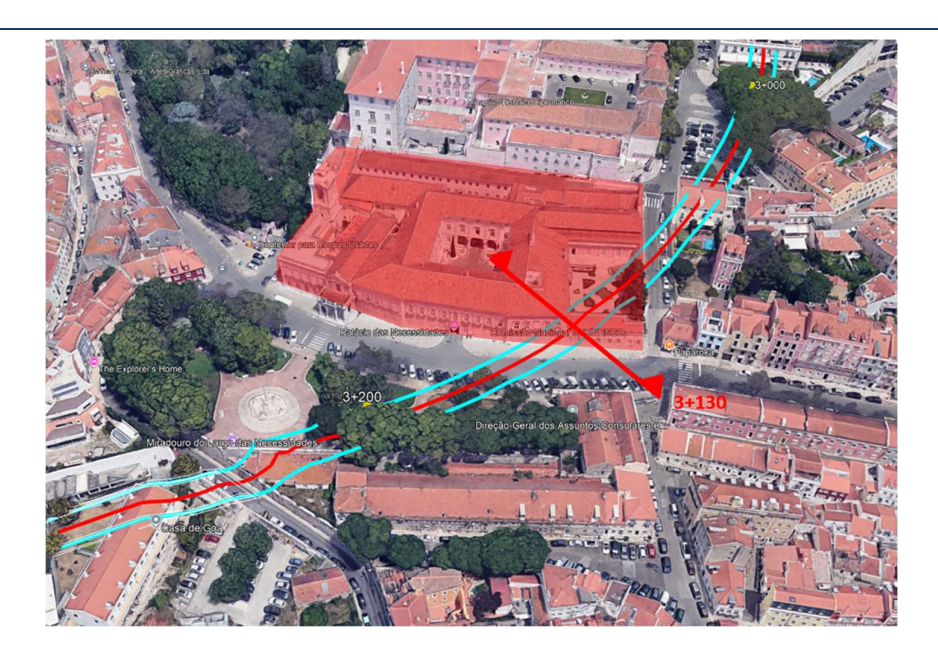


Figura 4 - Localização da secção 3+130 (2/2)

O modelo numérico é constituído por 268 684 elementos tetraédricos de 4 nós (Figura 5). Os elementos que modelam o maciço são elementos de volume, cujos modelos constitutivos associados foram escolhidos de acordo com as características de cada unidade litológica do maciço. As condições geológico-geotécnicas refletem a informação conhecida à data de produção do presente documento.

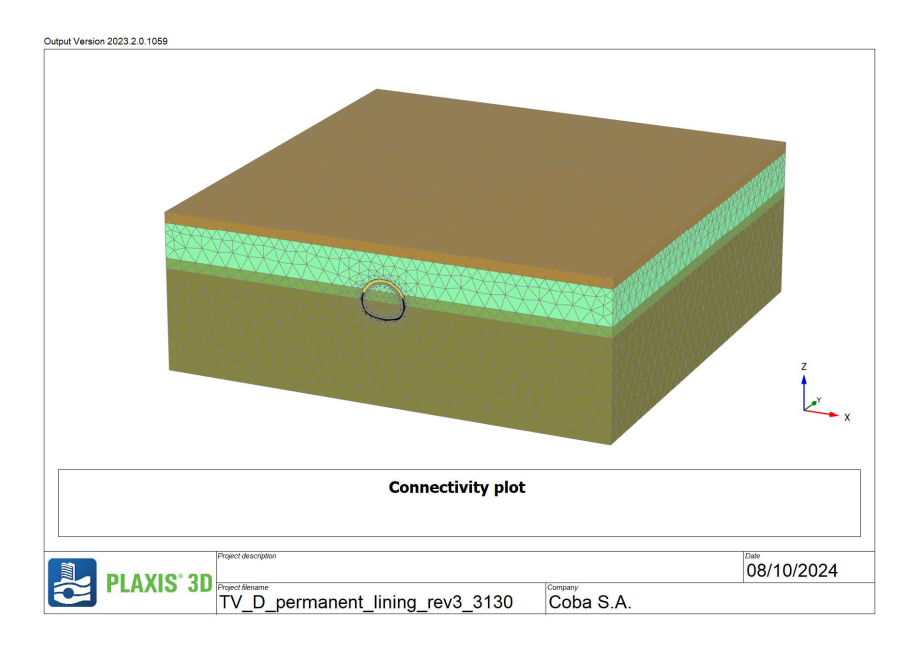


Figura 5 – Malha do modelo numérico tridimensional





O modelo representa um volume com cerca de 140 m de largura, 110 m de comprimento e 50 m de altura. Neste modelo encontram-se simulados os elementos previstos para o suporte primário do túnel de via do troço 82, nomeadamente, o betão projetado reforçado com fibras metálicas e os vários chapéus de enfilagens metálicas realizados ao nível da abóboda do túnel. Foi também incluído na modelação, o avanço de escavação e o ganho de rigidez do betão projetado com o tempo (Figura 6).

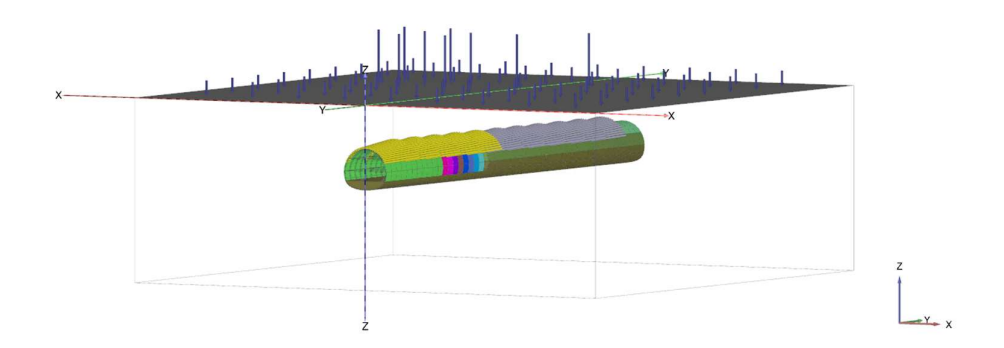


Figura 6 – Modelo numérico com inclusão dos elementos do suporte primário, avanço de escavação e sobrecargas de superfície

Neste ponto quilométrico, a secção do túnel corresponde ao túnel de via do troço 82 onde se prevê a adoção do suporte primário tipo D (Figura 7), com um recobrimento de aproximadamente 8 m e uma secção com aproximadamente 77 m² de área de escavação.

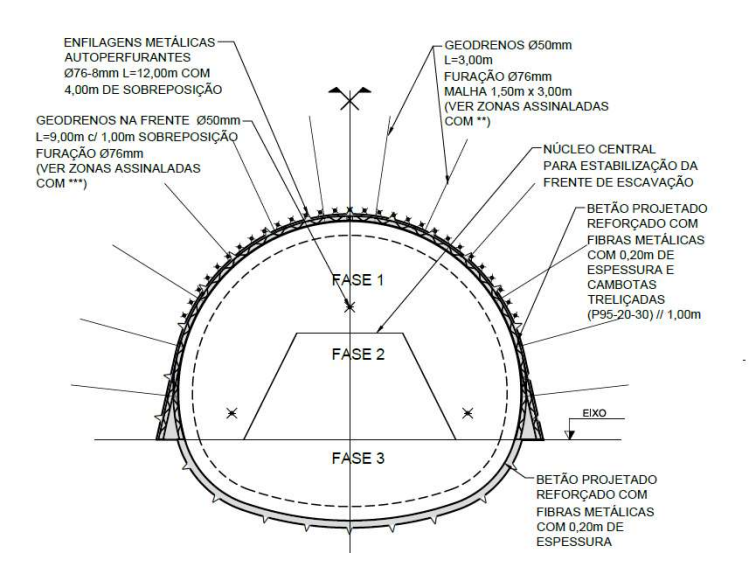


Figura 7 - Suporte Tipo D

De acordo com o MEF 3D, os deslocamentos máximos previstos pela escavação do túnel de via localizam-se na secção localizada ao PK 3+130, que no modelo é equivalente ao plano A-A que se ilustra na Figura 8.



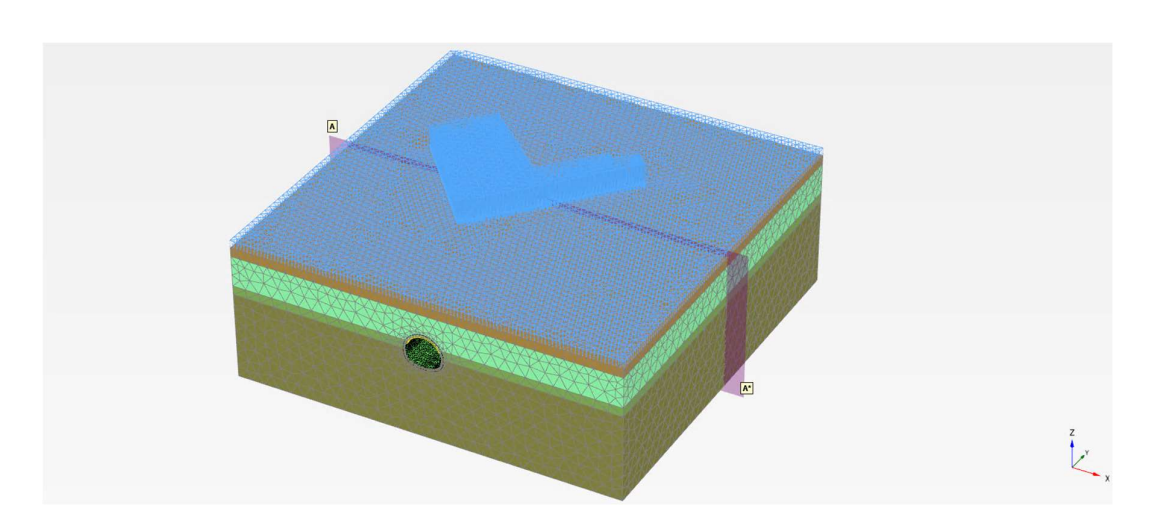


Figura 8 – Localização do plano A-A de onde se extraem os deslocamentos máximos do MEF 3D

Os deslocamentos obtidos no plano A-A, encontram-se representados na Figura 9.

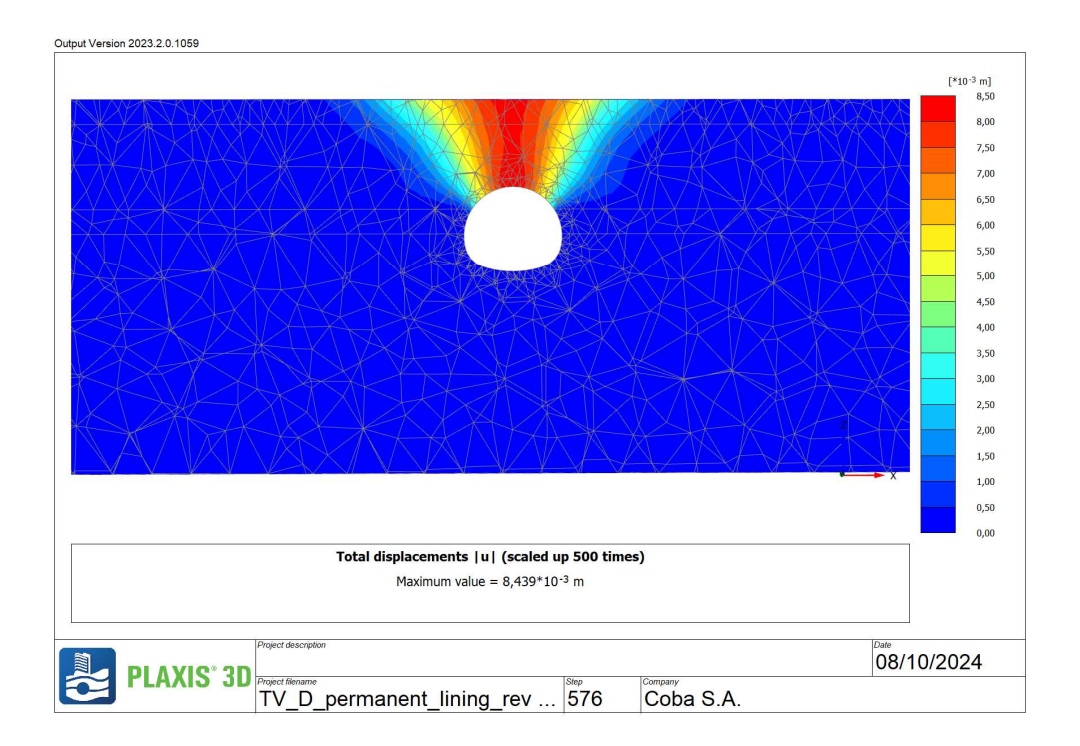


Figura 9 - Deslocamentos totais no plano A-A



A análise dos deslocamentos induzidos pela escavação sob o edifício do Palácio das Necessidades, indica que os parâmetros da curva de Gauss que melhor se ajustam à curva obtida através do MEF 3D, são VI = 0,17% e k = 0,49 (Figura 10).

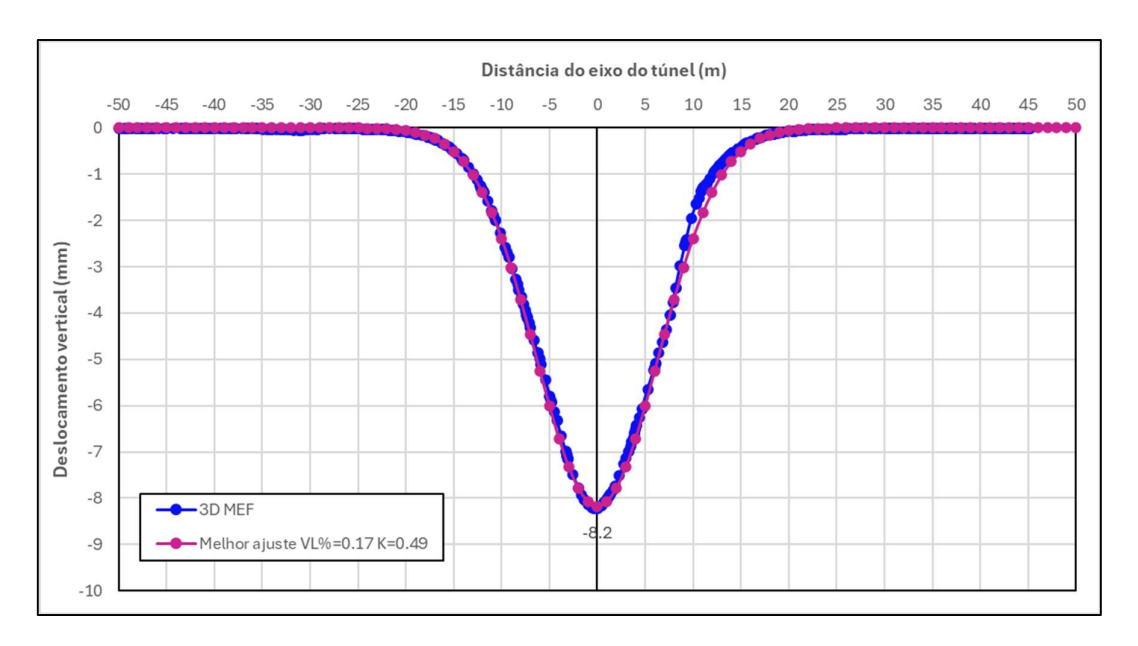


Figura 10 – Ajuste da curva de Gauss aos deslocamentos obtidos através do MEF 3D

Tendo em conta os valores obtidos e a variabilidade de condições ocorrentes ao longo do traçado, decidiu-se, assumir VI = 0,5% e k = 0,6, como parâmetros a utilizar nas expressões para a determinação das curvas de assentamentos induzidos pelos túneis. O valor de VI igual a 0,5% assumido para a avaliação de danos ao longo de todo o traçado é cerca do triplo do valor evidenciado pelo MEF 3D (0,17%), num ponto quilométrico onde as condições geológica-geotécnicas são das mais desfavoráveis do traçado e onde ocorre o recobrimento mais reduzido ao longo do traçado. Deste modo, considera-se que a adoção dos valores acima referidos produziram estimativas conservativas de deslocamento e distorção para as interferências em apreço.

### 2.2.2 Escavações a céu aberto

Para estimar os deslocamentos induzidos por escavações a céu-aberto recorreu-se às curvas empíricas apresentadas no CIRIA Report C760, que incluem a análise de um elevado número de contenções de diversas tipologias e em diferentes condições geológico-geotécnicas. A título de exemplo, apresenta-se na Figura 11 as curvas para deslocamentos verticais (esquerda) e horizontais (direita) de contenções rígidas e flexíveis.





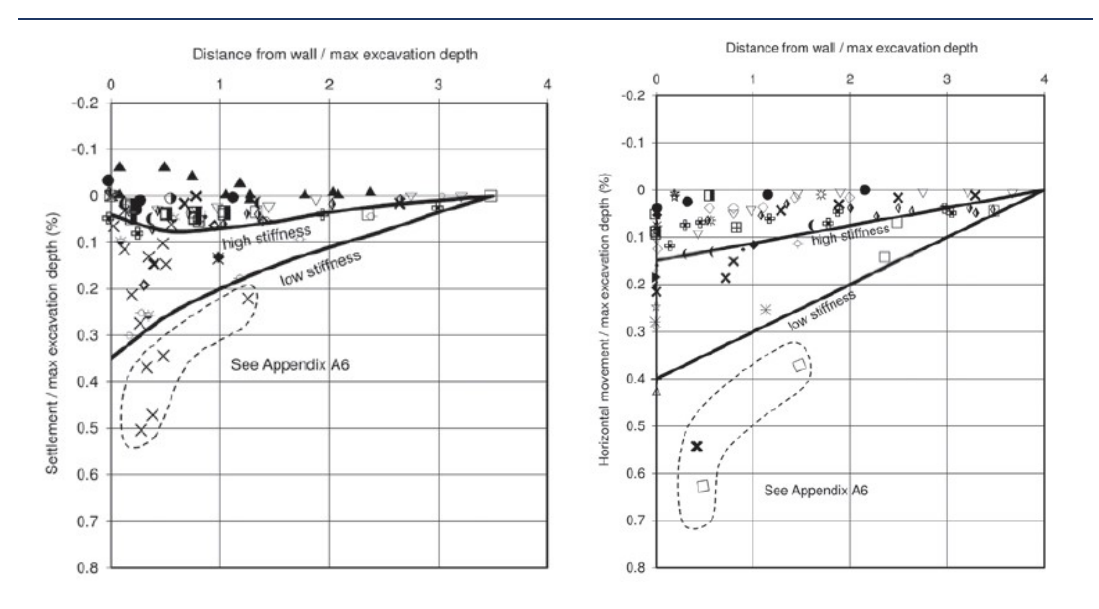


Figura 11 – Curvas empíricas utilizadas para a obtenção de assentamentos induzidos por escavações a céu aberto

### 2.3 Metodologia de avaliação de danos em edifícios

A classificação de danos em edifícios seguirá a metodologia indicada no Caderno de Encargos para a avaliação de danos. Esta considera as categorias de dano definidas por Burland (1995), seguindo uma metodologia que consiste na realização das seguintes três fase de avaliação:

#### Fase 1 – Avaliação preliminar

Nesta fase procede-se à estimativa dos assentamentos ao longo do traçado dos túneis nas zonas confinantes com este devido à sua escavação, sem ter em consideração a presença dos edifícios, designadamente, em termos de rigidez.

Sob o edifício será determinado o valor do assentamento vertical máximo,  $s_{v,max}$ , e a rotação máxima,  $\theta_{max}$ . Se o valor do assentamento vertical máximo for inferior a 10 mm e a rotação máxima inferior a 1/500 Rankin (1988), os danos serão desprezáveis a ligeiros, pelo que se considera a solução de projeto adequada, não sendo necessário prosseguir para as fases seguintes.

#### Fase 2 - Avaliação intermédia

Nesta fase admite-se que o edifício acompanha a deformação do terreno calculada na fase anterior e que pode ser, simplificadamente, considerado como uma viga elástica. Estima-se o valor da razão de deflexão  $DR_{max} = \Delta_{max}/L$  e da deformação horizontal média  $\varepsilon h = \delta L/L$ , onde  $\Delta_{max}$  é a deflexão relativa entre dois pontos à distância L e  $\delta L$  é a variação deste comprimento.



Com base no modelo de viga elástica calculam-se as extensões máximas de tração induzidas por flexão e por corte devido a deformações de deflexão, às quais se devem adicionar as deformações horizontais do terreno,  $\varepsilon h$ . A categoria de danos é, então, avaliada por comparação dos valores obtidos com os valores obtidos com os da Tabela 1. Se a categoria de danos for superior a 2, será necessário prosseguir para a terceira fase.

Tabela 1 – Valores da deformação de tração limite em função da categoria de danos (Boscardin e Cording, 1989)

Categoria de danos	Grau normal de severidade	Valor limite da deformação de tração, $arepsilon_{lim}$	
		(%)	
0	Desprezável	0-0,05	
1	Muito ligeiro	0,05-0,075	
2	Ligeiro	0,075-0,15	
3	Moderado	0,15-0,3	
4 e 5	Severo a muito severo	>0,3	

Em situações onde a altura (H) e o comprimento (L) do edifício sejam significativamente diferentes, esta fase de apreciação deverá considerar explicitamente a razão H/L e a concavidade da deformada do terreno, recorrendo às curvas de interação entre a deflexão e a deformação horizontal média, propostas por Burland (1995).

#### Fase 3 – Avaliação detalhada

Nesta fase deverá ser considerada a interação entre o terreno e o edifício, pelo que será necessário modelar o edifício e a construção do túnel e ter em conta a sua orientação em relação ao edifício, o seu tipo de fundações, a continuidade estrutural dos diferentes corpos do edifício e o estado do edifício prévio à escavação.

Com base na modelação efetuada serão estimadas as extensões máximas de tração. A categoria de danos é, então, avaliada por comparação dos valores obtidos com os da Tabela 2. Se a categoria de danos for superior a 2, será necessário conceber e validar, com base no modelo numérico desenvolvido, medidas de mitigação de danos de modo a garantir que estes sejam ligeiros (categoria 2).

Tabela 2 – Valores de deformação de tração limite em função da categoria de danos (Burland, 1995)

Categoria de danos	Grau de severidade	Valor limite da deformação de tração, ε <sub>lim</sub> (%)	Descrição dos danos característicos	Abertura aproximada das fendas (mm)
0	Desprezável	0 - 0,05	Fissuras capilares	<0,1
1	Muito ligeiro	0,05 - 0,075	Finas fissuras facilmente reparáveis numa decoração. Danos geralmente limitados aos acabamentos de paredes interiores. Algumas fissuras em alvenarias exteriores de tijolo ou de pedra detetadas em inspeção detalhada.	<1





Categoria de danos	Grau de severidade	Valor limite da deformação de tração, $\varepsilon_{\rm lim}$ (%)	Descrição dos danos característicos	Abertura aproximada das fendas (mm)
2	Ligeiro	0,075 - 0,15	Fissuras de fácil preenchimento. As fissuras recorrentes podem ser mascaradas por revestimentos adequados. As fissuras podem ser externamente visíveis e pode ser necessário algum tratamento para garantir a sua estanqueidade.  Portas e janelas ligeiramente empenadas.	<5
3	Moderado	0,15 - 0,30	Fissuras podem requerer algum avivamento e reparação. Reparação da alvenaria exterior e possivelmente uma pequena parte da alvenaria pode ter que ser substituída. Portas e janelas empenadas. Fracturação de tubagens. Falta de proteção contra intempéries.	5 a 15 ou várias fissuras > 3
4	Severo	>0,30	Trabalhos de reparação extensos que envolvem a abertura e a substituição de secções de paredes, especialmente em portas e janelas. Caixilhos de janelas ou de portas distorcidos. Piso visivelmente inclinado. Paredes visivelmente inclinadas ou salientes. Alguma perda de sustentação em vigas.  Tubagens interrompidas.	15 a 25 mas depende do número de fissuras
5	Muito severo	>0,30	Requer grandes reparações envolvendo reconstrução parcial ou completa. As vigas perdem o apoio. As paredes inclinam-se muito e exigem escoramento. As janelas partem por distorção.  Perigo de instabilidade.	Geralmente > 25 mm mas depende do número de fissuras

### 2.4 Critérios de avaliação de danos em edifícios classificados

A avaliação de danos em edifícios classificados como património de elevado valor cultural e histórico, incluirá um fator de agravamento da categoria de dano, em função da suscetibilidade do edifício para tolerar os assentamentos, sem apresentar danos significativos.

O agravamento da categoria de dano (0-5) é realizado através da soma de uma pontuação (0-2), obtida através da Tabela 3.



Tabela 3 – Fator de agravamento da categoria de dano para edifícios classificados

	Critério			
Pontuação	Suscetibilidade do edifício a assentamentos e interação com edifícios adjacentes	Suscetibilidade de elementos arquitetónicos no edifício (estatuária, revestimentos, etc.)		
0	Edifícios em alvenaria em que foi utilizada argamassa de cal e que não se encontram ladeados por outros edifícios. Com fachadas uniformes sem grandes aberturas particulares.	Sem elementos arquitetónicos particularmente sensíveis		
1	Edifícios com estrutura sensível ou edifícios com ladeados por outros edifícios com estruturas modernas com rigidez estrutural muito superior, com uma ou mais aberturas com dimensões significativas.	Acabamentos frágeis (e.g. estatuária, revestimentos em pedra com juntas estreitas, que são suscetíveis a pequenos deslocamentos e difíceis de reparar)		
2	Edifícios que pela sua constituição tendem a concentrar todos os deslocamentos num só elemento estrutural.	Acabamentos que se forem danificados terão um forte impacto no património histórico e cultural associado ao edifício (e.g. fendas em pintura a fresco)		

### 2.5 Critérios de avaliação de danos em infraestruturas ferroviárias

Os critérios de alerta e de alarme para as infraestruturas ferroviárias da IP estão definidos na Tabela 4 .

Tabela 4 – Limites de alerta e de alarme para vias ferroviárias

Tipo de Via	Grandezas a controlar	Nível de alerta (mm)	Nível alarme (mm)
	Deslocamentos nas travessas (δH e δV)	± 10	± 18
Balastrada	Diferença de deslocamentos verticais (δV) entre perfis transversais consecutivos	± 10	± 18
	Deslocamentos absolutos (δH e δV)	± 10	± 15
Em placa Via embebida	Diferença de deslocamentos verticais (δV) entre perfis transversais consecutivos para uma corda de 3m	± 10	± 15

Em que:

δH – Deslocamento horizontal

δV – Deslocamento vertica

Tolerância de alerta - Corresponde ao valor do parâmetro geométrico que, quando atingido, originará que o troço em questão seja alvo de análise e decisão sobre a sua eventual inclusão no planeamento de trabalhos de mitigação/ correção.

Tolerância de alarme - Corresponde ao valor do parâmetro geométrico que nunca deverá ser atingido. Caso o seja obrigará que o defeito em questão seja alvo de correção imediata ou que o respetivo troço seja sujeito a redução de velocidade ou interdição.





### 2.6 Fichas de avaliação de danos

As fichas onde se apresentam os resultados detalhados da avaliação do impacto das obras em cada uma das interferências apresentam-se no Anexo I. No corpo do presente documento será feita uma descrição sumária dos resultados, assim como das medidas de mitigação e nível de instrumentação que se prevê adotar para cada interferência.





### 3 ESTADO DO PATRIMÓNIO EDIFICADO

Com o objetivo de melhor caracterizar o edificado, as infraestruturas enterradas e as infraestruturas ferroviárias, foi realizada uma consulta da informação cadastral, dos elementos técnicos (plantas) disponíveis e de fotografias históricas e, onde possível, realizadas visitas.

Para os edifícios abrangidos pela faixa de influência (30 metros medidos a partir do eixo do traçado), tentou-se recolher sempre que possível informações sobre as características das suas fundações, nomeadamente, o tipo de fundação e a cota estimada a que estas poderão estar localizadas.

Para a caracterização das infraestruturas enterradas e das infraestruturas ferroviárias na zona de influência dos trabalhos de escavação, foram realizados contactos com a entidades concessionárias dessas infraestruturas com o objetivo de aferir o seu posicionamento e estado de conservação. Paralelamente, continuarão a ser realizadas vistorias aos serviços e efetuados levantamentos topográficos dos elementos visíveis à superfície.





### 4 CARACTERIZAÇÃO DE INTERFERÊNCIAS E DESCRIÇÃO DOS TRABALHOS A REALIZAR NA SUA ZONA DE INFLUÊNCIA

Os elementos disponibilizados no Programa Preliminar e as visitas de reconhecimento efetuadas ao local permitiram realizar uma análise do estado do património edificado suscetível de ser afetado pelas escavações do túnel, estações, poços de ventilação e de outras estruturas ao longo do traçado.

Com base numa consulta realizada ao Atlas do Património Classificado e em Vias de Classificação da Direção Geral do Património Cultural (DGPC) a 27 de Maio de 2024, assim como informação fornecida pelo Metropolitano de Lisboa, foram identificados como património classificado ou em vias de classificação, na zona de influência do traçado do projeto, as estruturas e infraestruturas abaixo listadas. Deste modo, tem vindo a ser realizada uma campanha de verificação e registo de patologias de todos os edifícios interferidos, antes do início dos trabalhos:

- Atravessamentos do Aqueduto das Águas Livres (Interferências 13, 16, 54, 60, 69, 102, 130, 266, 1007, 327 e 375);
- Palácio da Anadia (Interferência 53);
- Cisterna do Aqueduto das Águas Livres (Interferência 58);
- Edifício da Panificação Mecânica (Interferências 37 e 38);
- Complexo do Quartel de Campo de Ourigue (Interferência 96, 97,98, 99, 100 e 101).
- Cemitério Alemão (Interferência 263);
- Conjunto do Palácio das Necessidades (Interferências 374, 375, 376 e 385);
- Baluarte do Livramento, localizado na Casa de Goa (Interferência 381a);
- Palácio Fiúza (Interferência 416);

Em baixo apresenta-se o conjunto de interferências relativas a infraestruturas de saneamento, ferroviárias e rodoviárias, localizadas na zona de influência dos trabalhos de escavação, cuja avaliação de danos é relevante no âmbito do RECAPE:

- Caneiro de Alcântara (Interferência 429);
- Via ferroviária (Ligação Alcântara-Terra ao Porto de Lisboa) (Interferência 1008);
- Pilares do viaduto de acesso à Ponte 25 de Abril (Interferência 428, 1057 e 1059).



### 4.1 Atravessamentos do Aqueduto das Águas Livres

### 4.1.1 Caracterização

Os aquedutos são, na sua generalidade, caracterizados como estruturas enterradas executadas em método mineiro ou executadas em trincheira. A execução em método mineiro foi tipicamente adotada quando a profundidade era mais elevada e a execução em trincheira foi adotada para estruturas localizadas em zonas mais superficiais. Genericamente, são estruturas cujo revestimento foi executado após a escavação do túnel ou, no caso dos trechos executados em trincheira, com a estrutura fundada e executada diretamente no maciço. A estrutura é tipicamente constituída por paredes de alvenaria rebocada com 2,5 m de altura, apresentando 50 a 80 cm de espessura e tetos em abóboda com largura de 1,5 m.

Ao longo do traçado estão presentes 11 atravessamentos de aquedutos, identificados por um número único de interferência, que se inserem na zona de influência de diferentes obras pertencentes à futura linha vermelha e que serão descritos no ponto seguinte.

Os aquedutos fazem parte de um sistema abastecimento de água que permite a ligação entre vários chafarizes e cisternas distribuídos pela cidade de Lisboa. Estes elementos encontram-se posicionados a diferentes cotas abaixo do nível do terreno, tendo sido necessário recorrer a uma abordagem individual a cada um destes.

De modo a poder caracterizar cada um destes atravessamentos, foi necessário realizar uma detalhada inspeção e levantamento topográfico dos mesmos, procurando definir o seu posicionamento, condição estrutural e utilização atual. Relativamente à sua utilização atual, embora nenhum trecho sirva atualmente para a distribuição de água potável em escoamento livre, alguns dos trechos de aqueduto, servem como meio para a passagem subterrânea de serviços, encontrando-se instaladas em alguns trechos, condutas de ferro fundido φ500mm (Figura 12 e Figura 13).



Figura 12 - Vista do interior da interferência 13



Figura 13 – Vista do interior da Interferência 54





Tendo em conta as especificidades de cada um dos atravessamentos no respeita à descrição das suas características e condição, incluem-se no Anexo II, os relatórios de inspeção e os relatórios de levantamento topográfico.

### 4.1.2 Trabalhos previstos na zona de influência

### 4.1.2.1 Troço 85

No troço 85 ocorrem dois atravessamentos, identificados pelas interferências 13 e 16 a magenta na Figura 14. Ambas as interferências encontram-se na zona de influência do túnel de via (Figura 14 a Figura 17).

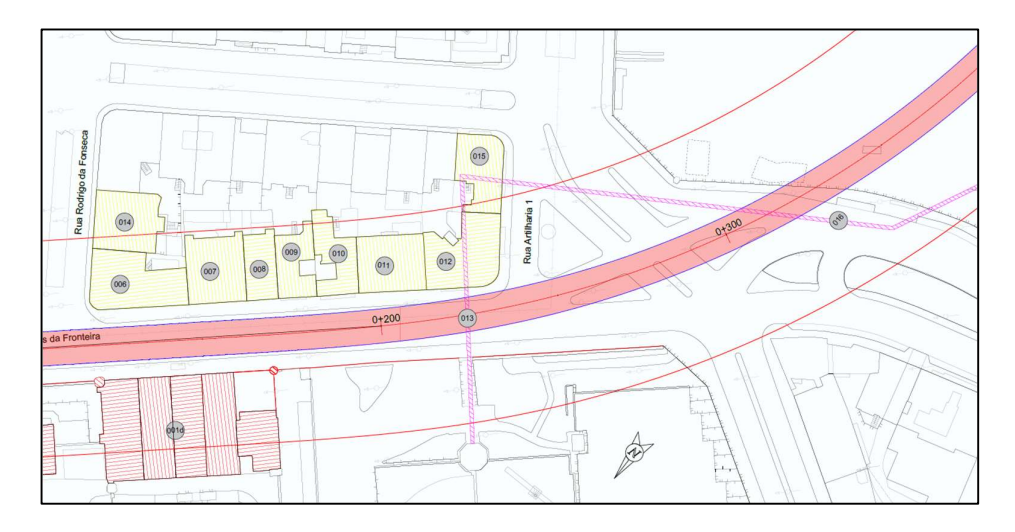


Figura 14 – Localização das interferências 13 e 16 (Planta)

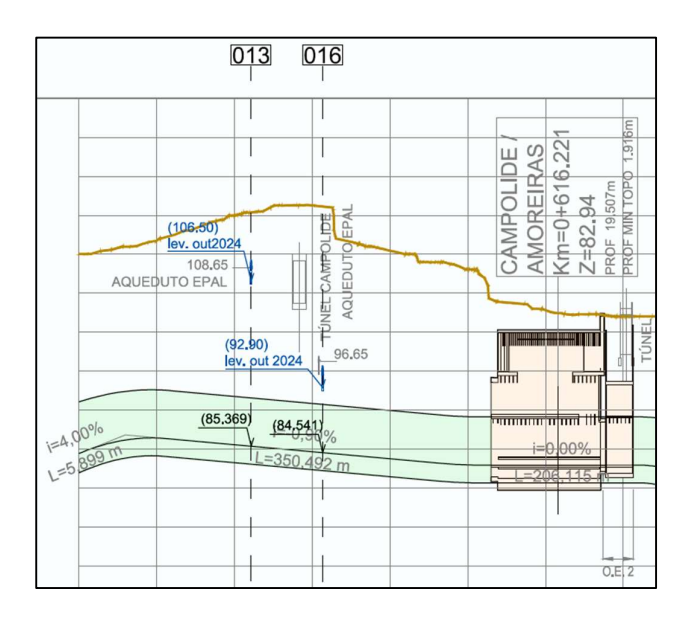
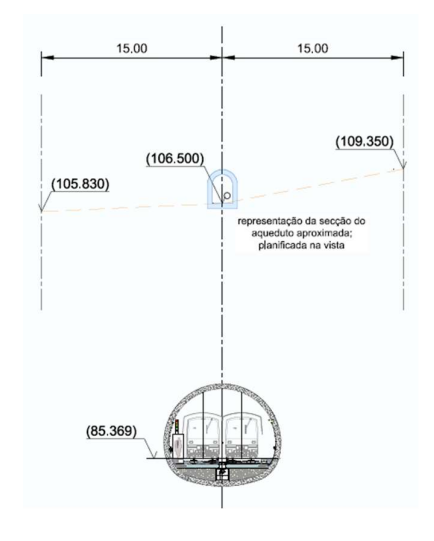


Figura 15 – Localização das interferências 13 e 16 (Perfil)





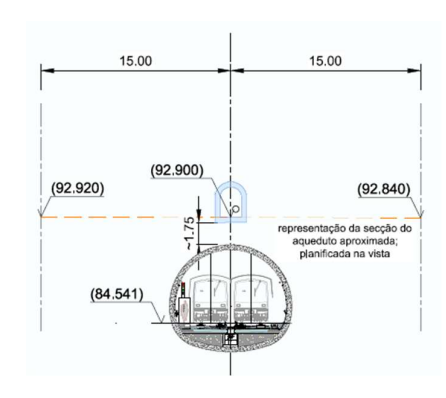


Figura 17 - Interferência 16 (corte)

Figura 16 - interferência 13 (corte)

### 4.1.2.2 Troço 84

No troço 84 ocorrem quatro atravessamentos, identificados pelas interferências 54, 60, 69 e 102, e existe uma estrutura enterrada, uma cisterna, identificada pela interferência 58. As interferências 54, 60 e 102, encontram-se na zona de influência do túnel de via, enquanto as interferências 60 e 69 encontram-se, simultaneamente, na zona de influência do poço de ventilação PV211, do túnel de ligação do entre o túnel de via e o poço de ventilação PV211 e o túnel de via (Figura 18 a Figura 21).

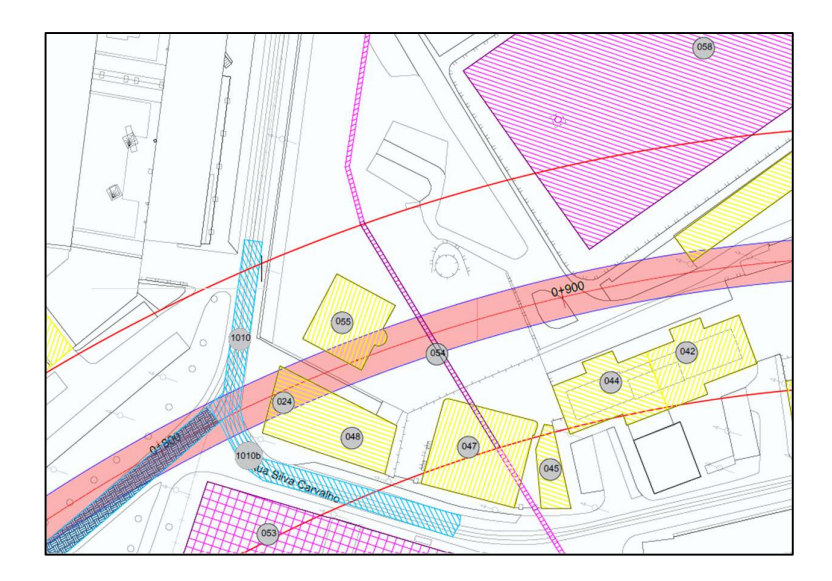


Figura 18 - Localização da interferência 54



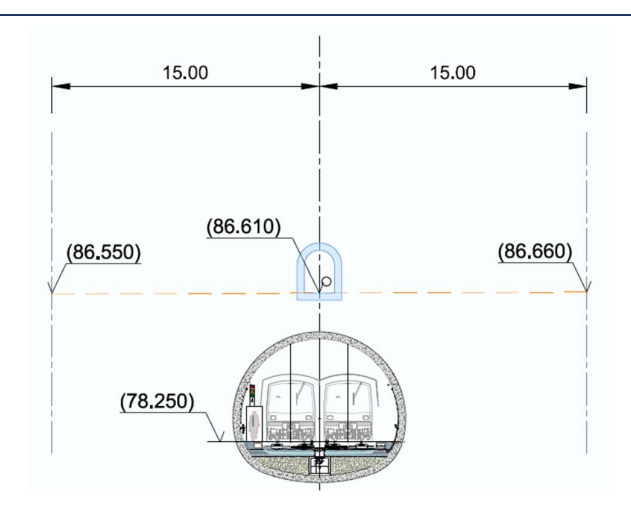


Figura 19 - Interferência 54 (considerando a alteração altimétrica do traçado)

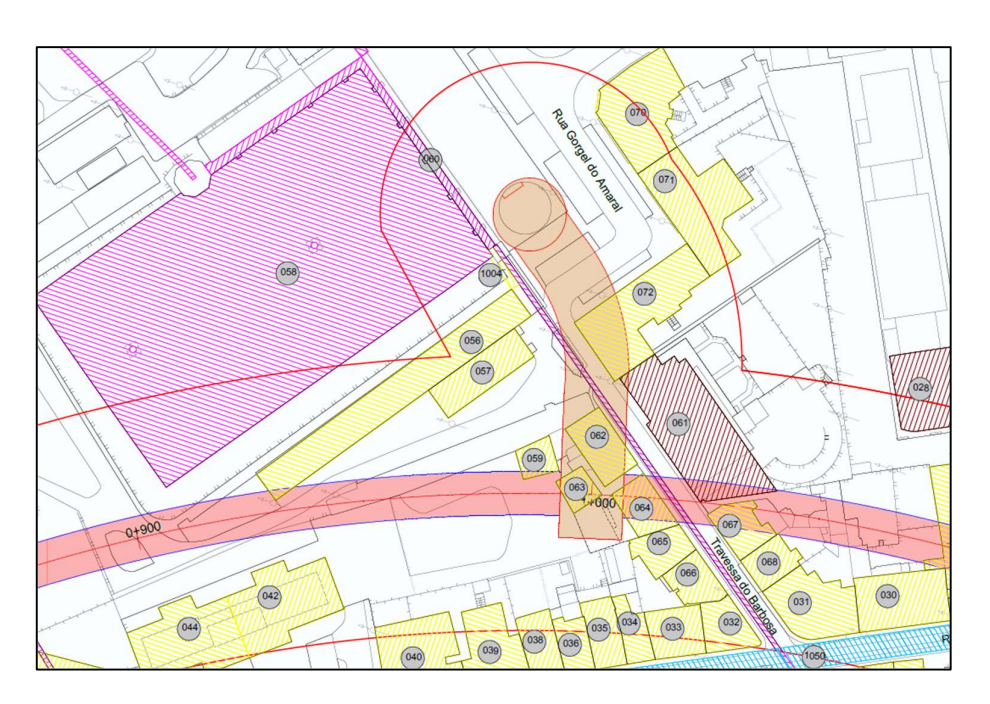


Figura 20 – Localização das interferências 58, 60 e 69



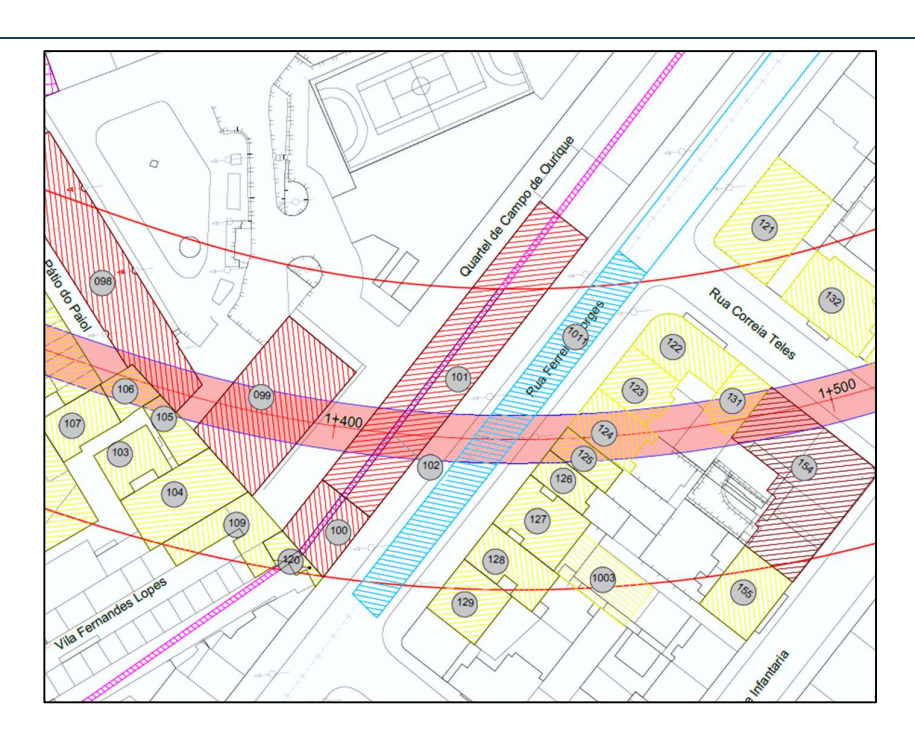


Figura 21 – Localização da interferência 102

### 4.1.2.3 Estação Campo de Ourique

Na zona de influência das obras de escavação para a entrada poente da estação de Campo de Ourique, ocorre o atravessamento do aqueduto identificado pela interferência 130 (Figura 22).



Figura 22 - Localização da interferência 130



### 4.1.2.4 Troço T83

No troço T83 ocorrem dois atravessamentos, identificados pelas interferências 266 e 1007, sendo esta última interferência a mudança de direção do aqueduto ainda sobre a área de influência do túnel de via (Figura 23).

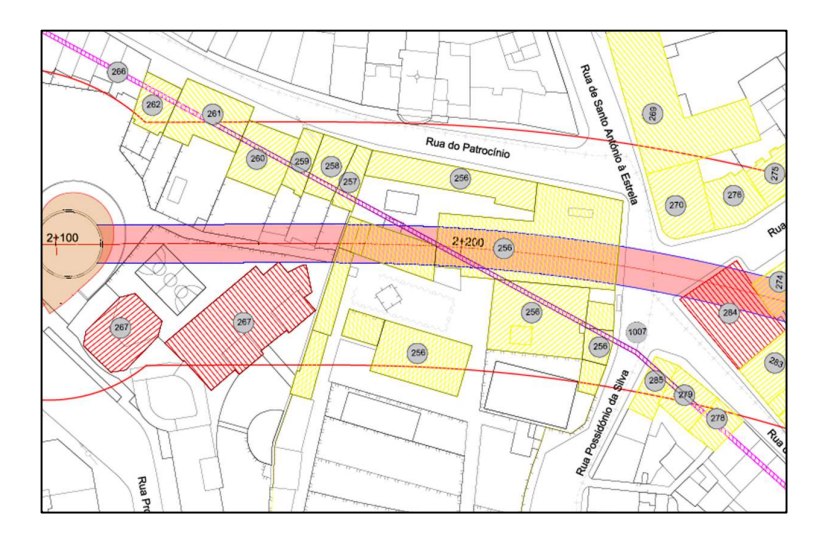


Figura 23 - Localização da interferência 266 e 1007

### 4.1.2.5 Troço T82

No troço 82 cruzam 2 atravessamentos, identificados pelo número de interferência 327 e 375. A interferência 327 aparenta interromper antes do atravessamento do túnel, segundo o relatório técnico sobre o levantamento topográfico (Figura 24 e Figura 25).

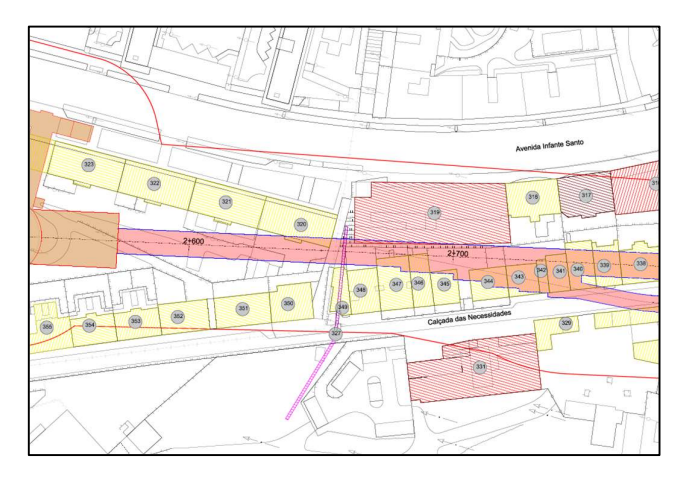


Figura 24 - Localização da interferência 327



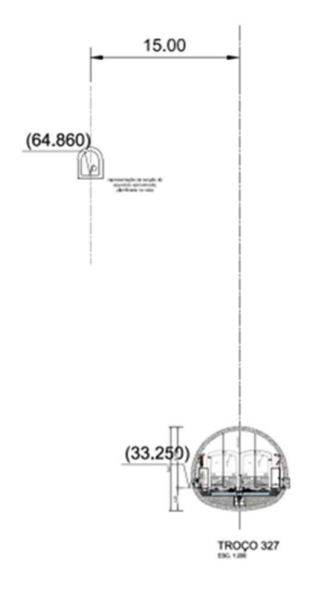


Figura 25 - Interferência 327 (considerando a alteração altimétrica do traçado)

A interferência 375 encontra-se afastada do eixo do túnel de via cerca de 18 metros, segundo o mesmo relatório, servindo de ligação ao Chafariz das Necessidades (Figura 26 e Figura 27).



Figura 26 - Localização da interferência 375



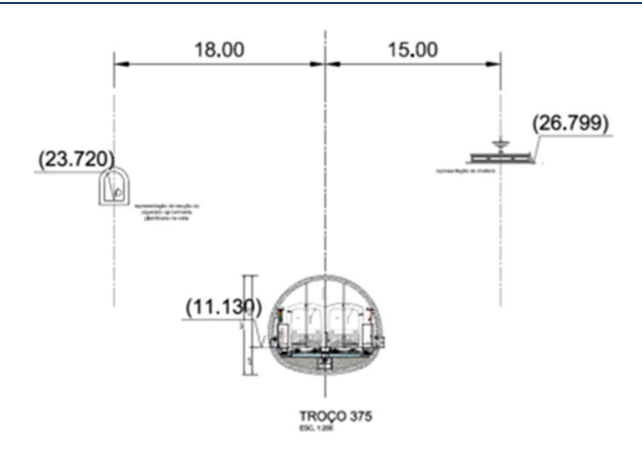


Figura 27 - Interferência 375 (considerando a alteração altimétrica do traçado)



#### 4.2 Palácio Anadia

### 4.2.1 Caracterização

Identificada como interferência 53 e localizado nas Amoreiras, na Rua Silva de Carvalho, 345-347, o Palácio Anadia, Imóvel de Interesse Municipal, tem um núcleo original que remonta ao séc. XVII. Foi objeto de ampliações, demolições e remodelações ao longo dos tempos (final do séc. XVII, séc. XIX e séc. XX).

É um edifício habitacional constituído por 4 pisos, com estrutura de alvenaria resistente e fundações superficiais. No interior destacam-se os silhares de azulejos e pinturas murais do núcleo seiscentista e a uma capela, construída em 1884 (Figura 28 a Figura 29).



Figura 28 - Palácio Anadia, vista em planta



Figura 29 - Palácio Anadia, vista aérea



O Palácio localiza-se no troço 82, a sul da Estação das Amoreiras-Campolide, sobre o túnel de via no quilómetro 0+800. O recobrimento do túnel neste troço varia de 14 a 16 metros.



Figura 30 - Palácio Anadia, fachada principal

### 4.2.2 Trabalhos previstos na zona de influência

Na zona de influência da interferência 53 encontra-se a escavação do túnel de via.



### 4.3 Cisterna do Aqueduto das Águas Livres

#### 4.3.1 Caracterização

A interferência 58 encontra-se localizada entre o PK 0+900 e o PK 1+1000, no troço 82, é uma cisterna que faz parte do sistema de distribuição de água do Aqueduto das Águas Livres à qual se ligam diversos ramais do aqueduto. Possui uma área de aproximadamente 4,500m² e encontra-se enterrada. As interferências 54, 60 e 69, constituem os ramais ligados à cisterna que se encontram na zona de influência dos trabalhos de escavação (Figura 31).



Figura 31 – Localização da interferência 58 (Cisterna do Aqueduto das Águas Livres)

#### 4.3.2 Trabalhos previstos na zona de influência

Na zona de influência da interferência 58 encontra-se prevista a escavação do poço de ventilação PV211, do túnel de ligação do poço de ventilação ao túnel de via e do túnel de via. Prevê-se que os maiores deslocamentos decorrerão durante a construção do poço de ventilação PV217 e seu túnel de ligação ao túnel de via, especialmente devido à profundidade e proximidade deste.



### 4.4 Edifício da Panificação Mecânica

#### 4.4.1 Caracterização

superficiais (Figura 32 e Figura 33).

Identificado como interferências 37 e 78, aproximadamente no PK 1+200, é um Imóvel de Interesse Público com construção datada de 1902, a Panificação Mecânica está localizada no Bairro de Campo de Ourique, na esquina entre a Rua de Campo de Ourique e a Rua Silva Carvalho, a Panificação surge como um dos primeiros centros industriais de fabrico de pão que se tornou-se desde logo num estabelecimento modelar. Em 1915 a Companhia Nacional de Moagem adquire a fábrica e instala no piso térreo do edifício uma padaria com venda ao público. Os elementos decorativos são do tipo "Arte Nova", onde os seus três pisos são revestidos a azulejo no interior e exterior. A montra é constituída por elementos de ferro e vidro. Atualmente possui 4 pisos e uma cave, com estrutura mista (Betão Armado/Alvenaria) e fundações



Figura 32 - Panificação Mecânica, fachada



Figura 33 - Panificação Mecânica, vista interior

#### 4.4.2 Trabalhos previstos na zona de influência

Na zona de influência da interferências 37 e 78 encontra-se a escavação do túnel de via do troço 82.





# 4.5 Núcleo de génese pombalina e Complexo do Quartel de Campo de Ourique

### 4.5.1 Caracterização

O Núcleo de génese pombalina e Complexo do Quartel de Campo de Ourique encontra-se localizado no centro do Bairro de Campo de Ourique. O complexo do Quartel de Campo de Ourique, possui utilização de cariz militar e foi objeto de ampliações ao longo dos anos integrando mais edifícios, é, desde 1979, espaço da Escola do Serviço de Saúde Militar.

O conjunto de edifícios é monumento de Interesse Público desde 2023, possui um núcleo de génese pombalina com 3 pisos e fundações superficiais, edifício denominado como Interferência 96, identificado na Figura 34 e Figura 35, a verde. Tem com construção datada do séc. XVIII, por ordem do Conde de Lippe.

A disposição de implantação do complexo no terreno é de configuração irregular e encontra-se parcialmente incluído na Zona de Proteção do Aqueduto das Águas Livres, nomeadamente sobre a interferência 102.

O complexo é constituído por vários edifícios, no entanto apenas 6 se encontram no interior da zona de influência dos trabalhos de escavação, sendo assim considerados para a avaliação de danos. Os edifícios que compõem o conjunto considerado encontram identificados com os números de interferência 96, 97, 98, 99, 100 e 101, na Figura 34. Excluindo a Interferência 96, os edifícios identificados a vermelho são constituídos por 2 pisos e igualmente por fundações superficiais.

As interferências encontram-se sensivelmente entre o quilómetro 1+250 e 1+450, no troço T84.

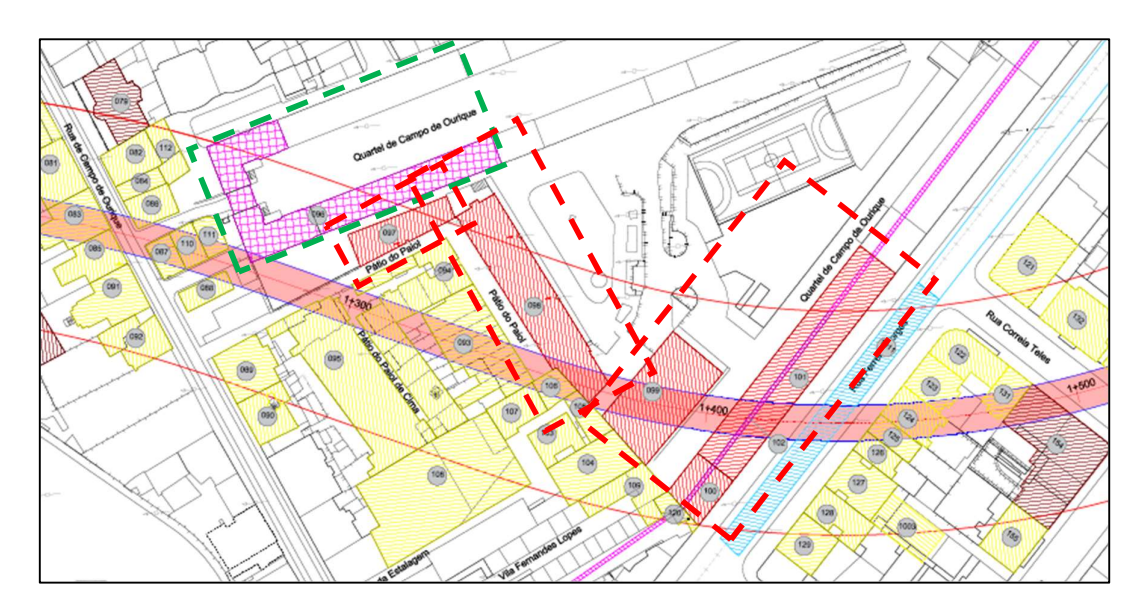


Figura 34 - Complexo do Quartel de Campo de Ourique, vista em planta





Figura 35 – Complexo do Quartel de Campo de Ourique, vista aérea



Figura 36 - Fachada lateral do Quartel de Campo de Ourique

### 4.5.2 Trabalhos previstos na zona de influência

Na zona de influência das interferências associadas ao Núcleo de génese pombalina e Complexo do Quartel de Campo de Ourique encontra-se a escavação do túnel de via.



#### 4.6 Cemitério Alemão

#### 4.6.1 Caracterização

O Cemitério Alemão encontra-se localizado na atual Rua do Patrocínio, 59, fundado em 1821 por um comerciante de nome Nikolaus Berend Schlick, oriundo de Lübeck, foi doada à comunidade evangélica alemã um terreno com perto de 3.000 m² de área, naquele que é hoje o bairro de Campo de Ourique, onde foi inaugurado no ano seguinte, a 25 de janeiro de 1822, o primeiro cemitério municipal germânico do país, o Cemitério Alemão de Lisboa. Este é composto por vários túmulos e jazigos.

Com implantação entre os pontos quilómetros 2+040 e 2+090 do troço 83, o Cemitério Alemão é denominado interferência 263 (Figura 37 a Figura 39).



Figura 37 - Sobreposição do Cemitério Alemão com o traçado do túnel - 83º troço do ML, vista em planta.



Figura 38 - Cemitério Alemão, vista aérea





Figura 39 - Cemitério Alemão, vista interior

### 4.6.2 Trabalhos previstos na zona de influência

A interferência 263 encontra-se na zona de influência do poço de ventilação PV215, do túnel de via do troço 83, da Via de Resguardo 1 (VR.1) e do túnel de ligação entre estes.



### 4.7 Conjunto do Palácio das Necessidades

### 4.7.1 Caracterização

O Conjunto do Palácio das Necessidades de acordo com a Direção Geral do Património Cultural, abrange "todo o edifício conventual, da Ordem de São Filipe Néri (dos Padres do Oratório), da torre e da capela, com estatuária de Agostini Giusti e de José de Almeida, os seus jardins e o respetivo parque, com elementos escultóricos e decorativos, e ainda a fachada palaciana, incluindo a fonte monumental, datada de 1748 e situada no largo ajardinado em frente da capela" está classificado como Imóvel de Interesse Público (Figura 40 e Figura 41).



Figura 40 - Palácio das Necessidades, fachada principal



Figura 41 - Chafariz das Necessidades, Jardim das Necessidades





O Complexo principal do Palácio das Necessidades funciona, desde 1950, como sede do Ministério dos Negócios Estrangeiros. Sabe-se, da consulta de bibliografia histórica, que o Palácio foi bombardeado a partir de navios amarados no Tejo em 1910, aquando da Implantação da República, e que sofreu danos tanto no interior como no exterior sem haver relato, no entanto, da extensão desses danos.

Desde 1947, ano em que se iniciaram as obras de adaptação para instalação do Ministério dos Negócios Estrangeiros, são mantidos extensos registos das intervenções realizadas nos vários edifícios de entre as quais se destacam a substituição da estrutura dos telhados de madeira para estrutura em betão armado (1952-1956), as sucessivas reparações e substituições de pavimentos e as sucessivas obras de conservação e reparação de fachadas

A Figura 42 representa a delimitação deste Conjunto enquanto a Figura 43 e Figura 44 apresenta a sobreposição do traçado previsto para a expansão da Linha Vermelha com o edificado existente.

Como é possível observar na Figura 43, o traçado do troço 82 passa sob os edifícios do antigo Palácio, identificados com o número de interferência 374. A Figura 44 ilustra a passagem sob o Miradouro das Necessidades, onde se localiza o Chafariz, identificado com o número de interferência 376.



Figura 42 - Delimitação do Conjunto do Palácio das Necessidades (retirado do Atlas do Património Classificado e em Vias de Classificação)





Figura 43 - Sobreposição do Conjunto do Palácio das Necessidades com o traçado do túnel do via

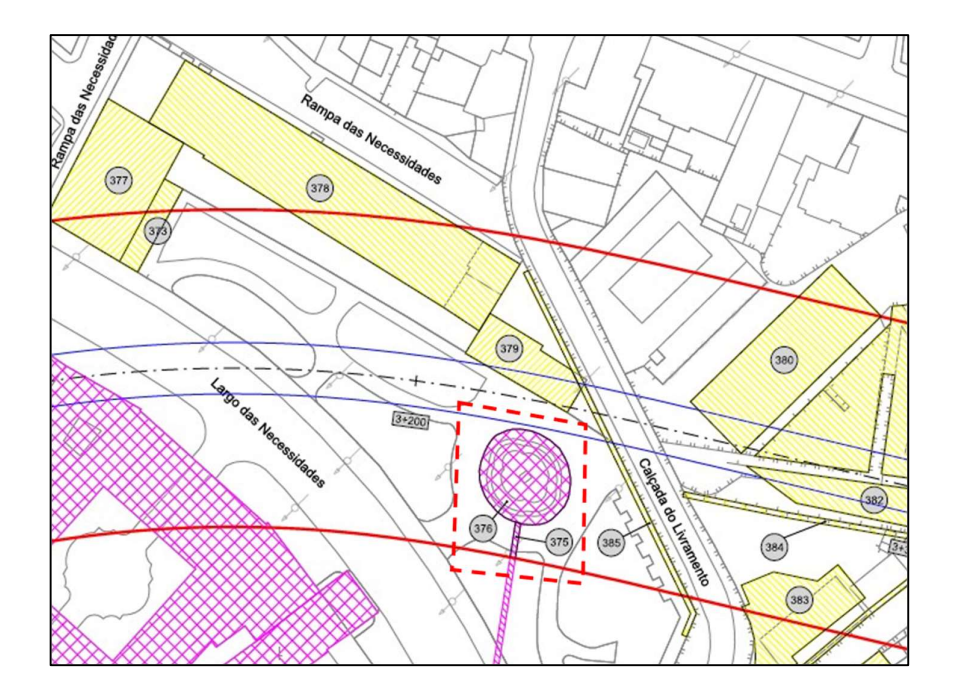


Figura 44 - Sobreposição do Miradouro das Necessidades com o traçado do túnel de via

O cruzamento do traçado com o muro de suporte do Miradouro, identificado pela interferência 385, constitui a fronteira entre os métodos construtivos utilizados para a escavação do túnel. Do lado nascente deste muro de suporte, a escavação é realizada através do método NATM, enquanto do lado poente deste muro a escavação será realizada a céu aberto.



### 4.7.2 Trabalhos previstos na zona de influência

O Complexo do Palácio das Necessidades abrange uma área sobre a influência dos trabalhos do túnel de via no troço 82, especialmente os pontos quilométricos 3+050 e 3+170.

O miradouro da Calçada das Necessidades, onde se localiza o Chafariz das Necessidades e o seu aqueduto adutor, interferências 376 e 375 respetivamente, encontram na zona de influência do emboquilhamento da escavação do troço 82 e o início da Obra Especial 5 (OE5) no PK 3+170.



#### 4.8 Baluarte do Livramento

#### 4.8.1 Caracterização

O Baluarte do Livramento foi uma estrutura defensiva construída no Séc. XVII. A parte do conjunto edificado do Baluarte do Livramento que se encontra zona de influência dos trabalhos de escavação está identificado pela interferência 381a. O conjunto encontra-se inventariado na carta municipal do património pelo seu valor histórico, arquitetónico e ambiental, é inserido na Zona Especial de Proteção que envolve o Palácio das Necessidades (Figura 45).



Figura 45 - Atlas da carta topográfica nº47, 1857 de Filipe Folque in A.M.L

Foi um dos poucos baluartes construídos, da projetada linha contínua de fortificações de 1652 que, pelo lado de terra, ligava Alcântara à Cruz de Pedra. O Baluarte do Livramento, ou das Necessidades, recebia o nome de dois conventos: um, que lhe ficava dentro, hoje desaparecido; o outro, ainda existente e que está junto do antigo Palácio Real das Necessidades, hoje Ministério dos Negócios Estrangeiros.

Atualmente, dentro das muralhas do baluarte, está sediada a associação "CASA DE GOA – Associação de Goa, Damão e Diu" que promove sua cultura através da transmissão dos valores culturais de Goa, Damão e Diu. É também espaço para várias atividades culturais, tais como, lançamento de livros e conferências. Possui um restaurante e um museu, contendo este último, um troço da muralha original do baluarte do Livramento e representação da cultura e história indo-portuguesas e do quotidiano goês (Figura 46).







Figura 46 - Baluarte do Livramento

### 4.8.2 Trabalhos previstos na zona de influência

A interferência 381a encontra-se na zona de influência da escavação a céu aberto da OE5, aproximadamente entre o ponto quilométrico 3+236 e o km 3+326 (90 m de extensão), implicando o atravessamento da Calçada do Livramento e do Baluarte do Livramento, materializado através da escavação de uma trincheira pelo método "cut and cover" com recurso a cortina de estacas para escavação provisória que ocupará temporariamente o espaço do Baluarte.

A jusante da execução da trincheira para execução do túnel do metro, localiza-se a Muralha do Baluarte do Livramento; esta intervenção sobre a Muralha demarca igualmente a fronteira entre a construção em túnel e em viaduto devido às cotas de implantação da estrutura e implica o desmonte parcial de um troço da muralha histórica que delimitava a antiga estrutura de defesa e a sua consequente reconstrução.

# 4.9 Via ferroviária (Ligação Alcântara-Terra ao Porto de Lisboa)

### 4.9.1 Caracterização

De acordo com a IP Património, a Estação de Alcântara-Terra, inaugurada em 1887, é a estação terminal da Linha de Cintura de Lisboa e faz serviço de passageiros (Linha de Sintra e Linha da Azambuja) e de mercadorias.



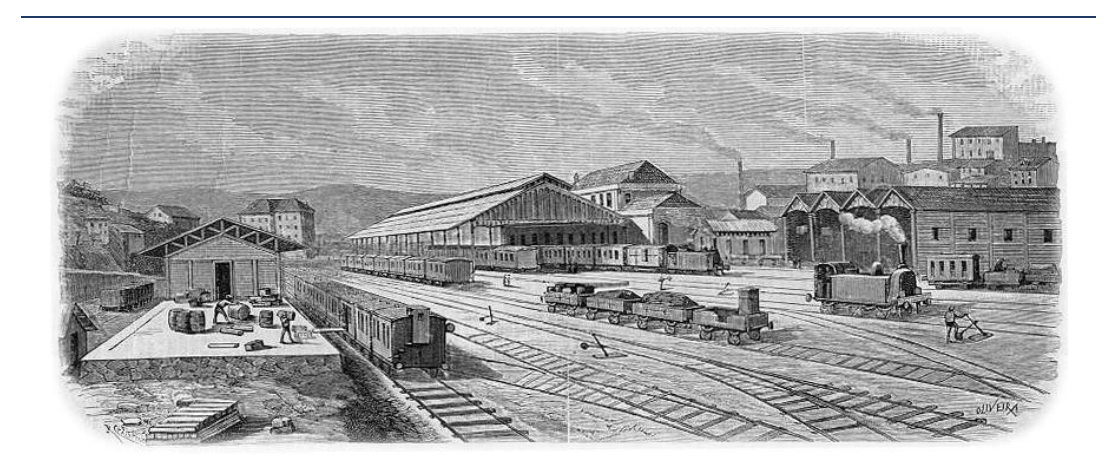


Figura 47 - Estação de Alcântara-Terra em 1887

Em 1882, a Companhia Real dos Caminhos de Ferro Portugueses apresentou uma proposta no Parlamento para a instalação de várias linhas férreas, incluindo uma de Alcântara a Torres Vedras, com ramais para Sintra e para a Aldeia Galega da Merceana. A estação de Alcântara Terra foi inaugurada a 2 de Abril de 1887, como terminal do traçado original das Linhas de Sintra e Oeste. A implantação da estação de Alcântara-Terra implicou uma terraplanagem considerável de toda a área e a cobertura progressiva do troço do rio de Alcântara que desaguava no Tejo.

No final do mesmo ano ocorreu o contrato entre a Companhia Real dos Caminhos de Ferro Portugueses e a empresa Hersent para a execução da cobertura do caneiro de Alcântara, que servia a indústria local e se encontrava já bastante poluído.

De acordo com o "Catálogo das Vias Férreas" elaborado pela Direcção-Geral do Território, o segmento 291 a que corresponde a Linha de Cintura no troço Alcântara-Mar/Alcântara-Terra utiliza a bitola ibérica (1668 mm) e a sua manutenção encontra-se a cargo da empresa Infraestruturas de Portugal, S.A.

Em 10 de Agosto de 1891, foi inaugurado o ramal desde Alcântara-Terra até Alcântara-Mar, ligando a Linha do Oeste à Linha de Cascais.

A interferência com os pilares e fundações da estrutura em viaduto ocorre junto do encontro entre a Avenida de Ceuta e a Rua Maria Pia; esta secção marca igualmente a fronteira entre a via única e a via dupla da linha férrea (Figura 48).





Figura 48 - Troço Linha Férrea afetada

Nesta zona do traçado, o mesmo será materializado através da construção de um viaduto pelo que a interferência objeto deste documento está relacionada com o posicionamento dos pilares e fundações do mesmo. Deste modo, a linha ferroviária encontra-se na zona de influência dos trabalhos de escavação para a execução das fundações dos pilares P3 e P4 (Figura 49).

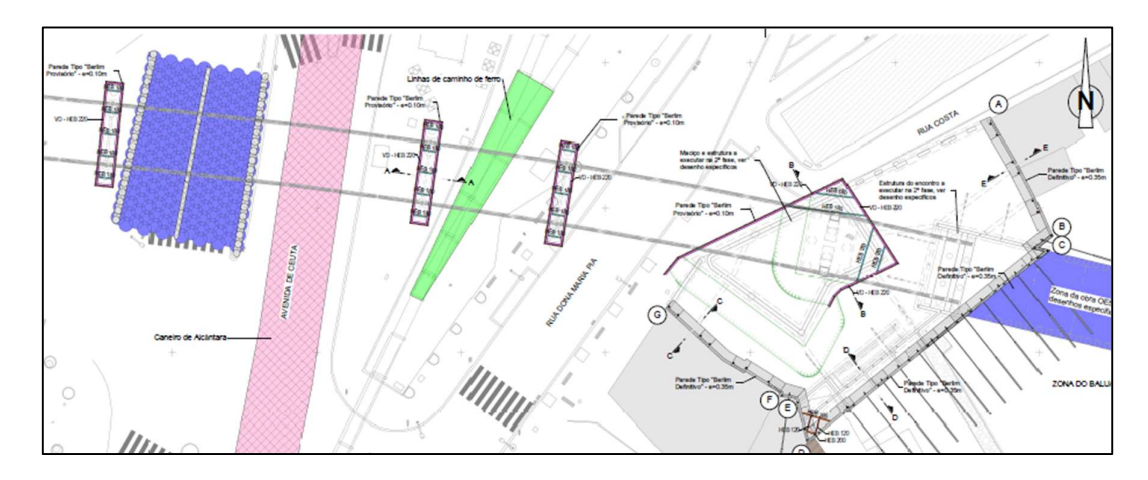


Figura 49 - Proximidade dos pilares P3 e P4 com a linha férrea nas imediações da estação Alcântara-Terra



#### 4.9.2 Trabalhos previstos na zona de influência

Os trabalhos previstos na zona de influência da via ferroviária são a construção das fundações dos pilares P3 e P4, que implicam a realização de trabalhos de escavação associados à execução das fundações indiretas por estacas e respetivos maciços de encabeçamento.

#### 4.10 Caneiro de Alcântara

### 4.10.1 Caracterização

O Caneiro de Alcântara constitui o maior coletor da cidade de Lisboa, com uma extensão total de aproximadamente 10 km, e drena uma área de cerca de 3000 hectares.

A Figura 50 representa o traçado e a delimitação da bacia desta infraestrutura.

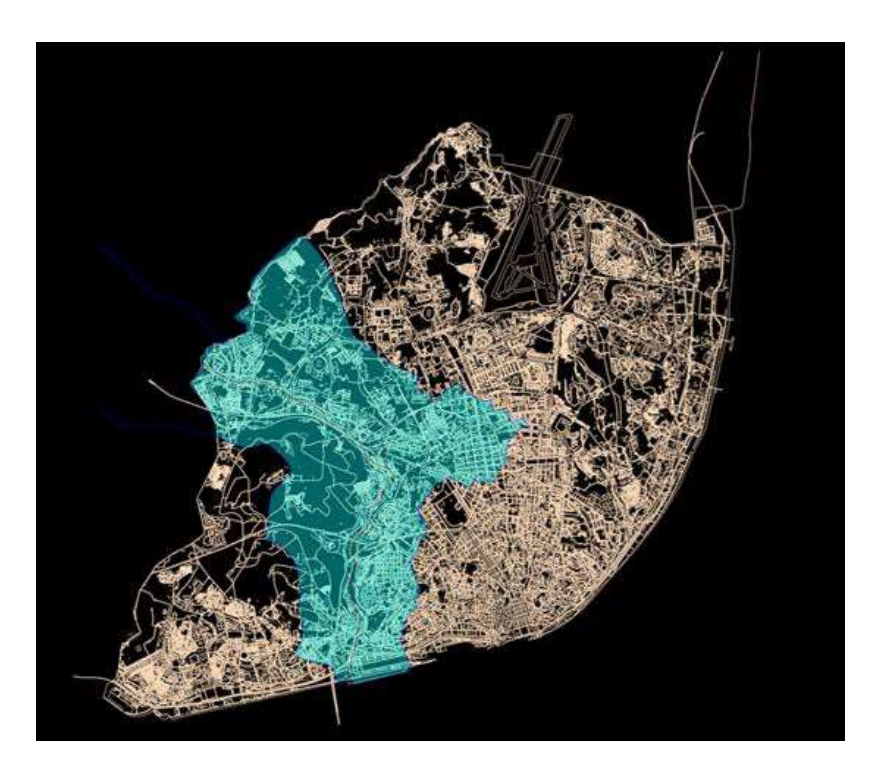


Figura 50 – Traçado e bacia do Caneiro de Alcântara – cadastro digital da rede pública de saneamento de Lisboa (Departamento de Saneamento CML)

Esta interferência encontra-se no cruzamento da Rua Prior do Crato com a Avenida de Ceuta em Alcântara-Terra. Nesta zona do traçado troço 82, a interferência com Caneiro está relacionada com o posicionamento dos pilares e fundações desta estrutura e impactos dos trabalhos no Caneiro.





O Caneiro de Alcântara tem uma transição de geometria de secção a jusante e fora da zona de influência dos trabalhos (Figura 51). A secção do Caneiro de Alcântara na zona de influência dos trabalhos é secção nº5, cujas dimensões se encontram indicadas na Figura 53.

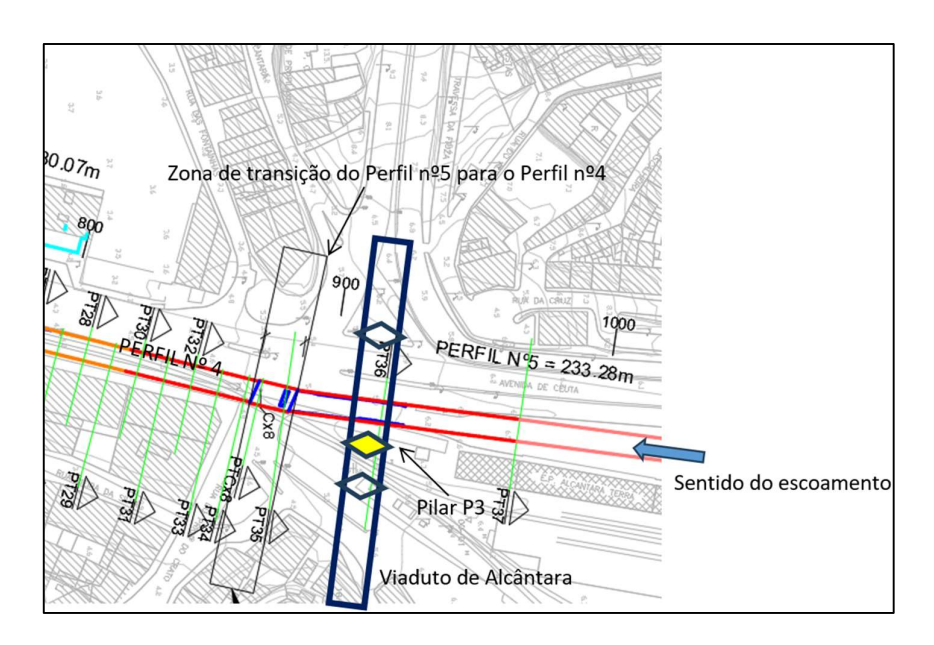


Figura 51 - Planta com sobreposição do alinhamento do Caneiro de Alcântara com a localização das fundações do viaduto da Linha Vermelha

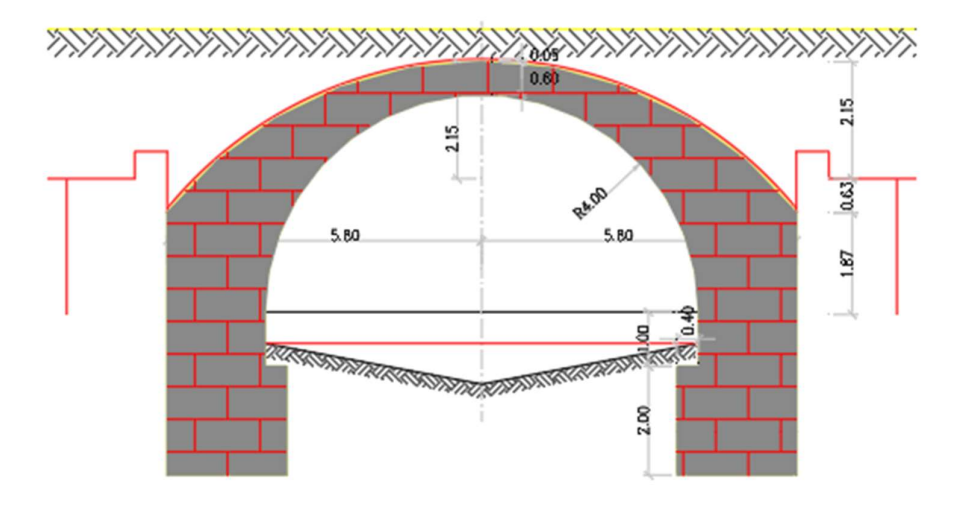


Figura 52 - Secção nº5

De acordo com a inspeção realizada pelo LNEC no dia 3 de Setembro de 2024, a secção Nº5 que se encontra na zona de influência das escavações para a fundação dos pilares do viaduto, é constituída por alvenaria de pedra argamassada e fundo móvel (Figura 53).





Figura 53 – Fotografia do interior do Caneiro de Alcântara (Secção nº5)

#### 4.10.2 Trabalhos previstos na zona de influência

Os trabalhos na zona de influência do Caneiro de Alcântara são a construção da fundação do pilar P3.

#### 4.11 Palácio Fiúza

#### 4.11.1 Caracterização

Localizado na Travessa do Fiúza, 37-39, no lado Norte da futura Estação de Alcântara, o Palácio Fiúza, Interferência 416, Imóvel de Interesse Público e datado do século XVII, antiga habitação Real, pertence a um conglomerado urbano localizado na Freguesia de Alcântara (Figura 54 e Figura 55).

O Palácio é definido em planta em forma de "L" por ângulos sensivelmente retos. É ocupado principalmente por habitações e armazéns, é constituído por três pisos onde foi posteriormente aproveitado o sótão para habitação. A sua estrutura é de alvenaria resistente com fundação superficial.



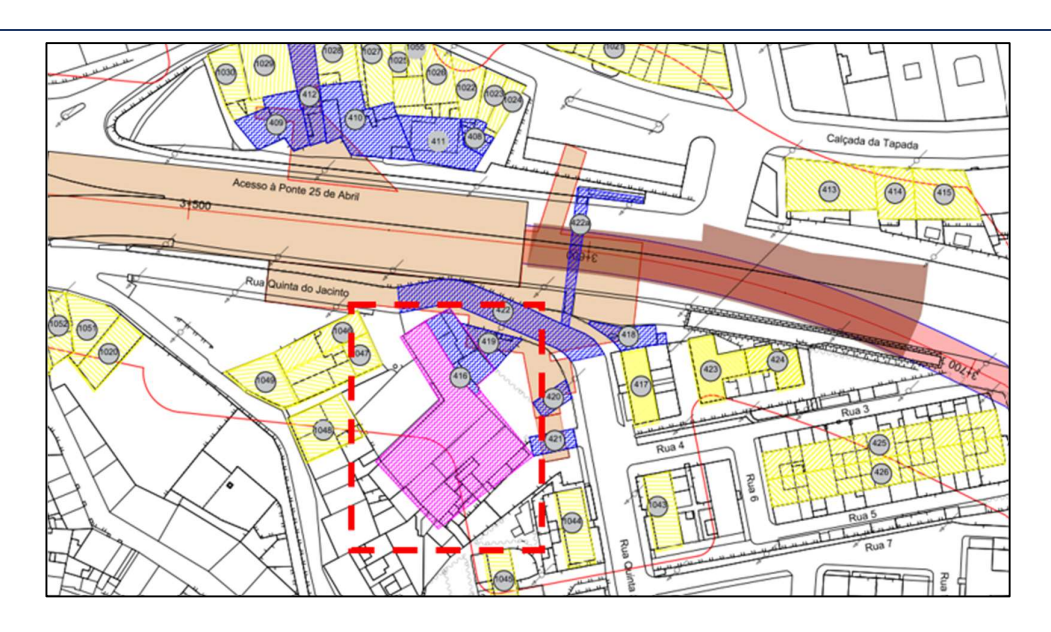


Figura 54 - Localização geográfica do Palácio Fiúza



Figura 55 - Fachada lateral e vista aérea do Palácio Fiúza

### 4.11.2 Trabalhos previstos na zona de influência

A Interferência 416 encontra-se na zona de influência dos trabalhos de escavação para a entrada da Estação de Alcântara.



#### 4.12 Pilares do viaduto de acesso à Ponte 25 de Abril

### 4.12.1 Caracterização

O eixo do Prolongamento da Linha Vermelha atravessa o eixo do viaduto de acesso da Ponte 25 de Abril aproximadamente ao Pk 3+810 e entre os pilares P18 – P19 do tabuleiro rodoviário e os pilares P18 – P19A do tabuleiro ferroviário (Figura 56 a Figura 58).

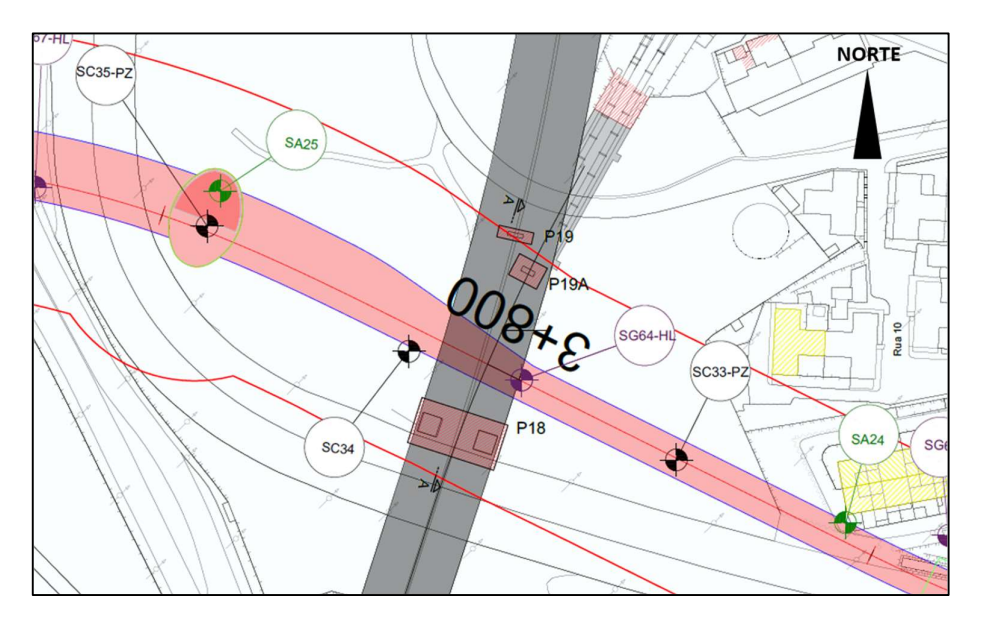


Figura 56 - Planta de localização da zona de intervenção

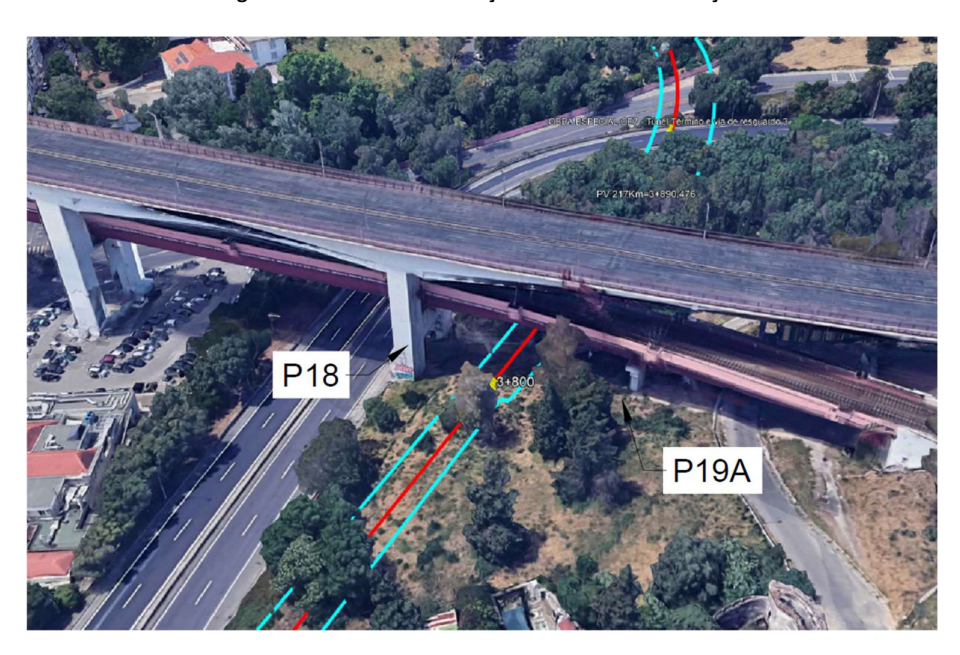


Figura 57 - Vista aérea do ponto de cruzamento (lado nascente)



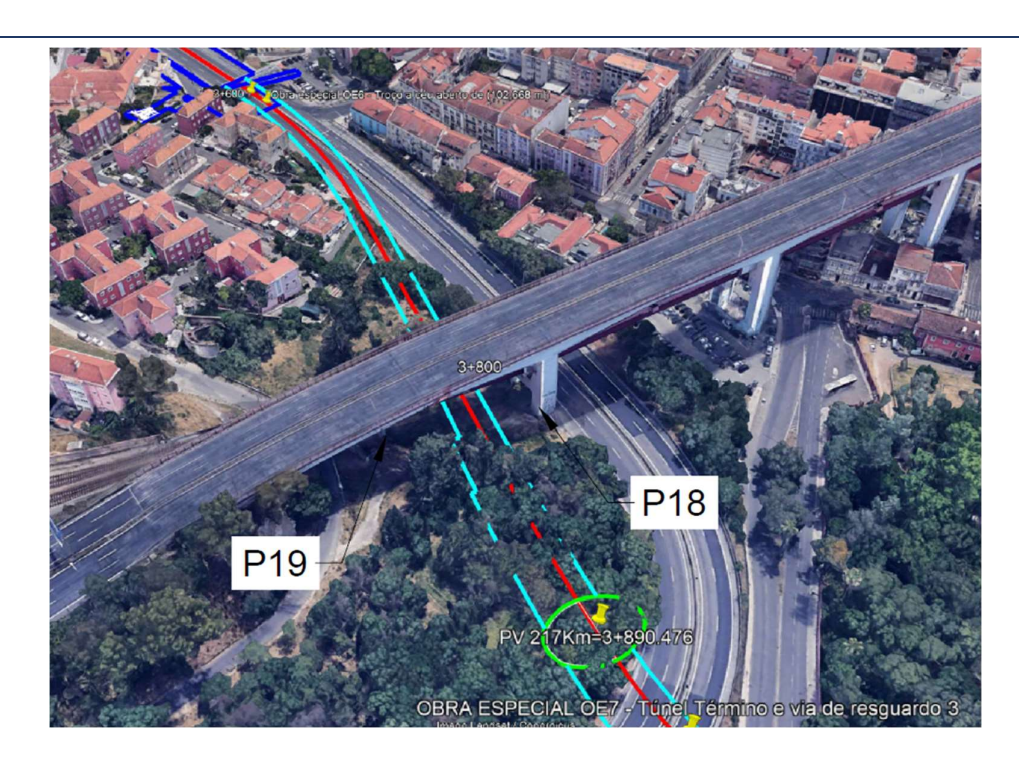


Figura 58 – Vista aérea do ponto de cruzamento (lado poente)

Neste ponto quilométrico, do lado Sul do eixo da Linha Vermelha situa-se o pilar P18 e do lado Norte os pilares P19 e P19A. A sapata do pilar P19A encontra-se a aproximadamente 16,2 m e a sapata do pilar P18 encontra-se a aproximadamente 6.5 m (Figura 59). A descrição das formações ocorrentes é indicada na Figura 18.

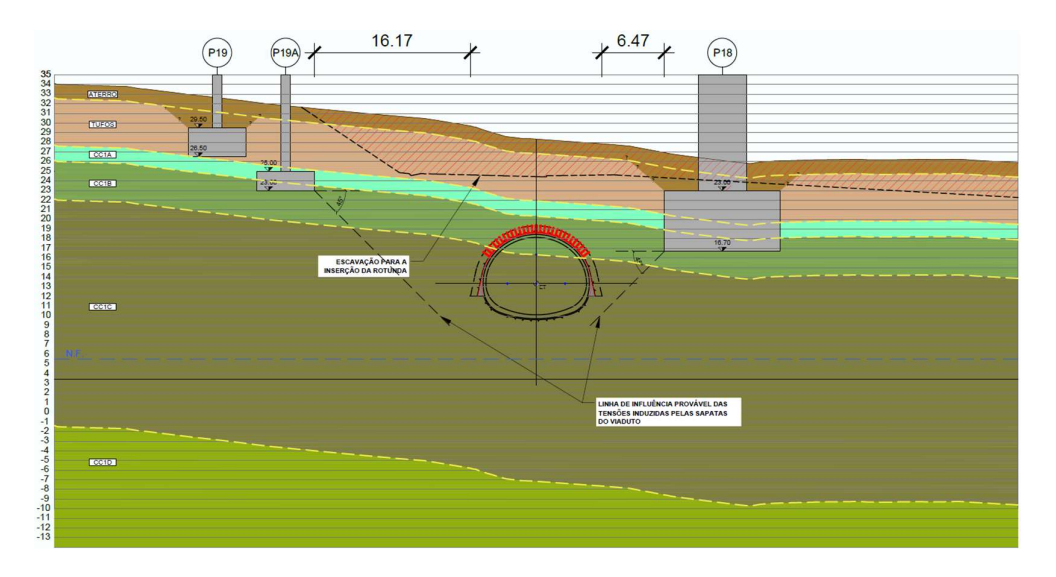


Figura 59 – Perfil geológico-geotécnico, com a localização das interferências e da obra do Metropolitano de Lisboa. Corte A-A (ver localização do corte na Figura 56)



De acordo com os elementos fornecidos, os pilares em apreço têm as características indicadas na Tabela 5. Na Figura 60 a Figura 62 apresentam-se imagens extraídas dos elementos fornecidos, que constituem a base do estudo realizado.

Tabela 5 – Características dos pilares

Identificação do Pilar	P18	P19	P19A	
Altura aproximada	35,0 m	27,4 m	20,5 m	
Função de tabuleiro suportado	Rodoviário + Ferroviário	Rodoviário	Ferroviário	
Solução estrutural	Dois pilares quadrangulares em betão armado ocos, com 5,0 m de lado e 0,4 m de espessura, interligados por uma travessa intermédia	Um pilar retangular em betão armado maciço (4,0 m x 1,0 m)	Um pilar hexagonal em betão armado maciço (3,5 m x 2,0 m)	
Tipo de fundação	Direta – Sapata com as dimensões de 12 m x 23 m x 3 m	Direta – Sapata com as dimensões de 9m x 3m x 3 m	Direta – Sapata com as dimensões de 6 m x 8 m x 2 m	
Cota da base da fundação	+16,7 m	+26,5 m	+23,0 m	

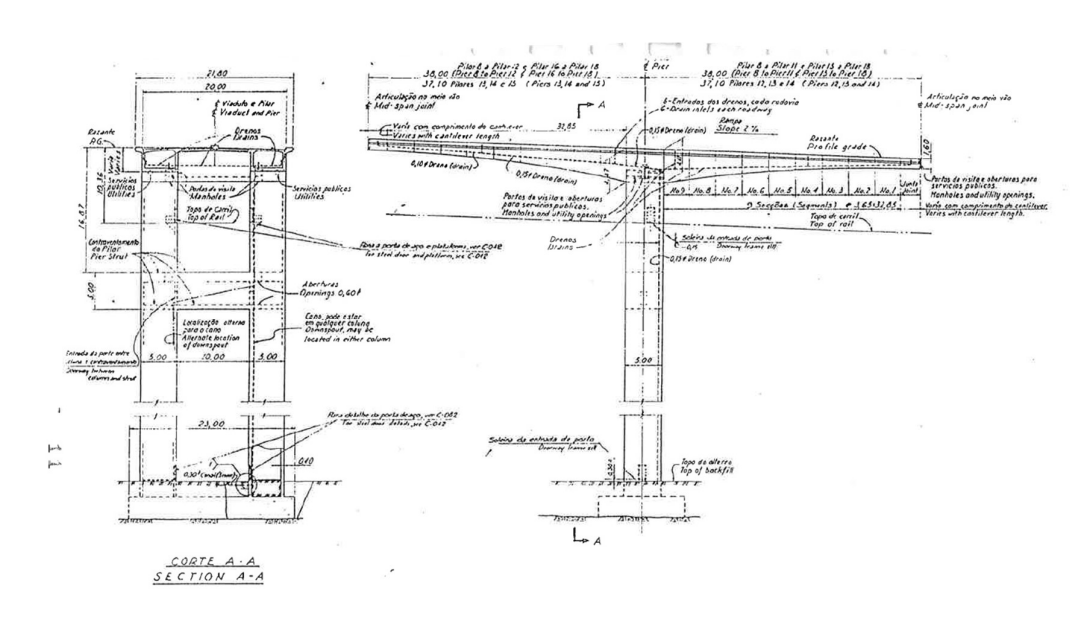


Figura 60 – Pilar P18 (Peça desenhada nº C-011 As-Built 1962)



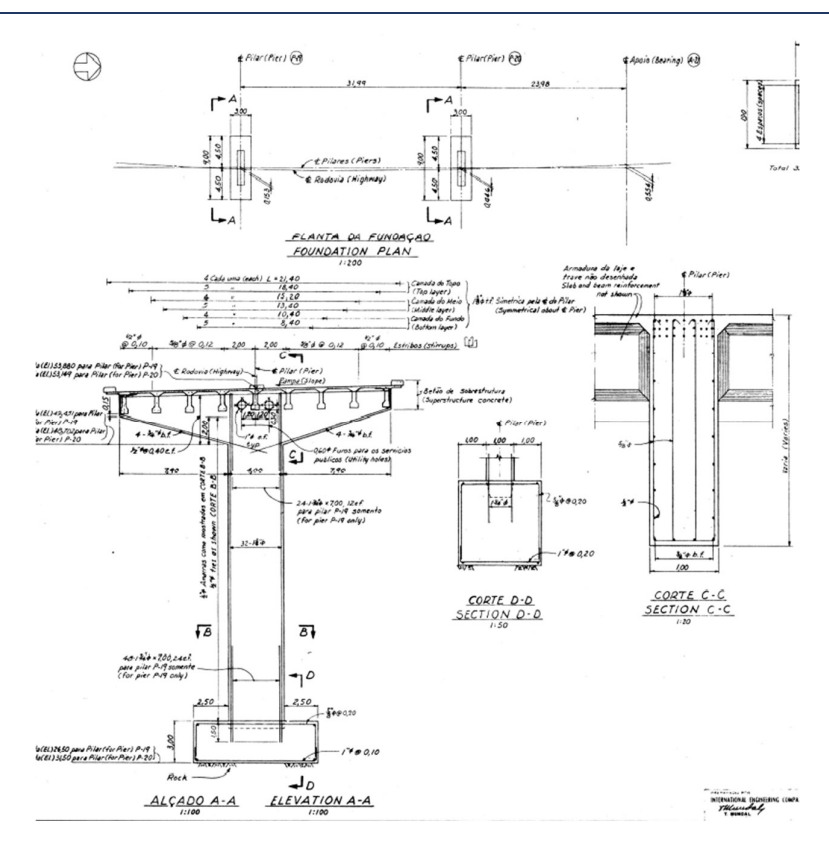


Figura 61 – Pilar P19 (Peça desenhada nº C-050 As-Built 1962)

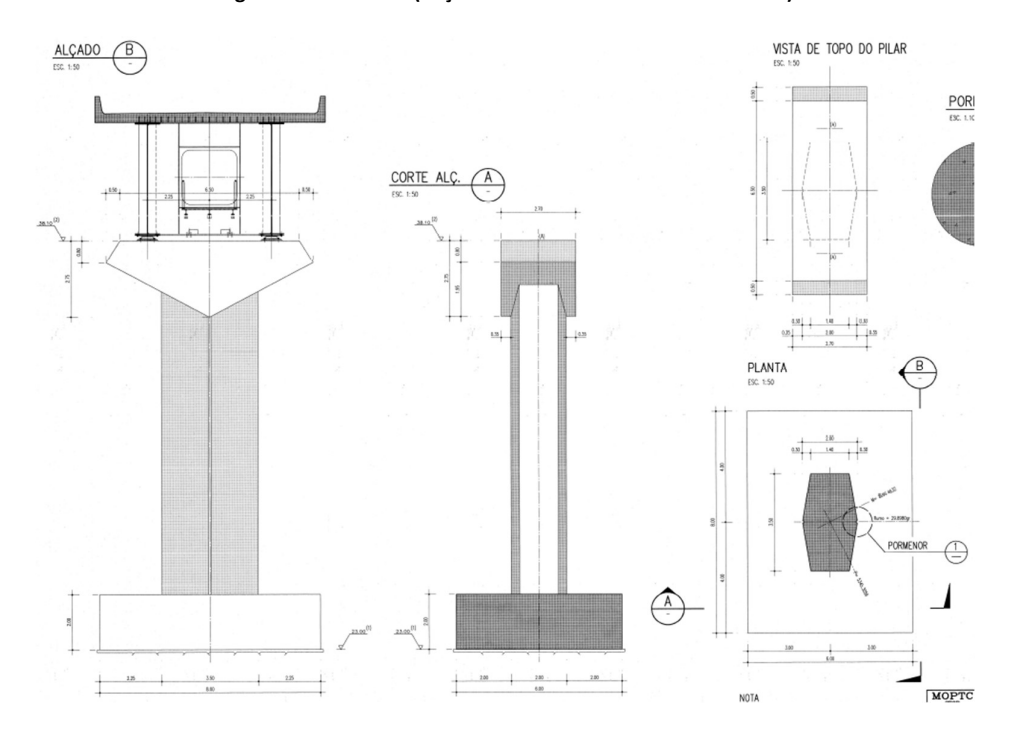


Figura 62 – Pilar P19A (Peça desenhada nº 76 do Projeto de Execução 1996)



Os tramos que ligam os pilares acima referidos têm as características indicadas na Tabela 6. Na Figura 63 e Figura 64 apresentam-se imagens extraídas dos elementos base.

Tabela 6 – Características dos tramos do tabuleiro

Identificação do Tramo	lentificação do Tramo P17 – P18		Tramo P19 – P20	Tramo P18 – P19A		
Comprimento do vão	76 m	38 m + 14,5 m	32 m	45 m		
Tipo de tabuleiro suportado	Rodoviário e ferroviário	Rodoviário	Rodoviário	Ferroviário		
Solução estrutural	2 x 38 m de tabuleiro em consola, encastrado em elementos de betão armado pré-esforçado, ligados a meio vão por uma junta em rótula.	38 m de tabuleiro em consola, encastrado em elementos de betão armado préesforçado, ligados a meio vão por uma junta em rótula.  14,5 m de tabuleiro em laje vigada em betão armado.	32 m de tabuleiro em laje vigada em betão armado.	45 m de tabuleiro constituído por vigas metálicas.		

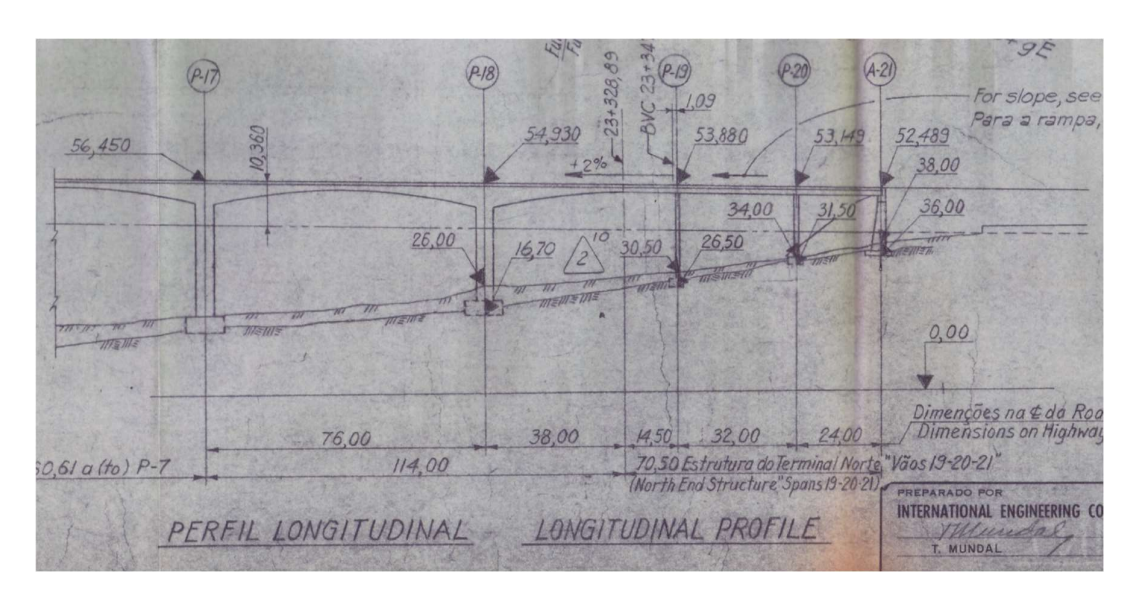


Figura 63 – Perfil longitudinal do tabuleiro rodoviário (Peça desenhada nº C-003 As-Built 1962)





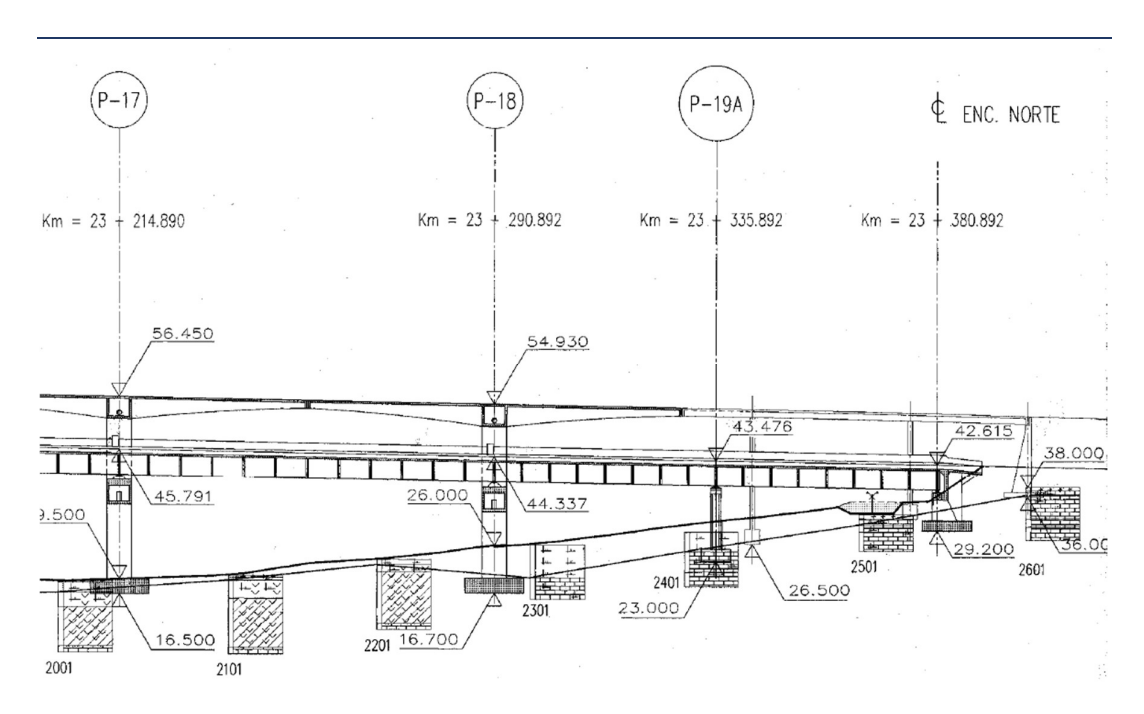


Figura 64 – Perfil longitudinal do tabuleiro rodoviário e ferroviário (Peça desenhada nº 76 do Projeto de Execução - 1996)

No que se refere às cargas transmitidas pelas sapatas ao terreno de fundação, considerou-se uma tensão média uniforme de 0,9 MPa referida nos elementos base (Figura 65). Refere-se que nos elementos base fornecidos o valor para tensão indicado surge num capítulo da Memória Descritiva e Justificativa do Projeto "Instalação da Via Férrea e Beneficiação do tabuleiro rodoviário no viaduto de acesso norte à ponte sobre o Tejo em Lisboa" cuja capa indica Projeto de Execução, estando a numeração das páginas realizada em sequência a partir da mesma capa. Contudo, alguns dos subcapítulos possuem o título de Projeto Base, pelo que não foi possível interpretar com exatidão a que fase do projeto as informações nele contido correspondem.

Relativamente à localização das juntas do tabuleiro ferroviário, as mesmas encontram-se a norte no encontro do tabuleiro e a sul no pilar P15 (Figura 66). Para o tabuleiro rodoviário, de acordo com a Memória Descritiva e Justificativa do Projeto de Execução para Beneficiação do Tabuleiro Rodoviário, datado de Março de 1995, que previa a redução do número de juntas de dilatação para apenas quatro, a juntas mais próximas da zona em apreço localizam-se entre o pilar P18 e o P19 e no encontro a norte (Figura 67). Na Figura 68 encontram assinaladas as juntas dos tabuleiros ferroviário e rodoviário.

Na presente avaliação, pressupõe-se que todos os elementos que compõe o viaduto se encontram em adequado estado de conservação e sem patologias estruturais pré-existentes.





#### 3. ANÁLISE DA SEGURANÇA DAS FUNDAÇÕES

Foram calculados os esforços normais e momentos flectores, transmitidos por cada par de pilares à sapata de fundação comum.

A estes esforços deve adicionar-se:

- o peso próprio da sapata e o peso do betão de enchimento, caso exista, a colocar sob a sapata, conforme o desenho C-012 do projecto do viaduto;
- o momento flector resultante da ocorrência de excentricidades adicionais, obtido por:

$$M' = M + N^{Topo} (e_a + e_2 + e_c).$$

Efectuando uma estimativa das tensões médias e máximas transmitidas pelas sapatas ao terreno de fundação observou-se que a maior tensão média ocorre para a combinação que envolve a sobrecarga e tem o valor de cerca de 0.9MPa. Em geral, as tensões médias transmitidas à fundação são da ordem de 0.5MPa.

Figura 65 – Análise da segurança das fundações (Memória descritiva e justificativa – Parte III – Análise da segurança da estrutura global – 1995 – Projeto de Execução/Projeto Base?)

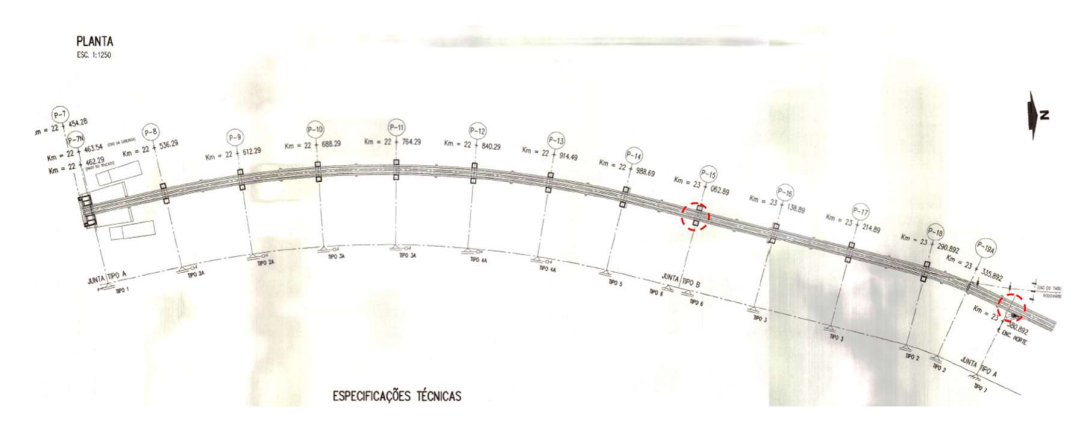


Figura 66 – Localização das juntas do tabuleiro ferroviário mais próximas da zona de intervenção, assinaladas a vermelho (Peça desenhada №106 do Projeto Base)



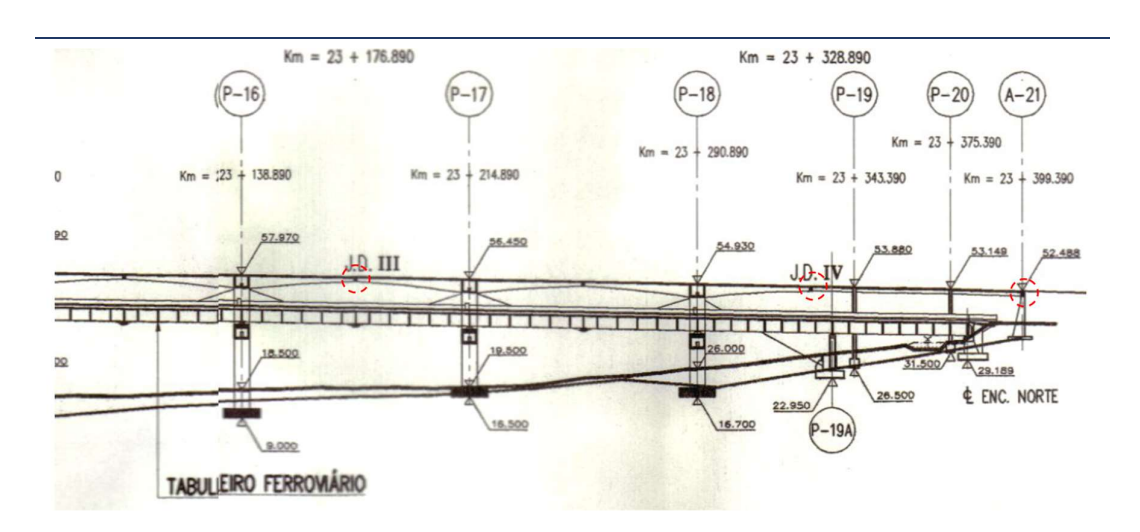


Figura 67 – Localização das juntas do tabuleiro rodoviário mais próximas da zona de intervenção, assinaladas a vermelho (Peça desenhada №53 do Projeto de Execução – Beneficiação do tabuleiro rodoviário)

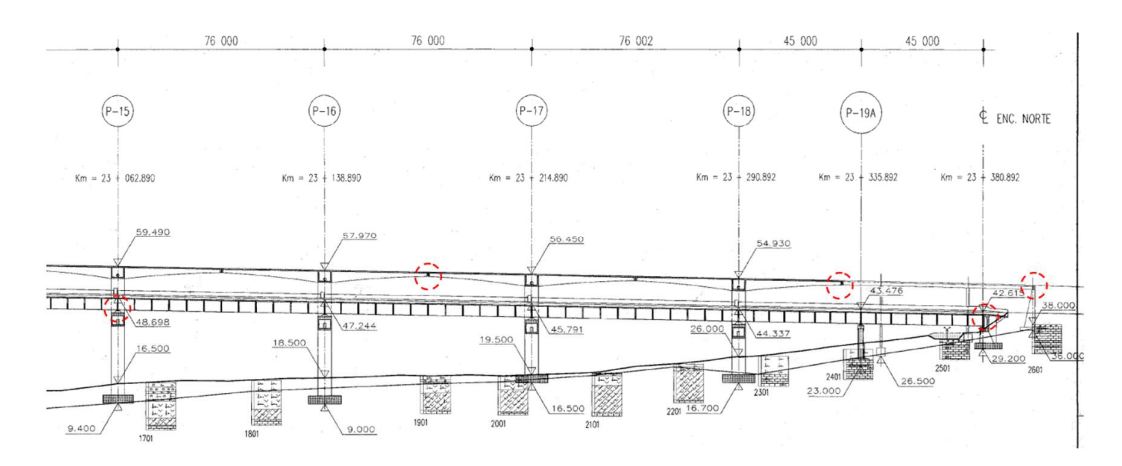


Figura 68 – Localização das juntas dos tabuleiros rodoviário e ferroviários, mais próximas da zona de intervenção, assinaladas a vermelho (Peça desenhada №76 do Projeto de Execução – Instalação da via férrea no viaduto de acesso norte à ponte sobre o Rio Tejo em Lisboa)

### 4.12.2 Trabalhos previstos na zona de influência

As frentes de obra relativas ao projeto do Prolongamento da Linha Vermelha, posicionadas na zona de influência do viaduto de acesso à Ponte 25 de Abril são:

- Troço 85 do túnel de via.
- Via de resguardo 3 (também denominada Túnel Término ou OE7).

Ambas a obras fazem parte do túnel principal, sendo o ponto quilométrico aproximado de transição entre ambas as obras, o Pk 3+810 (Figura 69).



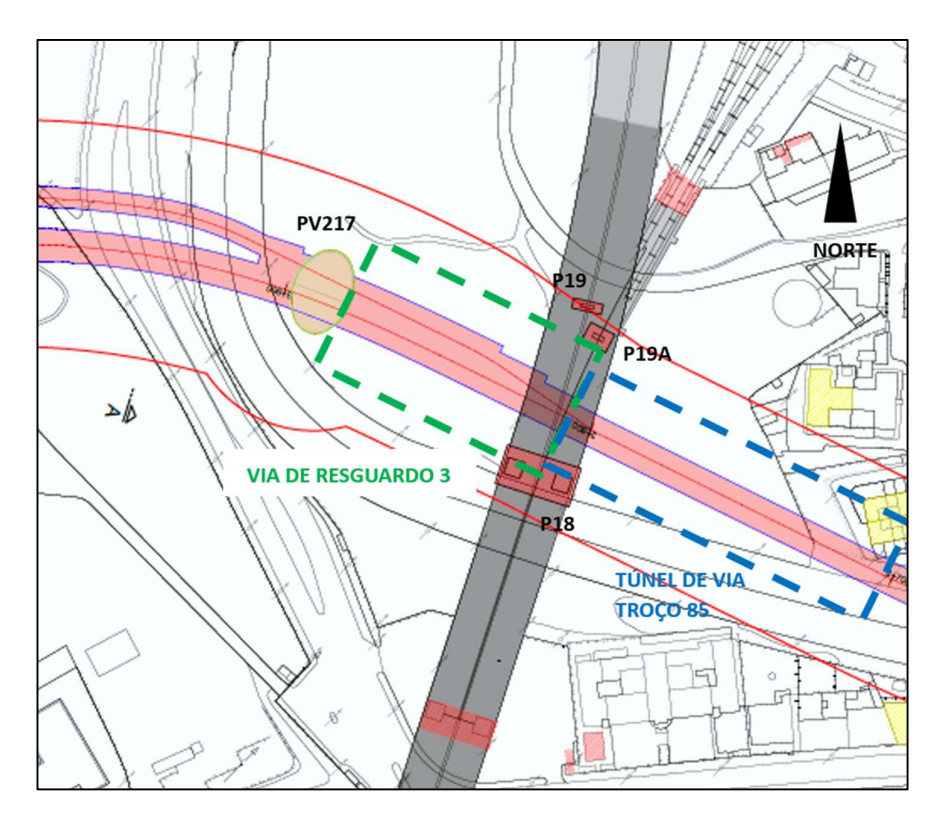


Figura 69 – Frentes de obra do Metropolitano de Lisboa – Linha vermelha, na zona de influência do viaduto de acesso à Ponte 25 de Abril

A execução da Via de Resguardo 3 consiste na escavação de um túnel segundo o método convencional (também denominado NATM), que terá inicio no poço de ventilação PV217, localizado a poente da zona de cruzamento com a interferência e fora da zona de influência do viaduto. Genericamente, esta metodologia consiste na retirada de material da frente de escavação seguida da aplicação de um suporte primário para suporte do maciço escavado. O suporte previsto para a secção mais próxima do cruzamento com o eixo do tabuleiro rodoviário, a secção designada por VR3.1, encontra-se ilustrada na Figura 71, onde os avanços de escavação para a fase 1 são de 2,0 m e para a fase 2 de 4,0 m.



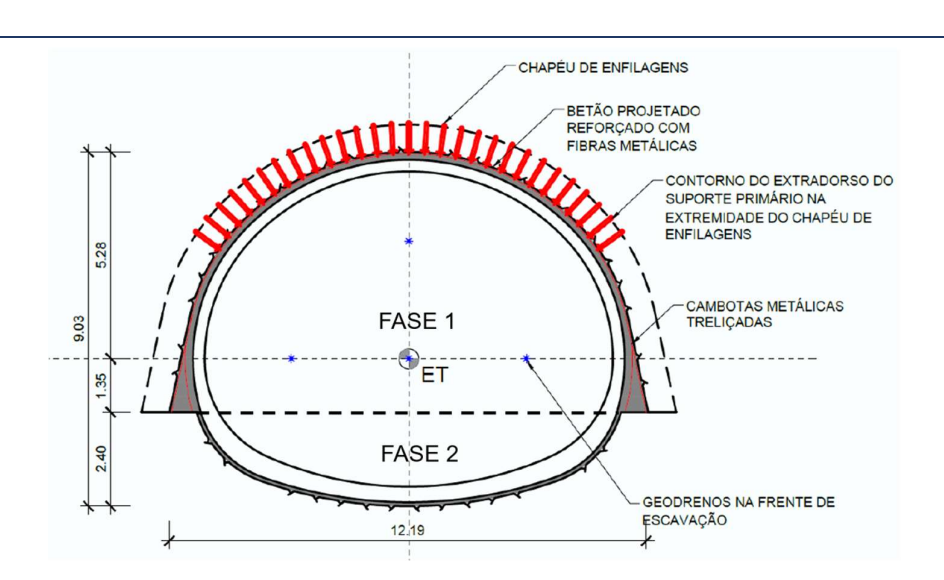


Figura 70 – Suporte primário previsto para a Via de Resguardo 3 (Secção VR3.1) na zona de influência do viaduto de acesso à Ponte 25 de Abril

Tendo em conta a execução da escavação subterrânea a partir do poço PV217, o túnel de via do Troço 85 será escavado após a execução da Via de Resguardo 3. Este túnel também adotará a mesma metodologia construtiva descrita para a Via de Resguardo 3 (NATM). O suporte previsto encontra-se ilustrado na Figura 71, onde os avanços de escavação previstos para a fase 1 e 2 são de 2,0 m e para a fase 3 de 4,0 m.

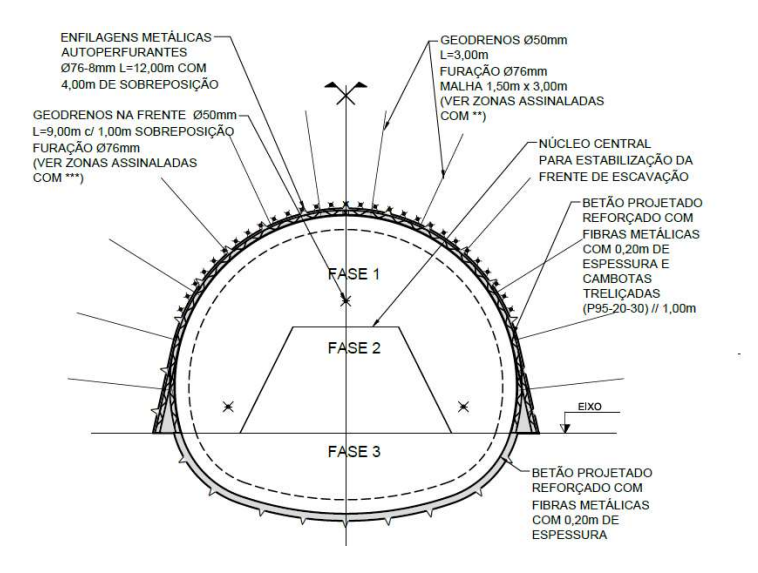


Figura 71 – Suporte primário previsto para o túnel de via – troço 85 na zona de influência do viaduto da de acesso à Ponte 25 de Abril

Como medida adicional de segurança, considera-se que a execução da escavação para a nova rotunda de acesso da Avenida da Ponte 25 de Abril terá inicio após a realização do revestimento definitivo do túnel de via.





### 5 VIBRAÇÕES CAUSADAS PELAS ACTIVIDADES DE CONSTRUÇÃO

Certas atividades durante a construção como a escavação com recurso a maquinaria mais pesada, o movimento de veículos pesados ou o uso de equipamento vibratório tendem a produzir vibrações nas partículas do meio através de ondas elásticas de compressão (ou tensão) e de ondas de corte.

A propagação destas ondas elásticas é radial e vai provocando a vibração sucessiva das partículas do meio de acordo com as características geométricas e de deformabilidade deste e de acordo com a origem do impulso; esta propagação vai decaindo em amplitude com o afastamento da fonte e com as reflexões e refrações que ocorrem durante o percurso das ondas nomeadamente nas fronteiras entre meios e no encontro com falhas, dobras ou vazios (no caso do terreno).

Os eventuais danos provocados por uma onda vibratória são função da extensão a que esta dá origem, função da velocidade de vibração das partículas e da velocidade de propagação da vibração.

As ações dinâmicas atuantes sobre estruturas edificadas caracterizam-se por uma gama de frequências próprias que não ultrapassam as poucas dezenas de Hz. Existem diversos textos normativos, que propõem valores máximos da velocidade de vibração aceitáveis nas suas fundações, em função da frequência de vibração, como a Norma Portuguesa NP-2074 (2015), a Norma Internacional ISO 4866, a Norma Alemã DIN 4150, as Normas Inglesas BS 5228 e BS 7385, e a Norma Suíça SN 640312, ou as recomendações do instituto americano de minas (USA OSM (Office of Surface Mining)).

A NP-2074 – "Avaliação da influência de vibrações impulsivas em estruturas" fixa um limite superior para a velocidade de vibração das partículas da fundação da estrutura, em função da frequência dominante registada e do tipo de estrutura edificada, que se reproduz na Tabela 7.

Tabela 7 – Valores limite recomendados para a velocidade de pico em mm/s

Tipo de estruturas	Frequência dominante, $\boldsymbol{f_d}$ em Hz					
	<i>f</i> <sub>d</sub> ≤ 10	$10 < f_d \le 40$	$f_d > 40$			
Sensíveis	1.5	3.0	6.0			
Correntes	3.0	6.0	12.0			
Reforçadas	6.0	12.0	40.0			

Na Figura 17 apresentam-se os valores limite, indicados pela NP-2074 e por algumas das normas internacionais citadas, a partir dos quais ocorrem danos diretos em estruturas edificadas, provocados pela vibração dos terrenos de fundação; esta figura permite igualmente perceber que a norma NP-2074 apresenta valores limite significativamente inferiores a outras normas internacionais para o mesmo tipo de estrutura.



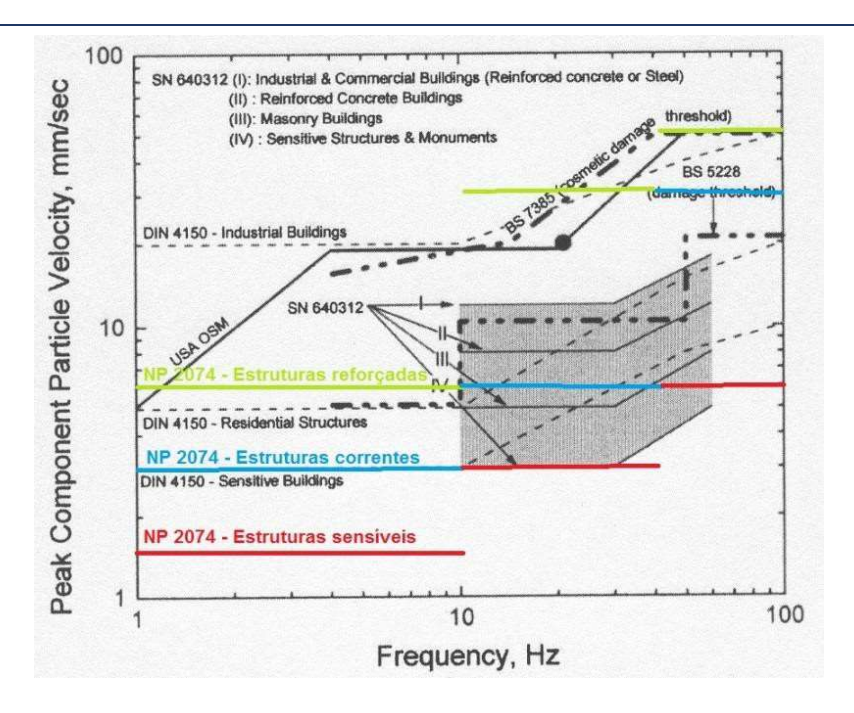


Figura 72 – Comparação dos valores limite para a velocidade de pico da partícula entre várias normas internacionais (adaptado de Athanasopoulos e Pelekis, 2000)

Face ao exposto, a vibração devida aos processos de escavação é um fator de risco importante a considerar porquanto esta variável não está associada somente à segurança de execução mas também à saúde e bem-estar dos cidadãos; estas vibrações são inevitáveis mas podem ser controladas de modo a respeitar os limites máximos permitidos pela legislação nacional. Nesse sentido, as escavações subterrâneas serão realizadas ao abrigo de um equipamento de ataque pontual.

Como referência dos impactos das vibrações causadas pelos equipamentos de escavação, tomou-se como base um estudo realizado pelo *Transport Research Laboratory* para o *Highways Agency* do Reino Unido. Os estudos realizados e constantes nessa publicação indicam que há escassa informação referente a registos e estudos de vibração causada por equipamentos de escavação de túneis; ainda assim, os autores do estudo identificaram através dos dados disponíveis que os equipamentos de escavação (tais como equipamentos de ataque pontual, TBMs e martelos hidráulicos), provocam vibrações com frequências na gama dos 10 a 100 Hz. A partir destes dados os autores produziram gráficos de velocidade de partícula na superfície em função da distância à fonte vibratória onde se observa que, em geral, a velocidade de partícula máxima é menor que 2 mm/s (Figura 18 e Figura 19).

Assim, considerando o limite de velocidade de partícula de 3 mm/s (valor estabelecido pela NP-2074 para edifícios sensíveis sujeitos a frequências dominantes superiores a 10 Hz) e a escavação realizada pelos equipamentos acima descritos, pode-se considerar que se encontram minimizadas as restrições para a utilização dos equipamentos de escavação das obras subterrâneas desde que sejam devidamente monitorizados e controlados durante toda a obra.



Com esse objetivo, deverá ser previsto o desenvolvimento e implementação de um sistema de monitorização de vibração e ruído durante a obra por forma a permitir o acompanhamento e a confirmação de que os limites estabelecidos pelas normas estão a ser cumpridos.

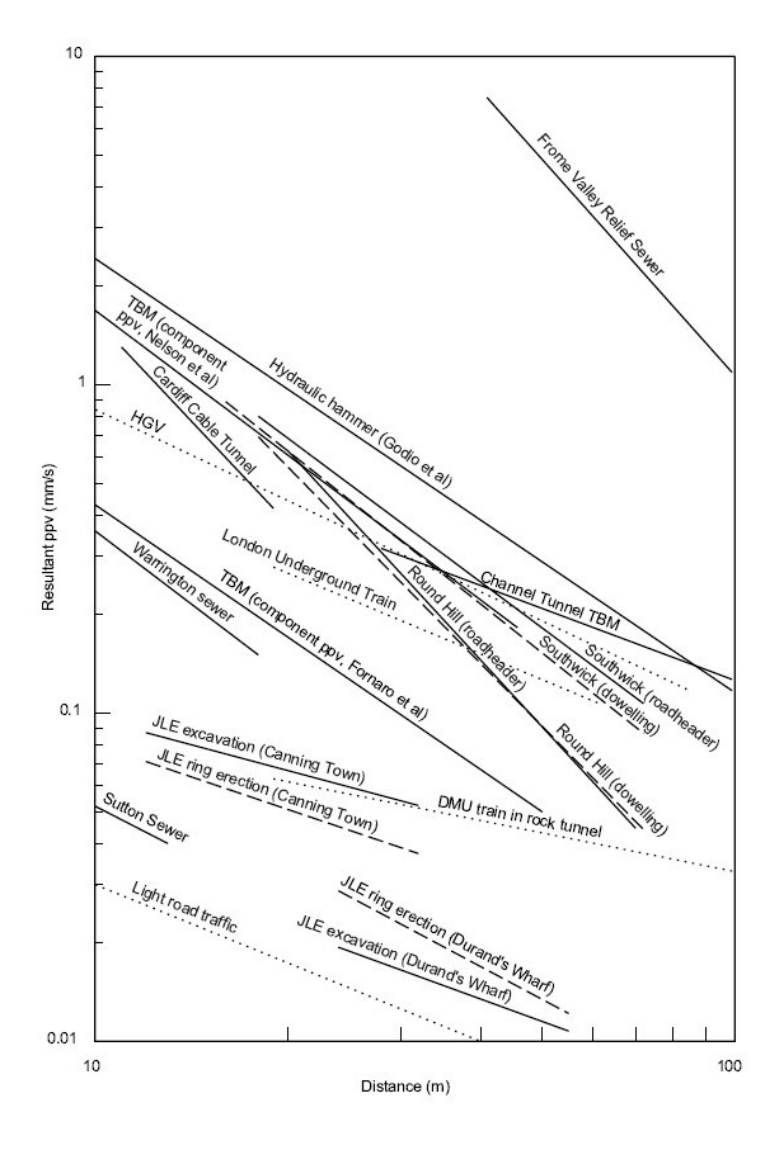


Figura 73 – Velocidade de partícula em função da distância para operações correntes de escavação subterrânea (Transport Research Laboratory para o Highways Agency)



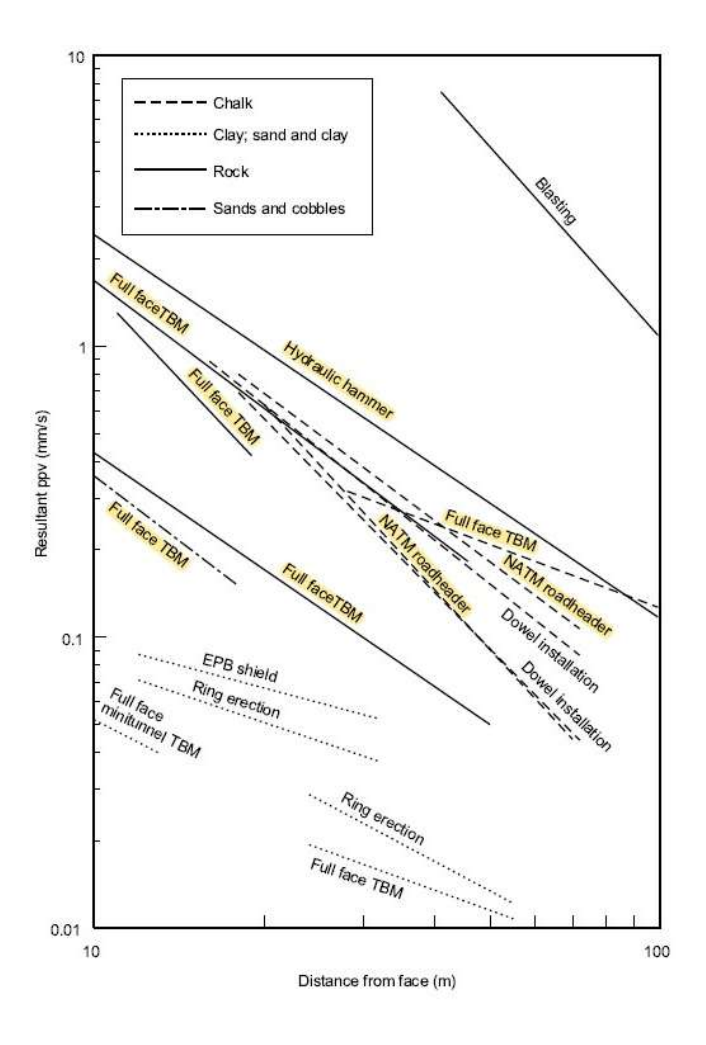


Figura 74 – Velocidade de partícula em função da distância para operações correntes de escavação subterrânea classificadas em função da geologia (Transport Research Laboratory para o Highways Agency)

A escavação dos maciços de encabeçamento de fundações ocorre a pouca profundidade e é realizada por recurso a maquinaria de pequena e média dimensão pelo que não é expectável que os limites de velocidade de partícula para edifícios/estruturas sensíveis sejam excedidos.

Adicionalmente, foi tida em consideração a geologia e geotecnia do local interessado. A consulta do plano de sondagens realizadas no âmbito da campanha de reconhecimento geológico-geotécnico do Prolongamento da Linha Vermelha Sul S. Sebastião – Alcântara permite concluir que foram realizadas duas sondagens nas imediações da interferência foco deste documento, as sondagens SC26-PZ (interrompida devido à intersecção com uma infraestrutura enterrada) e SC26.1-PZ. Atualmente encontra-se em curso uma campanha de prospeção complementar, onde serão realizadas mais sondagens neste local.





Os relatórios de sondagem e os respetivos testemunhos indicam a presença de terreno competente apenas a cerca de 30 m de profundidade com camadas arenosas, siltosas e argilosas de consistência média a dura nas camadas superiores; estes resultados são indicativos de uma transmissão das vibrações deficiente devido à presença de elementos granulares e grande percentagem de vazios.





# 6 MEDIDAS DE MITIGAÇÃO E DE OBSERVAÇÃO DE ASSENTAMENTOS EM INTERFERÊNCIAS

Para a fase de Anteprojeto, foi realizada uma referenciação de danos nas Interferências mais suscetíveis, tendo-se concluído, nesta fase do projeto e numa primeira aproximação, não ser necessário realizar medidas especificas de reforço estrutural. A monitorização de cada Interferência pode ter que ser reforçada função do seu nível de suscetibilidade perante a obra.

Após a realização da avaliação detalhada de danos em Interferências, foi efetuado um estudo das medidas de mitigação mais eficientes a adotar. Genericamente, poderão ser previstos três níveis de medidas de mitigação (A, B e C), a serem aplicadas às Interferências cuja avaliação de danos identificou a necessidade da sua implementação. A escolha do tipo de medida a aplicar terá em conta a análise da solução mais eficiente, função das características estruturais da Interferência, classificação patrimonial e profundidade de escavação realizada na sua zona de influência:

- Medida de mitigação Tipo A Reforço de edifícios;
- Medida de mitigação Tipo B Recalçamento de edifícios;
- Medida de mitigação Tipo C Adaptação da escavação e sistema de suporte da obra subterrânea na zona de influência da interferência, de modo a minimizar os deslocamentos.

Quando existentes, os detalhes das medidas de mitigação tipo A, B e C, serão apresentados em documento autónomo.

A adoção de medidas de reforço de instrumentação e observação permitirá em fase de obra observar os movimentos ocorridos em Interferências e, se necessário, tomar medidas de minimização dos movimentos das estruturas e reduzir os riscos humanos e materiais associados a estes movimentos. Consequentemente, foram estabelecidos dois níveis de instrumentação e observação (1 e 2), que se diferenciam, respetivamente, pela complexidade e precisão crescentes da instrumentação instalada e pela frequência de leitura a realizar:

- Instrumentação e observação Nível I Monitorização recorrendo essencialmente a alvos/prismas;
- Instrumentação e observação Nível II Monitorização recorrendo a alvos/prismas, clinómetros, fissurómetros e sismógrafos, ou outros dispositivos de elevada precisão.

O acompanhamento das leituras dos dispositivos durante a fase de obra permitirá validar a eficácia das medidas de mitigação, permitindo, se necessário, um ajuste atempado das mesmas, minimizando assim o risco de dano em interferências.



### 7 RESULTADOS DA AVALIAÇÃO DE DANOS EM INTERFERÊNCIAS

Os resultados da avaliação de danos nas interferências relevantes no âmbito do RECAPE, apresentam-se na Tabela 8. Nos subcapítulos seguintes descreve-se em detalhe os resultados obtidos para cada interferência.

Tabela 8 - Resumo dos resultados da avaliação de danos em interferências

Troço	Nome	Interferencia	Assentamento z (mm)	Gradiente	Categoria de dano	Agravamento da categoria de dano	Categoria de dano final	Fase de Avaliação	Nivel de Instrumentação e Monitorização	Tipo de Medida de Mitigação
85	Aqueduto	13	12	<1/500			-	F. Intermédia	1	Sem medida de mitigação
85	Aqueduto	16	18	<1/500	1-1		(4)	F. Intermédia	II	Tipo C
84	Palácio Anadia	53	8	<1/500	0	2	2	F. Preliminar	II	Sem medida de mitigação
84	Aqueduto	54	23	<1/500	-			F. Intermédia	II	Tipo C
84	Aquedutos	69 e 60	50	<1/500	-	141	-0	F. Intermédia	1	Sem medida de mitigação
84	Cisterna	58	23	<1/500	- 10	(2)	- 121	F. Intermédia	II	Sem medida de mitigação
84	Panificação Mecânica	37 e 78	3	<1/500	0	1	1	F. Preliminar	1	Sem medida de mitigação
84	Quartel (Pombalino)	96	8	<1/500	0	1	1	F. Preliminar	I	Sem medida de mitigação
84	Quartel 2	97	7	<1/500	0	1	1	F. Preliminar	I	Sem medida de mitigação
84	Quartel 3	98	7	<1/500	0	1	1	F. Preliminar	1	Sem medida de mitigação
84	Quartel 4	99	8	<1/500	0	1	1	F. Preliminar	1	Sem medida de mitigação
84	Quartel 5	100 e 101	9	<1/500	0	1	1	F. Preliminar	1	Sem medida de mitigação
84	Aqueduto	102	11	<1/500	100	-	151	F. Intermédia	1	Sem medida de mitigação
ECO	Aqueduto	130	1	<1/500	- 1-		-	F. Preliminar	I	Sem medida de mitigação
83	Cemitério Alemão	263	40	<1/500			- (-)	F. Intermédia	1	Sem medida de mitigação
83	Aqueduto	266	30	<1/500	1-1			F. Intermédia	1	Sem medida de mitigação
83	Aqueduto	1007	6	<1/500	194	-		F. Preliminar	1	Sem medida de mitigação
82	Aqueduto	327	11	<1/500			-	F. Intermédia	I.	Sem medida de mitigação
82	Edíficio Palácio Necessidades	374	8	<1/500	0	2	2	F. Preliminar	II	Sem medida de mitigação
82	Chafariz do Palácio Necessidades	376	12	<1/500	7-2	(-)	-	F. Intermédia	II	Sem medida de mitigação
82	Aqueduto Adutor do Chafariz do P. das Necessidades	375	7	<1/500		-	-	F. Preliminar	1	Sem medida de mitigação
82	Baluarte do Livramento (parc. Demolido)	381a	-	- 1	100	(*)	140		II	Tipo B
82	Linha Comboio I.P	1008	6.5	<1/500		-	120	F. Preliminar	I	Sem medida de mitigação
82	Caneiro de Alcântara	429			-		(5)	F. Preliminar	II	Sem medida de mitigação
82	Palácio Fiúza	416	15	<1/500	0	1	1	F. Intermédia	II	Sem medida de mitigação
81	Pilares do Viaduto da Ponte 25 de Abril	428, 1057, 1059	<1	<1/500	-	121	121	F. Preliminar	II	Sem medida de mitigação

### 7.1 Atravessamentos do Aqueduto das Águas Livres

Como referido no capítulo 4, ao longo do traçado de projeto ocorrem múltiplos ramais do Aqueduto das Águas Livres, identificados por números de interferências e que atravessam o eixo de projeto nos pontos quilométricos indicados em baixo:

- Interferência 13 PK 0+225;
- Interferência 16 PK 0+313;
- Interferência 54 PK 0+868;
- Interferência 59 e 60 PK 1+018;
- Interferência 102 PK 1+410;
- Interferência 130 PK 1+720;
- Interferência 266 PK 2+195;
- Interferência 1007 PK 2+250;
- Interferência 327 PK 2+660;
- Interferência 375 PK 3+220.





Para cada um dos atravessamentos dos ramais do aqueduto foram calculados os deslocamentos e gradientes máximos estimados. Este cálculo teve em conta a sua posição relativa ao eixo de projeto, tendo a sua posição altimétrica sido confirmada através de levantamentos topográficos, para os ramais onde foi possível aceder ao seu interior.

### 7.1.1 Deslocamentos e gradientes máximos estimados

### 7.1.1.1 Troço 85

No troço 85 estão presentes as seguintes interferências:

- Interferência 13 PK 0+225;
- Interferência 16 PK 0+313.

As Interferências 13 e 16 apresentam deslocamentos verticais máximos de 12mm e 18mm, e gradientes máximos de 1:1500 e 1:1500, que se encontram ilustrados na Figura 75 a Figura 77.

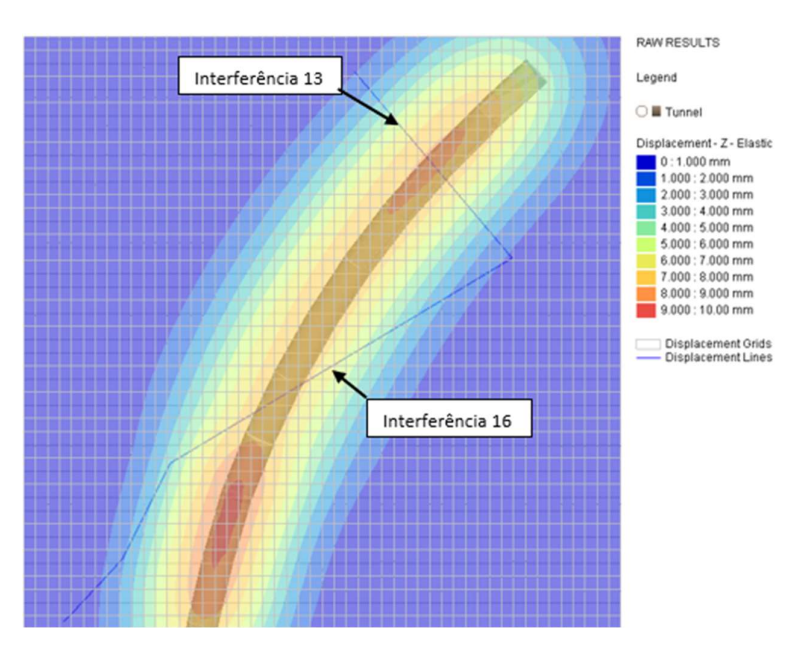


Figura 75 – Isolinhas de deslocamentos verticais, PK 0+180 a PK 0+400



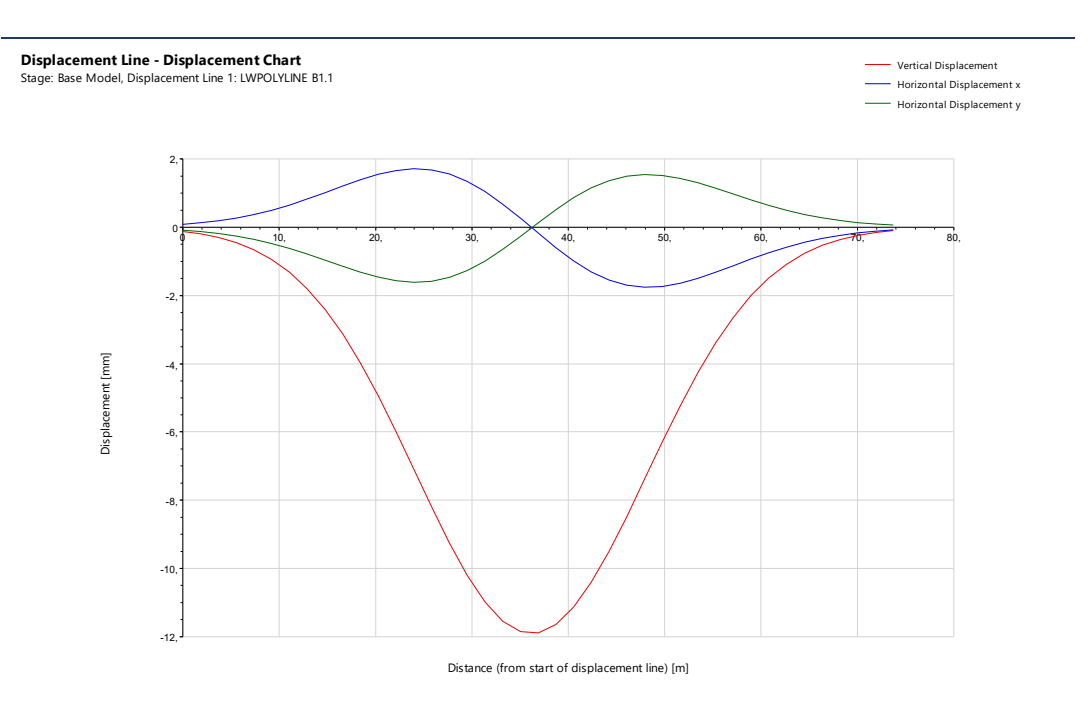


Figura 76 - Interferência 13, campo de deslocamentos

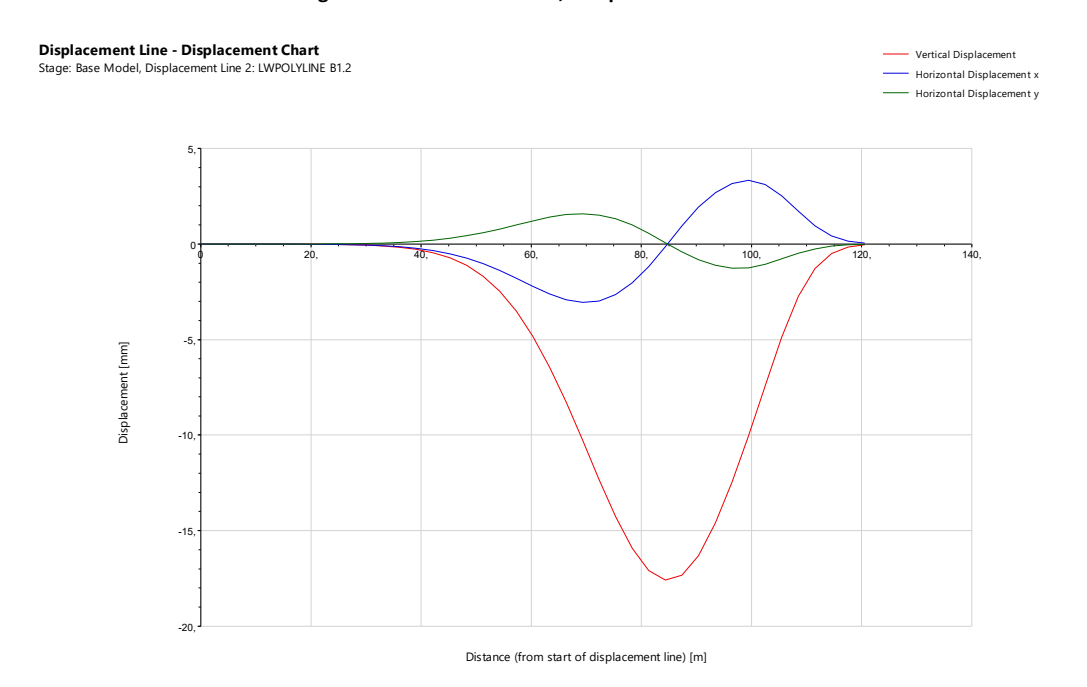


Figura 77 – Interferência 16, campo de deslocamentos

Tendo em conta os deslocamentos e gradientes estimados para a interferência 13, considera-se que o efeitos decorrentes dos trabalhos de escavação nesta interferência será reduzido, não sendo expectável a ocorrência de danos. No entanto, para a interferência 16, tendo em conta o reduzido recobrimento, estimado em 1,75 m, terão de ser aplicadas medidas de mitigação dos deslocamentos que serão indicadas no subcapítulo 7.1.2.



### 7.1.1.2 Troço 84

No troço 84 estão presentes as seguintes interferências:

- Interferência 54 PK 0+868;
- Interferência 69 e 60 PK 1+018;
- Interferência 102 PK 1+410.

Localizados no troço 84, os aquedutos identificados como Interferência 54, e Interferências 69 e 60, apresentam respetivamente, deslocamentos verticais máximos no valor de 23mm e 50mm e gradientes máximos de 1:600 e 1:1600. O aqueduto identificado como Interferência 102, pertencentes ao Complexo do Quartel de Campo de Ourique, apresenta um deslocamento vertical máximo de 11mm e um gradiente máximo de 1:2500 (Figura 78 a Figura 82).

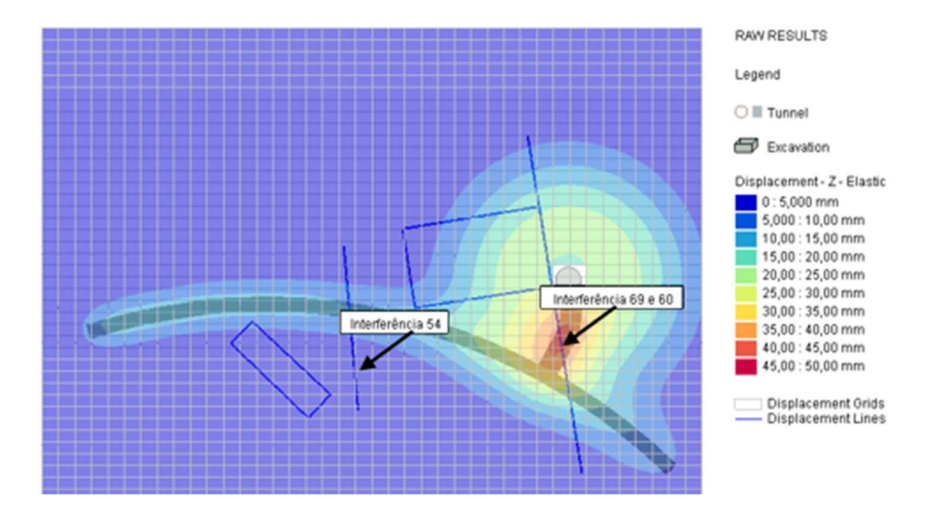


Figura 78 - Isolinhas de deslocamentos verticais, PK 0+700 a PK 1+100

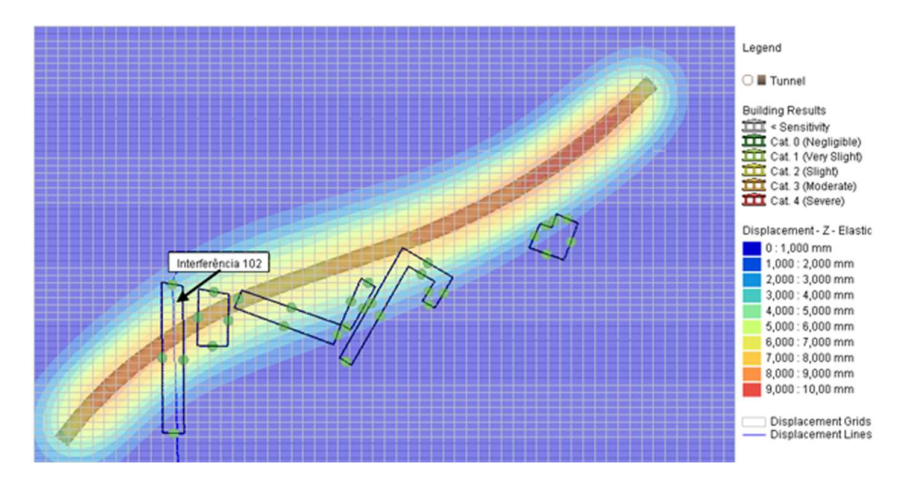


Figura 79 - Isolinhas de deslocamentos verticais, PK 1+100 a PK 1+500





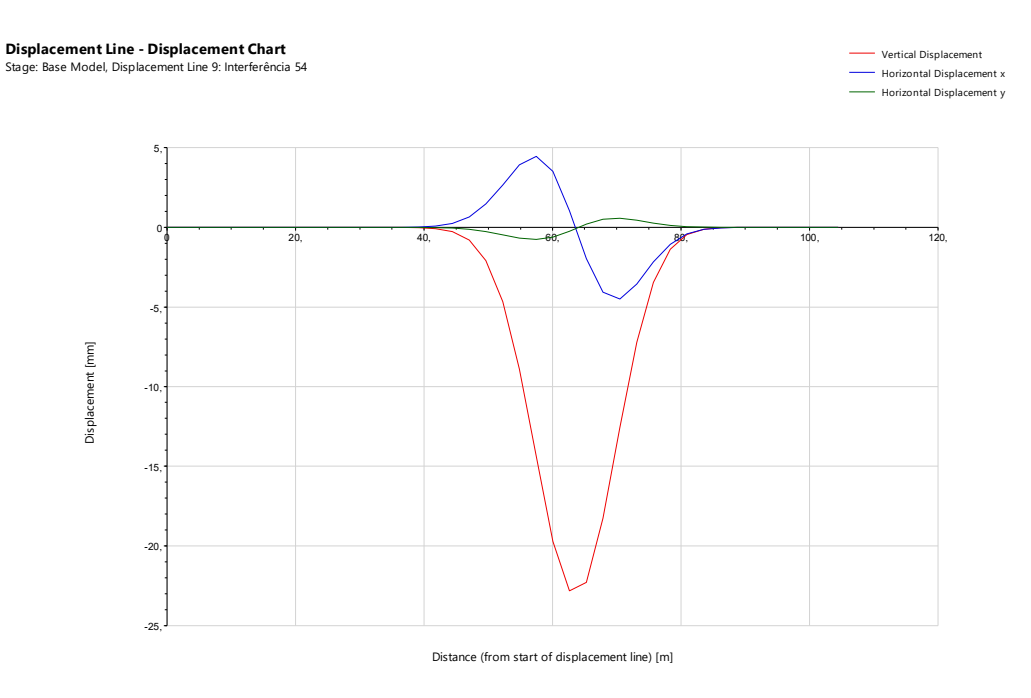


Figura 80 - Interferência 54, campo de deslocamentos

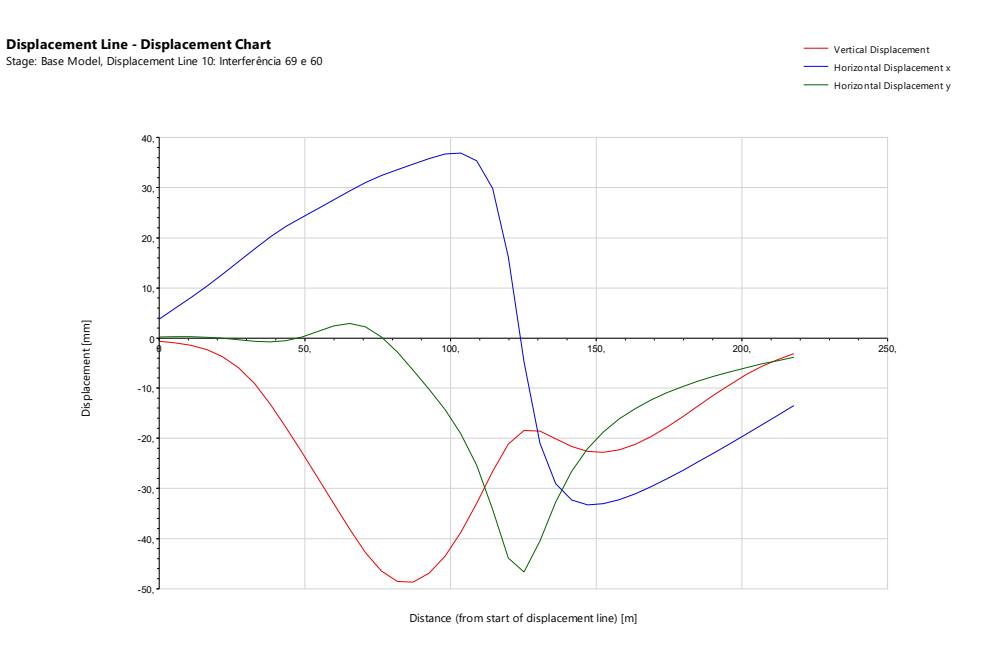


Figura 81- Interferência 69 e 60, campo de deslocamentos



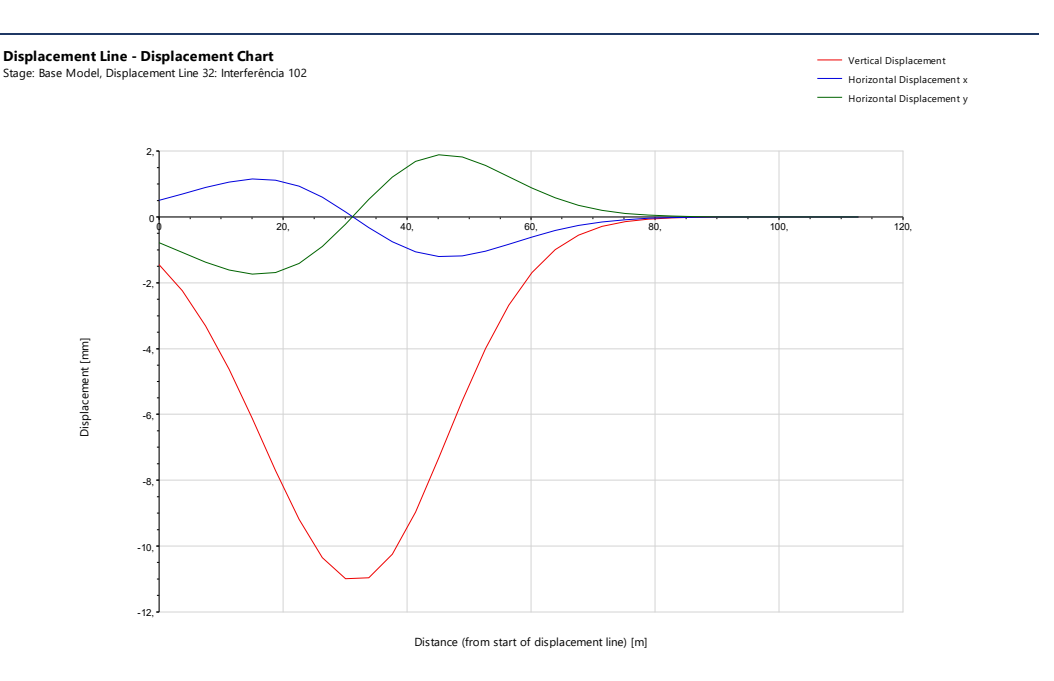


Figura 82 - Interferência 102, campo de deslocamentos

Tendo em conta os deslocamentos e gradientes indicados no parágrafo anterior, considera-se que o efeitos decorrentes dos trabalhos de escavação na zona de influência das interferências 54 e 102 será reduzido, não sendo expectável a ocorrência de danos.

No que toca às interferências 69 e 60, são estimados deslocamentos de magnitude mais elevada que os anteriores, no entanto, os gradientes máximos estimados são inferiores a 1:500, pelo que não é expectável a ocorrência de danos.

### 7.1.1.3 Estação Campo de Ourique

Na zona de influência da Estação de Campo de Ourique está presente o ramal do aqueduto, identificado como interferência 130 ao PK 1+720.

O ramal do aqueduto identificado como interferência 130 está localizado junto ao acesso nascente da estação de Campo de Ourique. Tendo em conta a estimativa de deslocamentos prevista para este acesso, estima-se que o deslocamento máximo vertical seja de 1mm, e o seu gradiente máximo de 1:2500 (Figura 83 e Figura 84).





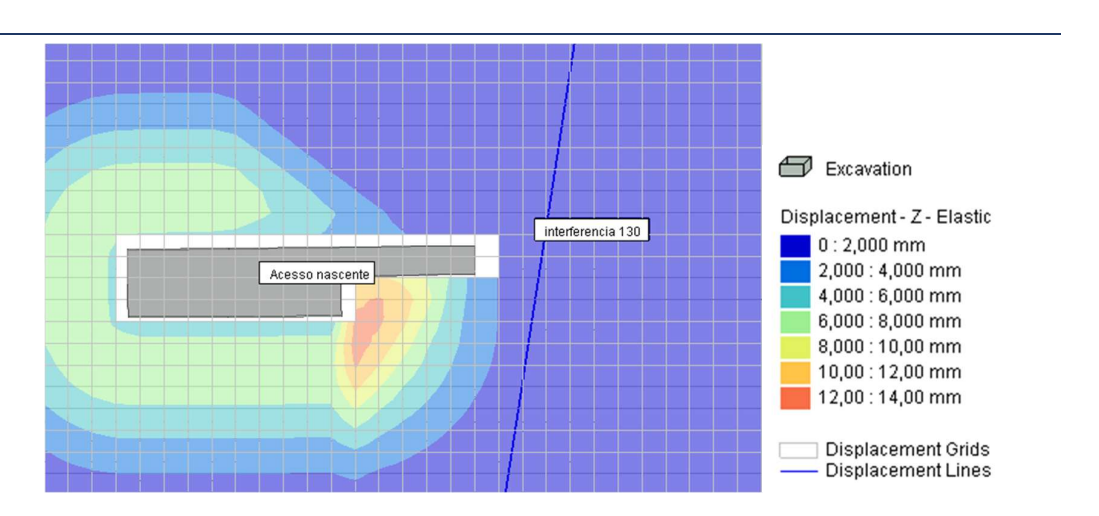


Figura 83 – Isolinhas de deslocamentos verticais, Interferência 130



Figura 84 - Interferência 130, campo de deslocamentos

Tendo em conta o deslocamento e gradiente máximos indicados, considera-se que o efeitos decorrentes dos trabalhos de escavação nesta interferência serão reduzidos, não sendo expectável a ocorrência de danos.

### 7.1.1.4 Troço 83

No troço 83 estão presentes os ramais do aqueduto identificados pelos seguintes números:

- Interferência 266 PK 2+195;
- Interferência 1007 PK 2+250.





Para as interferências 266 e 1007 estimam-se valores de deslocamentos verticais máximos de 30mm e 6mm, respetivamente. No que se refere aos gradientes máximos estimados, para as interferências 266 e 1007, estes são da ordem de 1:3000 e 1:6500, respetivamente (Figura 85 a Figura 87).

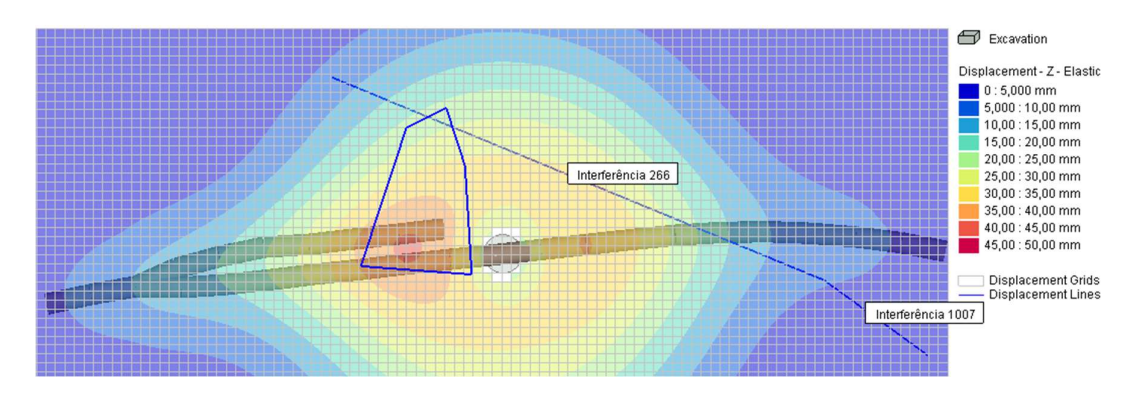


Figura 85 - Isolinhas de deslocamentos verticais, PK 1+900 a PK 2+300



Figura 86 - Interferência 266, campo de deslocamentos



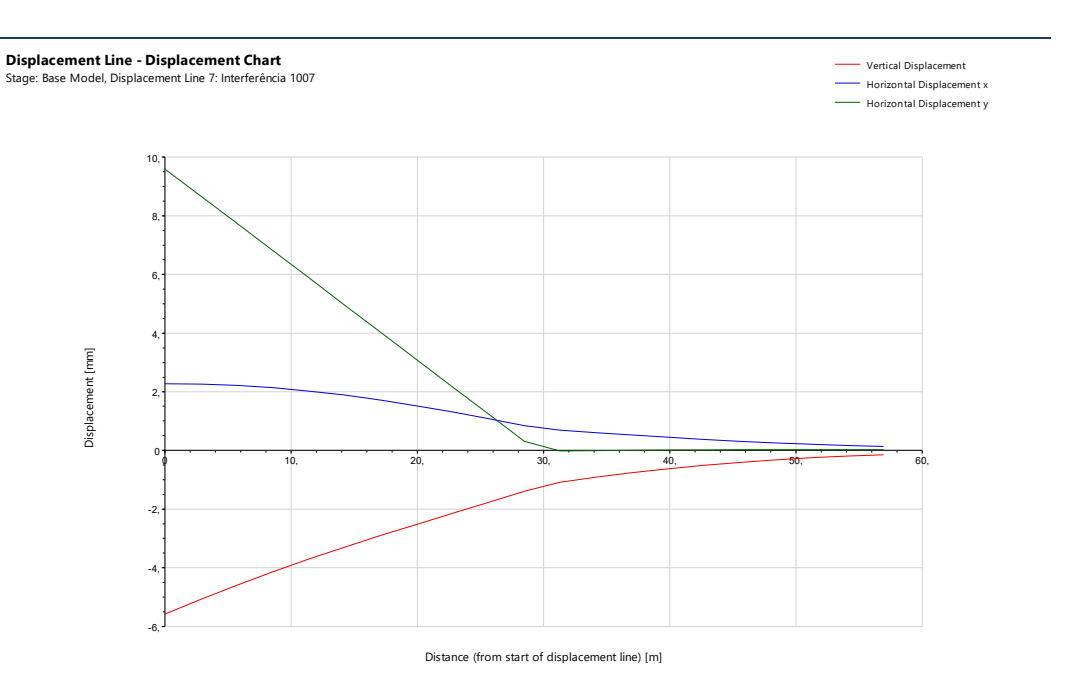


Figura 87 - Interferência 1007, campo de deslocamentos

Tendo em conta o deslocamento vertical e gradiente máximos indicados no parágrafo anterior, considera-se que o efeitos decorrentes dos trabalhos de escavação na zona de influência da interferência 1007 será reduzido, não sendo expectável a ocorrência de danos.

No que toca à interferência 266, são estimados deslocamentos de magnitude mais elevada que os anteriores, no entanto, os gradientes máximos estimados são inferiores a 1:500, pelo que não é expectável a ocorrência de danos.

### 7.1.1.5 Troço 82

No troço 82 estão presentes os ramais do aqueduto identificados pelos seguintes números:

- Interferência 327 PK 2+660.
- Interferência 375 PK 3+220;

Para o ramal do aqueduto identificado como interferência 327 estimou-se um deslocamento vertical máximo de 11mm e um gradiente máximo de 1:1400. Para o aqueduto adutor, identificado como interferência 375, estimou-se um deslocamento vertical máximo de 7mm no encontro com o chafariz e um gradiente máximo de 1:1300 (Figura 88 a Figura 89).



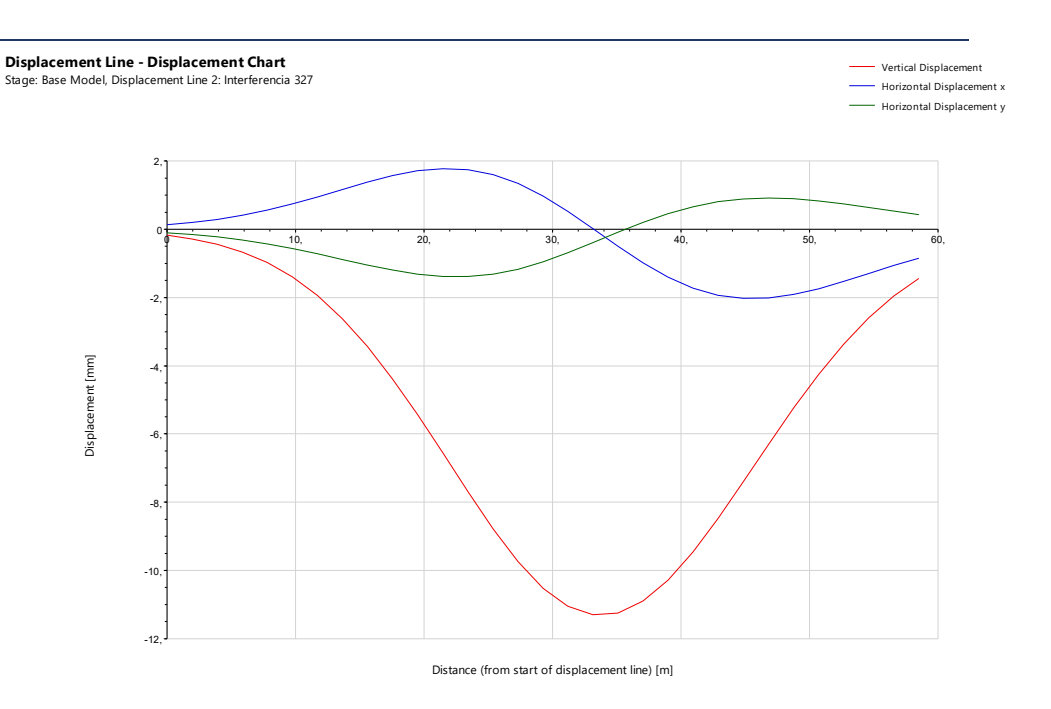


Figura 88 - Interferência 327, campo de deslocamentos

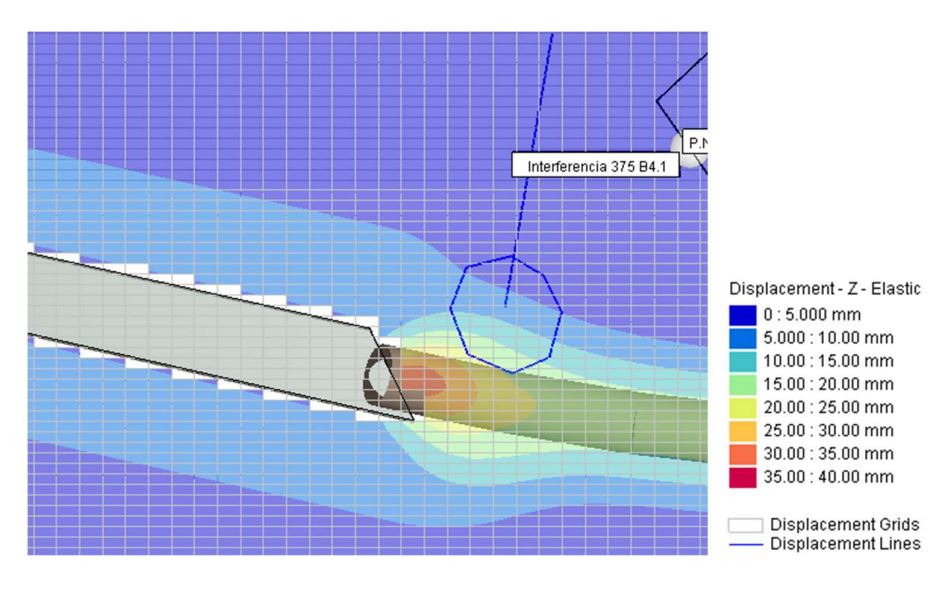


Figura 89 - Isolinhas de deslocamentos verticais, PK 3+200 a OE5



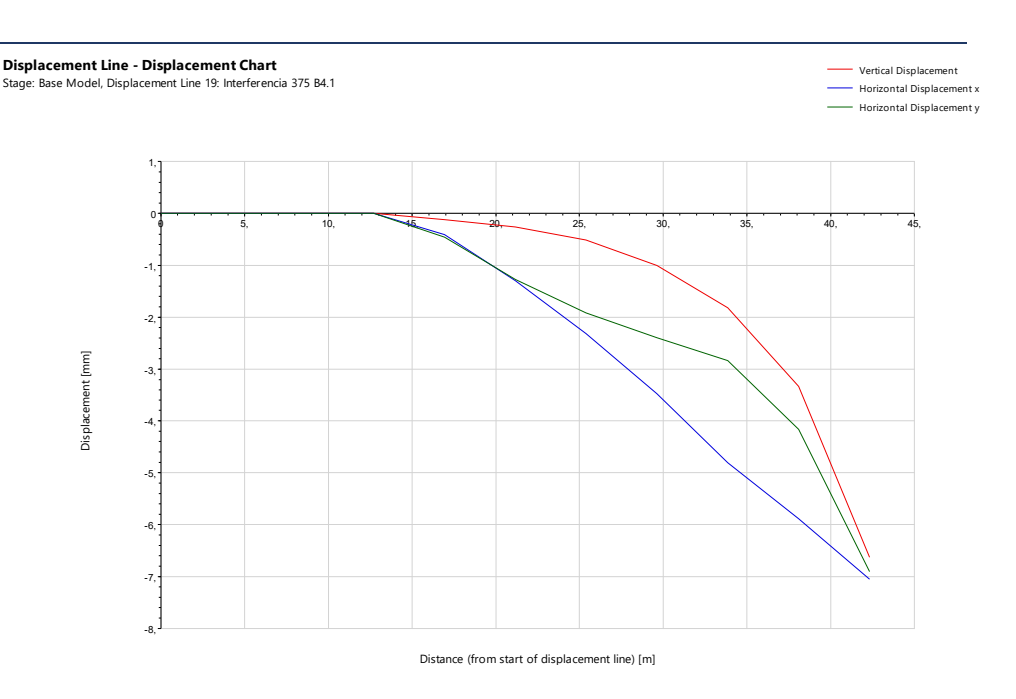


Figura 90 - Interferência 375, campo deslocamentos

Tendo em conta o deslocamento vertical e gradiente máximos indicados no parágrafo anterior, considera-se que o efeitos decorrentes dos trabalhos de escavação na zona de influência da interferências 327 e 375 será reduzido, não sendo expectável a ocorrência de danos.

### 7.1.2 Medidas de mitigação previstas

Tendo em conta os deslocamentos e gradientes máximos estimados indicados no subcapítulo anterior, foram definidos os níveis de instrumentação e monitorização e medidas de mitigação a aplicar que se apresentam nos subcapítulos seguintes.

Refere-se que o nível de instrumentação e monitorização definido em combinação com a monitorização a instalar nos elementos de suporte e/ou contenção das obras a executar na zona de influência e cada interferência, permitirão um adequado controlo das atividades, possibilitando um efetivo controle dos deslocamentos induzidos à interferência.

### 7.1.2.1 Troço 85

Considerando os resultados descritos no subcapítulo 7.1.1.1, para a interferência 13 não é expectável a ocorrência de danos, pelo que não se considera necessária a adoção de medidas de mitigação. Nesta fase prevê-se a adoção de Instrumentação e Monitorização Nível I.

Para a interferência 16, tendo em conta a reduzida distância existente entre a estrutura do ramal do aqueduto e o túnel de via, prevê-se a necessidade de ajuste da solução de suporte primário do túnel de via, de modo reduzir os deslocamentos induzidos à estrutura da interferência. Neste





sentido, será adotada a medida de mitigação Tipo D, em combinação com Instrumentação e Monitorização Nível II.

### 7.1.2.2 Troço 84

Considerando os resultados descritos no subcapítulo 7.1.1.2, para as interferências 60, 69 e 102, não é expectável a ocorrência de danos, pelo que não se considera necessária a adoção de medidas de mitigação. Nesta fase prevê-se a adoção de Instrumentação e Monitorização Nível I.

Para a interferência 54, tendo em conta a reduzida distância existente entre a estrutura do ramal do aqueduto e o túnel de via, prevê-se a necessidade de ajuste da solução de suporte primário do túnel de via, de modo reduzir os deslocamentos induzidos à estrutura da interferência. Neste sentido, será adotada a medida de mitigação Tipo D, em combinação com Instrumentação e Monitorização Nível II.

### 7.1.2.3 Estação Campo de Ourique

Tendo em conta os resultados descritos no subcapítulo 7.1.1.3, em particular, o facto de ter sido estimado para a interferência 130 um deslocamento vertical máximo de 1mm, não é expectável a ocorrência de danos, pelo que não se considera necessária a adoção de medidas de mitigação. Nesta fase prevê-se a adoção de Instrumentação e Monitorização Nível I.

### 7.1.2.4 Troço 83

Como referido no subcapítulo 7.1.1.4 para a interferência 266, embora o deslocamento vertical máximo previsto seja de 30mm, o gradiente máximo é inferior a 1:500, pelo que se considera que o efeitos decorrentes dos trabalhos de escavação na interferência 266 será reduzido.

Para as interferências 327 e 1007, não é expectável a ocorrência de danos, pelo que não se considera necessária a adoção de medidas de mitigação. Nesta fase prevê-se a adoção de Instrumentação e Monitorização Nível I.

#### 7.1.2.5 Troço 82

Considerando os resultados descritos no subcapítulo 7.1.1.5, para as interferências 327 e 375 não é expectável a ocorrência de danos, pelo que não se considera necessária a adoção de medidas de mitigação. Nesta fase prevê-se a adoção de Instrumentação e Monitorização Nível I.



### 7.2 Palácio Anadia

### 7.2.1 Categoria de dano, deslocamentos e gradientes máximos estimados

O deslocamento máximo vertical estimado para esta interferência é 8mm, localizados na zona de encontro do alinhamento AB com BC da interferência (Figura 91). O gradiente máximo resultante dos deslocamentos verticais diferenciais é de 1:2500, localizado na zona BC da interferência (Figura 92).

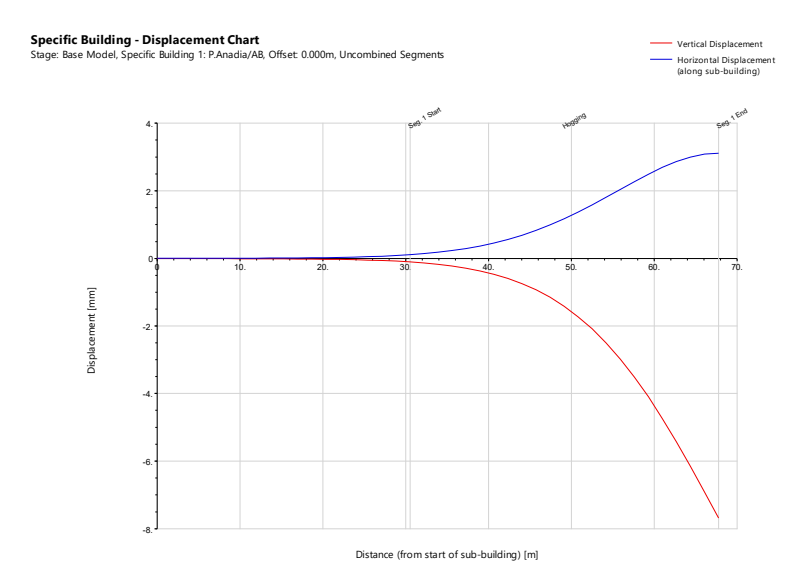


Figura 91 - Palácio Anadia, troço AB, campo de deslocamentos



Figura 92 - Palácio Anadia, troço BC, campo de deslocamentos





Tendo em conta os deslocamentos e gradientes indicados no parágrafo anterior, considera-se que o efeitos decorrentes dos trabalhos de escavação nesta interferência será reduzido, não sendo expectável a ocorrência de danos. O cálculo da categoria de dano calculada é Categoria 0 (Figura 93 e Figura 94).

Considerou-se que a presença de elementos suscetíveis a dano no interior do Palácio Anadia justificam a adoção de um agravamento da categoria de dano em +2. Assim, a categoria de dano final da avaliação é Categoria 2, pelo que esta interferência não necessita de medidas de mitigação de assentamentos.

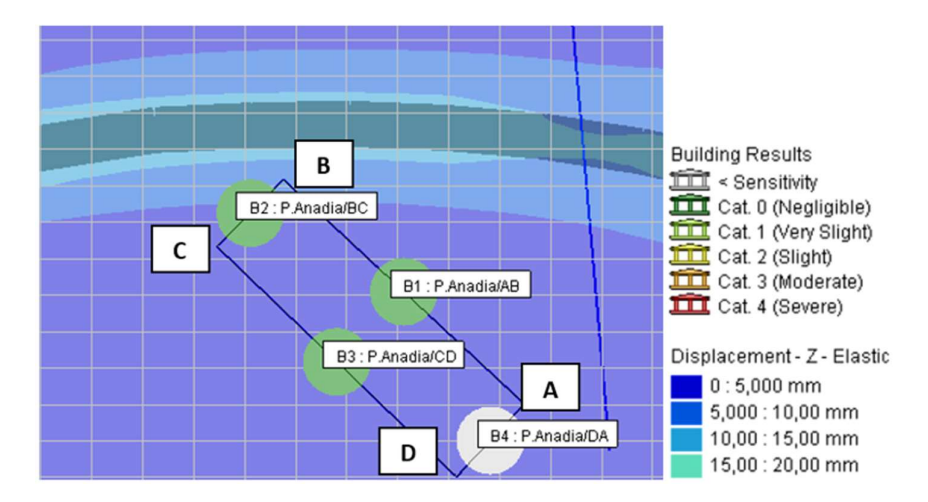


Figura 93 - Palácio Anadia, isolinhas de deslocamentos verticais e alinhamentos

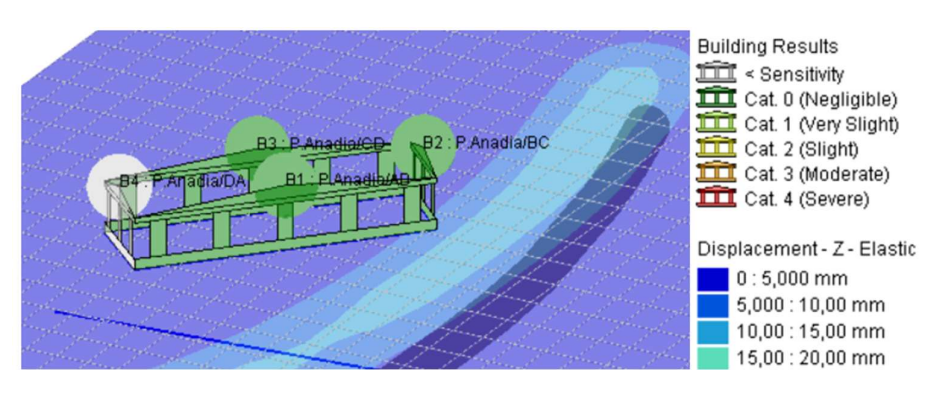


Figura 94 - Palácio Anadia, Categoria de Dano

### 7.2.2 Medidas de mitigação previstas

Considerando os resultados não se considera necessária a aplicação de medidas de mitigação, prevendo-se a utilização de Instrumentação e Monitorização Nível II.





Este tipo de monitorização em combinação com a monitorização a instalar nos elementos de suporte e contenção do túnel de via na zona de influência, permitirão um adequado controlo das atividades, possibilitando um efetivo controle dos deslocamentos induzidos à interferência.





### 7.3 Cisterna do Aqueduto das Águas Livres

### 7.3.1 Deslocamentos e gradientes máximos estimados

Observa-se através da Figura 95, que os deslocamentos verticais máximos concentram-se no ponto C, ponto mais próximo do poço PV215 e da ligação deste ao túnel de via, como demonstrado no gradiente de assentamentos .

Os assentamentos máximo localizam-se no troço BC, sendo da ordem dos 23 mm, com gradiente máximo de 1/1250 para o alinhamento AB (Figura 95 a Figura 98).

Tendo em conta os deslocamentos e gradientes indicados no parágrafo anterior, considera-se que o efeitos decorrentes dos trabalhos de escavação nesta interferência será de reduzido.

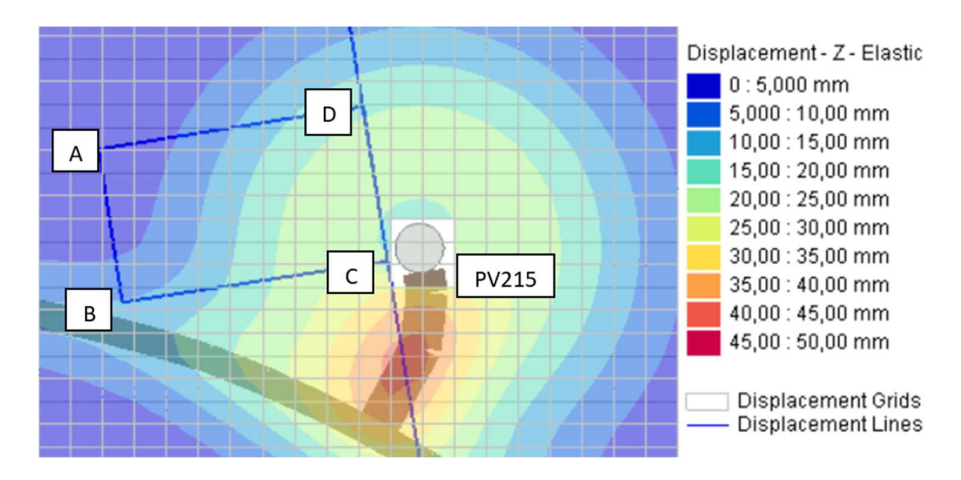


Figura 95 - Cisterna do Aqueduto das Águas Livres, isolinhas de deslocamentos verticais

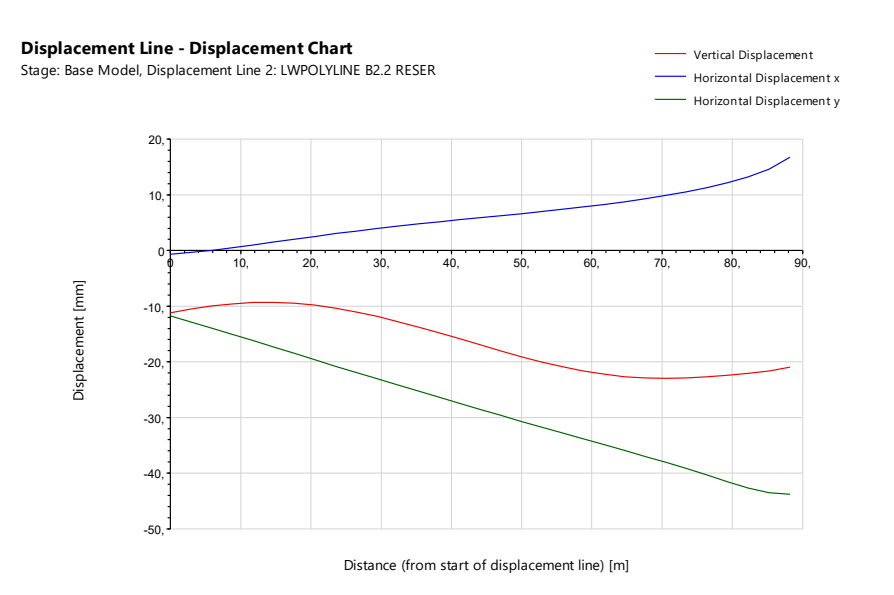


Figura 96 - Cisterna Aqueduto Águas Livres, troço BC, campo de deslocamentos



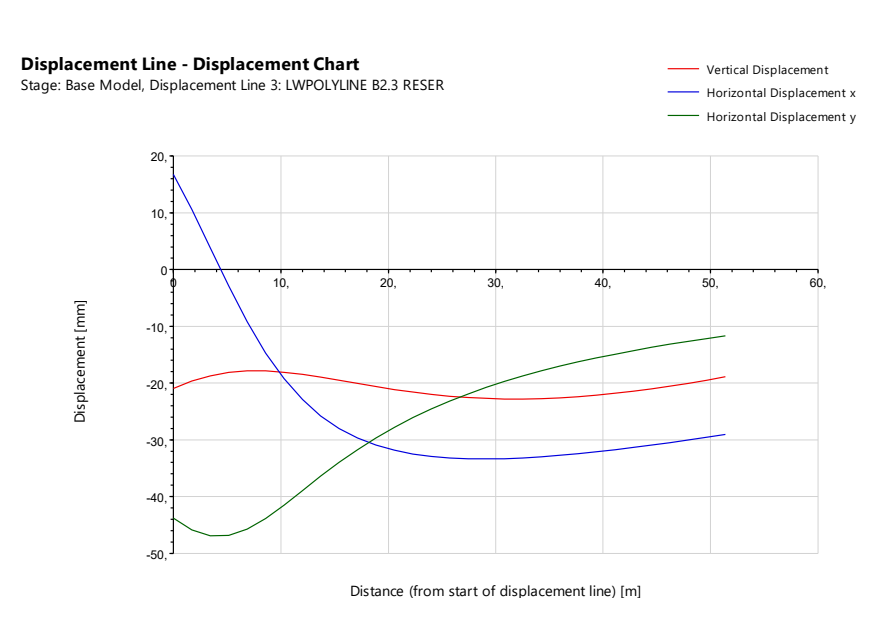


Figura 97 - Cisterna Aqueduto Águas Livres, troço CD, campo de deslocamentos

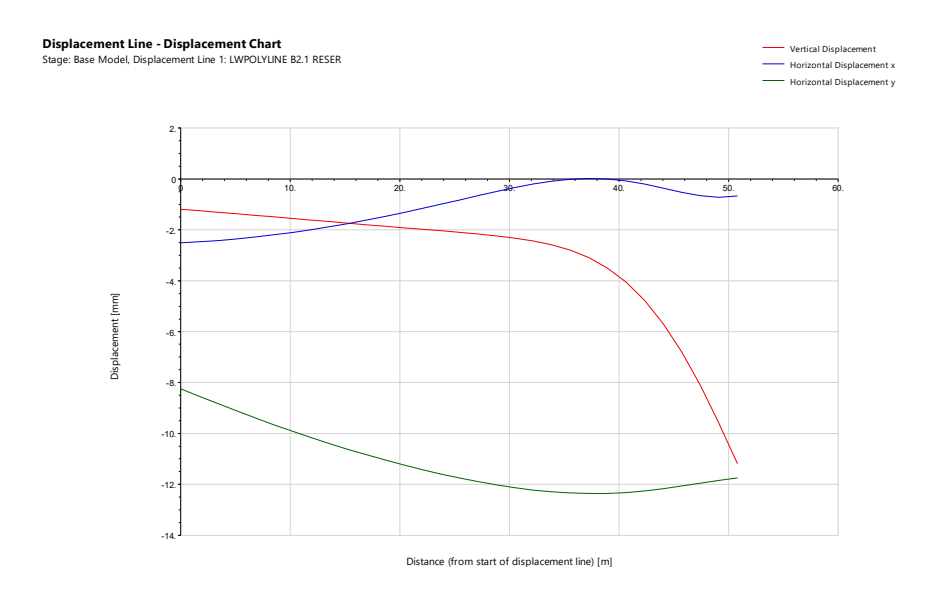


Figura 98 - Cisterna Aqueduto Águas Livres, troço AB, campo de deslocamentos, gradiente máximo

### 7.3.2 Medidas de mitigação previstas

Considerando os resultados descritos no subcapítulo anterior, não se considera necessária a aplicação de medidas de mitigação, prevendo-se a utilização de Instrumentação e Monitorização Nível II.





Este tipo de monitorização em combinação com a monitorização a instalar nos elementos de suporte e contenção do túnel de via na zona de influência, permitirão um adequado controlo das atividades, possibilitando um efetivo controle dos deslocamentos induzidos à interferência.

### 7.4 Edifício da Panificação Mecânica

### 7.4.1 Categoria de dano, deslocamentos e gradientes máximos estimados

O deslocamento máximo vertical estimado para Panificação Mecânica é de 3mm, na interceção do troço CD e DE da interferência. O gradiente máximo resultante dos deslocamentos verticais diferenciais é de 1:5300, localizado no troço DE da interferência (Figura 99 a Figura 102).

Tendo em conta os deslocamentos e gradientes indicados no parágrafo anterior, considera-se que o efeitos decorrentes dos trabalhos de escavação nesta interferência será muito reduzido, não sendo expectável a ocorrência de danos.

Considerou-se que a presença de elementos suscetíveis a dano no interior do Palácio Anadia justificam a adoção de um agravamento da categoria de dano em +1. Assim, a categoria de dano final da avaliação é Categoria 1, pelo que esta interferência não necessita de medidas de mitigação de assentamentos.

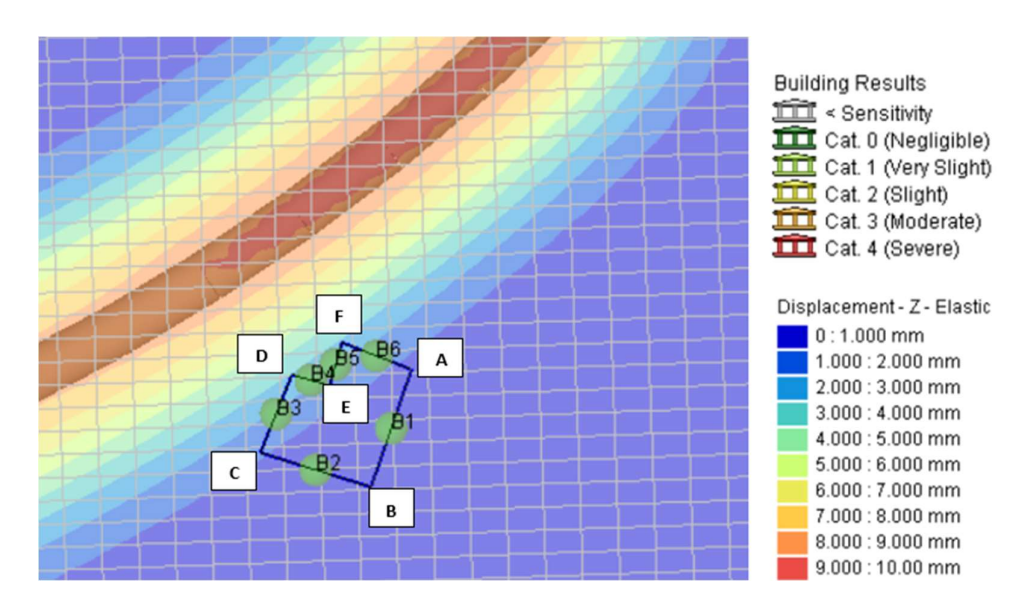


Figura 99 - Panificação Mecânica, isolinhas de deslocamento vertical



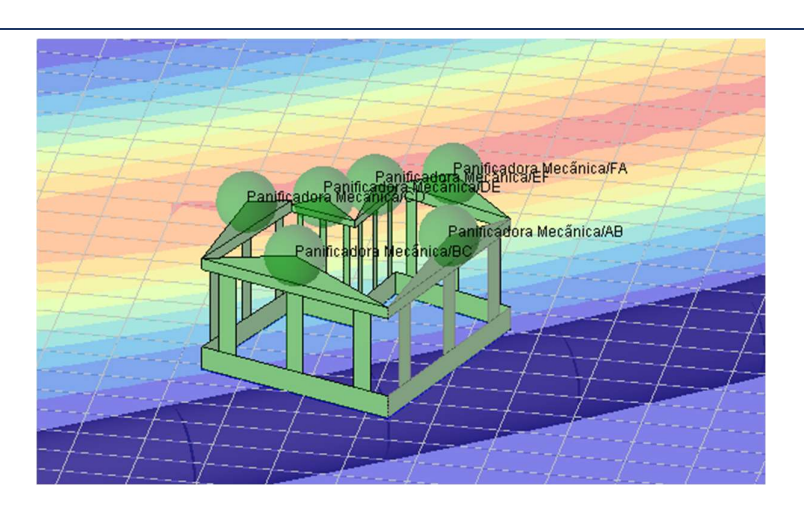


Figura 100 - Panificação Mecânica, Categoria de Dano

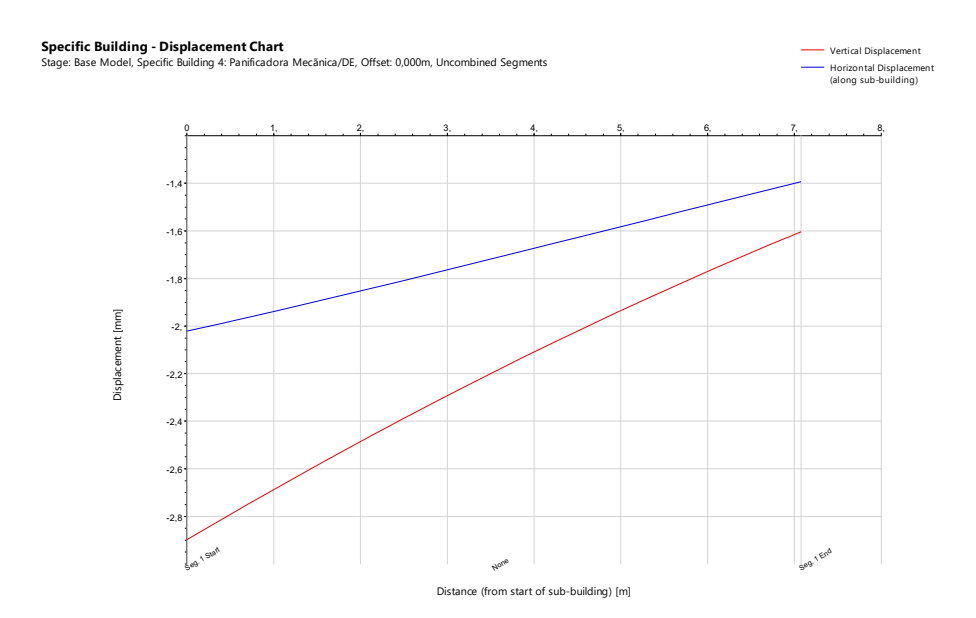


Figura 101 - Panificação Mecânica, secção crítica, campo deslocamentos



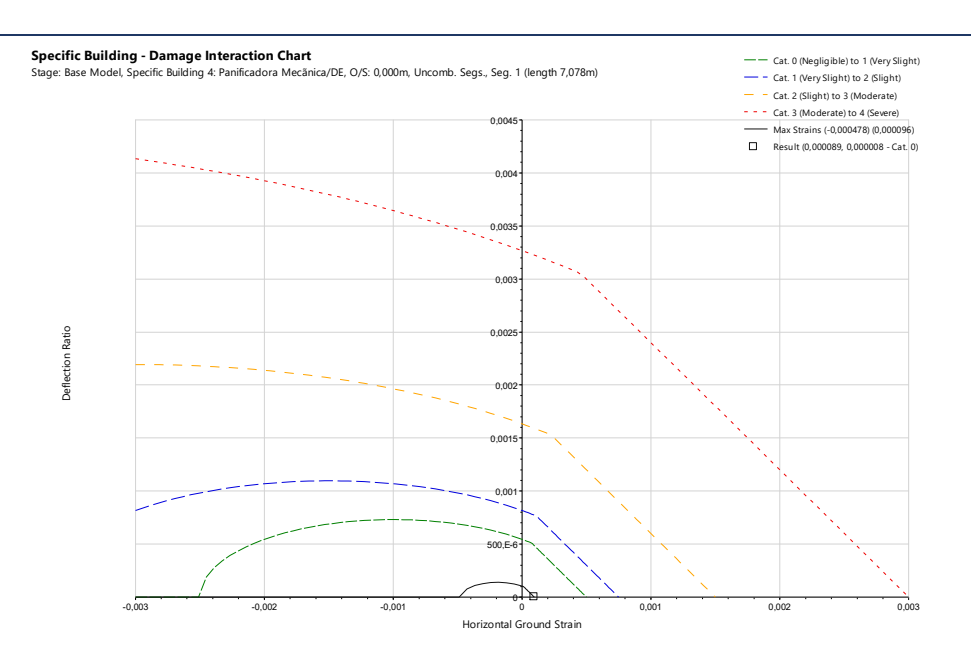


Figura 102 - Panificação Mecânica, secção crítica, Categoria Dano

### 7.4.2 Medidas de mitigação previstas

Tendo em conta os resultados descritos no ponto anterior e tratando-se de uma interferência classificada, onde existem elementos arquitetónicos, tais como painéis de azulejos e estruturas metálicas envidraçadas, prevê-se a adoção de Monitorização Nível I.

Este tipo de monitorização em combinação com a monitorização a instalar nos elementos de contenção da escavação do túnel de via em causa, permitirão um adequado controlo das atividades, possibilitando um efetivo controle dos deslocamentos induzidos à interferência.



### 7.5 Complexo do Quartel de Campo de Ourique

O Complexo do Quartel de Campo de Ourique, situado no troço de túnel T84 e identificados como interferências 96, 97, 98, 99, 100 e 101, sendo que estas duas últimas interferências são consideradas em conjunto, localizam-se longitudinalmente em relação ao traçado do túnel.

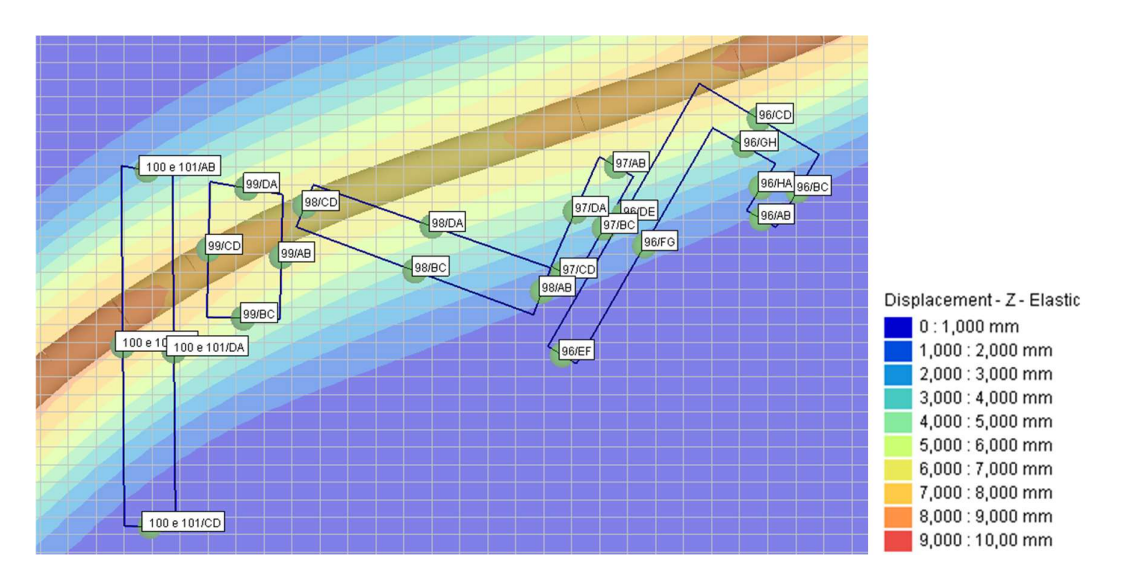


Figura 103 - Complexo do Quartel de Campo de Ourique, isolinhas de deslocamento vertical e Categoria de Dano





# 7.5.1 Categoria de dano, deslocamentos e gradientes máximos estimados 7.5.1.1 Interferência 96

O deslocamento máximo vertical estimado para a Interferência 96 do Complexo do Quartel de Campo de Ourique é de 8mm, na interceção do troço CD e DE da interferência. O gradiente máximo resultante dos deslocamentos verticais diferenciais é de 1:4500, localizado no troço GH da interferência (Figura 104 a Figura 107).

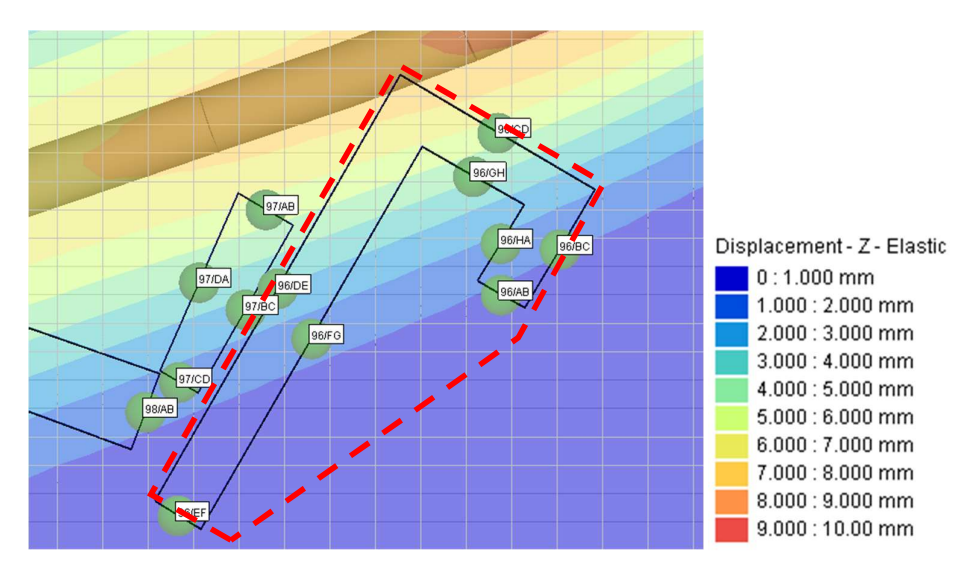


Figura 104 – Interferência 96, isolinhas de deslocamento vertical e alinhamentos

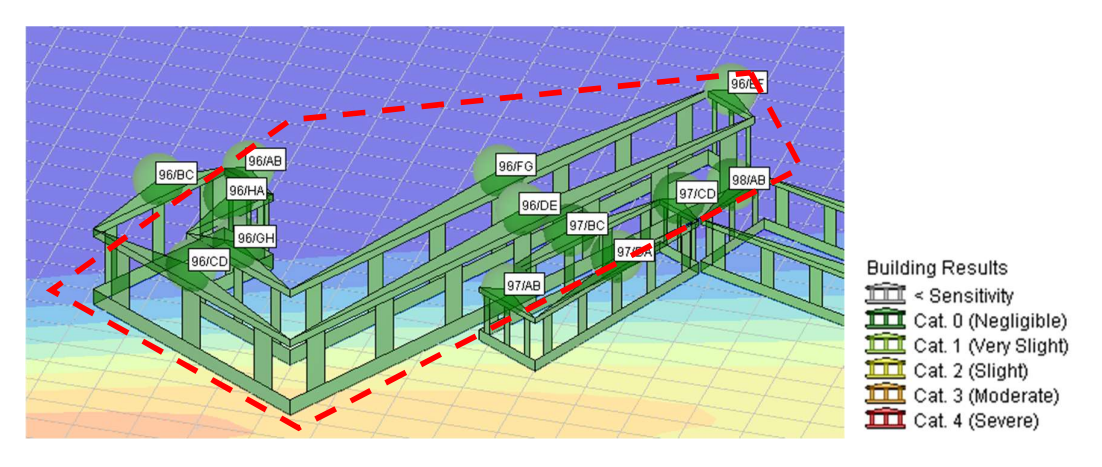


Figura 105 - Interferência 96, Categoria de Danos



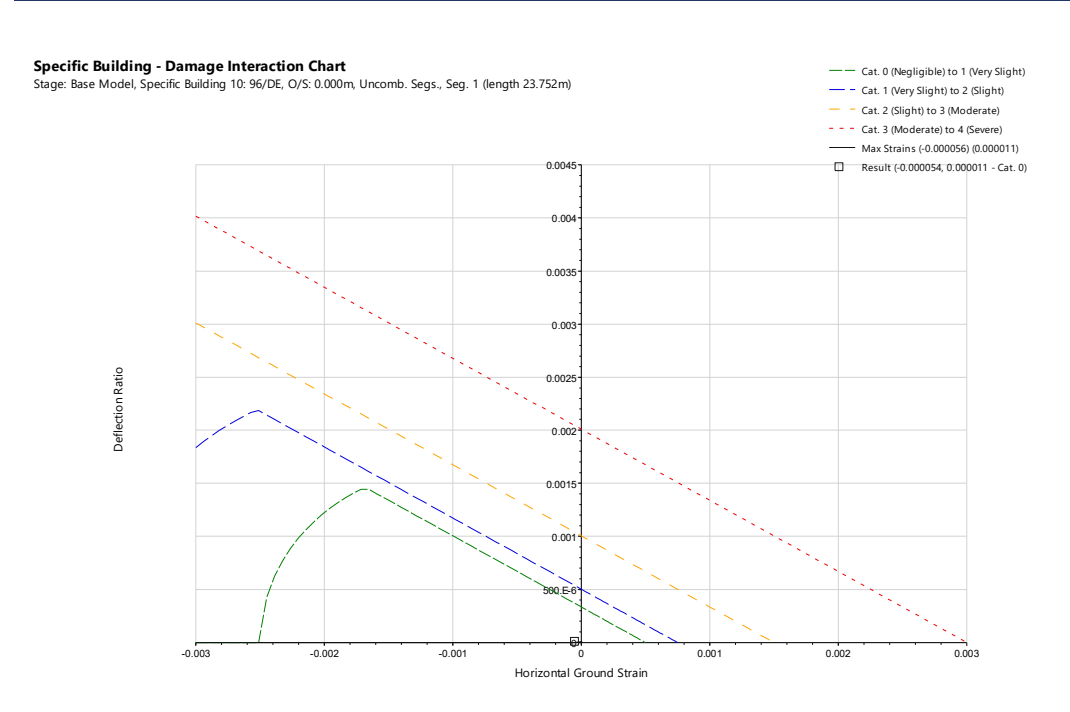


Figura 106 - Interferência 96, Categoria de Dano

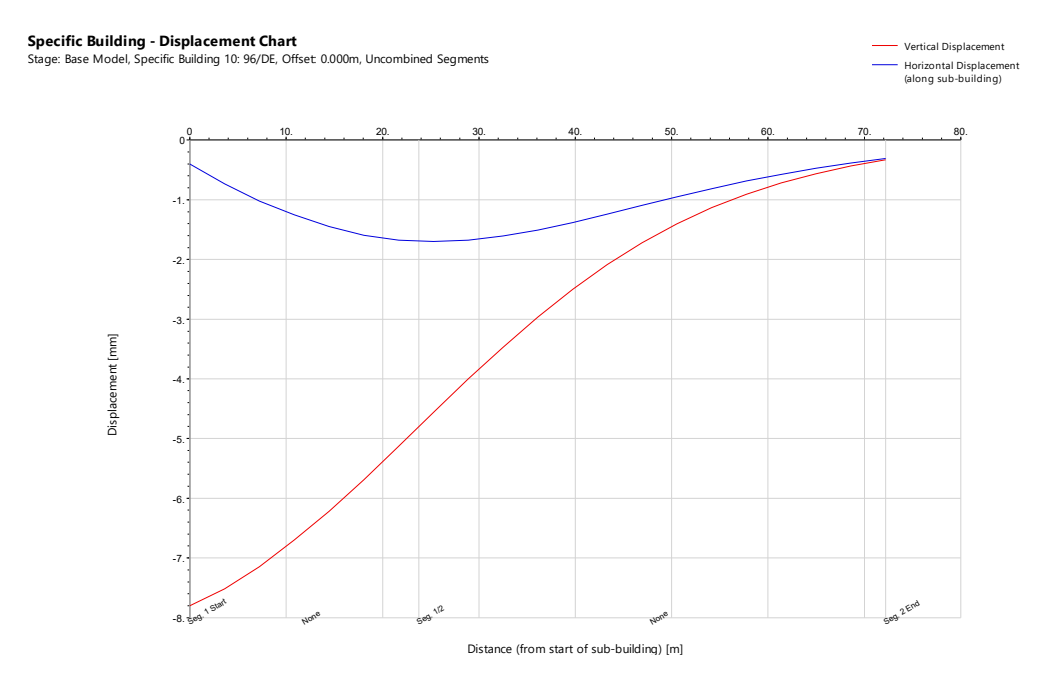


Figura 107 - Interferência 96, campo de deslocamentos





### 7.5.1.2 Interferência 97

O deslocamento máximo vertical estimado para a Interferência 97 é de 7mm, na interceção do troço DA e AB da interferência. O gradiente máximo resultante dos deslocamentos verticais diferenciais é de 1:4800, localizado no troço BC da interferência (Figura 108 a Figura 110).

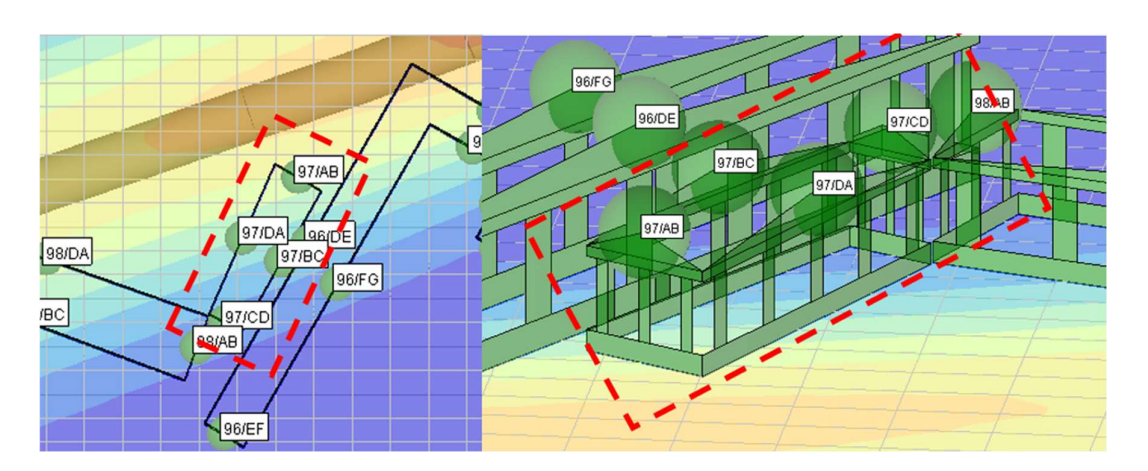


Figura 108 - Interferência 97, isolinhas de deslocamento vertical e alinhamentos

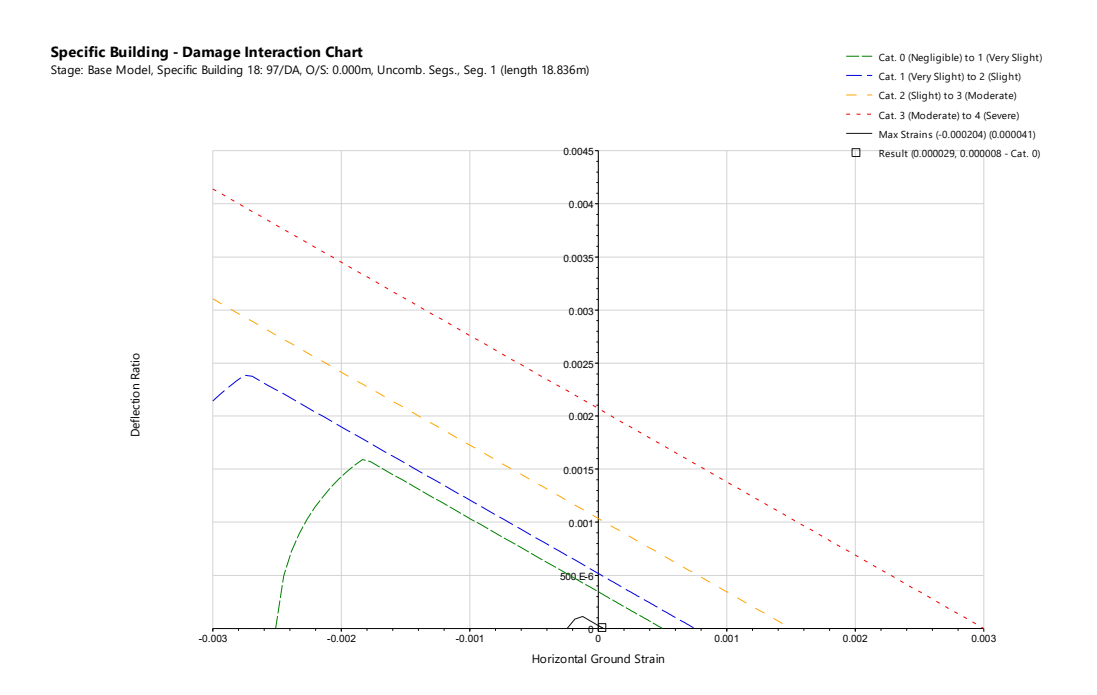


Figura 109 - Interferência 97, Categoria de Dano



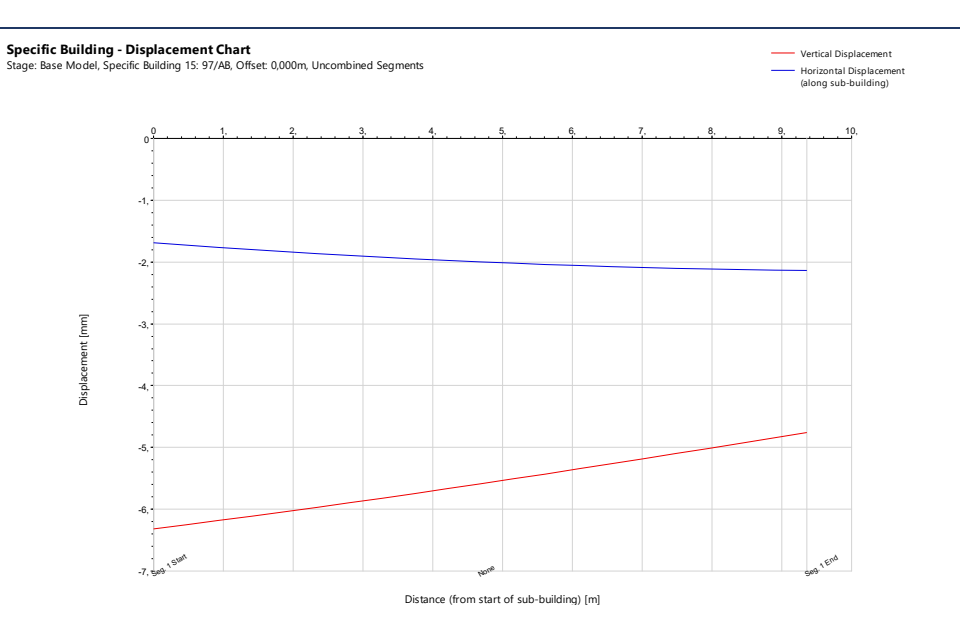


Figura 110 – Interferência 97, campo de deslocamentos



### 7.5.1.3 Interferência 98

O deslocamento máximo vertical estimado para a Interferência 98 é de 7mm, na interceção do troço BC e CD da interferência. O gradiente máximo resultante dos deslocamentos verticais diferenciais é de 1:8000, localizado no troço DA da interferência (

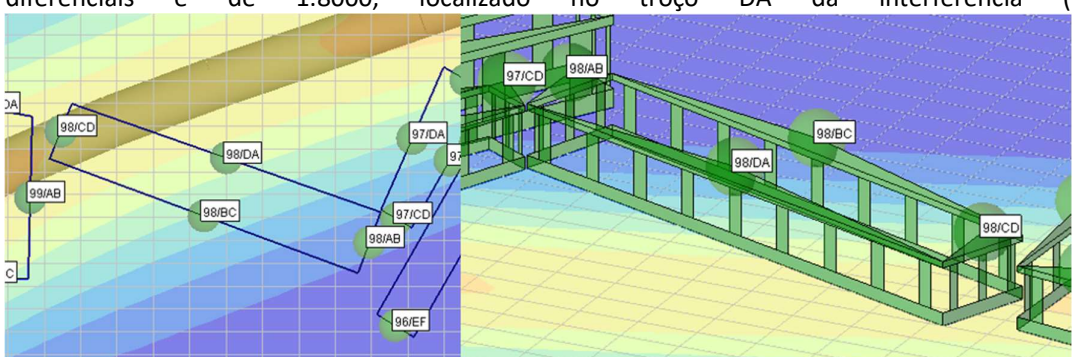
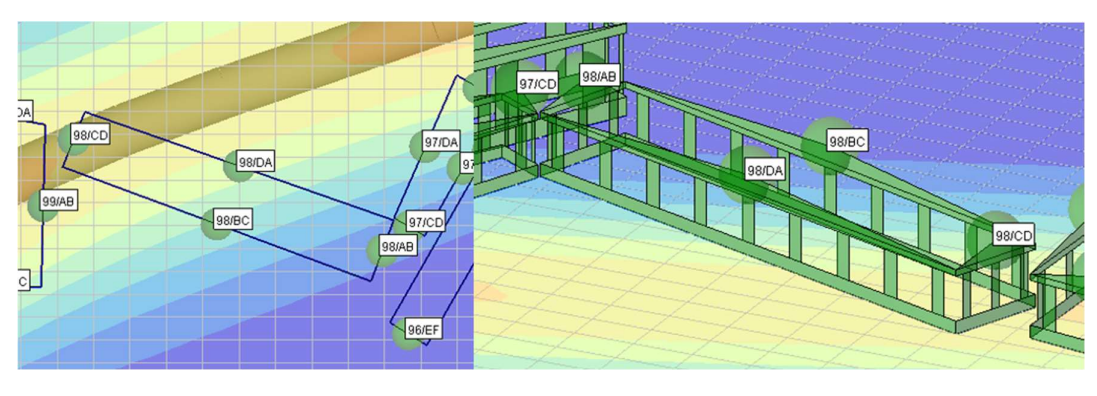


Figura 111 a Figura 113).



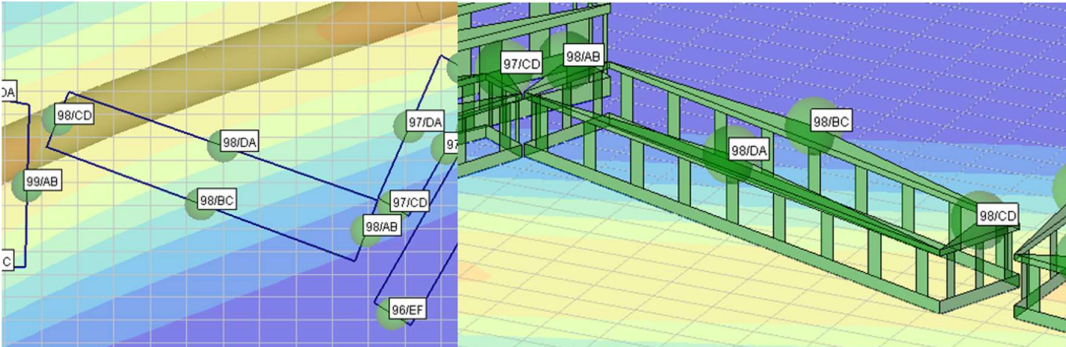


Figura 111 – Interferência 98, isolinhas de deslocamento vertical e alinhamentos



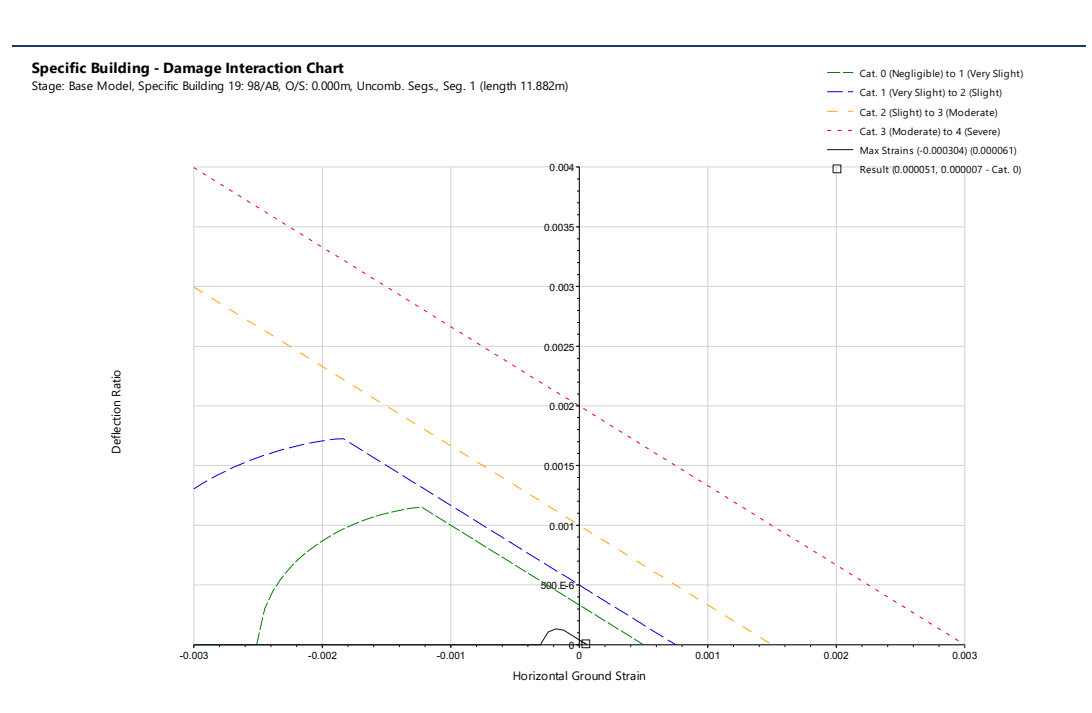


Figura 112 - Interferência 98, Categoria de Dano

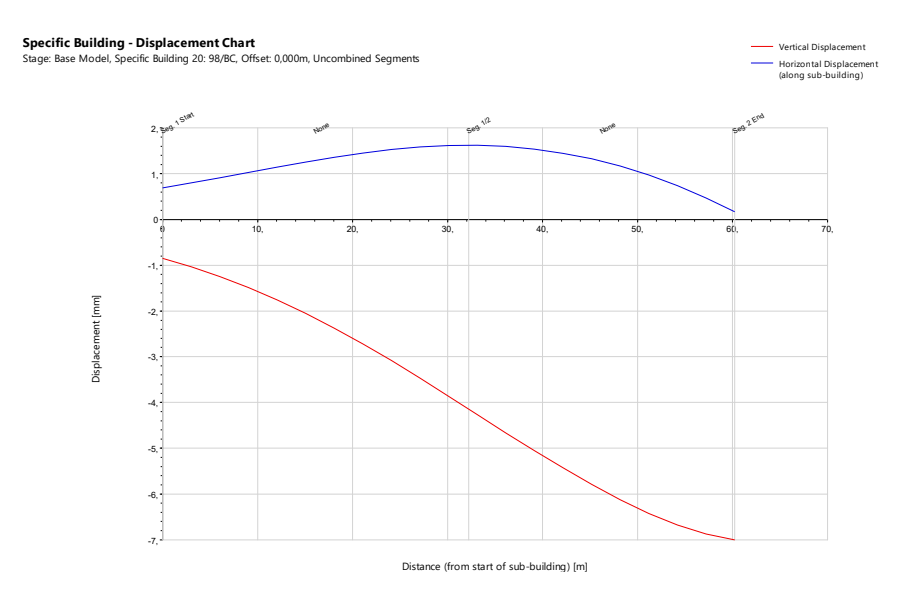


Figura 113 - Interferência 98, campo de deslocamentos





#### 7.5.1.4 Interferência 99

O deslocamento máximo vertical estimado para a Interferência 99 é de 8mm, no troço CD da interferência. O gradiente máximo resultante dos deslocamentos verticais diferenciais é de 1:6000, localizado igualmente no troço CD (Figura 114 a Figura 116).

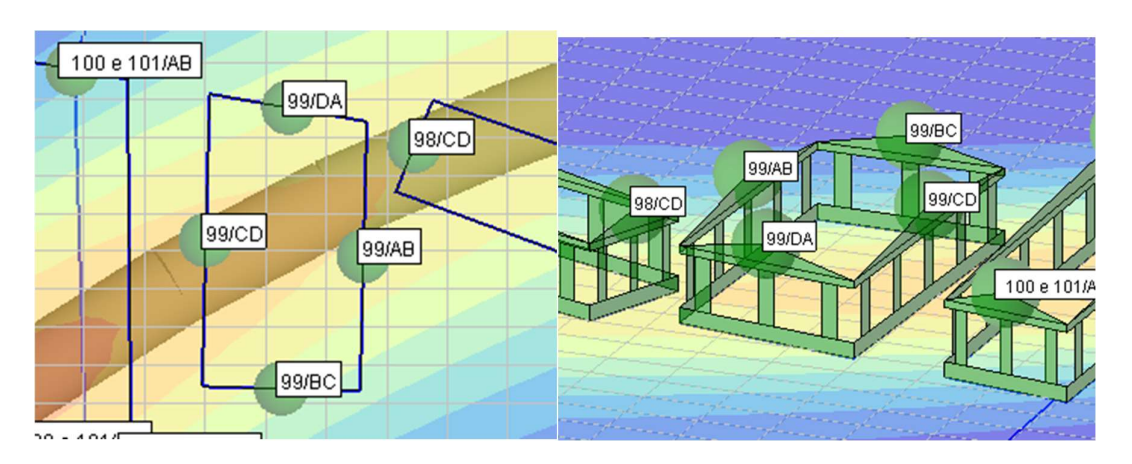


Figura 114 - Interferência 99, Alinhamentos e Categoria de Dano 3D

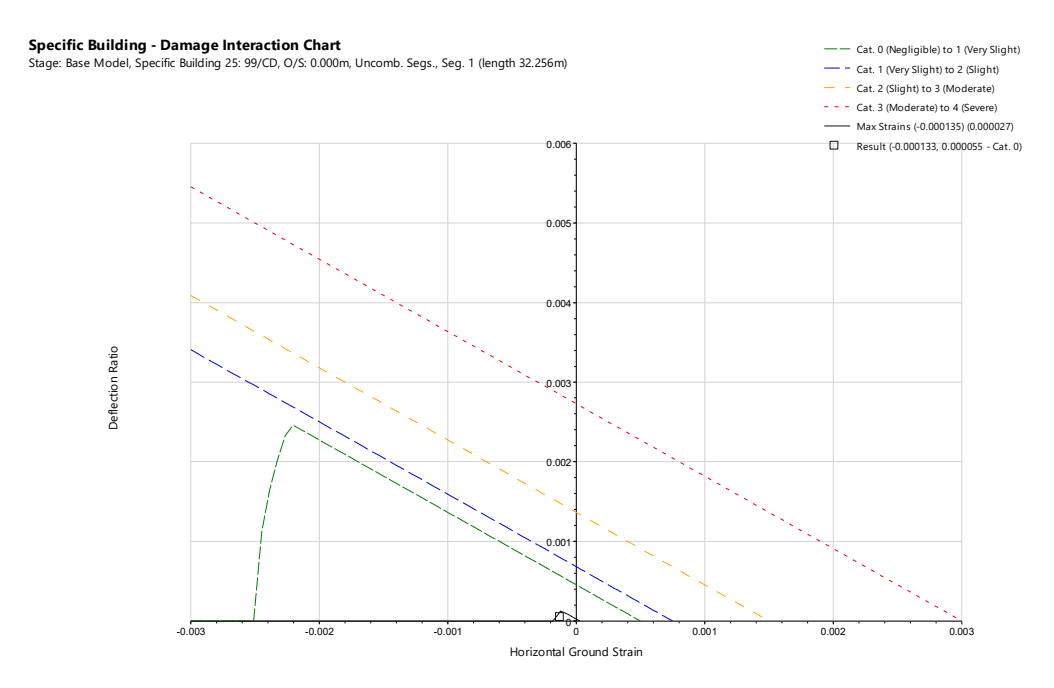


Figura 115 - Interferência 99, Categoria de Dano



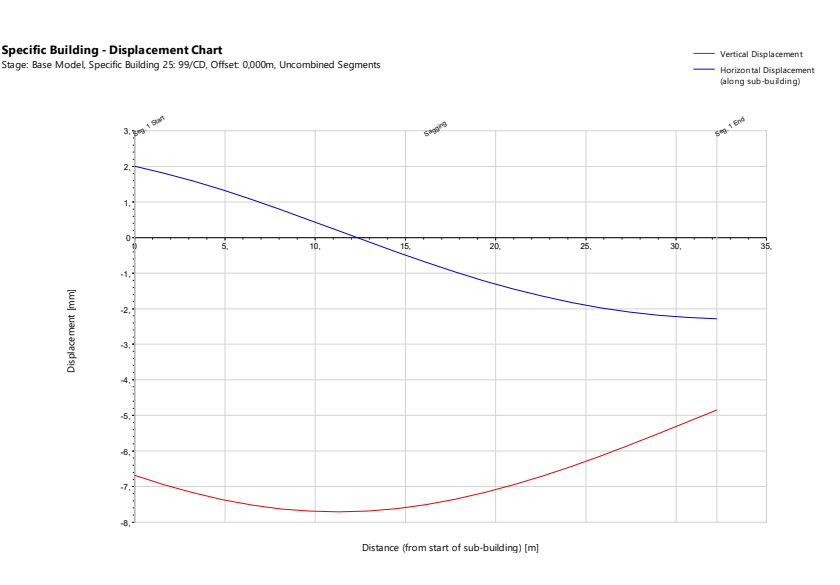


Figura 116 - Interferência 99, campo de deslocamentos

### 7.5.1.5 Interferência 100 e 101

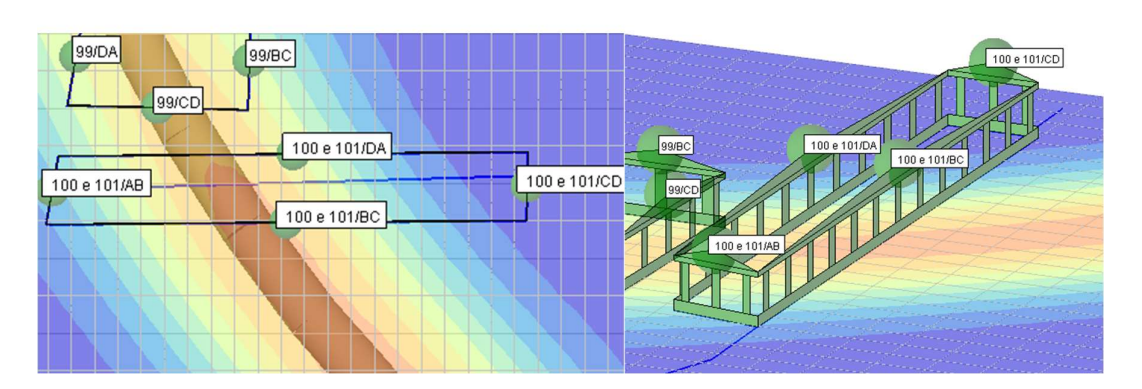


Figura 117 - Interferência 100 e 101, Alinhamentos e Categoria de Dano 3D

O deslocamento máximo vertical estimado para a Interferência 100 e 101 é de 9mm, no troço BC da interferência. O gradiente máximo resultante dos deslocamentos verticais diferenciais é de 1:5000, localizado de igual modo no troço BC.



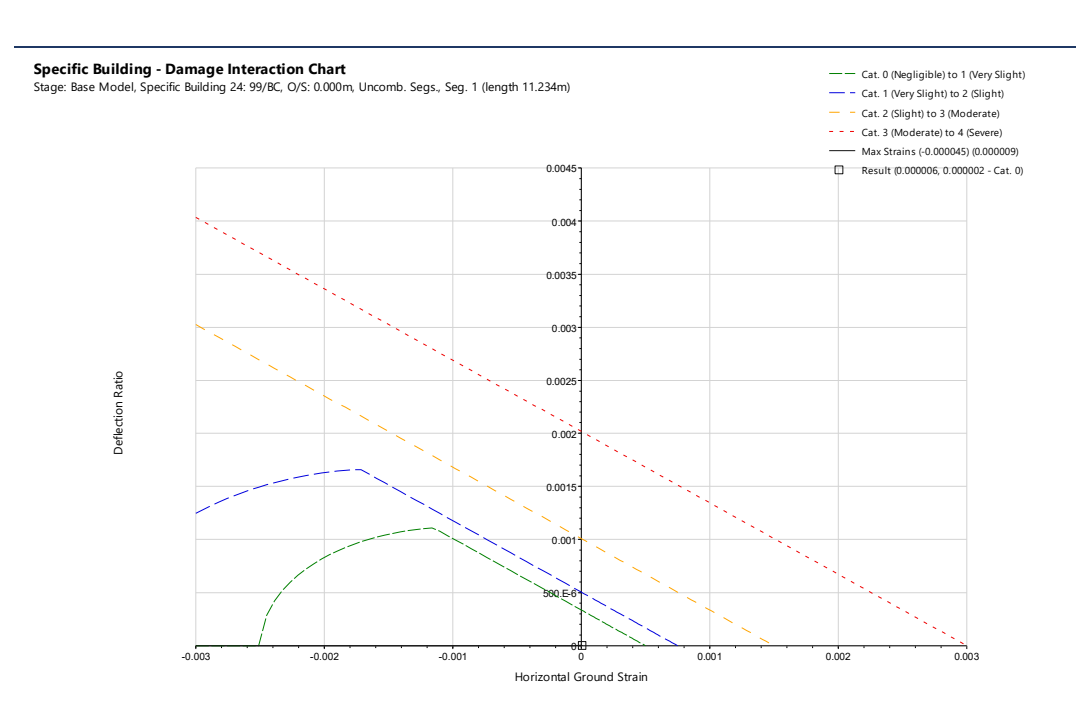


Figura 118 - Interferência 9, Categoria de Dano

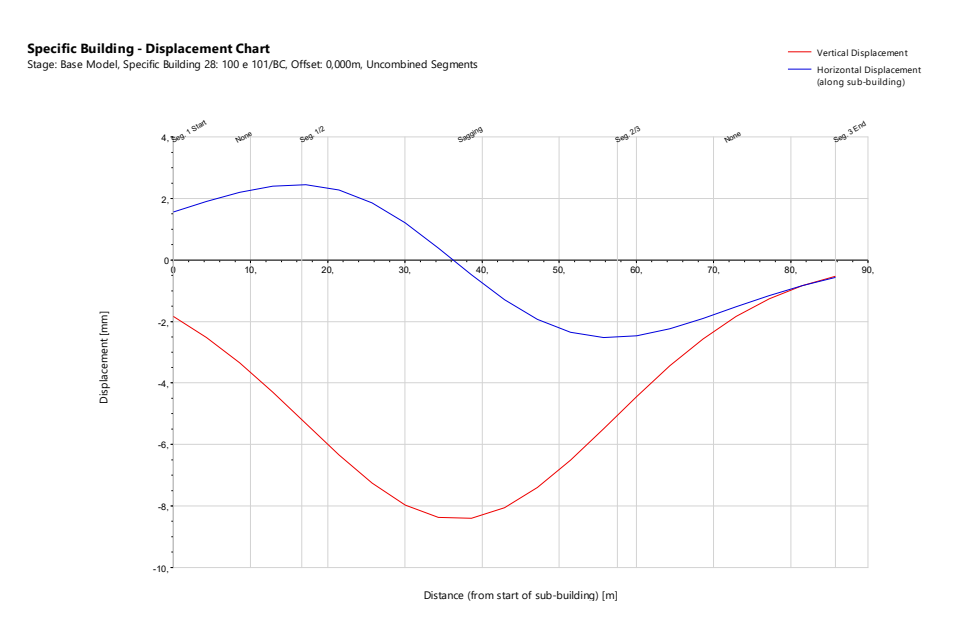


Figura 119 - Interferência 100 e 101, campo de deslocamentos

Tendo em conta os deslocamentos e gradientes indicados nos pontos anteriores, passando pelas interferências 96, 97, 98, 99, 100 e 101, em todas elas se verificou assentamentos verticais abaixo de 10mm, assim como gradientes máximos inferiores a 1:500. Deste modo considera-se que o efeitos decorrentes dos trabalhos de escavação nestas interferência será reduzido,





corroborado pelo facto de todas se encontrarem com categoria de dano 0, não sendo expectável a ocorrência de danos.

De acordo com a metodologia de avaliação de danos patenteada no programa de concurso, estes deslocamentos apenas requerem a avaliação de Fase 1 – Avaliação Preliminar

### 7.5.2 Medidas de mitigação previstas

Tendo em conta os resultados descritos no ponto anterior e tratando-se de uma interferência classificada, com elementos estruturais e arquitetónicos suscetíveis a dano, prevê-se a adoção de Monitorização Nível II.

Este tipo de monitorização em combinação com a monitorização a instalar nos elementos de contenção da escavação do túnel de via em causa, permitirão um adequado controlo das atividades, possibilitando um efetivo controle dos deslocamentos induzidos à interferência.



#### 7.6 Cemitério Alemão

### 7.6.1 Deslocamentos e gradientes máximos estimados

O deslocamento máximo vertical estimado para o Cemitério Alemão é de 40mm, no troço AB da interferência, Figura 121, localizado no alinhamento mais próximo da interação do túnel de via com a via de resguardo 1. O gradiente máximo resultante dos deslocamentos verticais diferenciais é de 1:2500, localizado no troço DE da interferência.

Tendo em conta os deslocamentos e gradientes indicados no parágrafo anterior, considera-se que o efeitos decorrentes dos trabalhos de escavação nesta interferência será médio a elevado, especialmente pela sobreposição de efeitos dos túneis duplos sendo expectável a ocorrência de assentamentos elevados.

De acordo com a metodologia de avaliação de danos patenteada no programa de concurso, estes deslocamentos requerem a avaliação de Fase 2 – Avaliação Intermédia.

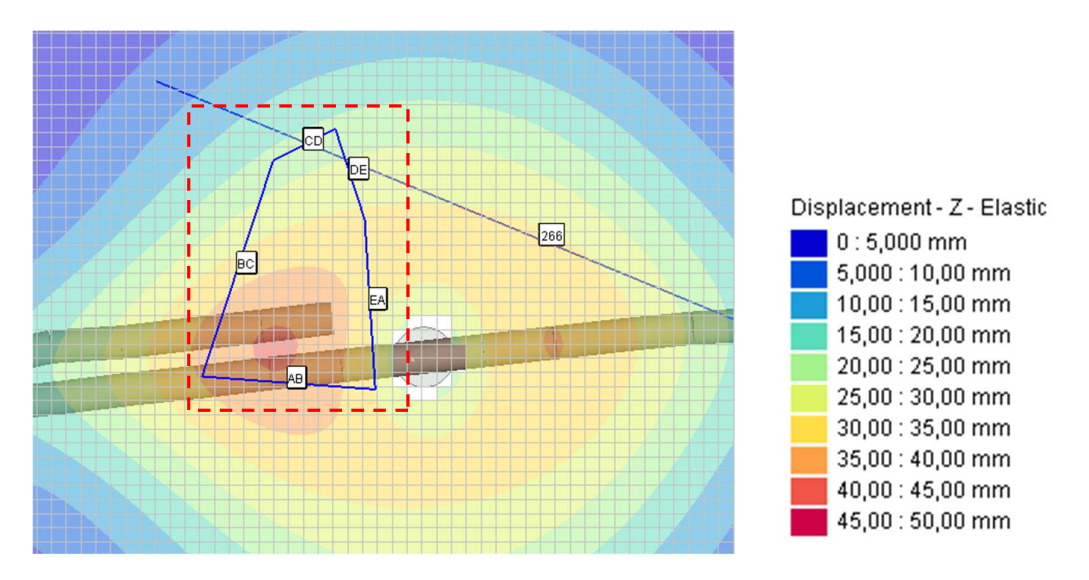


Figura 120 - Cemitério Alemão, gradiente de deslocamentos verticais e alinhamentos



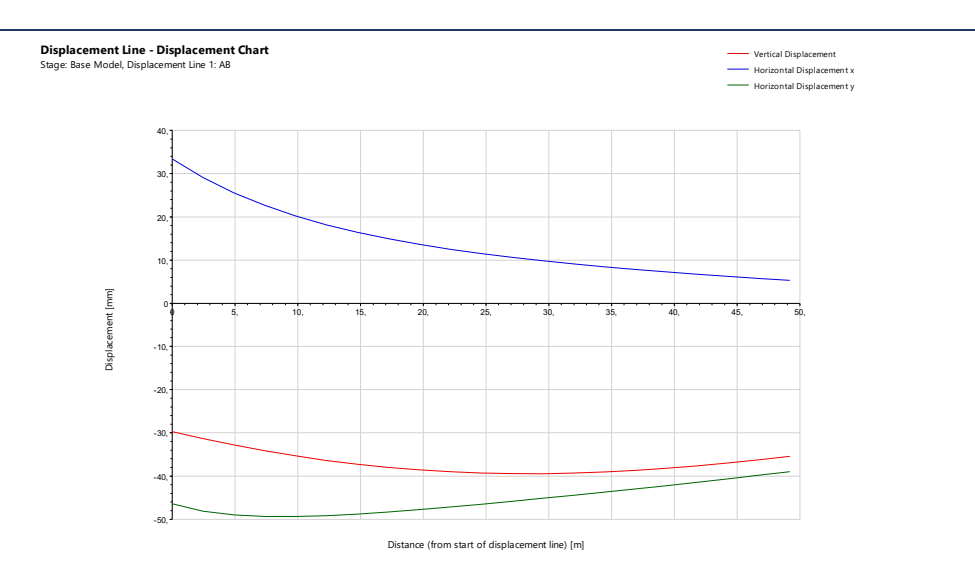


Figura 121 – Cemitério Alemão, campo de deslocamentos, Alinhamento AB

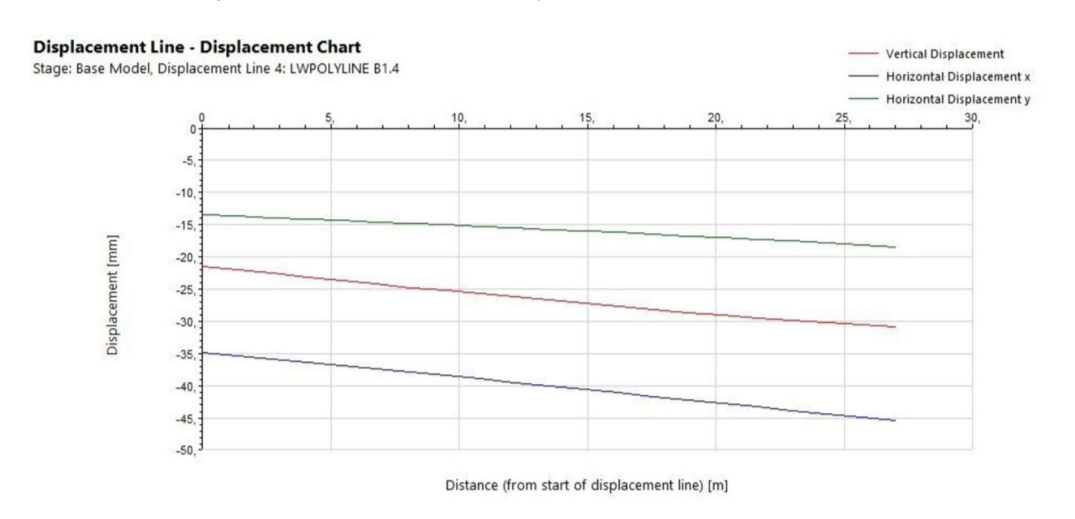


Figura 122 - Cemitério Alemão, troço DE , campo de deslocamentos, gradiente crítico

### 7.6.2 Medidas de mitigação previstas

Tendo em conta os resultados descritos no ponto anterior e tratando-se de uma interferência classificada, onde maioritariamente é ocupada por terreno com árvores e arbustos e onde pontualmente existem elementos arquitetónicos, tais como jazigos e túmulos de pedra, prevêse a adoção de Monitorização Nível I.

Este tipo de monitorização em combinação com a monitorização a instalar nos elementos de contenção da escavação do túnel de via em causa, permitirão um adequado controlo das atividades, possibilitando um efetivo controle dos deslocamentos induzidos à superfície.



### 7.7 Conjunto do Palácio das Necessidades

Para analisar os edifícios do Palácio das Necessidades, foi aproximado o seu contorno pelo exterior das suas fachadas, em conjunto com o pátio interior, que se localiza imediatamente sobre o traçado do túnel, analisado a categoria de dano, deslocamentos verticais e gradientes máximos verticais.

Quanto ao Chafariz das Necessidades e o seu aqueduto adutor, no Jardim das Necessidades, este foi delimitado pela sua base de pedra e analisados os seus deslocamentos e gradiente.

# 7.7.1 Edifícios - Categoria de dano, deslocamentos e gradientes máximos estimados

O deslocamento máximo vertical estimado para o Palácio das Necessidades é de 8mm na fachada sul da interferência, Figura 125. O gradiente máximo resultante dos deslocamentos verticais diferenciais é de 1:1000, localizado no troço da "Fachada Sul" da interferência.

Tendo em conta os deslocamentos e gradientes indicados no parágrafo anterior, considera-se que o efeitos dos assentamentos verticais decorrentes dos trabalhos de escavação nesta interferência será reduzido, no entanto, sendo a categoria de danos 0, representada na Figura 124, não é expectável a ocorrência de danos.

Considerou-se que a presença de elementos suscetíveis a dano no interior do Conjunto do Palácio das Necessidades justificam a adoção de um agravamento da categoria de dano em +2. Assim, a categoria de dano final da avaliação é Categoria 2, pelo que esta interferência não necessita de medidas de mitigação de assentamentos.

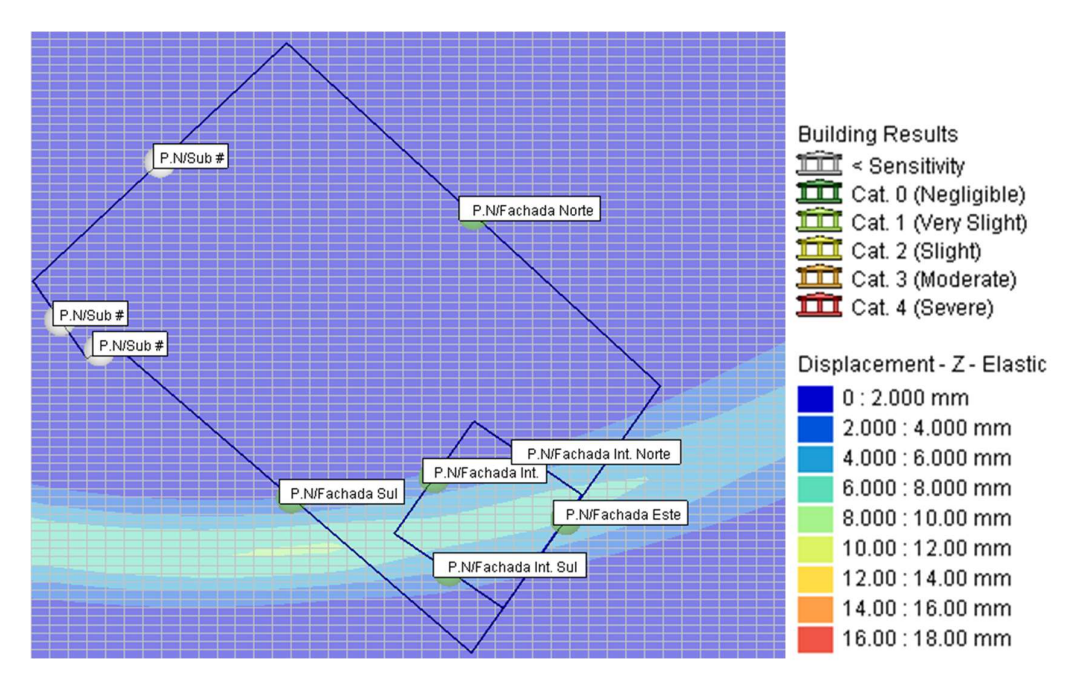


Figura 123 - Gradiente de assentamentos do Palácio das Necessidades



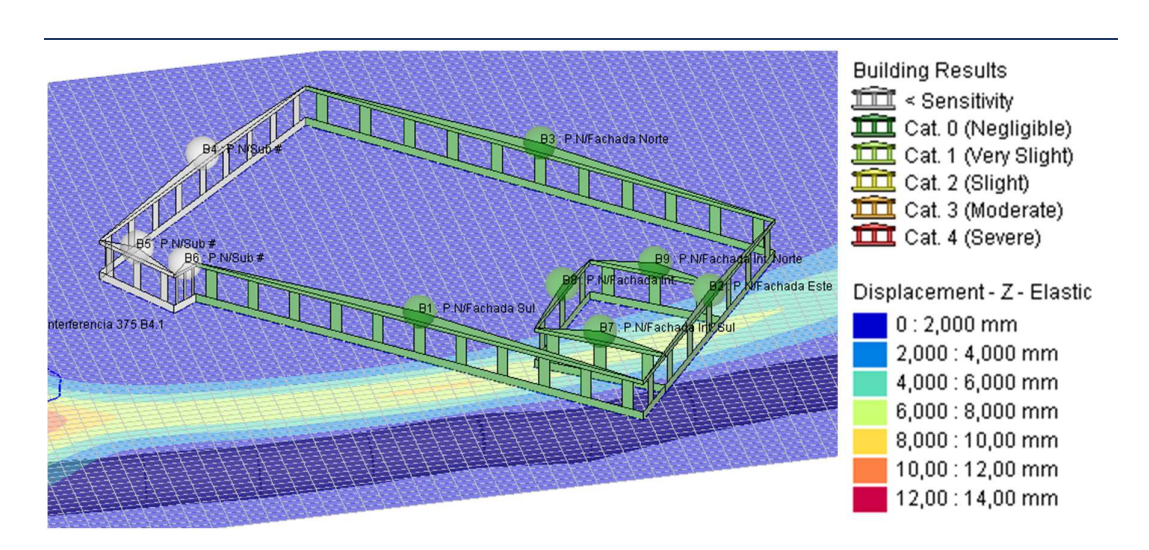


Figura 124 - Palácio das Necessidades, Categoria de Dano

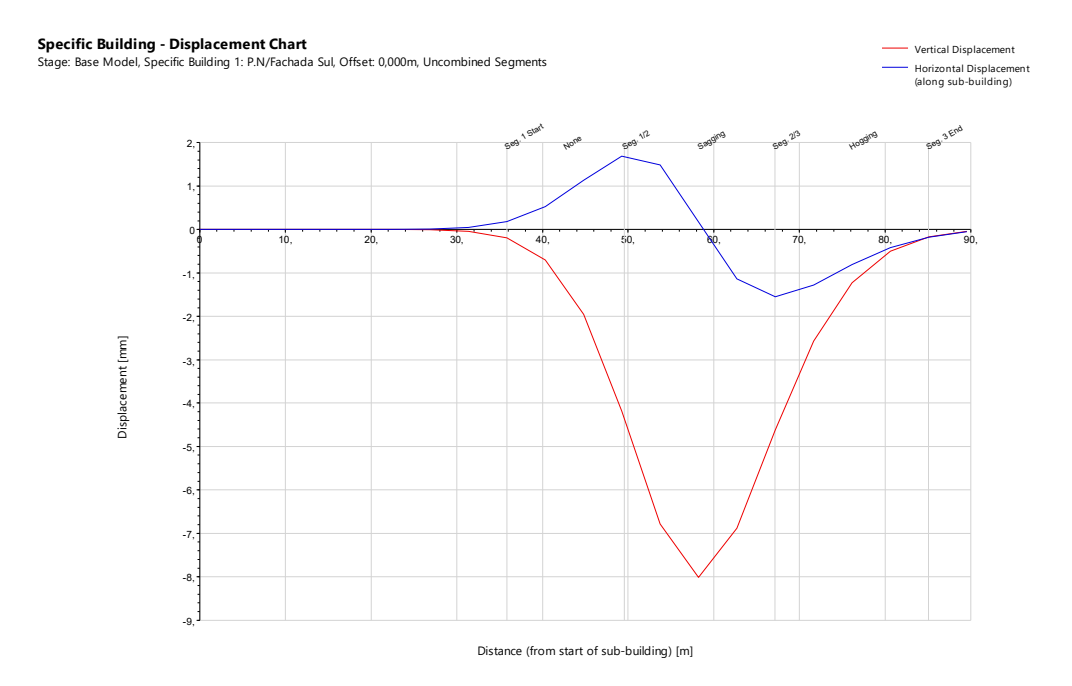


Figura 125 - Edifício Calçada das Necessidades, Fachada Sul, Campo Deslocamentos



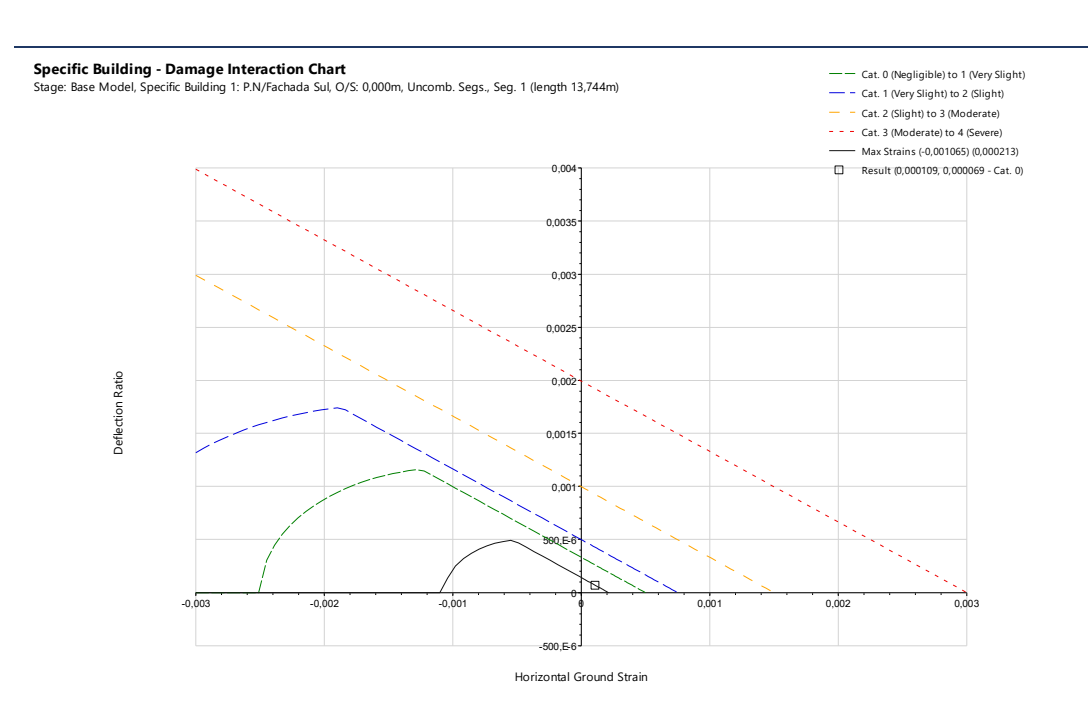


Figura 126 - Edifício Calçada das Necessidades, Fachada Sul, Categoria de Dano

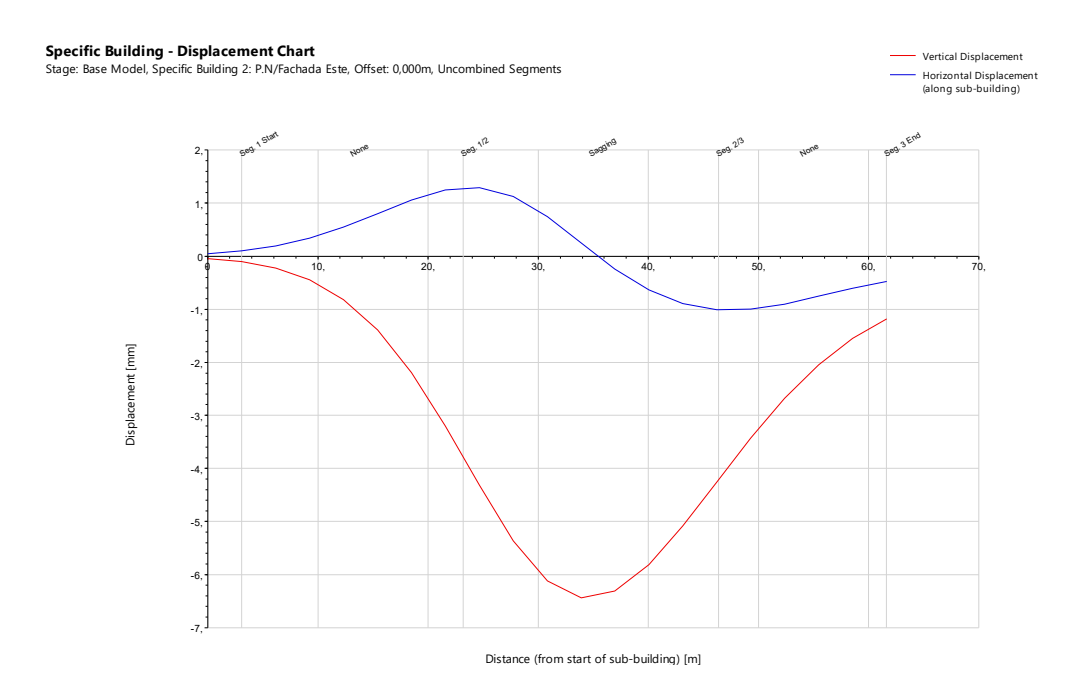


Figura 127 - Edifício Calçada das Necessidades, Fachada Este, Campo Deslocamentos



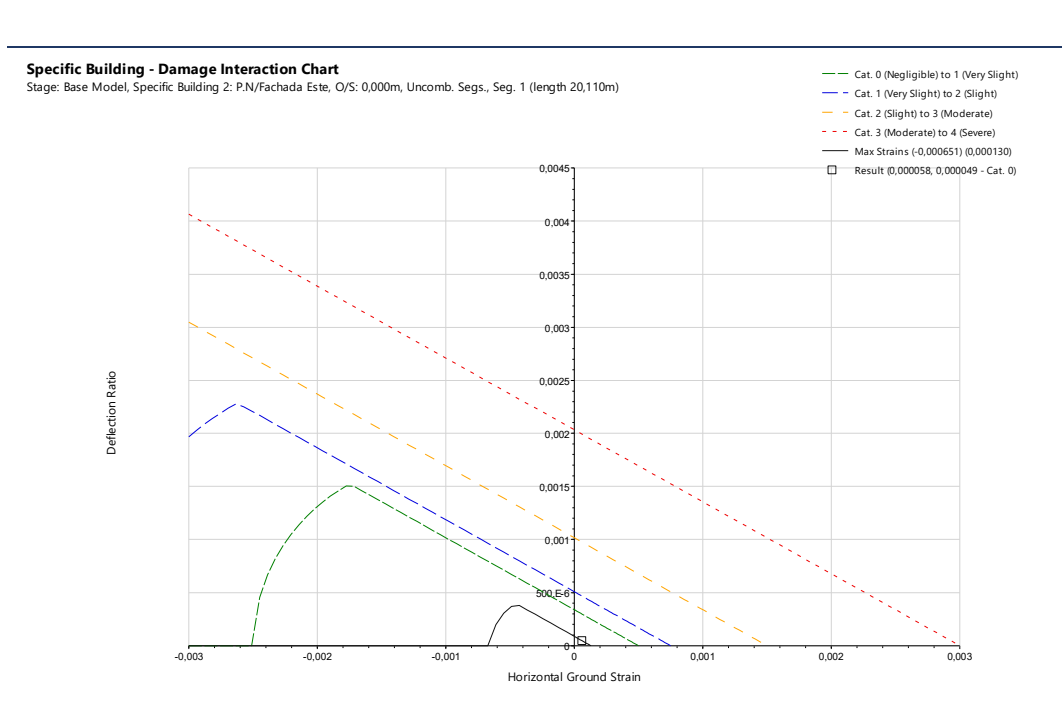


Figura 128 - Edifício Calçada das Necessidades, Fachada Este, Categoria de Dano

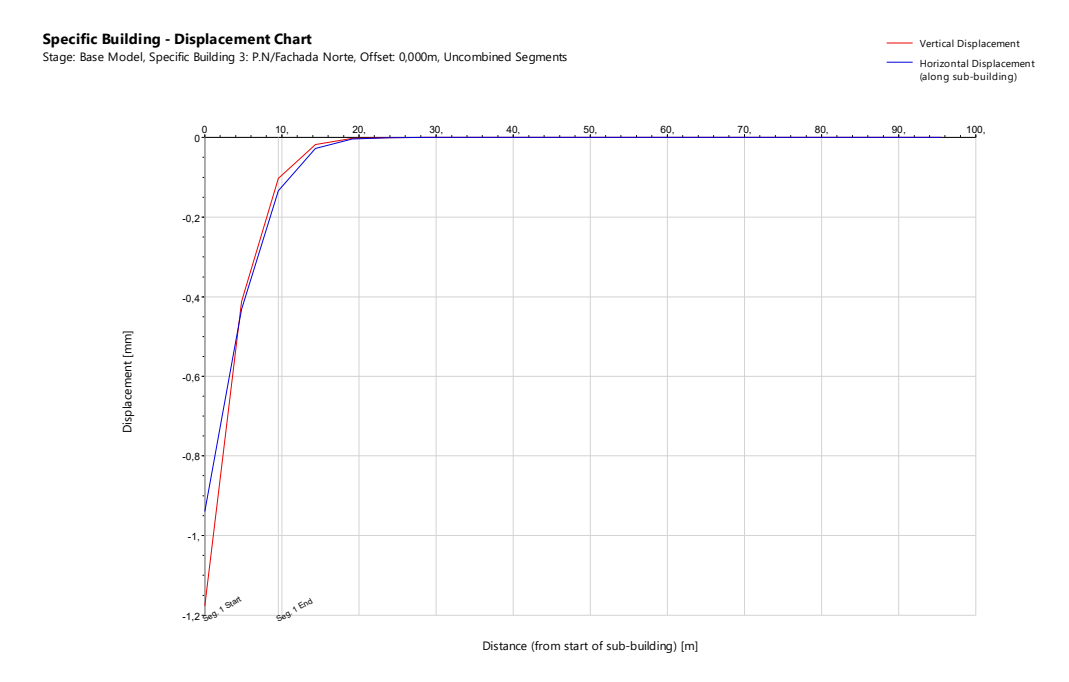


Figura 129 - Edifício Calçada das Necessidades, Fachada Norte, Campo Deslocamentos



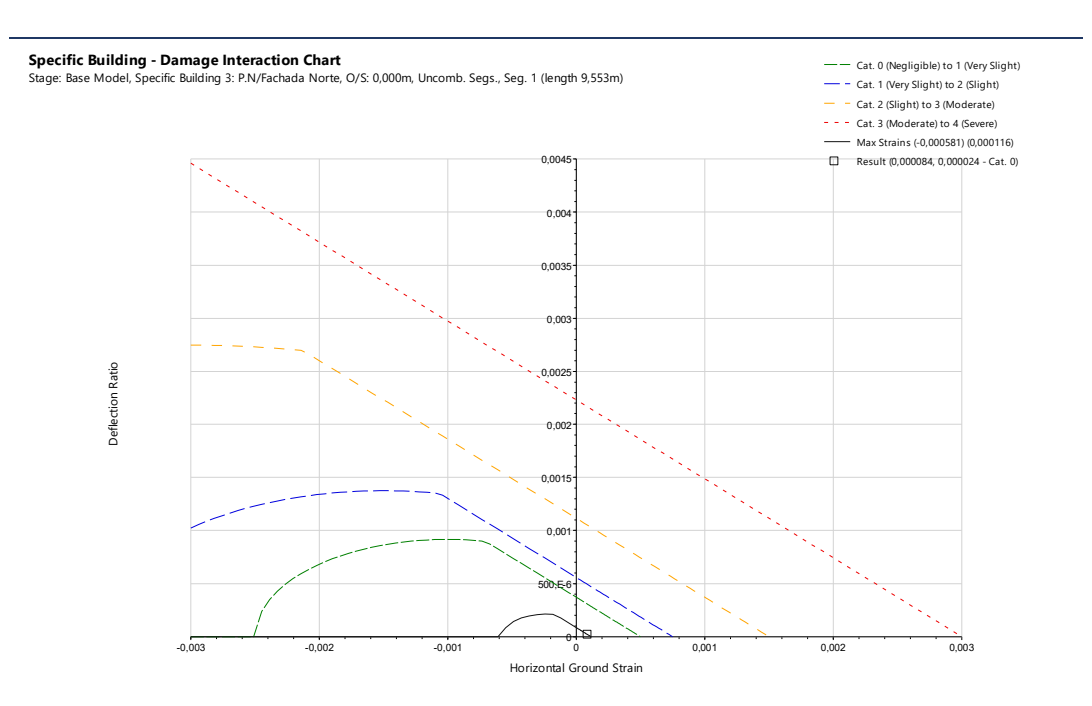


Figura 130 - Edifício Calçada das Necessidades, Fachada Norte, Categoria de Dano

## 7.7.2 Medidas de mitigação previstas

Considerando os resultados descritos no ponto anterior e tratando-se de uma interferência classificada, com elementos arquitetónicos suscetíveis a dano, nesta fase prevê-se a adoção de Monitorização Nível II.

Este tipo de monitorização em combinação com a monitorização a instalar nos elementos de suporte e/ou contenção das obras a executar na zona de influência, permitirão um adequado controlo das atividades, possibilitando um efetivo controle dos deslocamentos induzidos à interferência.



## 7.7.3 Chafariz e adutor - Deslocamentos e gradientes máximos estimados

Em relação ao Chafariz do Largo das Necessidades, observa-se que as secções mais críticas são as que estão mais próximas do emboquilhamento, onde os deslocamentos são maiores. Estas secções apresentam um assentamento máximo de 22mm. O gradiente máximo localiza-se no troço DL14, com um valor de 1:600

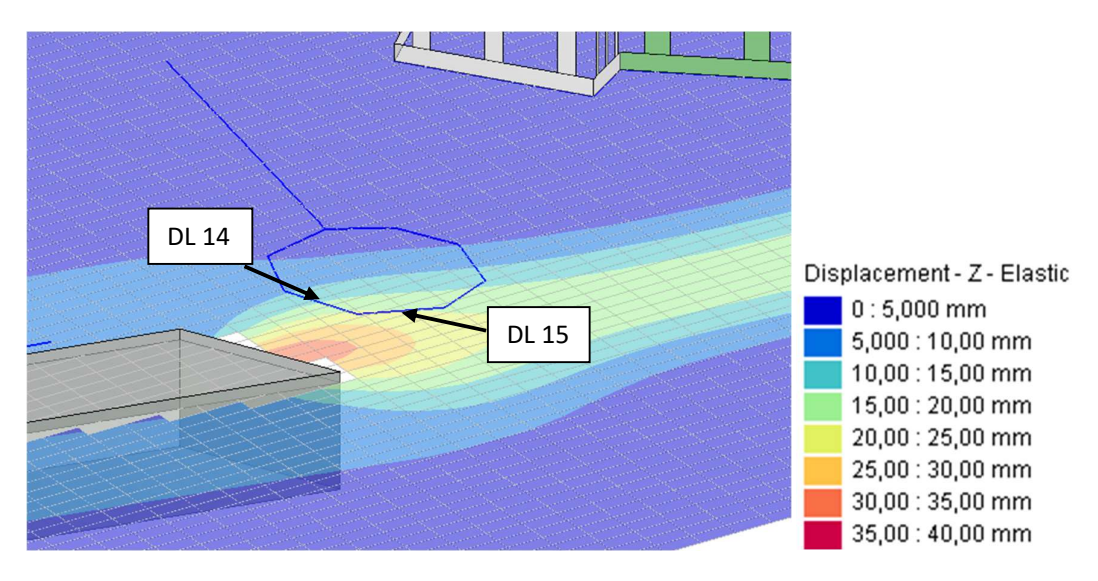


Figura 131 - Chafariz das Necessidades, vista 3D

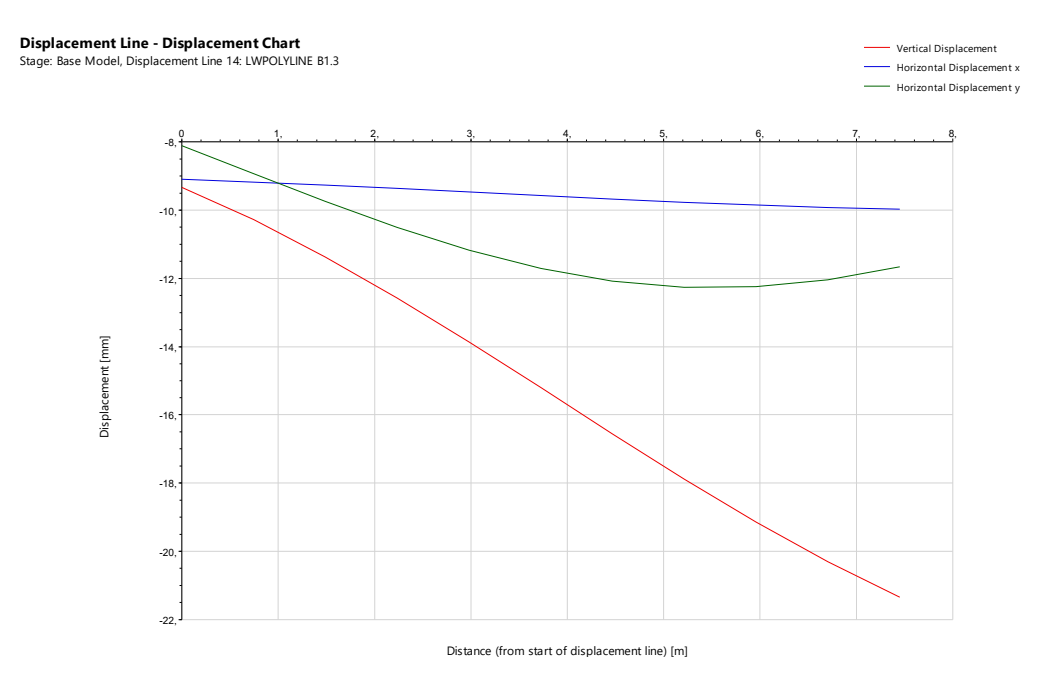


Figura 132 - Chafariz das Necessidades, troço DL14, Campo Deslocamentos



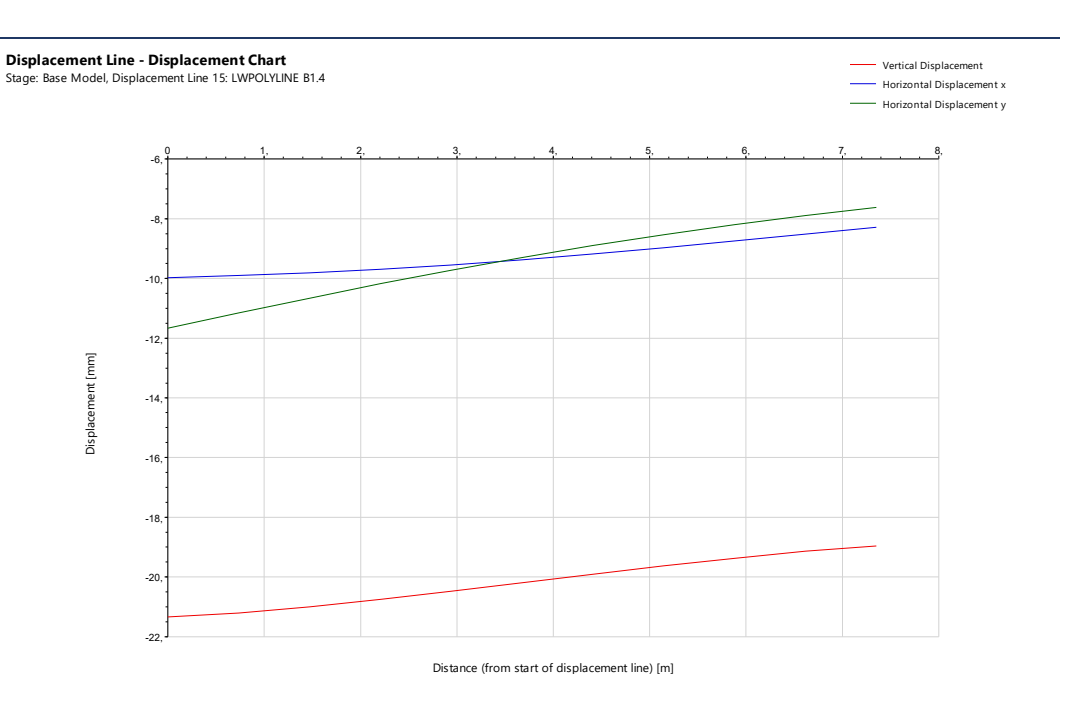


Figura 133 - Chafariz das Necessidades, troço DL15, Campo Deslocamentos

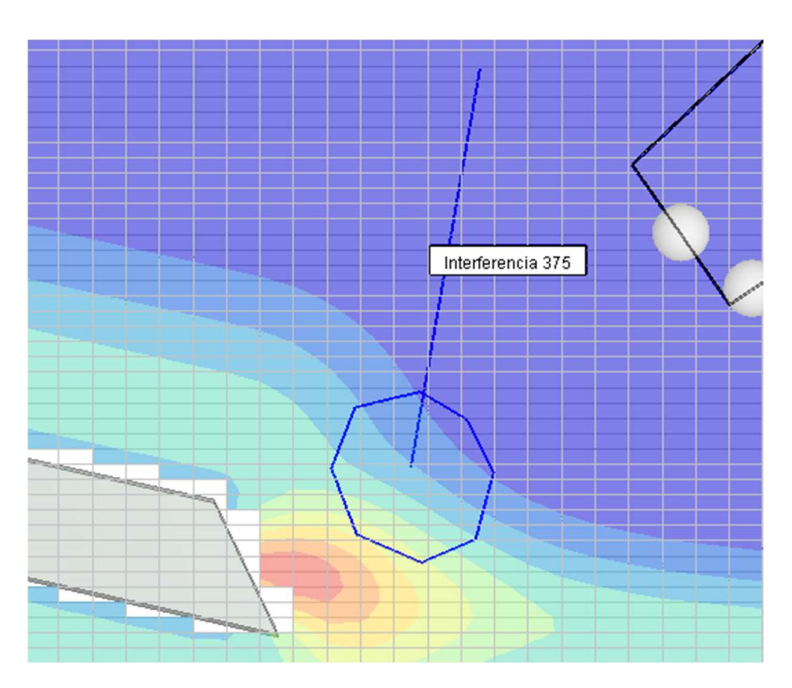


Figura 134 - Adutor do Chafariz das Necessidades, vista planta



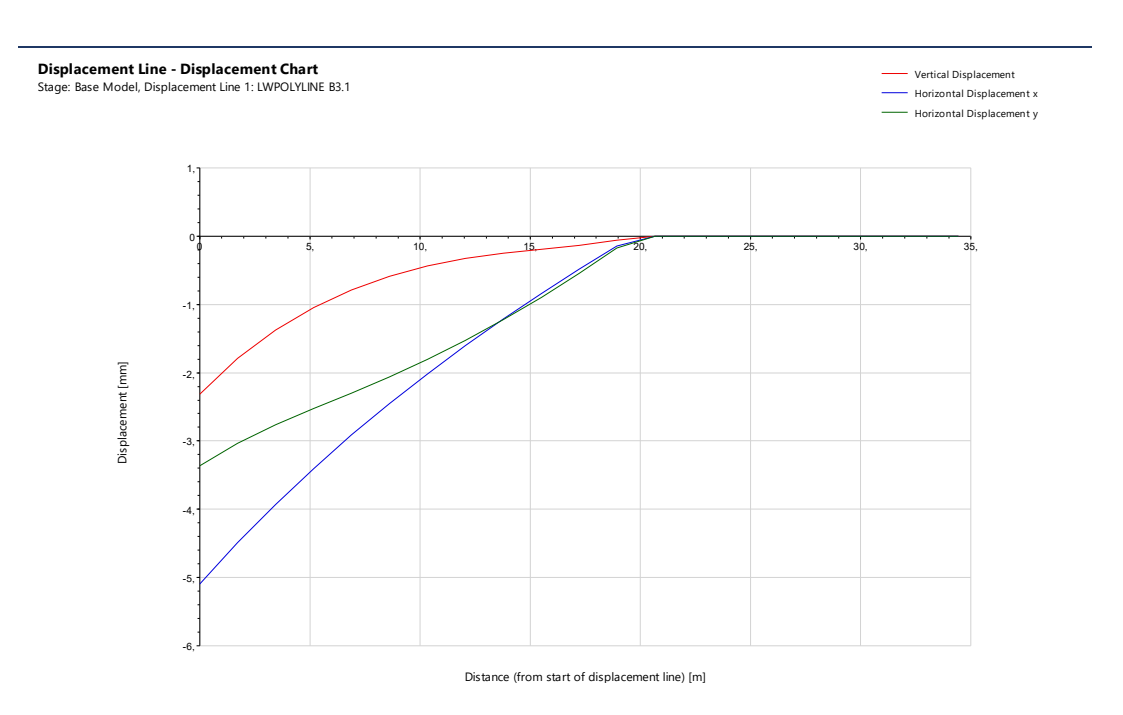


Figura 135 - Adutor do Chafariz das Necessidades, troço DL1, Campo Deslocamentos

## 7.7.4 Medidas de mitigação previstas

Considerando os resultados descritos no ponto anterior e tratando-se de uma interferência classificada, com elementos arquitetónicos suscetíveis a dano, prevê-se a adoção de Monitorização Nível II.



#### 7.8 Baluarte do Livramento

## 7.8.1 Deslocamentos e gradientes máximos estimados

Os deslocamentos induzidos na interferência 381a serão alvo de estudo autónomo a realizar no âmbito do projeto de recalçamento.

# 7.8.2 Medidas de mitigação previstas

Tendo em conta a necessidade de recalçamento da interferência 381a, a medida de mitigação prevista é do tipo B, prevendo-se a adoção de Monitorização Nível II.



## 7.9 Via ferroviária (Ligação Alcântara-Terra ao Porto de Lisboa)

## 7.9.1 Deslocamentos e gradientes máximos estimados

A interferência 1008, via ferroviária da IP que serve como ligação de Alcântara-Terra ao Porto de Lisboa, localiza-se entre os pilares P3 e P4 do Viaduto de Alcântara, como ilustrado na Figura 136, o sentido do movimento assumido, para efeitos de localização do carril esquerdo e direito é indicado na mesma figura com uma seta vermelha.

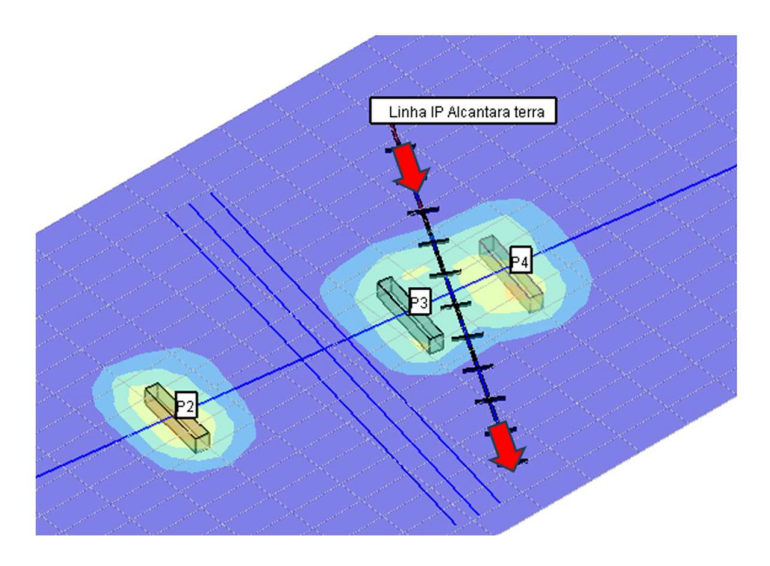


Figura 136 - Linha Comboio Alcântara-Terra, vista 3D

Para a análise, foi definido que os parâmetros geométricos da linha ferroviária seriam avaliados em duas fases (Fase 1 e Fase 2). A Fase 1 corresponde à escavação isolada do maciço P3 (Figura 137) e a Fase 2 corresponde àescavação em simultâneo dos maciços dos pilares P3 e P4 (Figura 138).

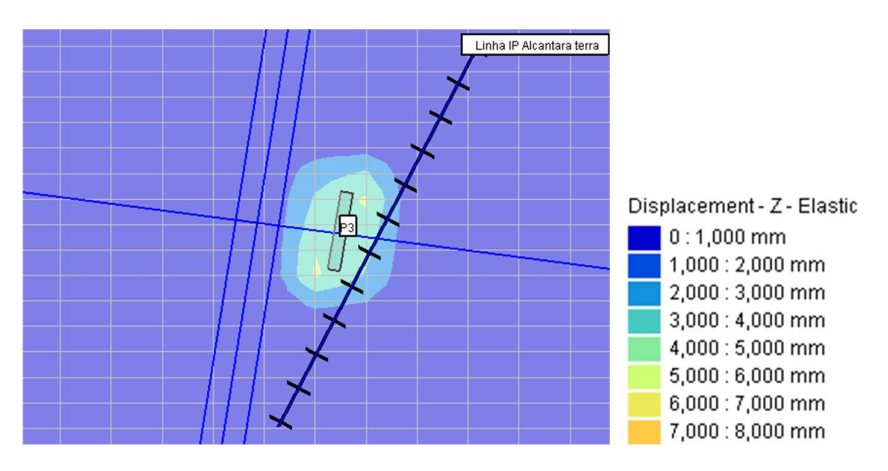


Figura 137 - Fase 1, Via Férrea, isolinhas de deslocamento vertical



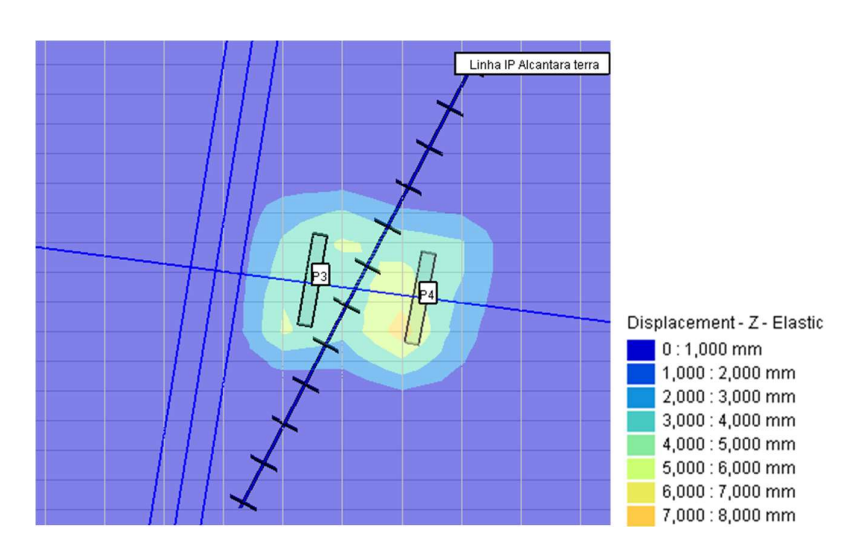


Figura 138 - Fase 2, Via Férrea, isolinhas de deslocamento vertical

Para a Fase 1, o valor do deslocamento vertical em cada carril ao longo da linha está representada na Figura 139, onde se prevê ocorrer assentamentos na ordem dos 6,5 mm para carril da direita, (carril mais próximo do maciço P3) e de 4,5mm para o carril da esquerda, (carril mais próximo do maciço P4). Estes deslocamentos encontram-se dentros limites indicados no subcapítulo 2.5. Relativamente aos limites para a variação da inclinação transversal numa base de 3 m, as Figura 140 e Figura 141 indicam que o limite definido não é ultrapassado.

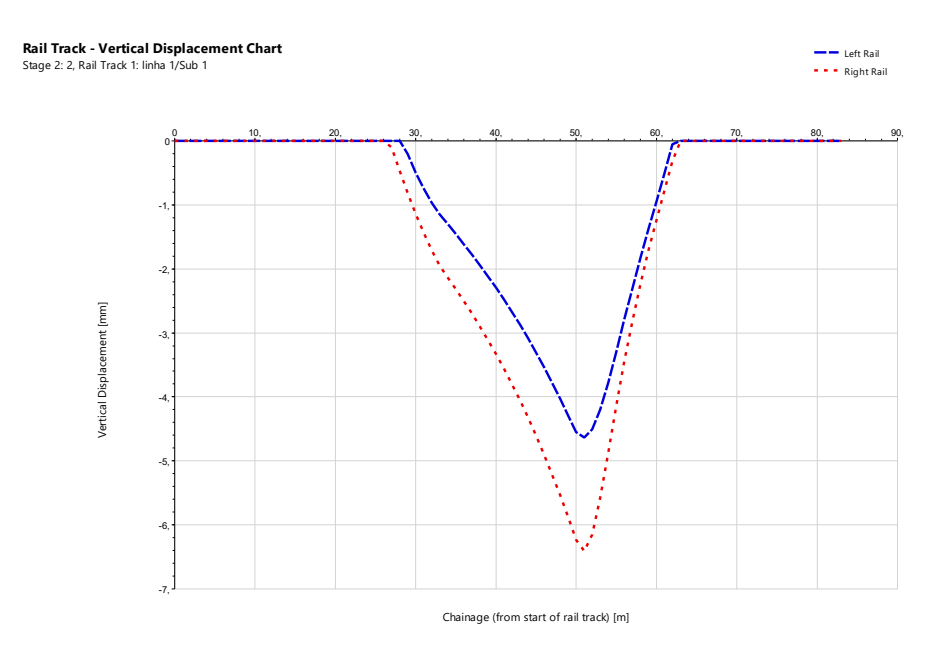


Figura 139 - Fase 1, Linha de comboio de Alcântara-Terra, campo de deslocamentos verticais



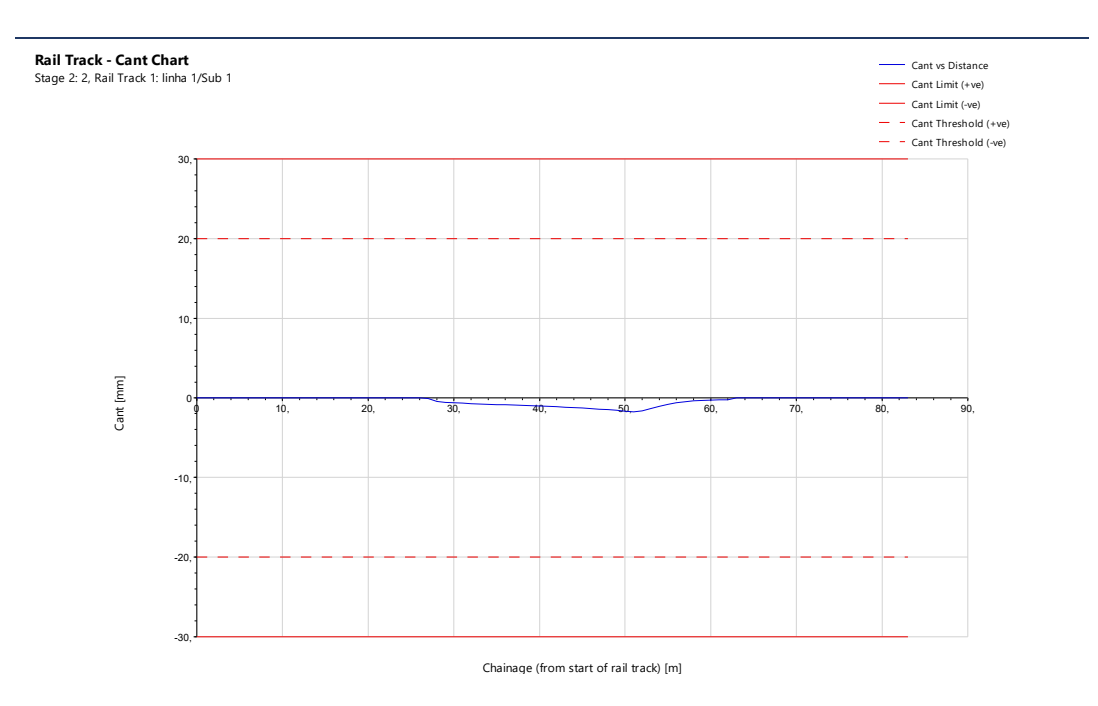


Figura 140 - Fase 1, Linha de comboio de Alcântara-Terra, inclinação transversal

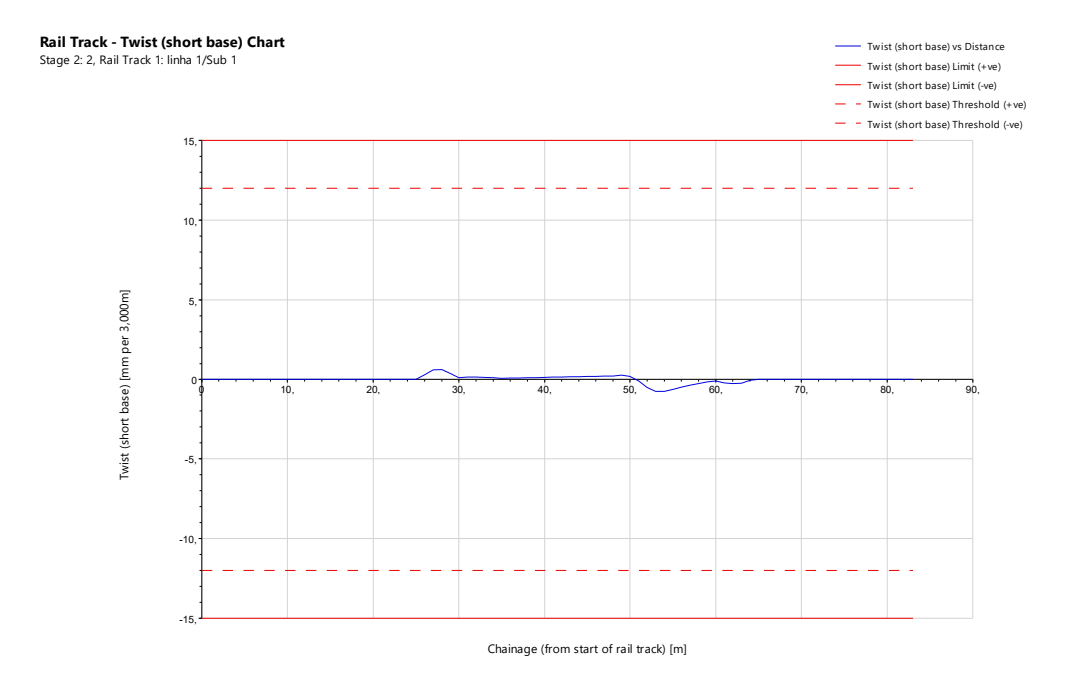


Figura 141- Fase 1, Linha de comboio de Alcântara-Terra, variação da inclinação transversal numa base de 3m

Para a Fase 2, o valor do deslocamento vertical em cada carril ao longo da linha está representada na Figura 142, onde se prevê ocorrer assentamentos na ordem dos 6,5 mm para carril da direita, (carril mais próximo do maciço P3) e de 5mm para o carril da esquerda, (carril mais próximo do maciço P4). Estes deslocamentos encontram-se dentros limites indicados no





subcapítulo 2.5. Relativamente aos limites para a variação da inclinação transversal numa base de 3 m, as Figura 143 e Figura 144 indicam que o limite definido não é ultrapassado.

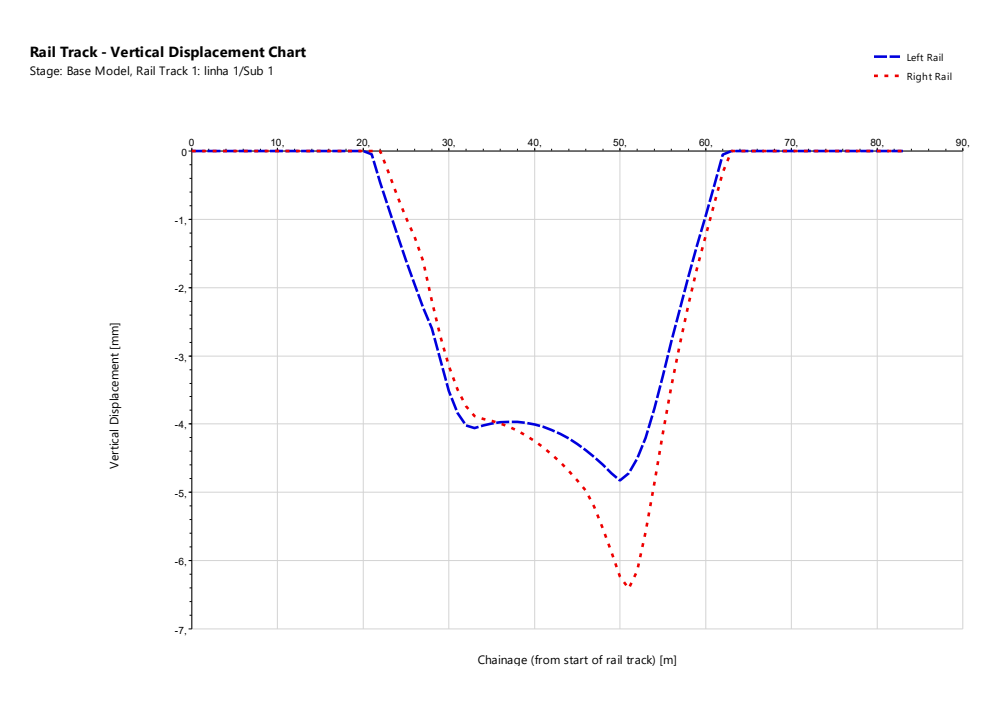


Figura 142 - Linha de comboio de Alcântara-Terra, campo de deslocamentos verticais

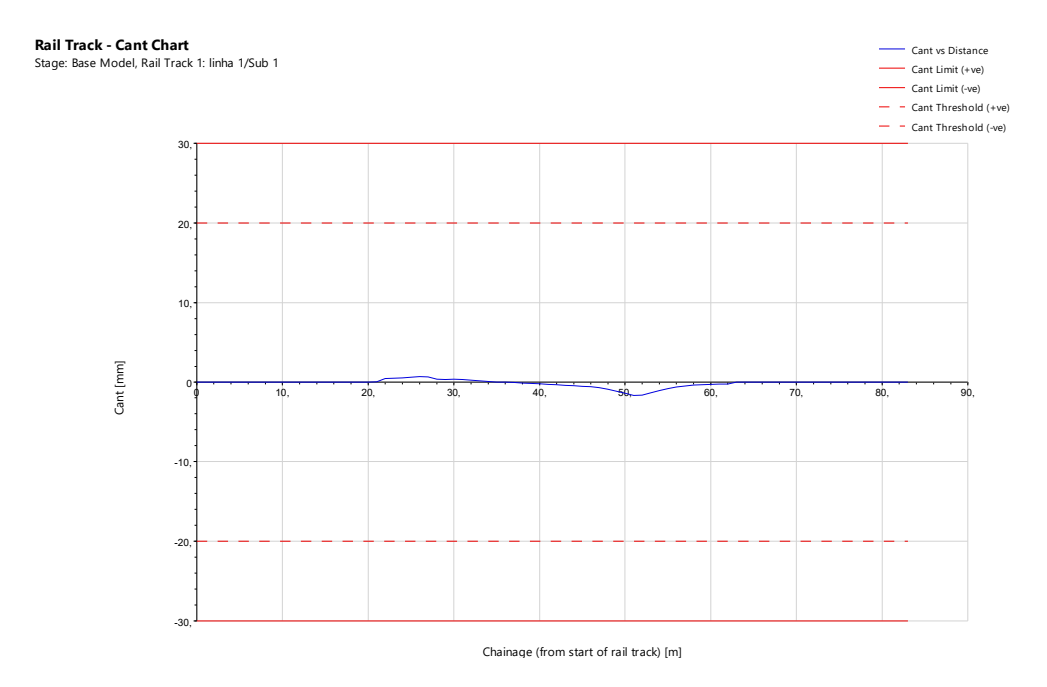


Figura 143 – Fase 2, Linha de comboio de Alcântara-Terra, inclinação transversal



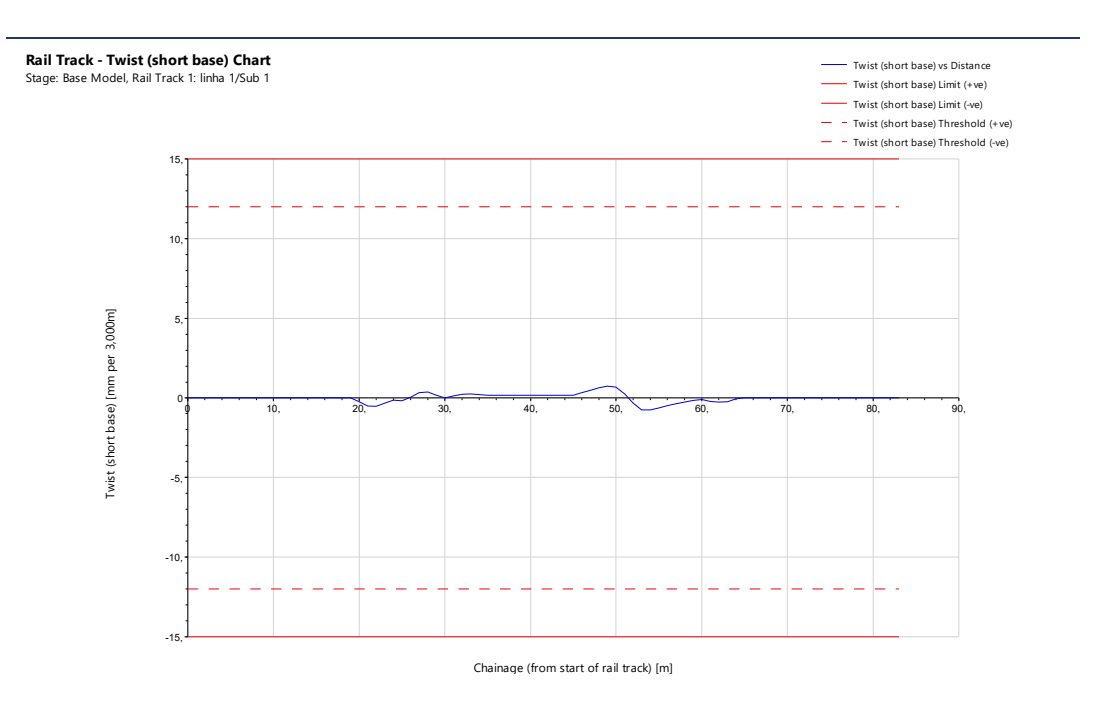


Figura 144 – Fase 2, Linha de comboio de Alcântara-Terra, variação da inclinação transversal numa base de 3m

#### 7.9.2 Medidas de mitigação previstas

Tendo em conta que os parâmetros geométricos indicados do subcapítulo anterior se encontram dentro dos limites indicados no subcapítulo 2.5, não são necessárias medidas de mitigação sendo adotada Monitorização e Instrumentação de Nível I.

#### 7.10 Caneiro de Alcântara

#### 7.10.1 Deslocamentos e gradientes máximos estimados

Sobre o Caneiro de Alcântara, identificado na Figura 145 como um retângulo vermelho, observase que se encontra entre o maciço P2 e P3, identificado na mesma figura. Este é representado com 3 linhas representativas das suas paredes laterais e abobada. Como demonstrado na Figura 146 atinge aproximadamente um assentamento vertical de 1 mm na parede lateral direita próxima do pilar 3 (P3), do Viaduto de Alcântara. Apresenta valores muito reduzidos que demonstram que não se prevê que o Caneiro seja afetado pela instalação dos maciços de estacas, fundações do Viaduto de Alcântara sobre a Avenida de Ceuta.



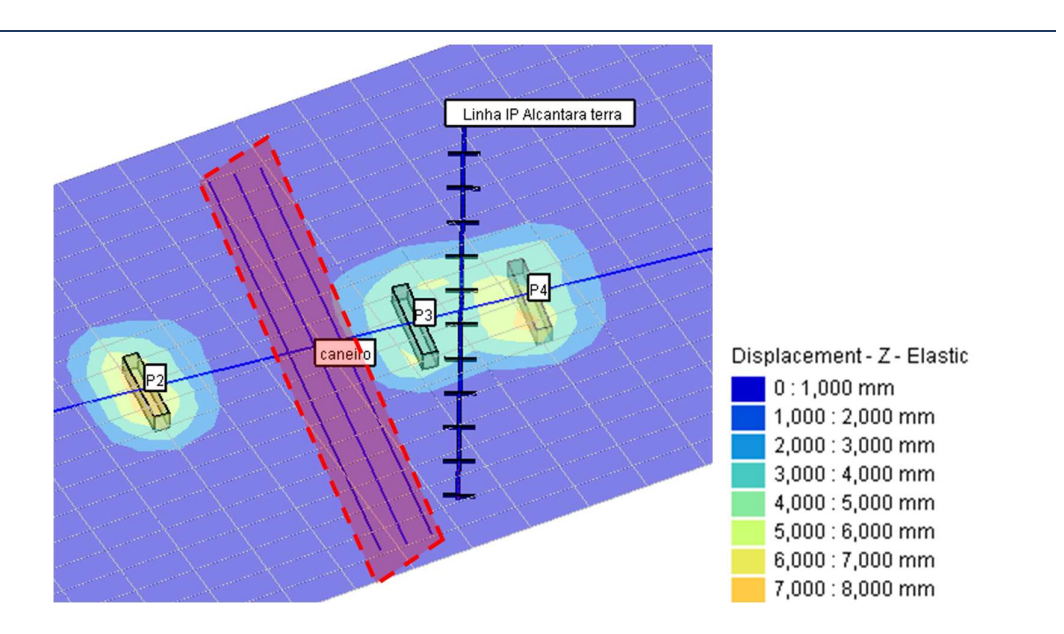


Figura 145 - Caneiro de Alcântara, isolinhas de deslocamento vertical

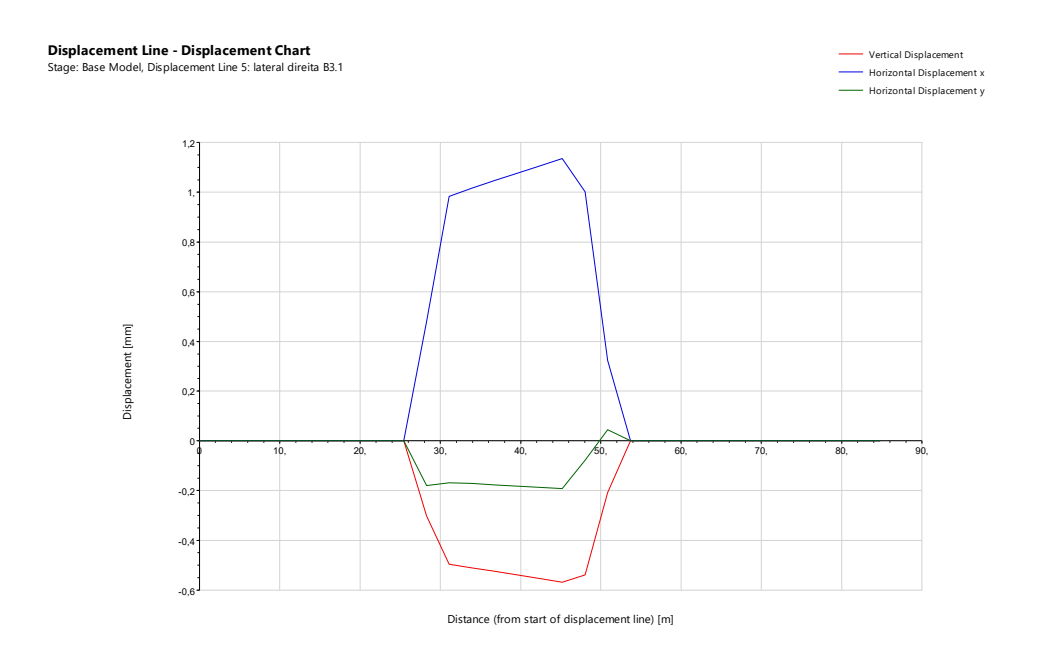


Figura 146 - Caneiro, campo de deslocamentos na lateral direita

## 7.10.2 Medidas de mitigação previstas

Considerando os resultados descritos no ponto anterior e tratando-se de uma interferência classificada, prevê-se a adoção de Monitorização Nível II.



#### 7.11 Palácio Fiúza

# 7.11.1 Categoria de dano, deslocamentos e gradientes máximos estimados

O Palácio Fiúza, encontra-se localizado na vizinhança da Estação de Alcântara, onde o seu acesso norte encontra-se contiguo a este. Para a análise desta interferência foi considerado a escavação do acesso norte sendo esta a escavação mais condicionante.

Observa-se na Figura 147, que os assentamentos induzidos pela escavação dos acessos são da ordem dos 4 mm na sua fachada mais crítica, a fachada FA, identificada na Figura 148.

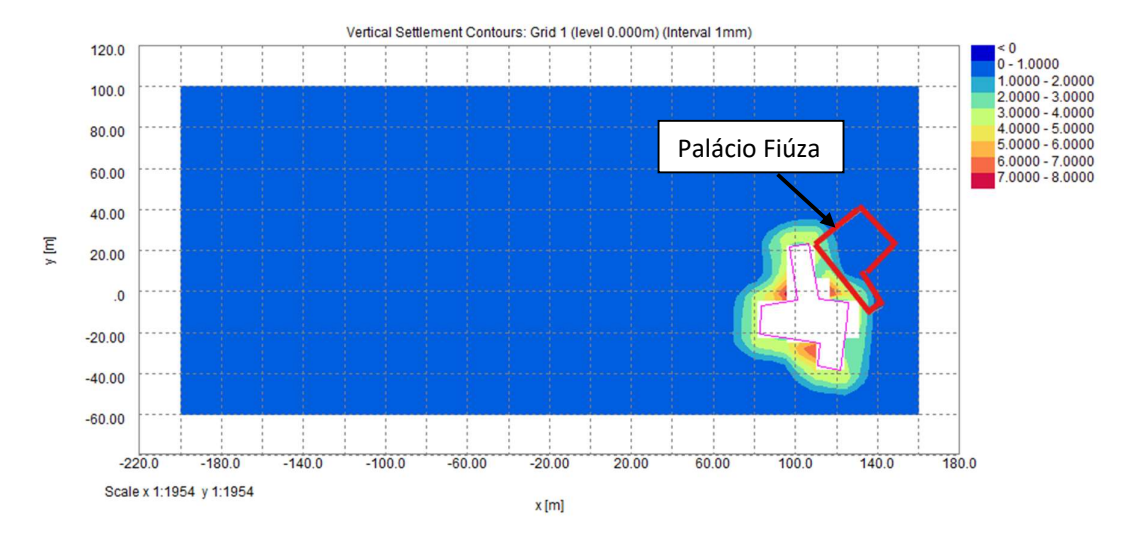


Figura 147 - Palácio Fiúza, isolinhas de deslocamento vertical

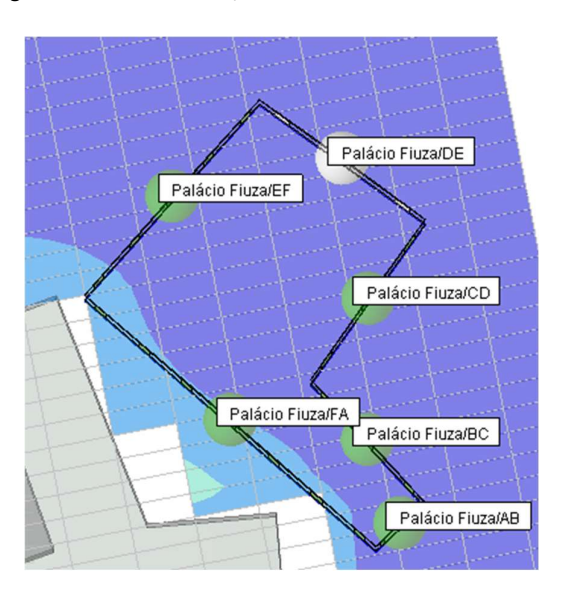


Figura 148 - Palácio Fiúza, alinhamentos





Apresenta-se abaixo o alinhamento FA, alinhamento alvo dos maiores assentamentos e têm no seu troço mais crítico o gradiente máximo de 1:3500, no entanto apresenta categoria de dano 0 (Figura 149), considerando-se que o efeitos decorrentes dos trabalhos de escavação nesta interferência será muito reduzido, não sendo expectável a ocorrência de danos.

Considerou-se que a presença de elementos suscetíveis a dano no interior do Palácio Fiúza justificam a adoção de um agravamento da categoria de dano em +1. Assim, a categoria de dano final da avaliação é Categoria 1, pelo que esta interferência não necessita de medidas de mitigação de assentamentos.

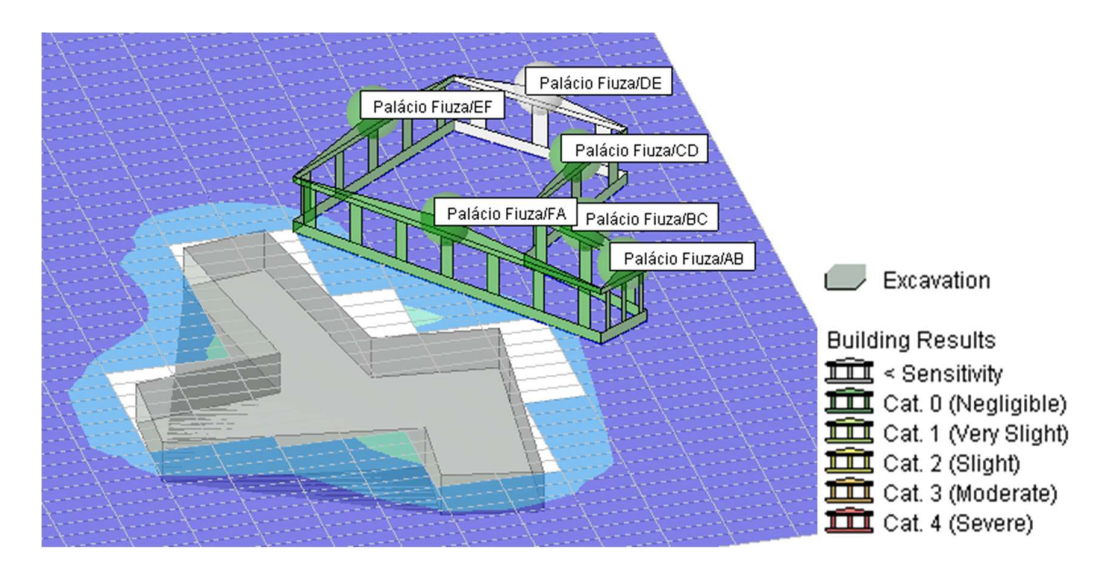


Figura 149 - Palácio Fiúza, Avaliação de Danos

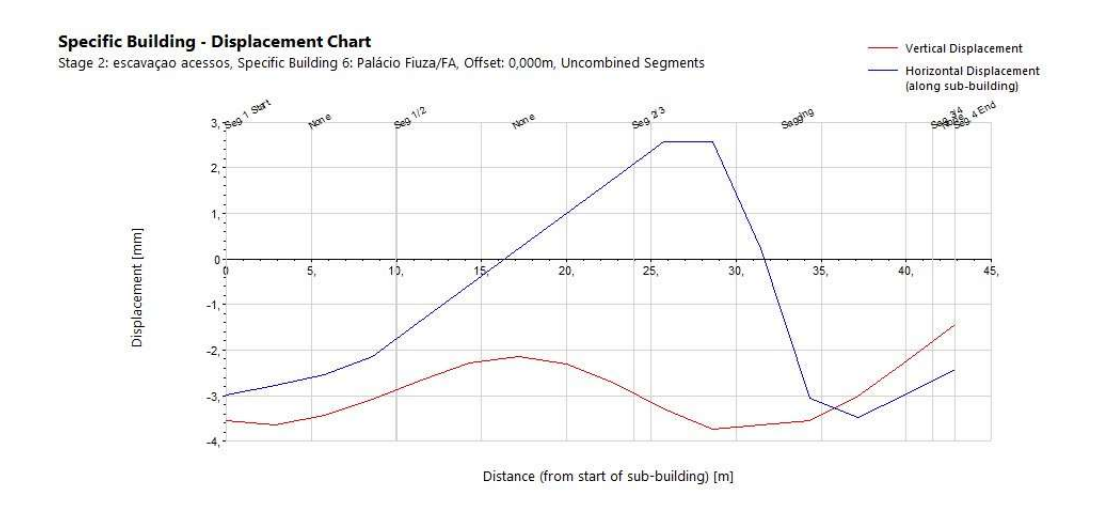


Figura 150 - Palácio Fiúza, campo de deslocamentos ao longo do alinhamento FA



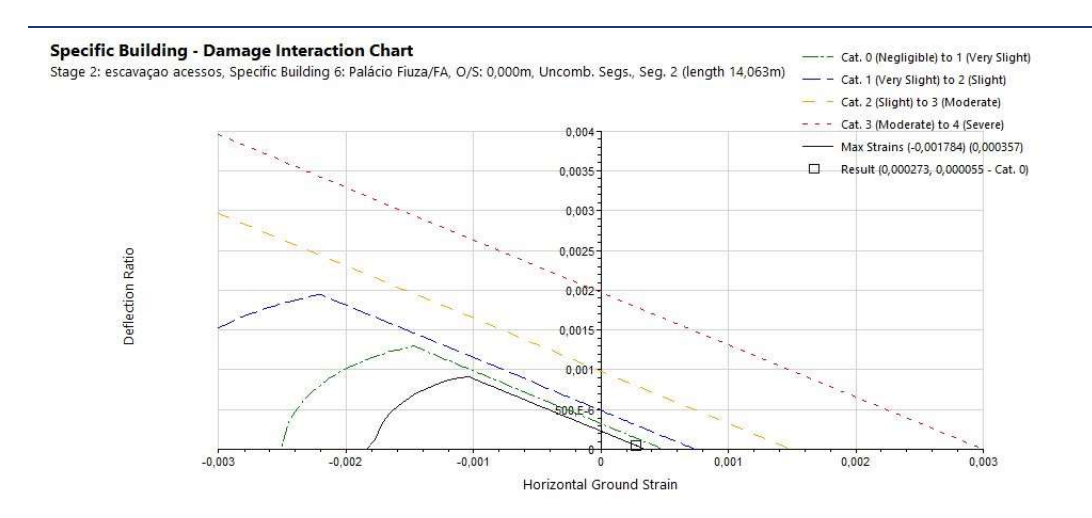


Figura 151 - Palácio Fiúza, Categoria de Dano do alinhamento FA

### 7.11.2 Medidas de mitigação previstas

Considerando os resultados descritos no ponto anterior e tratando-se de uma interferência classificada, com elementos arquitetónicos suscetíveis a dano, prevê-se a adoção de Monitorização Nível II.

Este tipo de monitorização em combinação com a monitorização a instalar nos elementos de suporte e contenção das obras a executar na zona de influência, permitirão um adequado controlo das atividades, possibilitando um efetivo controle dos deslocamentos induzidos à interferência.

#### 7.12 Pilares do viaduto de acesso à Ponte 25 de Abril

#### 7.12.1 Deslocamentos e gradientes máximos estimados

Os resultados relativos aos deslocamentos obtidos nas fundações de qualquer uma das sapatas dos três pilares do viaduto de acesso à ponte 25 de Abril, indica que o deslocamento é inferior a 1 mm para qualquer uma das fases de escavação do túnel de via do troço 35 e da Via de Resguardo 3.

A baixa magnitude destes deslocamentos prende-se com o facto de a escavação nesta zona se inserir nas formações cretácicas com baixa deformabilidade.

Na Figura 152 indica-se a localização da secção A-A, secção B-B e secção C-C do modelo, retiradas segundo um plano perpendicular ao eixo do túnel e coincidente, respetivamente, com o centro das sapatas dos pilares P18, P19 e P19A do viaduto.





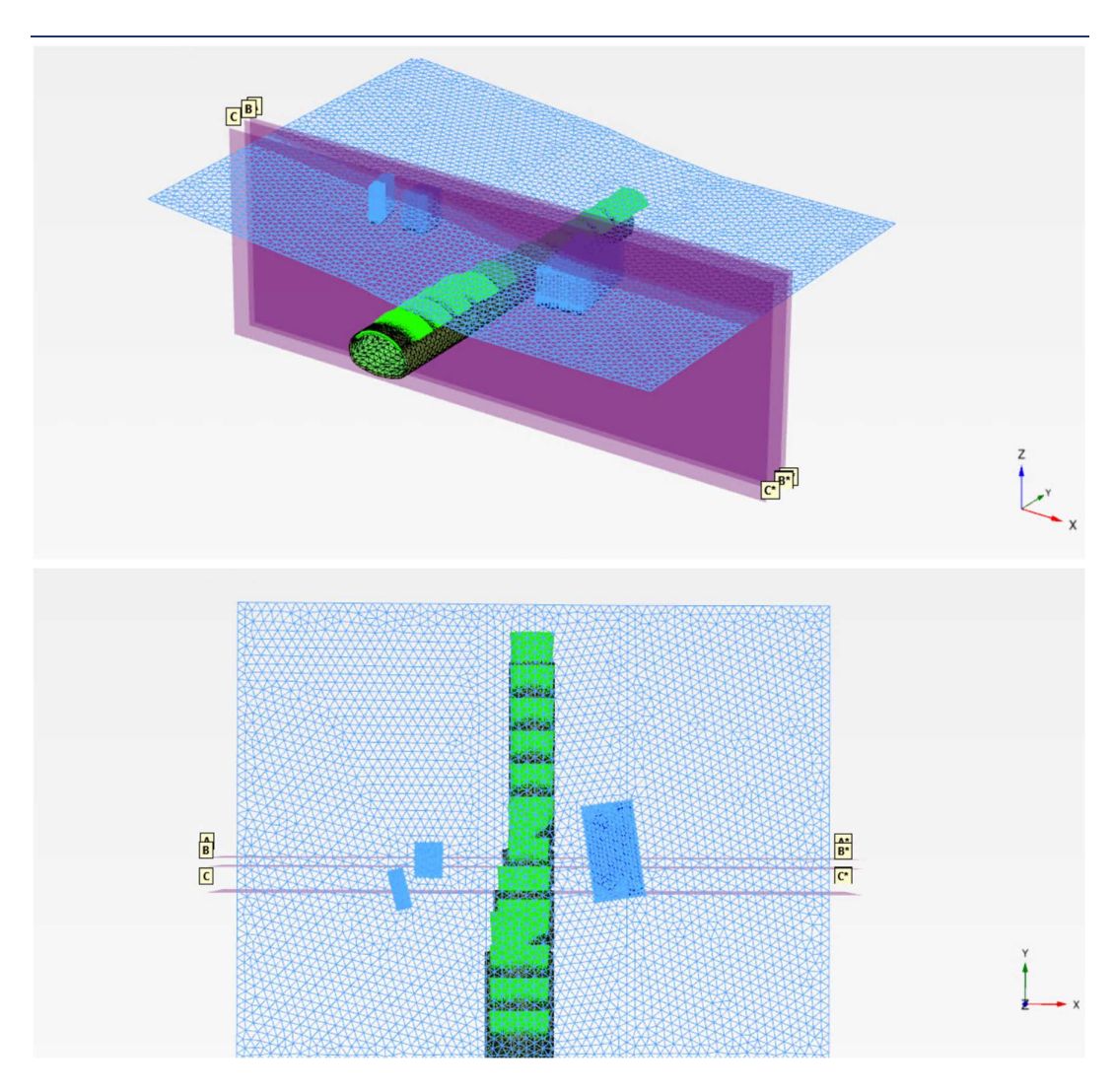


Figura 152 – Localização da secção A-A, B-B e C-C no modelo tridimensional

As Figura 153, Figura 154, Figura 155 ilustram os deslocamentos totais estimados nas três secções referidas no parágrafo anterior. Em qualquer uma delas é possível visualizar que estes são inferiores a 1 mm.



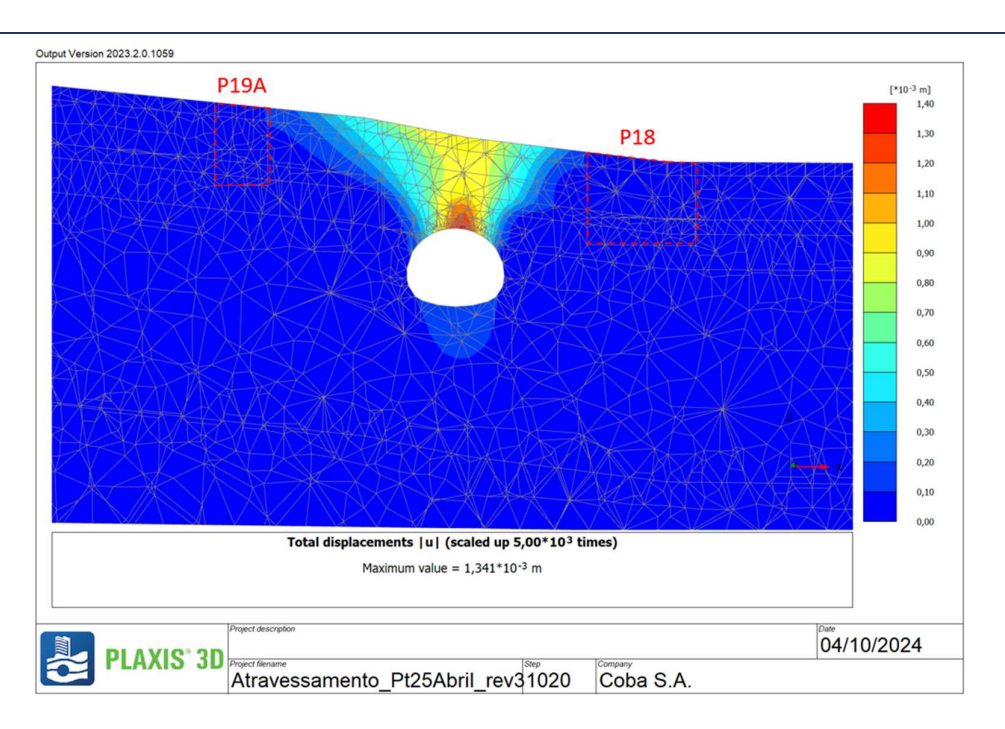


Figura 153 – Deslocamentos totais estimados na secção A-A, obtidos através do modelo tridimensional

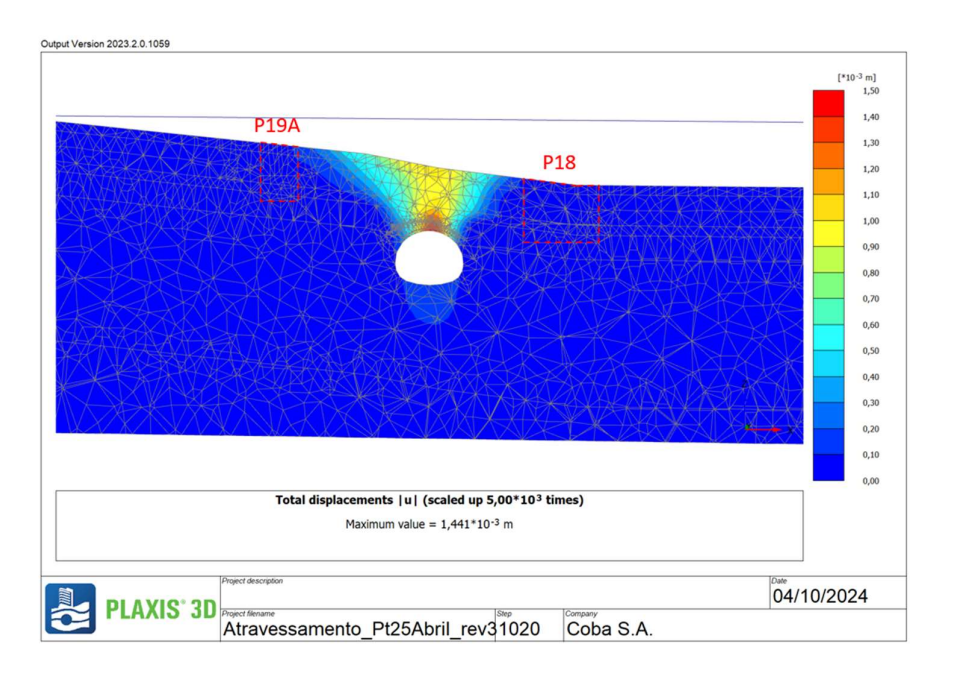


Figura 154 – Deslocamentos totais estimados na secção B-B, obtidos através do modelo tridimensional



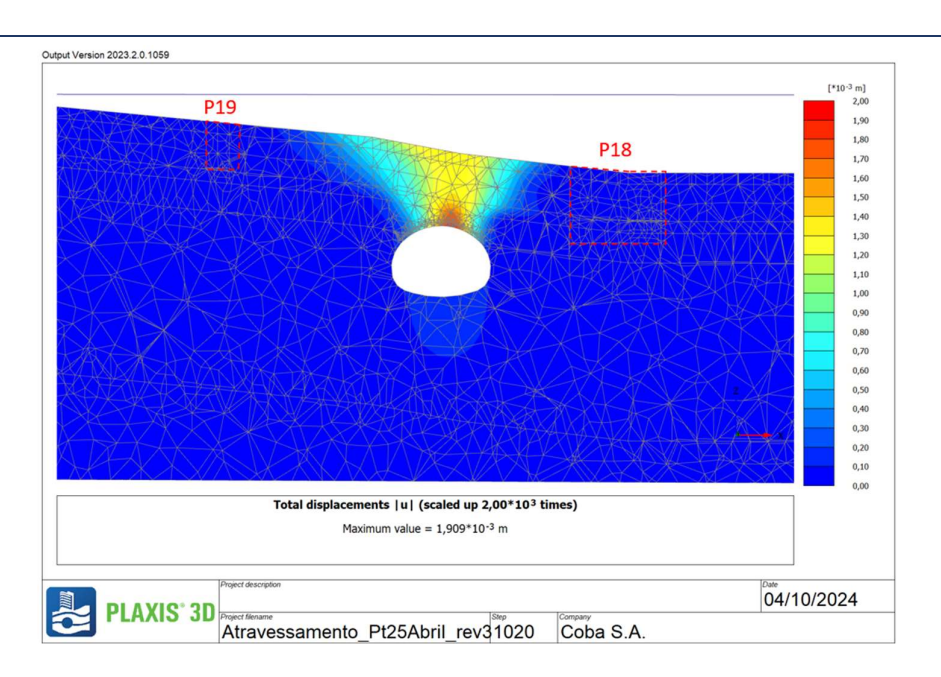


Figura 155 – Deslocamentos totais estimados na secção C-C, obtidos através do modelo tridimensional

Os deslocamentos verticais estimados na fundação de cada sapata dos pilares do viaduto encontram-se ilustrados na Figura 156 e Figura 157. Conforme se pode observar correspondem a magnitudes muito baixas de deslocamentos.

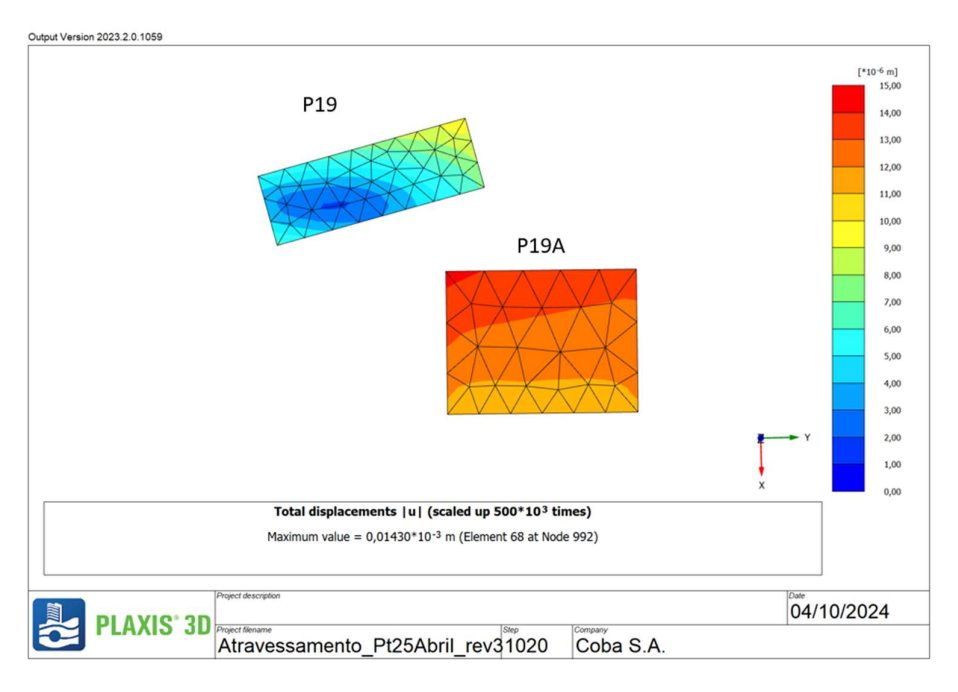


Figura 156 – Deslocamentos totais máximos estimados na fundação dos pilares P19 e P19A do viaduto, obtidos através do modelo tridimensional



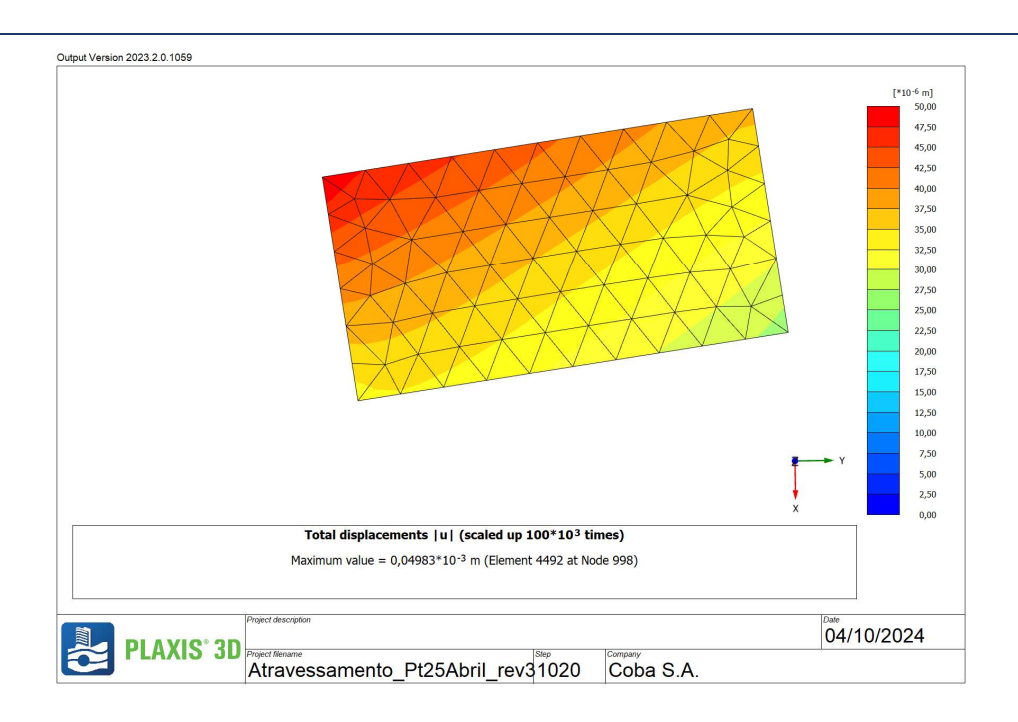


Figura 157 – Deslocamentos totais máximos estimados na fundação do pilar P18 do viaduto, obtidos através do modelo tridimensional

#### 7.12.2 Medidas de mitigação previstas

Função dos resultados obtidos, função da baixa magnitude de deslocamentos estimados, não haverá necessidade de reforço estrutural no viaduto de acesso à ponte 25 de Abril.

Dada a importância da interferência, a medidas previstas para o viaduto de acesso da Ponte 25 Abril serão a implementação de um sistema de instrumentação e observação de Nível 2, que consiste na adoção de um conjunto de dispositivos de leitura, à partida, remota e automatizada, de elevada precisão.

O tipo de dispositivos previstos implementar na interferência para um sistema de instrumentação e observação de Nível 2, são:

- Prismas retrorrefletores para instalação na estrutura (pilares, tabuleiro, etc.);
- Prismas retrorrefletores para instalação na via ferroviária;
- Prismas retrorrefletores para instalação no pavimento rodoviário;
- Clinómetros;
- Sismógrafos;
- Fissurómetros (se necessário).

Na Figura 158 apresenta-se a disposição dos dispositivos de instrumentação e observação a instalar no viaduto da Ponte 25 de Abril e sua envolvente. De notar que para além do viaduto





serão implementado um plano de instrumentação e observação no interior das galerias subterrâneas e à superfície.

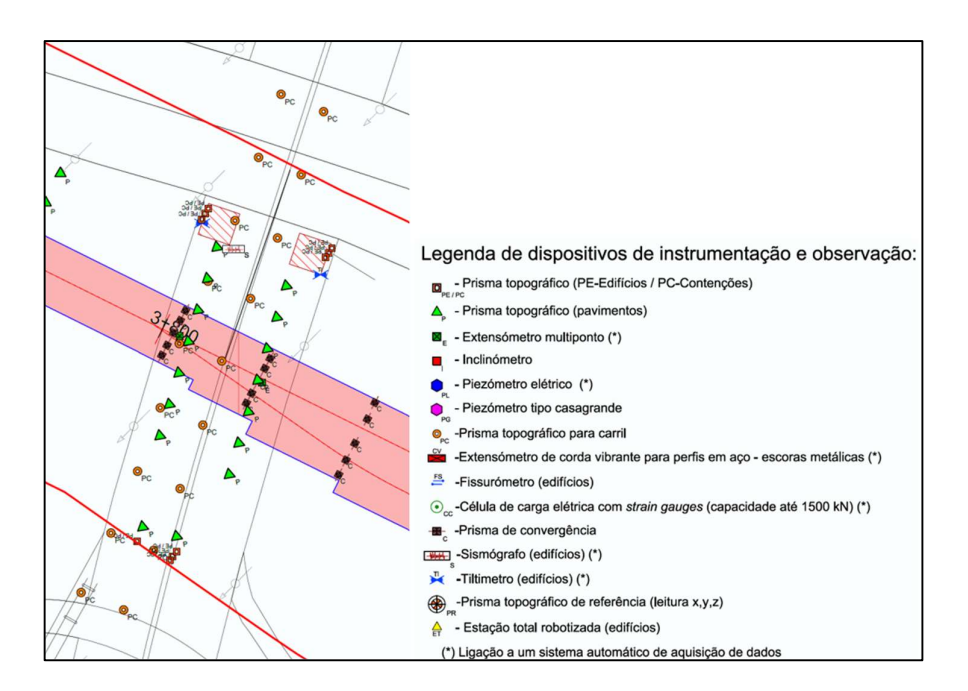


Figura 158 – Dispositivos de instrumentação e observação a instalar no viaduto da Ponte 25 de Abril e sua envolvente

Face à magnitude dos deslocamentos estimados, os limites de alarme, referência e de alerta terão em conta a precisão das leituras. Neste enquadramento, os limites de alerta e de referência serão idênticos e corresponderão a valores que tenham em consideração a precisão dos dispositivos instalados. O critério de alarme será semelhante ao adotado nos restantes dispositivos do projeto, ou seja, 1.3x o limite de referência.





# ANEXO I – FICHAS DE AVALIAÇÃO DE DANOS

Deformações visíveis

Condição geral

Degradação do revestimento

Descasque e destacamento da pintura





Ficha de avaliação de danos	
Características gerais	
Número da interferência	13
Categoria	Aqueduto
Localização	Rua Marquês da Fronteira
Composição	Estrutura Enterrada
Tipo de estrutura	Alvenaria
Tipo de Fundação	Direta
Cobertura	NA
Revestimento das fachadas	NA
Cadastro	Não
Mapa de localização e vista interior	
Danos visíveis	
Fissuras	Desconhecido
Fissuras	Desconhecido  Desconhecido
	Desconhecido  Desconhecido  Desconhecido
Fissuras Eflorescências	Desconhecido

Pág. 1 of 3 Revisão: 0 (11/10/2024)

Desconhecido

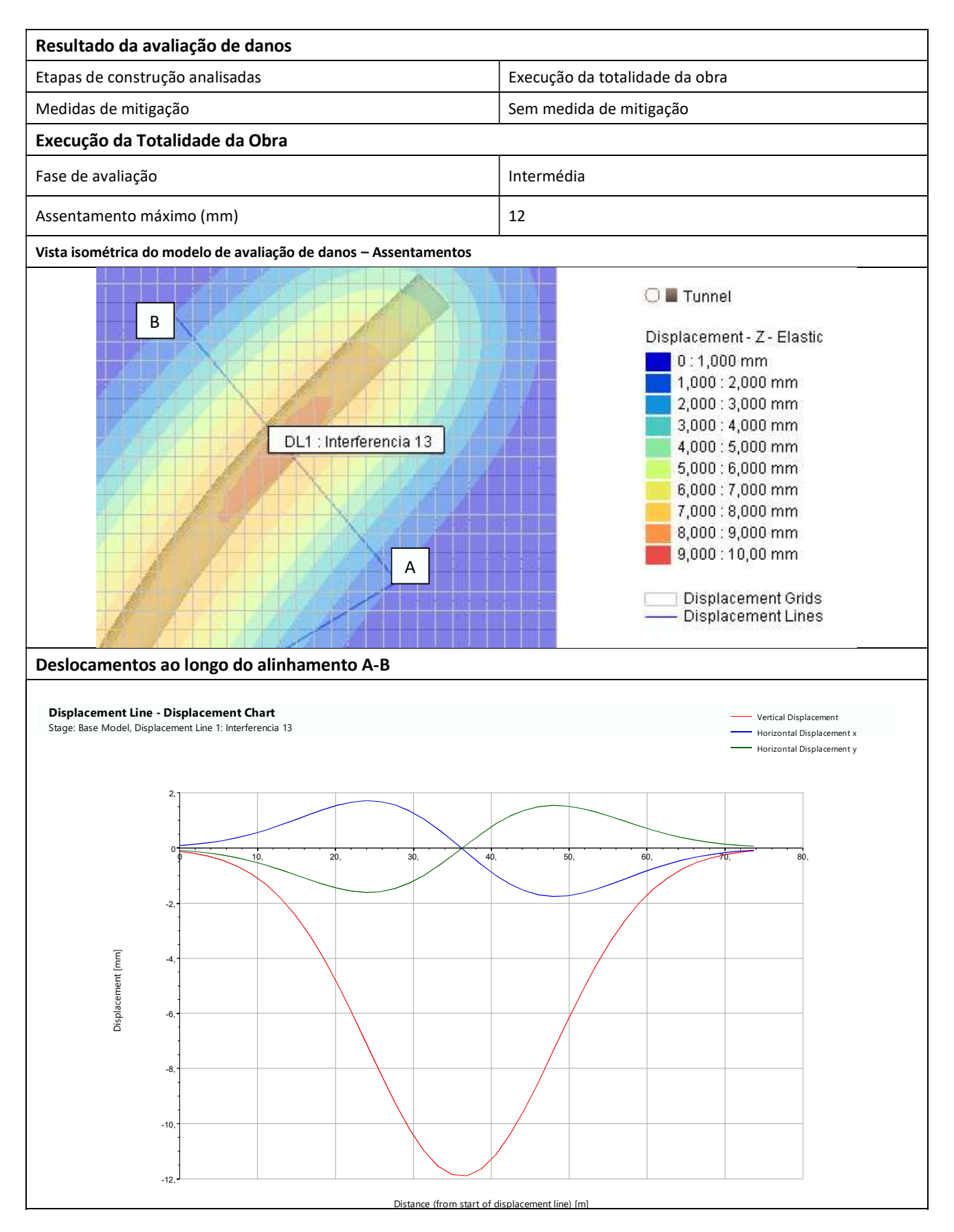
Desconhecido

Desconhecido

Desconhecido







Pág. 2 of 3 Revisão: 0 (11/10/2024)





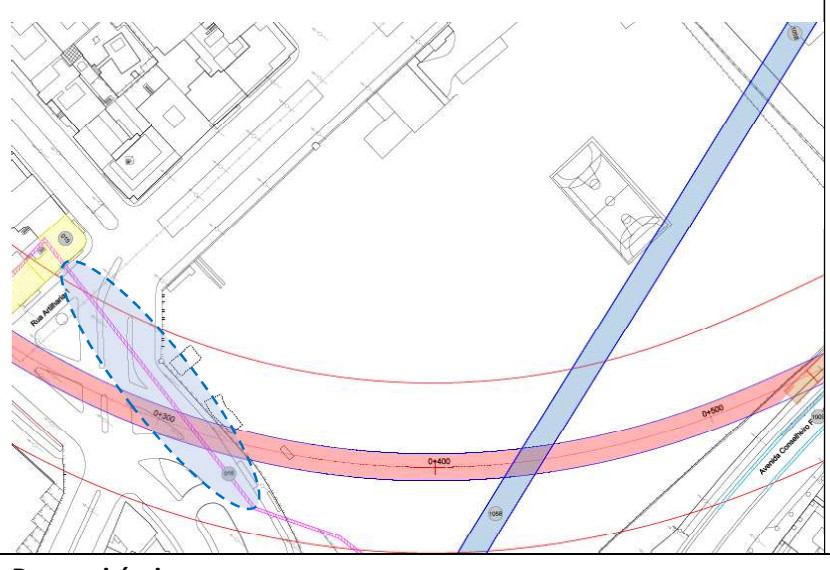
Pág. 3 of 3 Revisão: 0 (11/10/2024)





Ficha de avaliação de danos  Características gerais		
Aqueduto		
Rua Artilharia com Rua Marquês da Fronteira		
Estrutura Enterrada		
Alvenaria		
Direta		
NA		
NA		
Não		

### Mapa de localização e vista interior



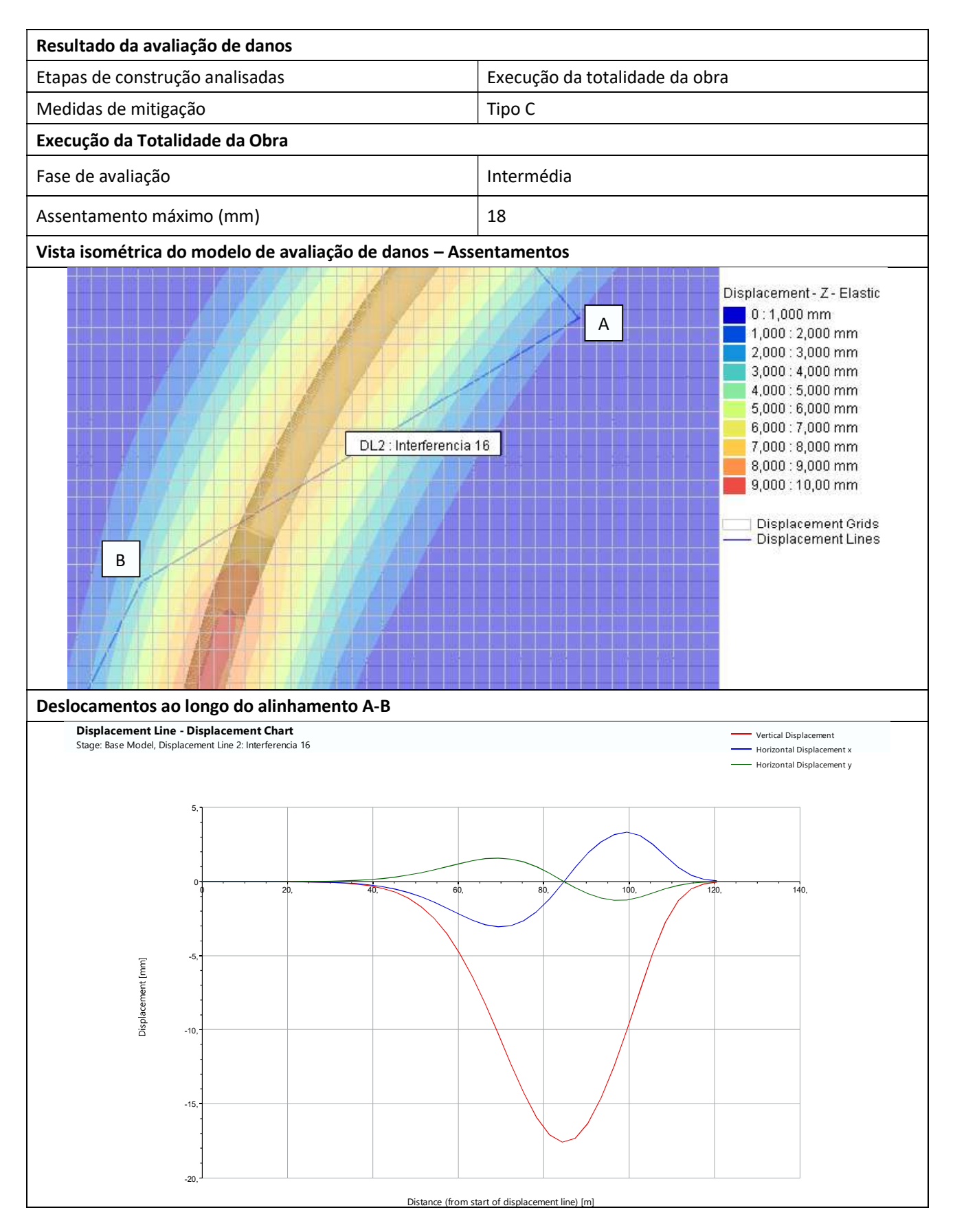


Danos visíveis	
Fissuras	Desconhecido
Eflorescências	Desconhecido
Deslocamentos	Desconhecido
Armaduras à vista	Desconhecido
Elementos metálicos danificados	Desconhecido
Deformações visíveis	Desconhecido
Degradação do revestimento	Desconhecido
Descasque e destacamento da pintura	Desconhecido
Condição geral	Desconhecido

Pág. 1 of 3 Revisão: 0 (11/10/2024)







Pág. 2 of 3 Revisão: 0 (11/10/2024)





Pág. 3 of 3 Revisão: 0 (11/10/2024)





Ficha de avaliação de danos	
Características gerais	
Número da interferência	37 e 78
Categoria	Edifício Interesse Patrimonial
Localização	Rua de Campo de Ourique, 2-16
Composição	1 Caves + 4 Pisos
Tipo de estrutura	Misto (Betão Armado/Alvenaria)
Tipo de Fundação	Direta
Cobertura	Telhado
Revestimento das fachadas	Azulejo
Cadastro	Sim
Mapa de localização e vista isométrica do edifício	
Danos visíveis	
Fissuras	Não
Eflorescências	Não
Deslocamentos	Não
Armaduras à vista	Não
Elementos metálicos danificados	Não
Deformações visíveis	Não
Degradação do revestimento	Não
Descasque e destacamento da pintura	Não
Condição geral	Prédio em bom estado de conservação

Pág. 1 of 9 Revisão: 0 (11/10/2024)



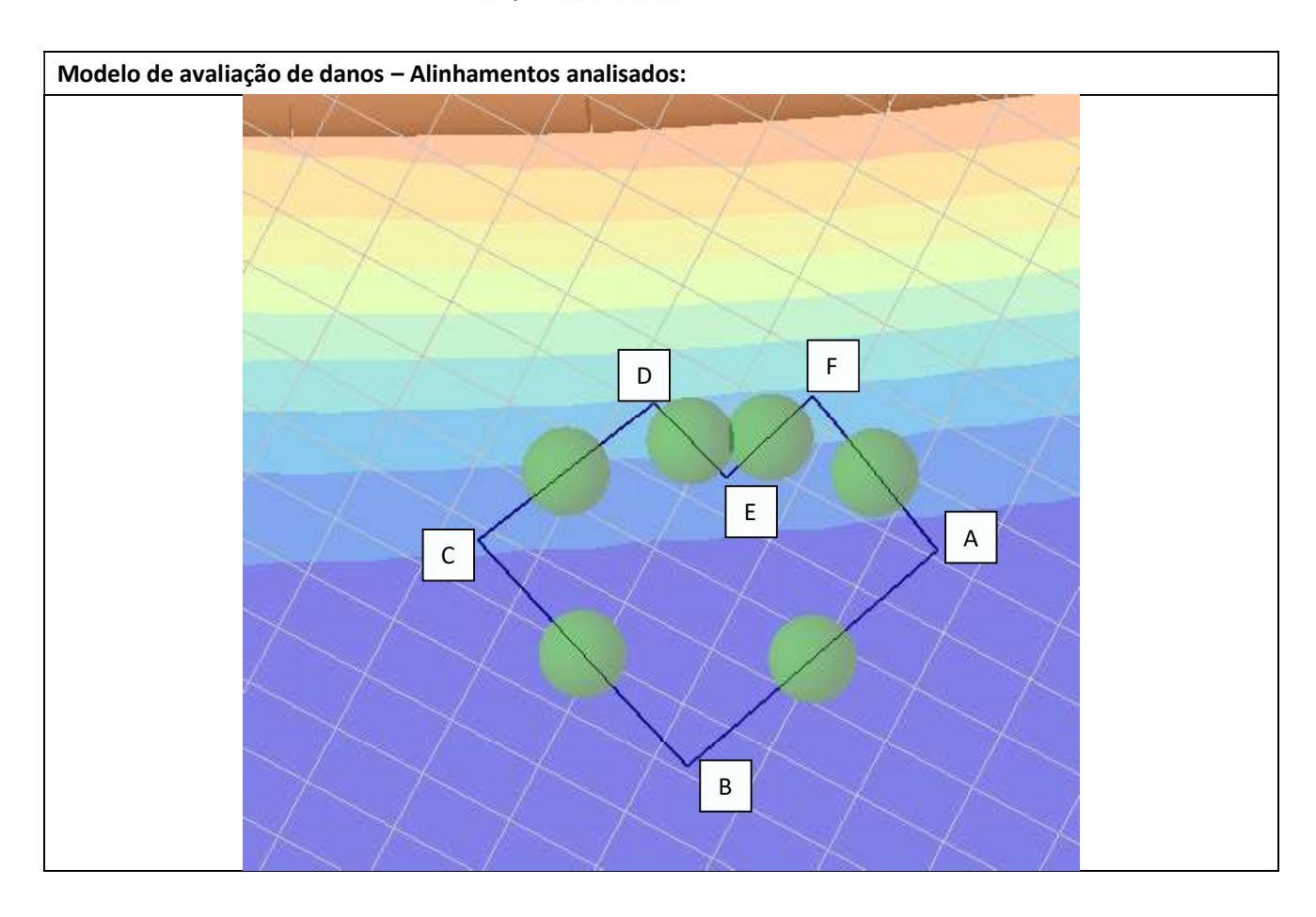


Resultado da avaliação de danos	
Etapas de construção analisadas	Execução da totalidade da obra
Medidas de mitigação	Sem medida de mitigação
Execução da Totalidade da Obra	
Fase de avaliação	Preliminar
Assentamento máximo (mm)	3
Categoria de danos <b>sem fator de agravamento</b> da categoria para edifícios/estruturas classificados (Burland, 1995)	Empena A-B – Categoria 0 Empena B-C – Categoria 0 Empena C-D – Categoria 0 Empena D-E – Categoria 0 Empena E-F – Categoria 0 Empena F-A – Categoria 0
Vista isométrica do modelo de avaliação de danos – Ass	sentamentos e categoria de danos:
H3 B4 B6 B6 B1	□ Tunnel  Building Results □ < Sensitivity □ Cat. 0 (Negligible) □ Cat. 1 (Very Slight) □ Cat. 2 (Slight) □ Cat. 3 (Moderate) □ Cat. 4 (Severe)  Displacement - Z - Elastic □ 0 : 2.000 mm □ 2.000 : 4.000 mm □ 4.000 : 6.000 mm □ 4.000 : 8.000 mm □ 6.000 : 8.000 mm □ 8.000 : 10.00 mm □ 10.00 : 12.00 mm □ 12.00 : 14.00 mm

Pág. 2 of 9 Revisão: 0 (11/10/2024)

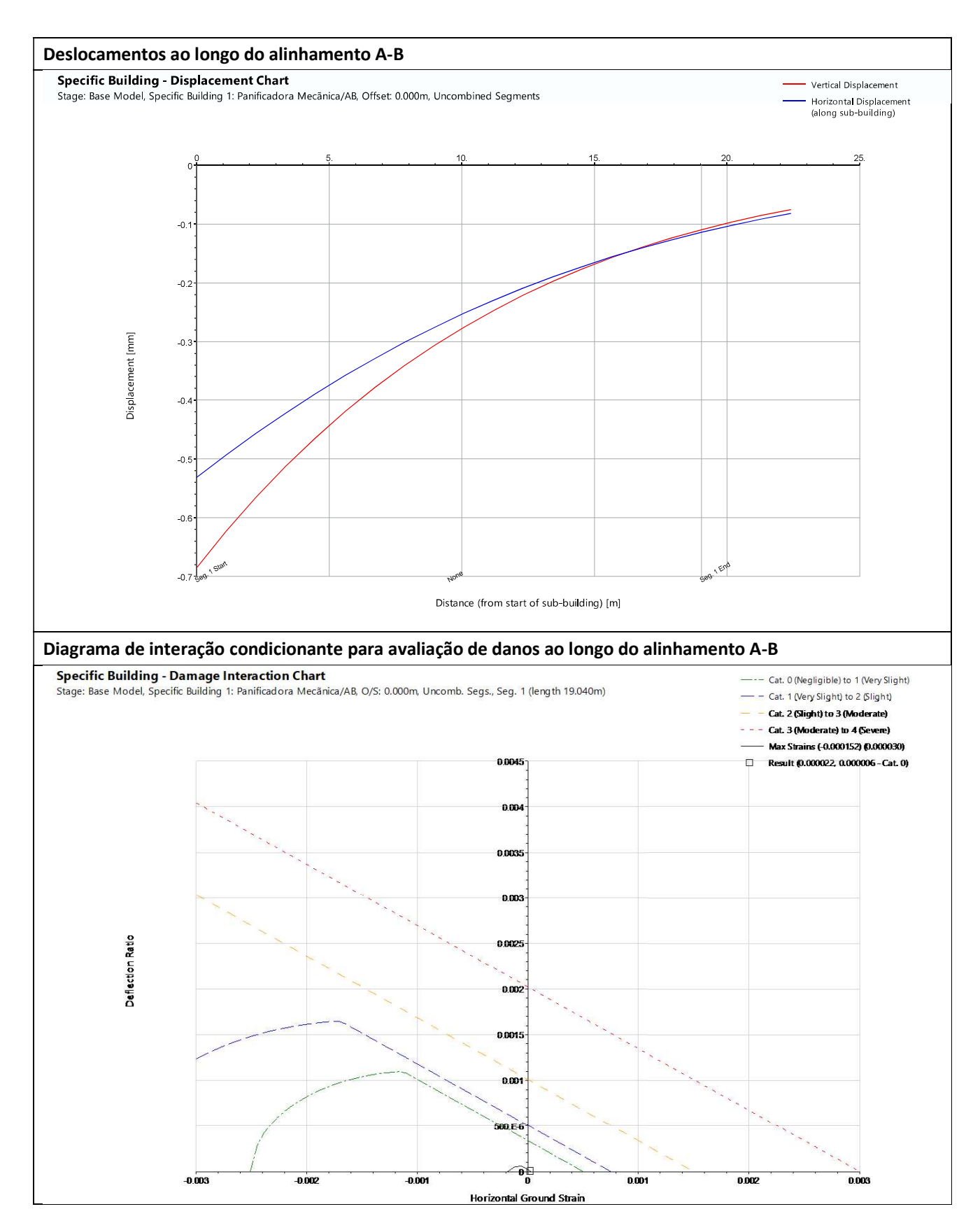






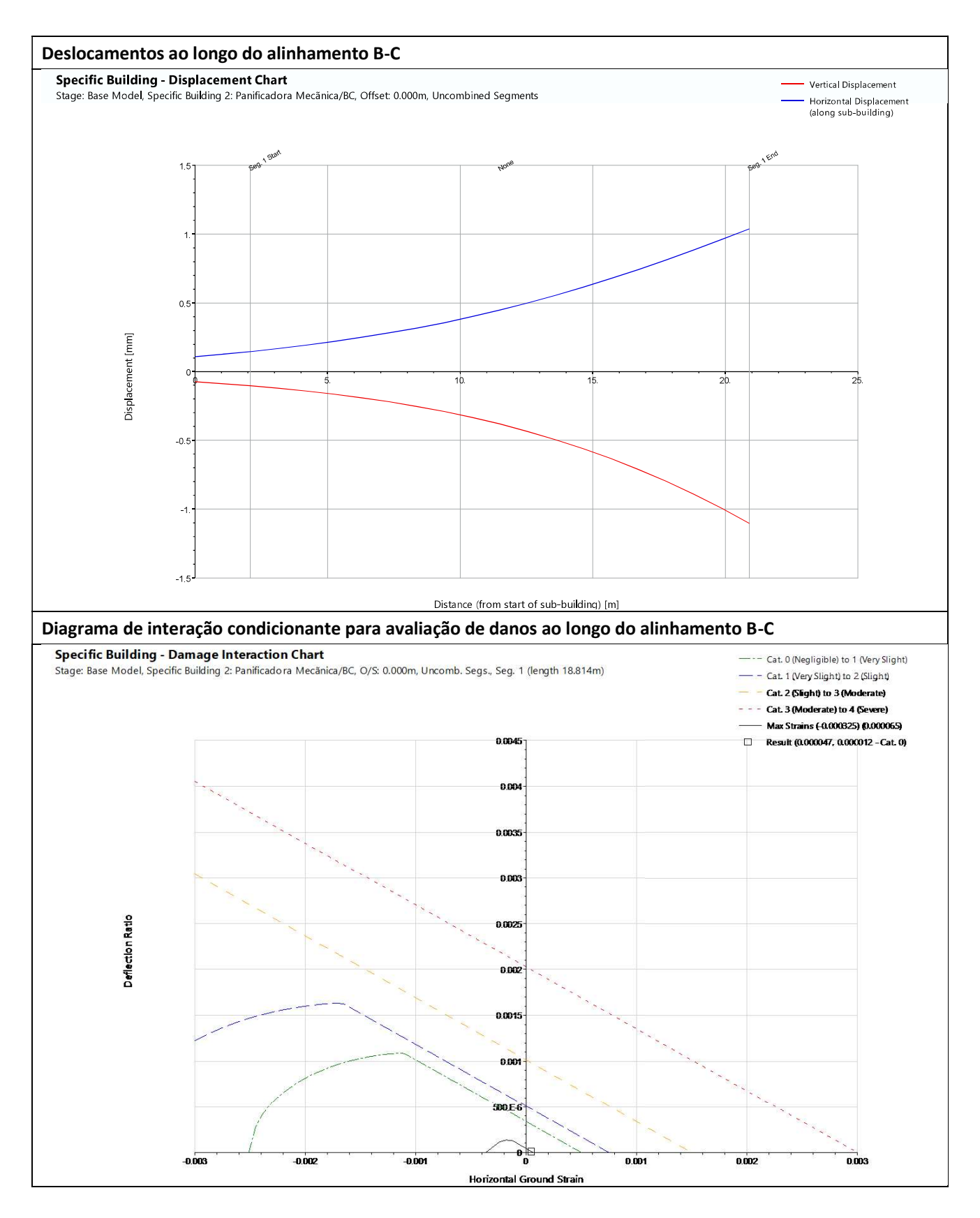
Pág. 3 of 9 Revisão: 0 (11/10/2024)





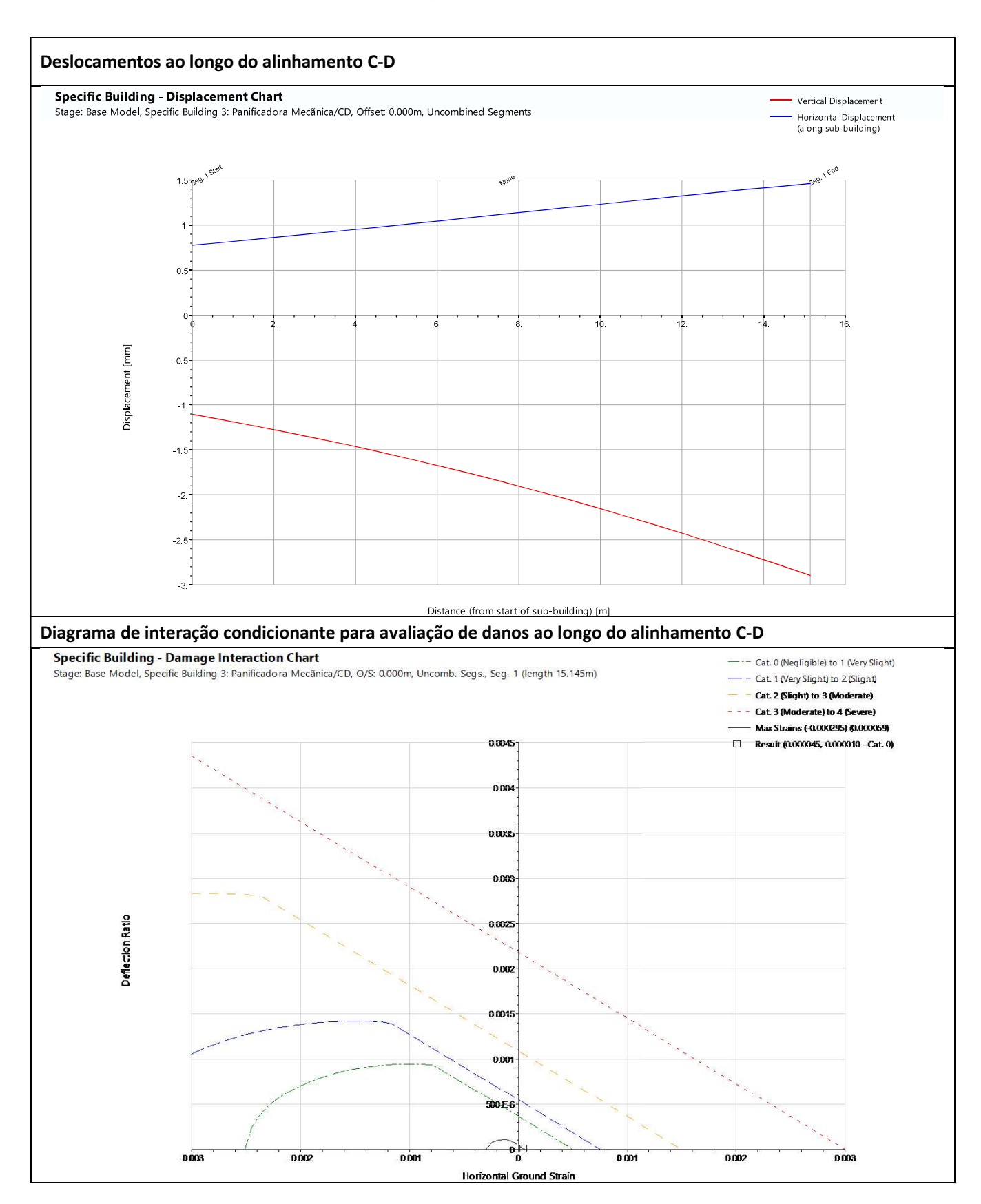
Pág. 4 of 9 Revisão: 0 (11/10/2024)





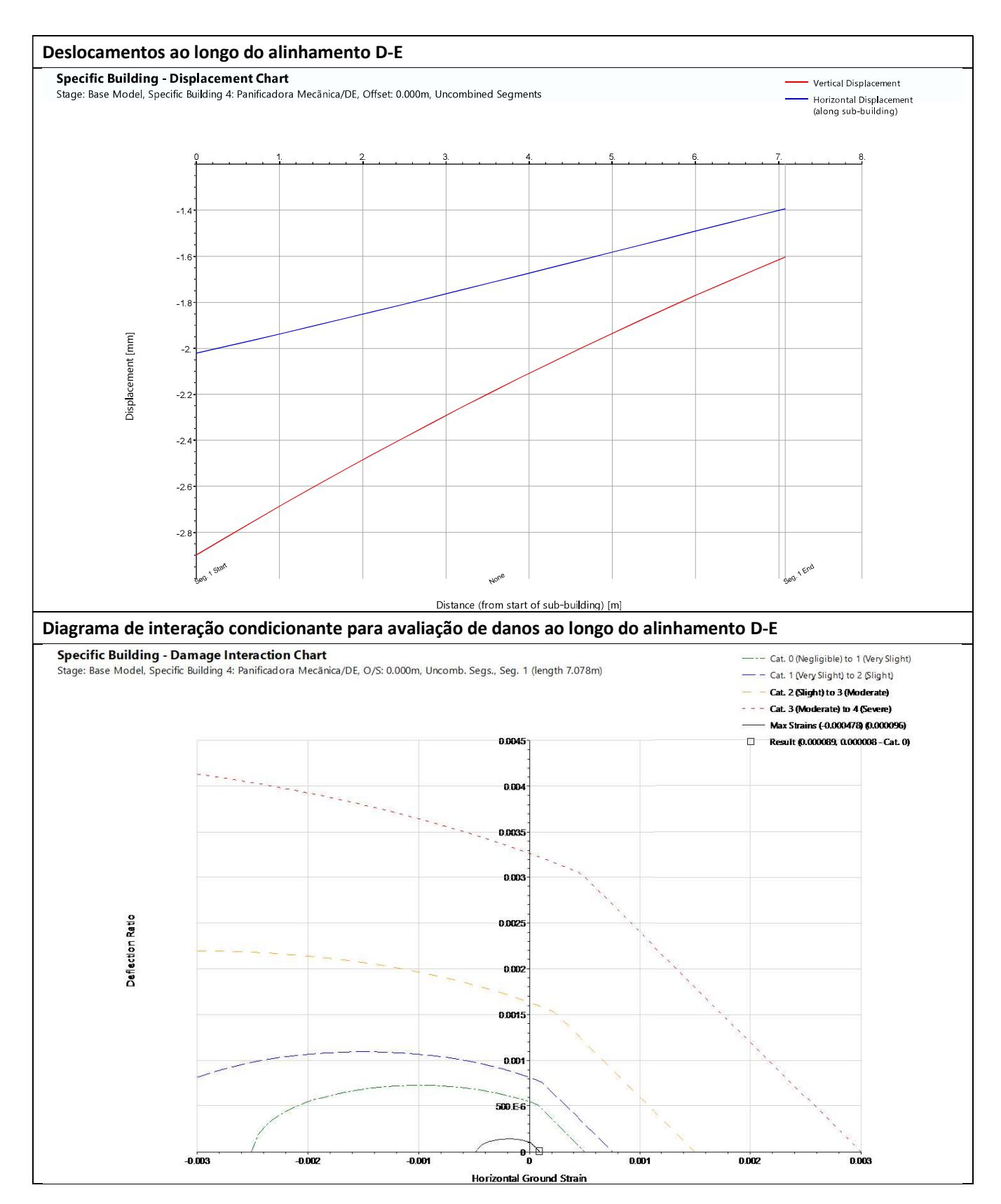
Pág. 5 of 9 Revisão: 0 (11/10/2024)





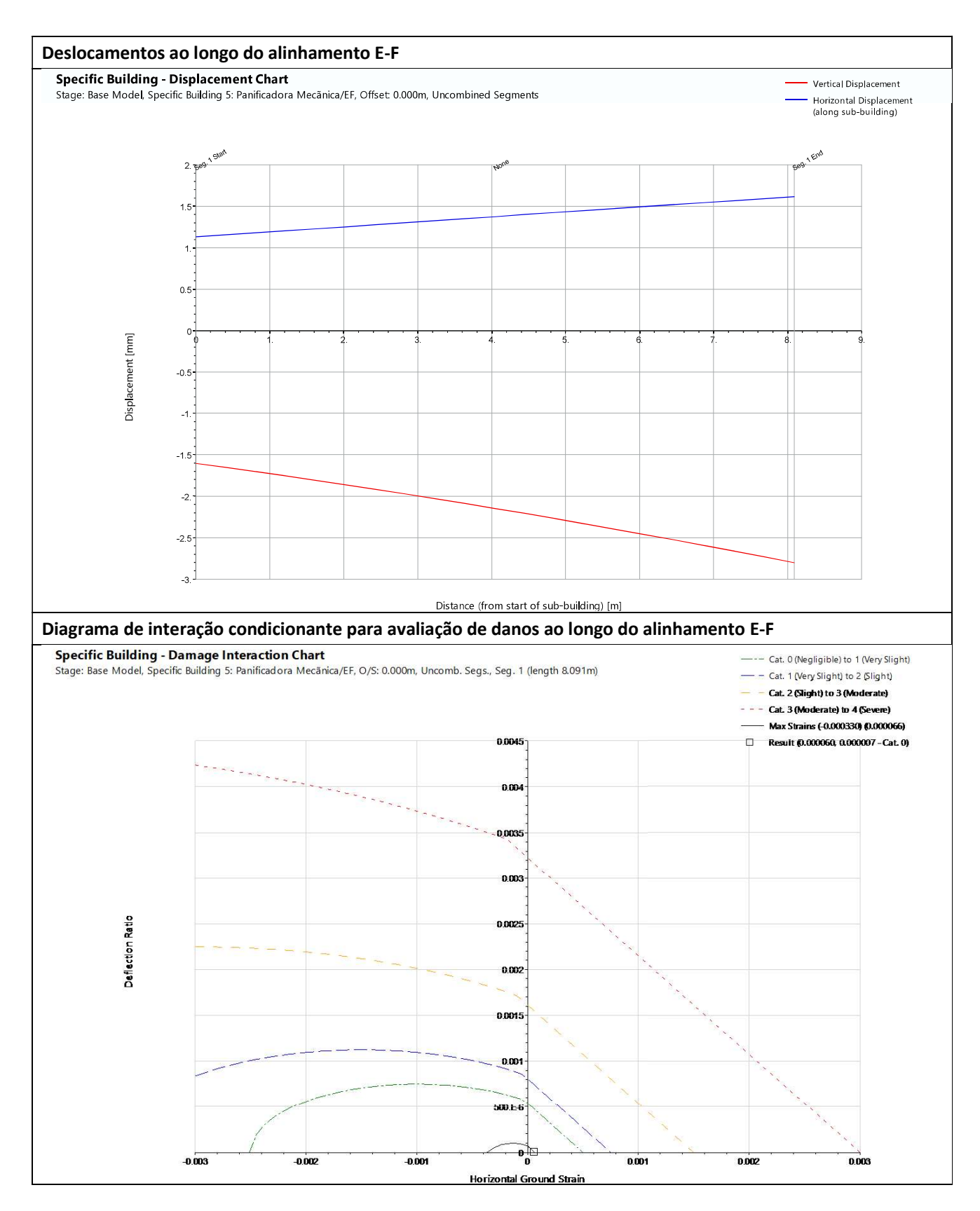
Pág. 6 of 9 Revisão: 0 (11/10/2024)





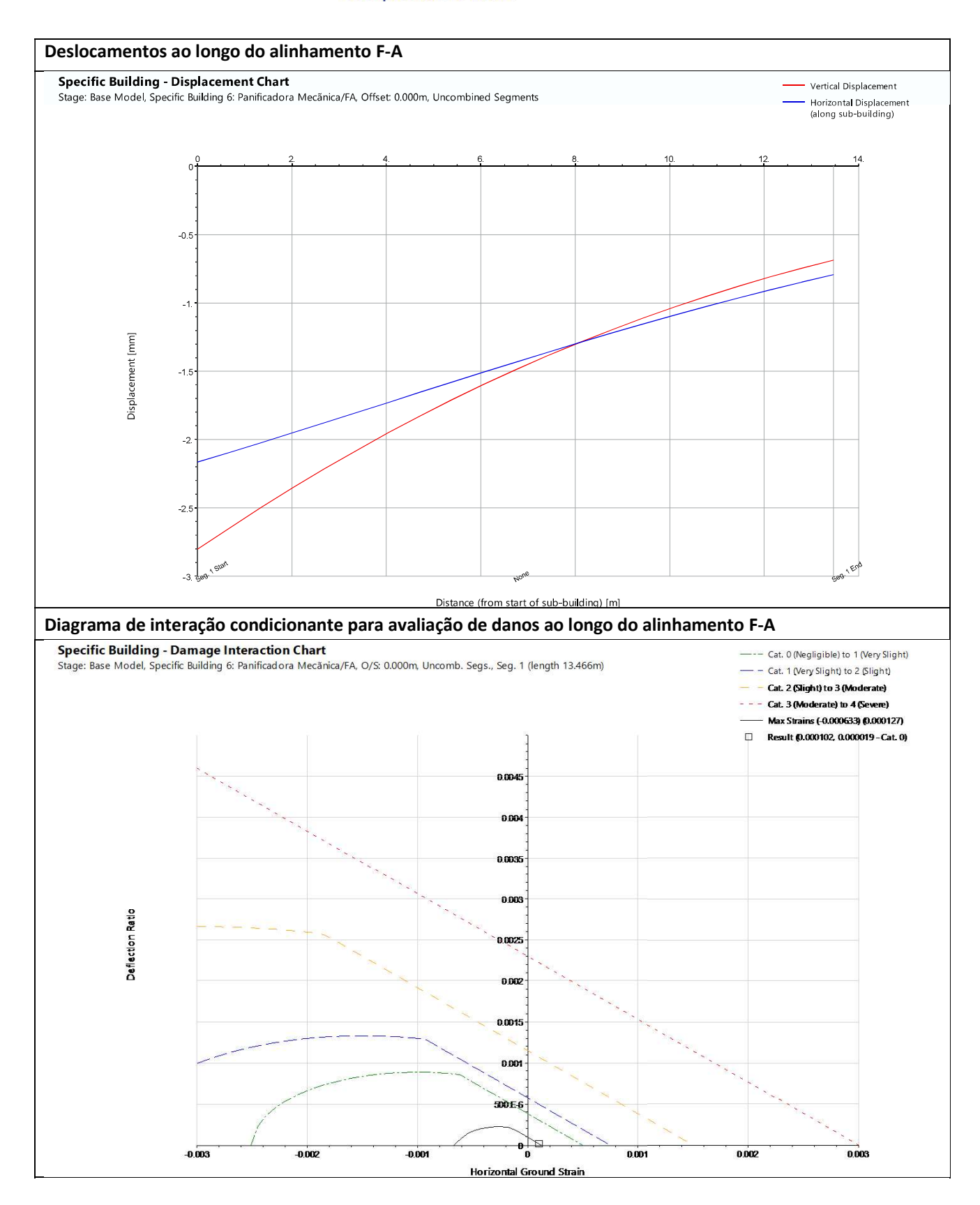
Pág. 7 of 9 Revisão: 0 (11/10/2024)





Pág. 8 of 9 Revisão: 0 (11/10/2024)



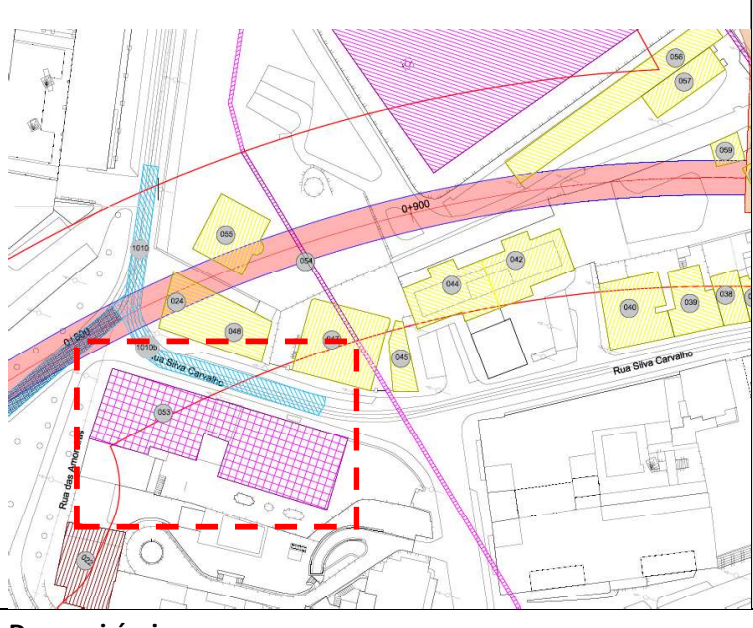


Pág. 9 of 9 Revisão: 0 (11/10/2024)





Ficha de avaliação de danos		
Características gerais		
Número da interferência	53	
Categoria	Edifício Interesse Patrimonial	
Localização	Rua Silva Carvalho, 345-347	
Composição	? Caves + 4 Pisos	
Tipo de estrutura	Alvenaria Resistente	
Tipo de Fundação	Direta	
Cobertura	Telhado	
Revestimento das fachadas	Reboco	
Cadastro	Não	
Mapa de localização e vista isométrica do edifíc	io	





Danos visíveis		
Fissuras	Não	
Eflorescências	Sim	
Deslocamentos	Não	
Armaduras à vista	Não	
Elementos metálicos danificados	Não	
Deformações visíveis	Não	
Degradação do revestimento	Sim	
Descasque e destacamento da pintura	Não	
Condição geral		

Pág. 1 of 8 Revisão: 0 (11/10/2024)



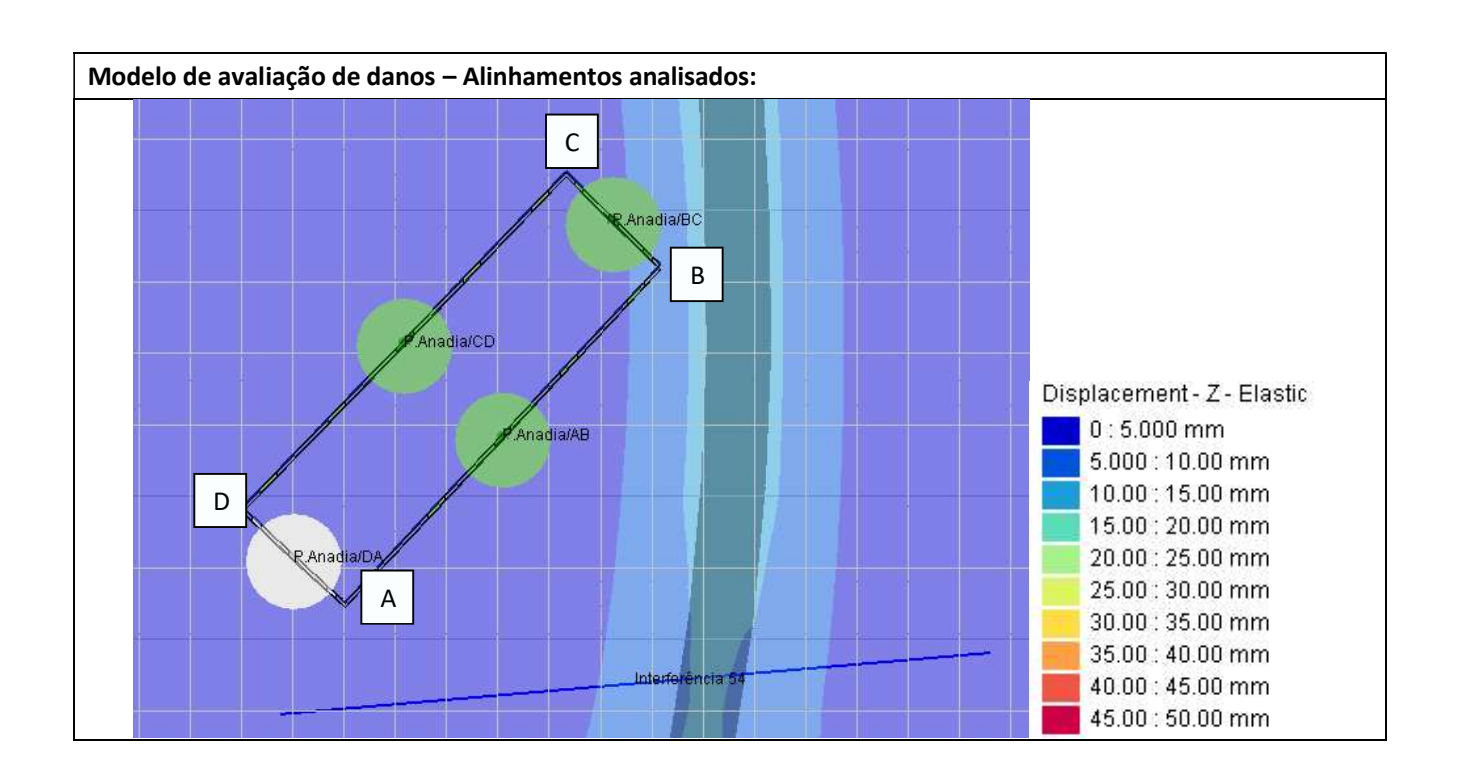


Resultado da avaliação de danos	
Etapas de construção analisadas	Execução da totalidade da obra
Medidas de mitigação	Sem medida de mitigação
Execução da Totalidade da Obra	
Fase de avaliação	Preliminar
Assentamento máximo (mm)	8
Categoria de danos <b>sem fator de agravamento</b> da categoria para edifícios/estruturas classificados (Burland, 1995)	Empena A-B – Categoria 0 Empena B-C – Categoria 0 Empena C-D – Categoria 0 Empena D-A – Categoria 0
Vista isométrica do modelo de avaliação de danos – Assentamer	ntos e categoria de danos:
P.Anadia/DA P.Anadia/DA P.Anadia/DA	Building Results  Sensitivity  Cat. 0 (Negligible)  Cat. 1 (Very Slight)  Cat. 2 (Slight)  Cat. 3 (Moderate)  Cat. 4 (Severe)

Pág. 2 of 8 Revisão: 0 (11/10/2024)

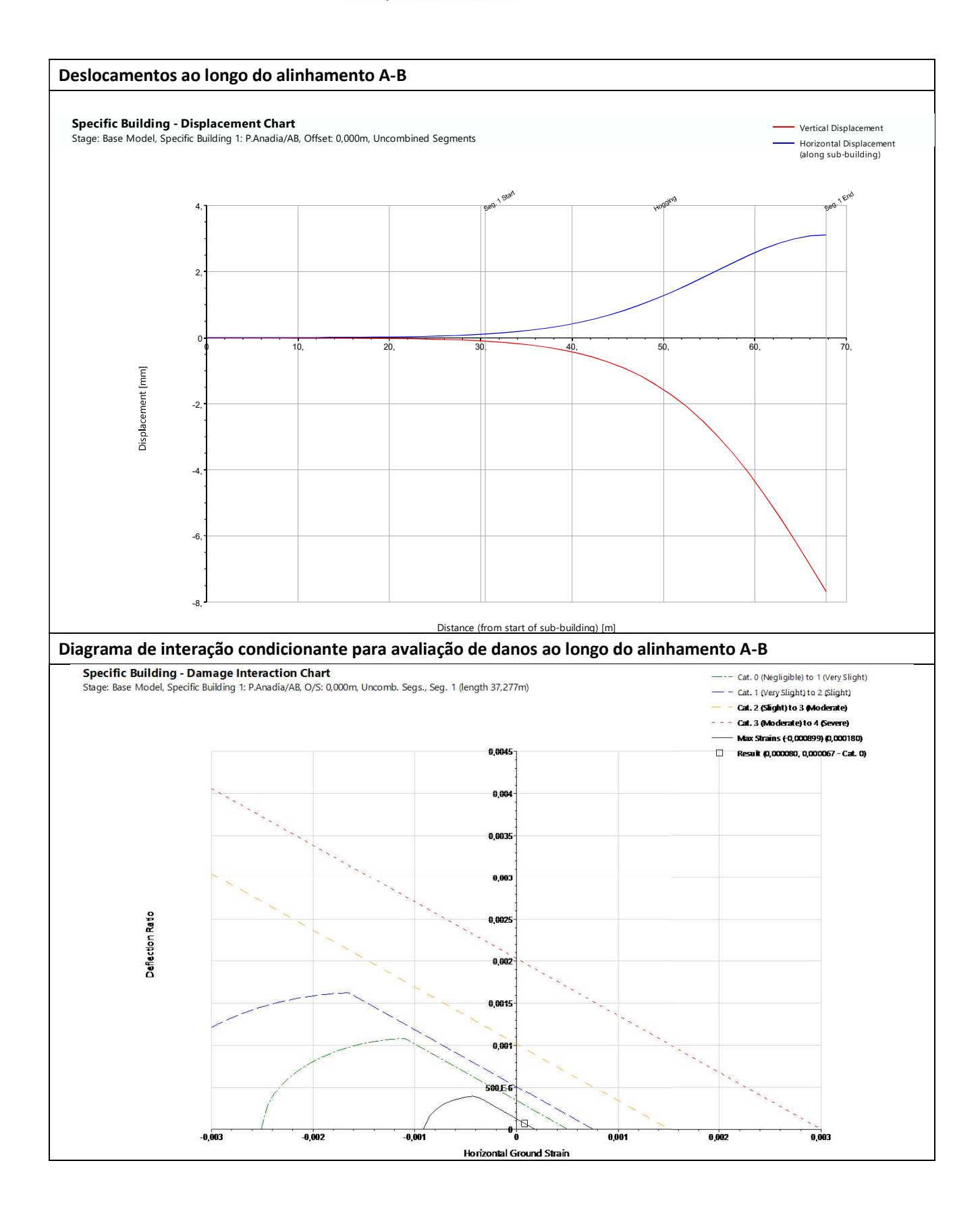






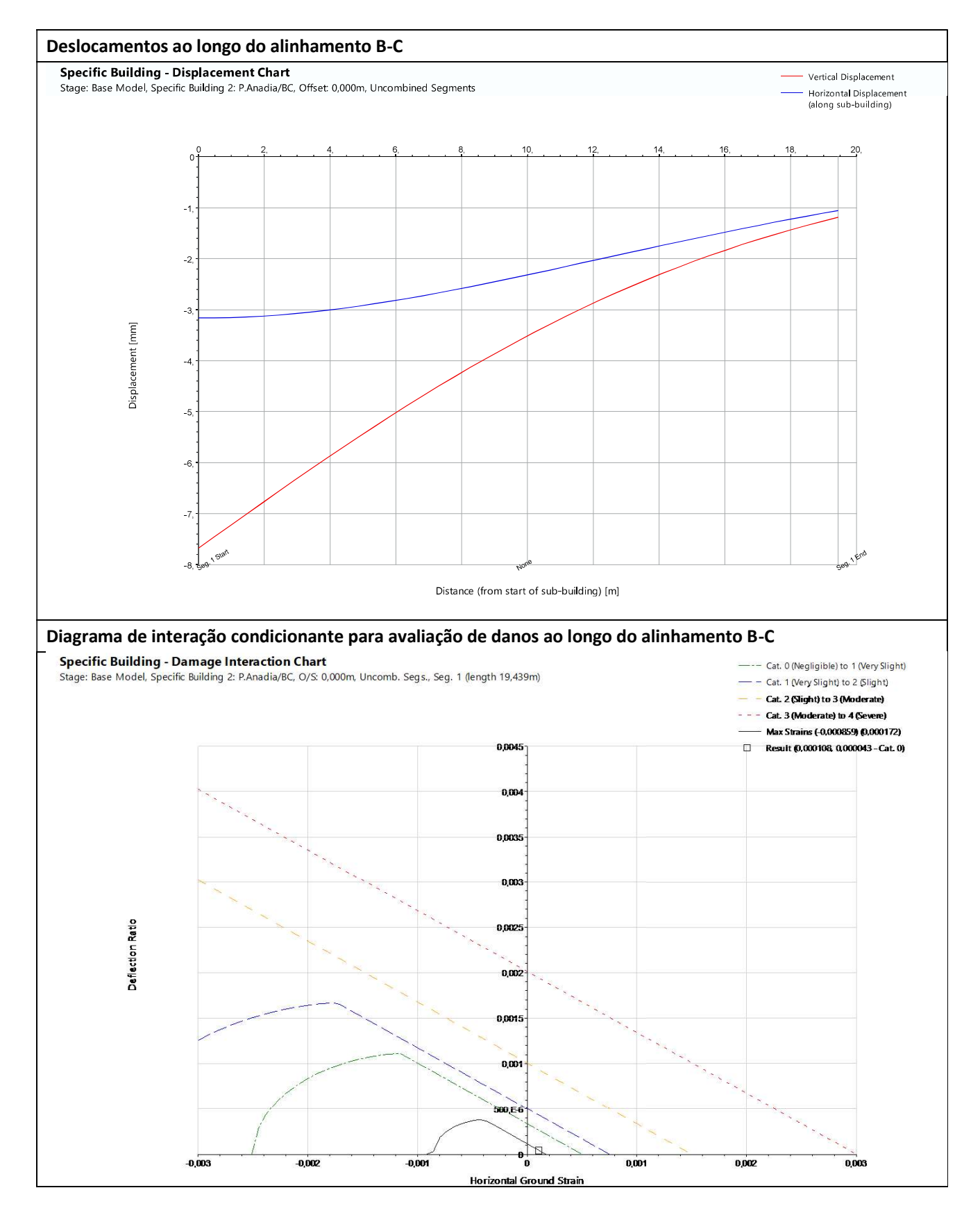
Pág. 3 of 8 Revisão: 0 (11/10/2024)





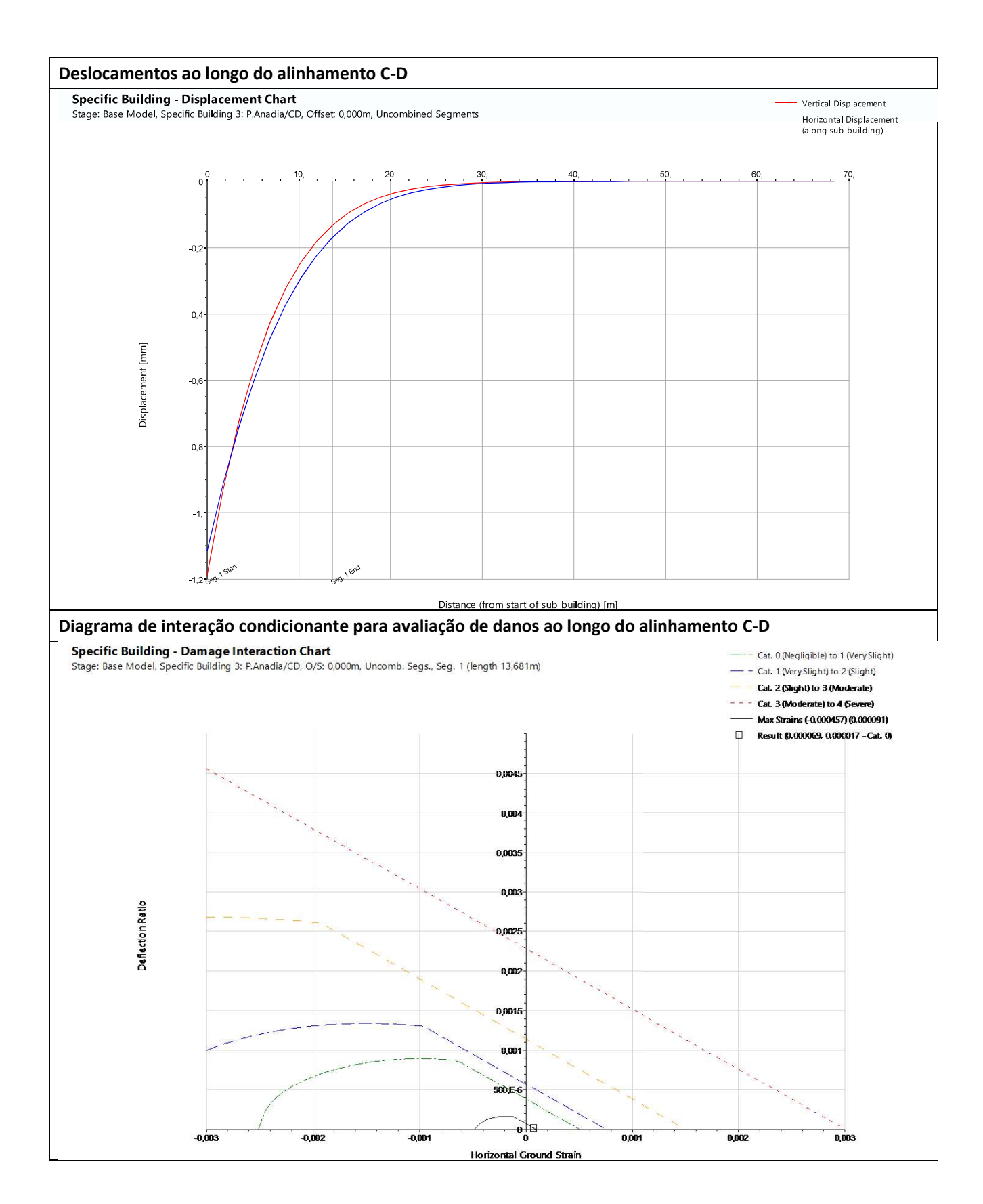
Pág. 4 of 8 Revisão: 0 (11/10/2024)





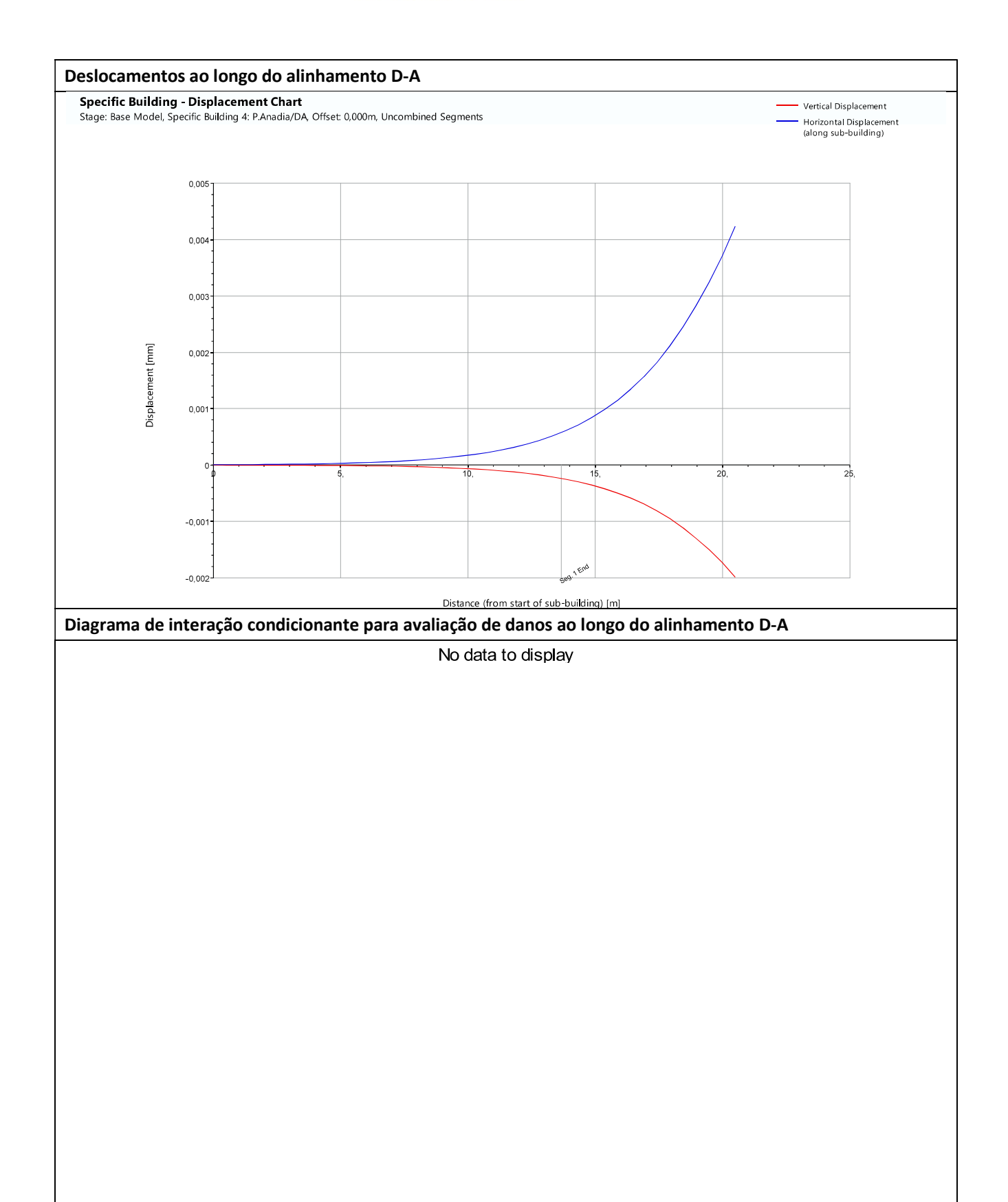
Pág. 5 of 8 Revisão: 0 (11/10/2024)





Pág. 6 of 8 Revisão: 0 (11/10/2024)





Pág. 7 of 8 Revisão: 0 (11/10/2024)





Pág. 8 of 8 Revisão: 0 (11/10/2024)





Ficha de avaliação de danos  Características gerais	
Categoria	Aqueduto
Localização	Rua Silva Carvalho
Composição	Estrutura Enterrada
Tipo de estrutura	Alvenaria
Tipo de Fundação	Direta
Cobertura	NA
Revestimento das fachadas	NA
Cadastro	Não

## Mapa de localização e vista interior



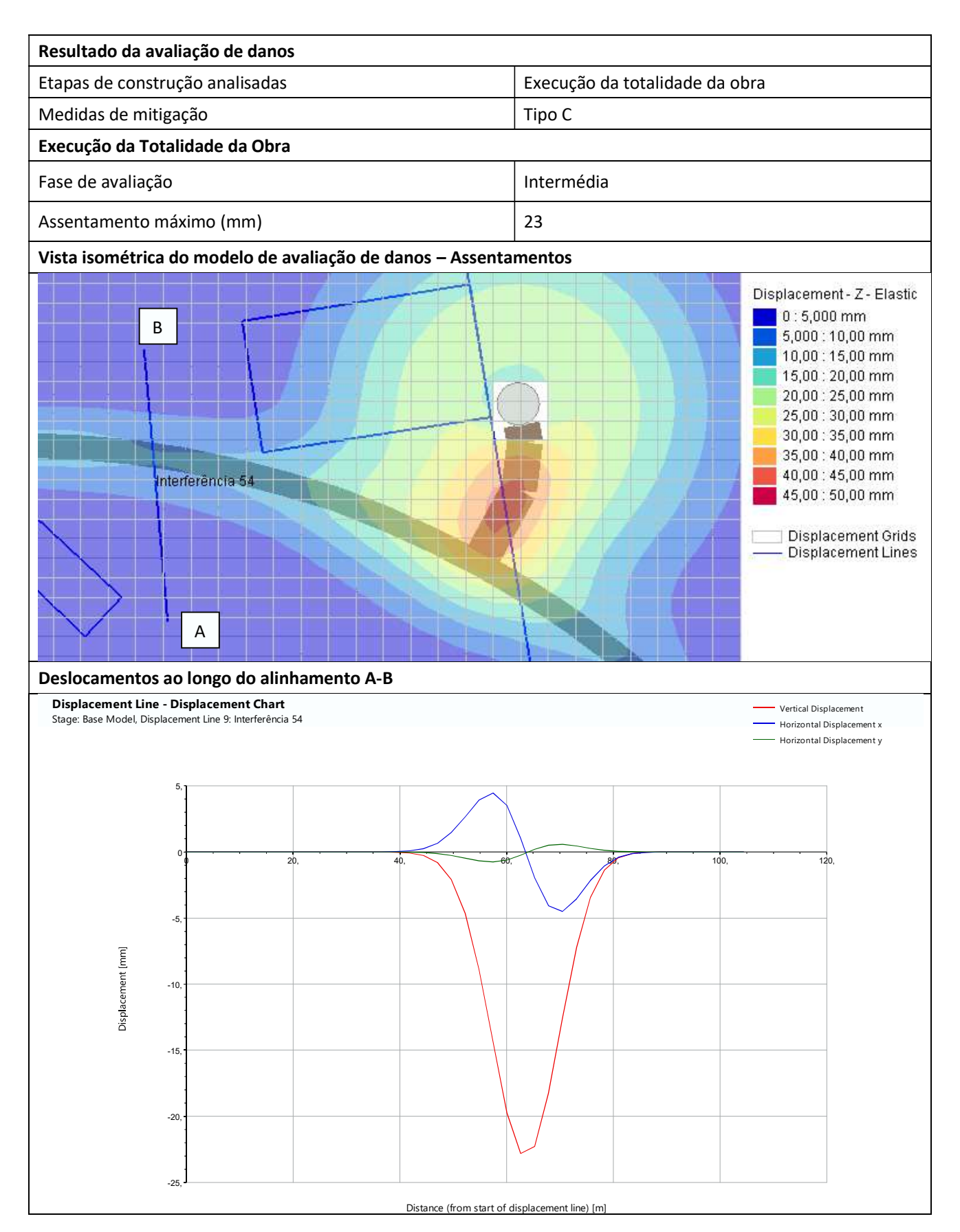


Danos visíveis	
Fissuras	Desconhecido
Eflorescências	Desconhecido
Deslocamentos	Desconhecido
Armaduras à vista	Desconhecido
Elementos metálicos danificados	Desconhecido
Deformações visíveis	Desconhecido
Degradação do revestimento	Desconhecido
Descasque e destacamento da pintura	Desconhecido
Condição geral	Desconhecido

Pág. 1 of 3 Revisão: 0 (11/10/2024)







Pág. 2 of 3 Revisão: 0 (11/10/2024)





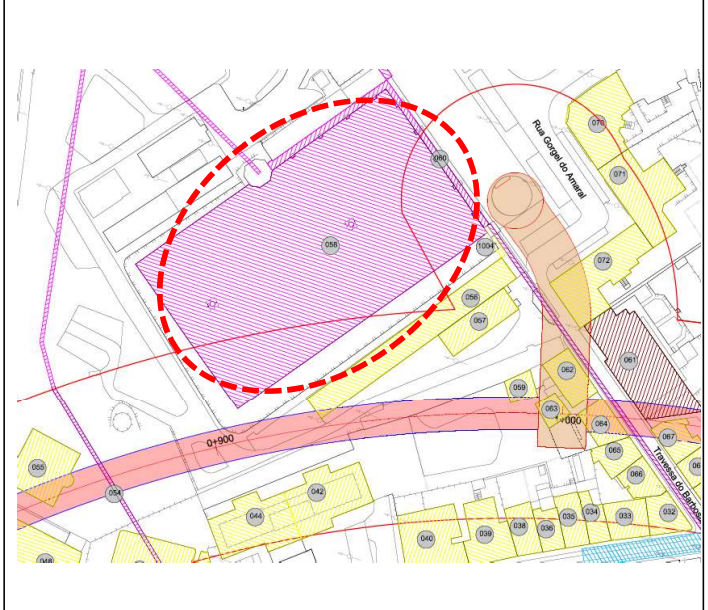
Pág. 3 of 3 Revisão: 0 (11/10/2024)





Ficha de avaliação de danos	
Características gerais	
Número da interferência	58
Categoria	Reservatório
Localização	Travessa do Barbosa, 2 - Cisterna dentro do Parque da EPAL -3
Composição	Estrutura Enterrada
Tipo de estrutura	Desconhecido
Tipo de Fundação	Desconhecido
Cobertura	NA
Revestimento das fachadas	NA
Cadastro	Não

## Mapa de localização e vista isométrica do edifício



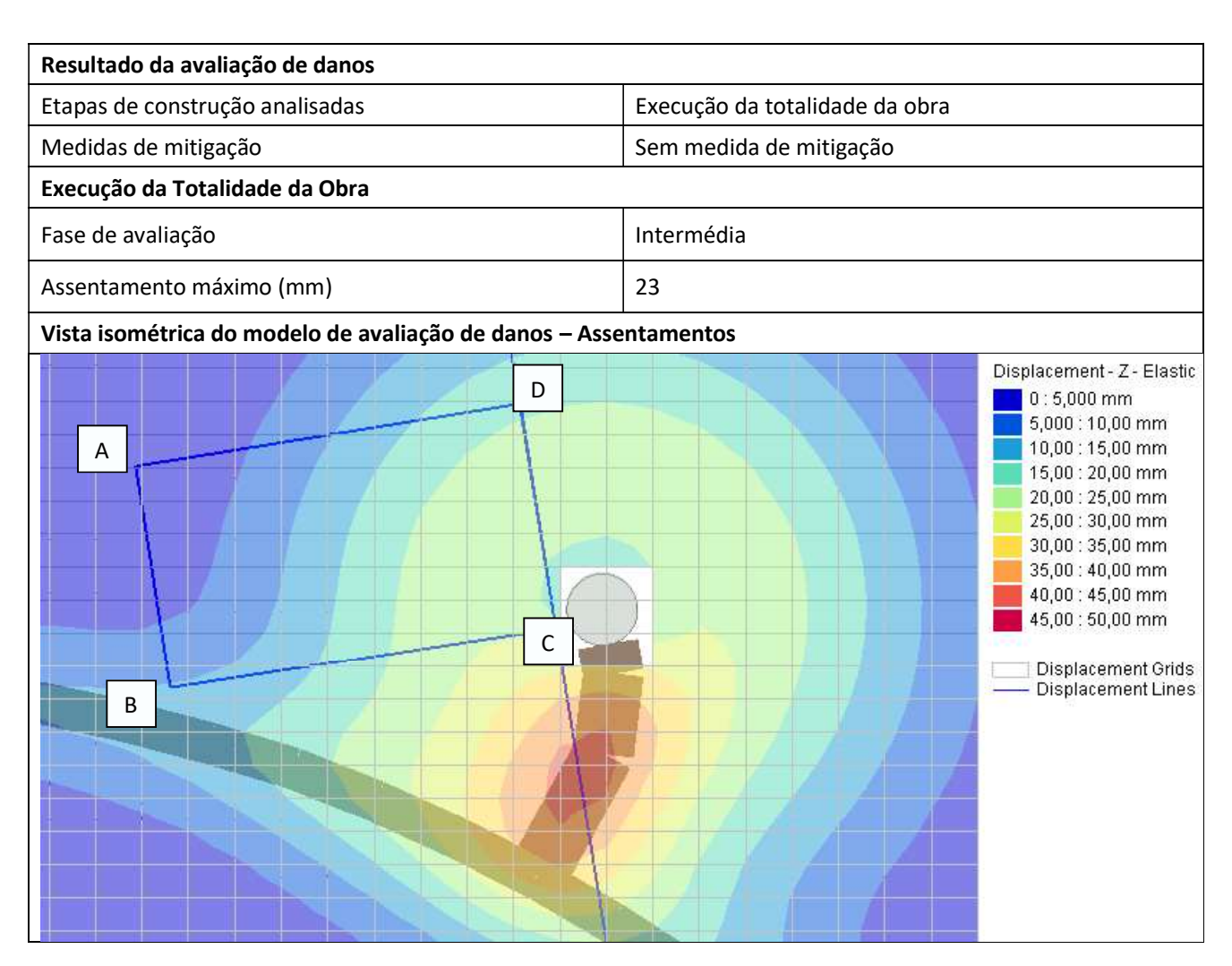


Danos visíveis	
Fissuras	Desconhecido
Eflorescências	Desconhecido
Deslocamentos	Desconhecido
Armaduras à vista	Desconhecido
Elementos metálicos danificados	Desconhecido
Deformações visíveis	Desconhecido
Degradação do revestimento	Desconhecido
Descasque e destacamento da pintura	Desconhecido
Condição geral	Desconhecido

Pág. 1 of 4 Revisão: 0 (11/10/2024)

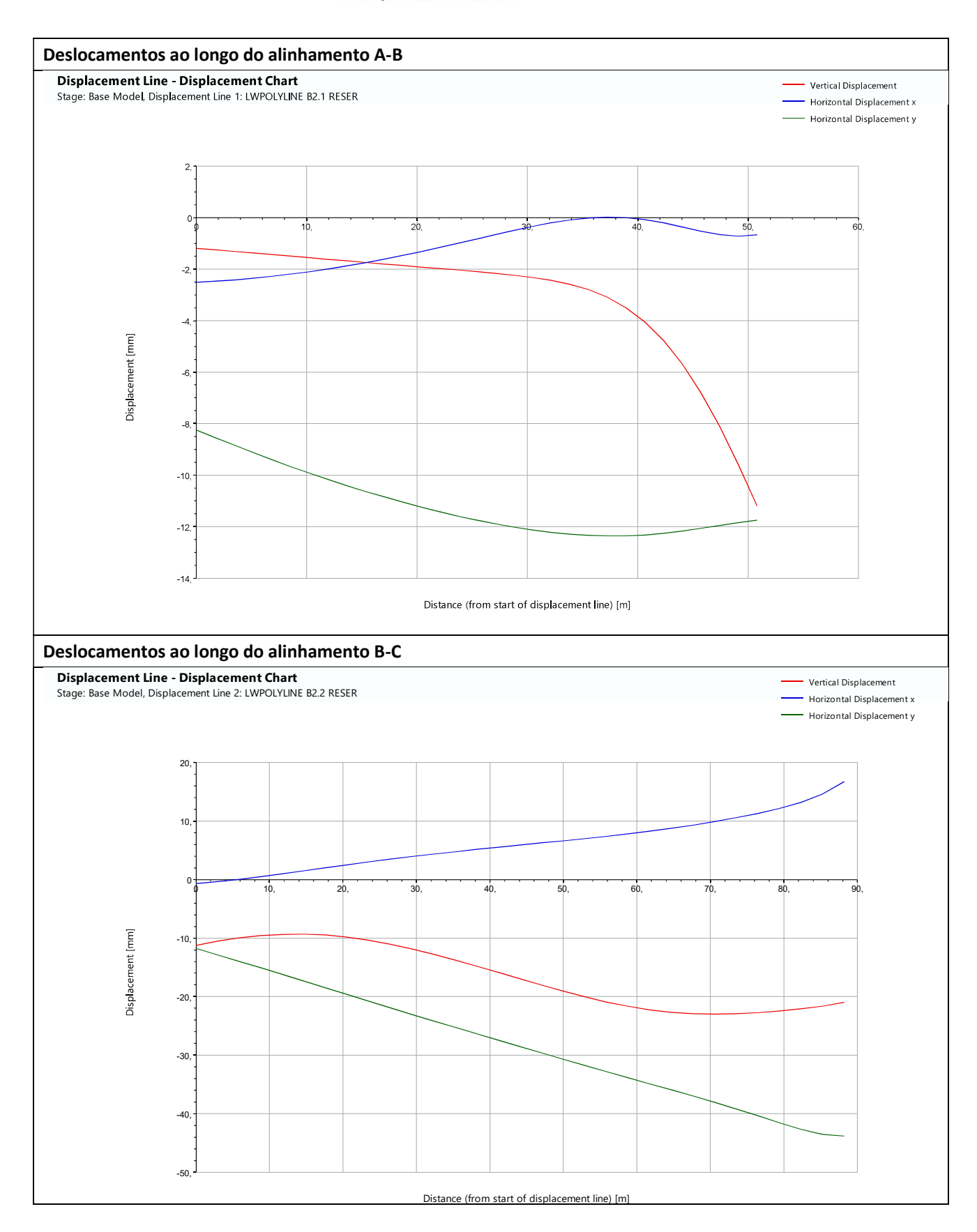






Pág. 2 of 4 Revisão: 0 (11/10/2024)

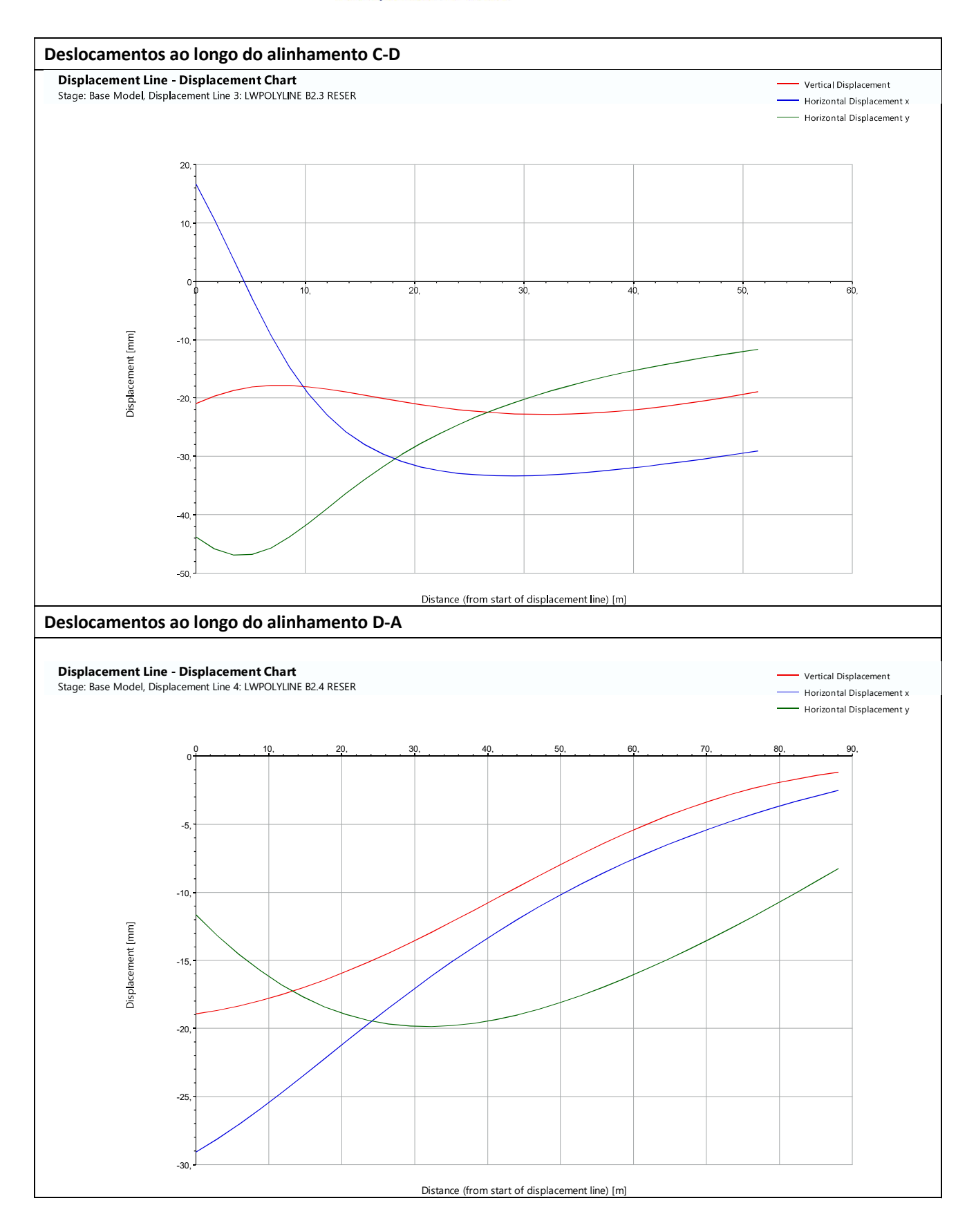




Pág. 3 of 4 Revisão: 0 (11/10/2024)







Pág. 4 of 4 Revisão: 0 (11/10/2024)



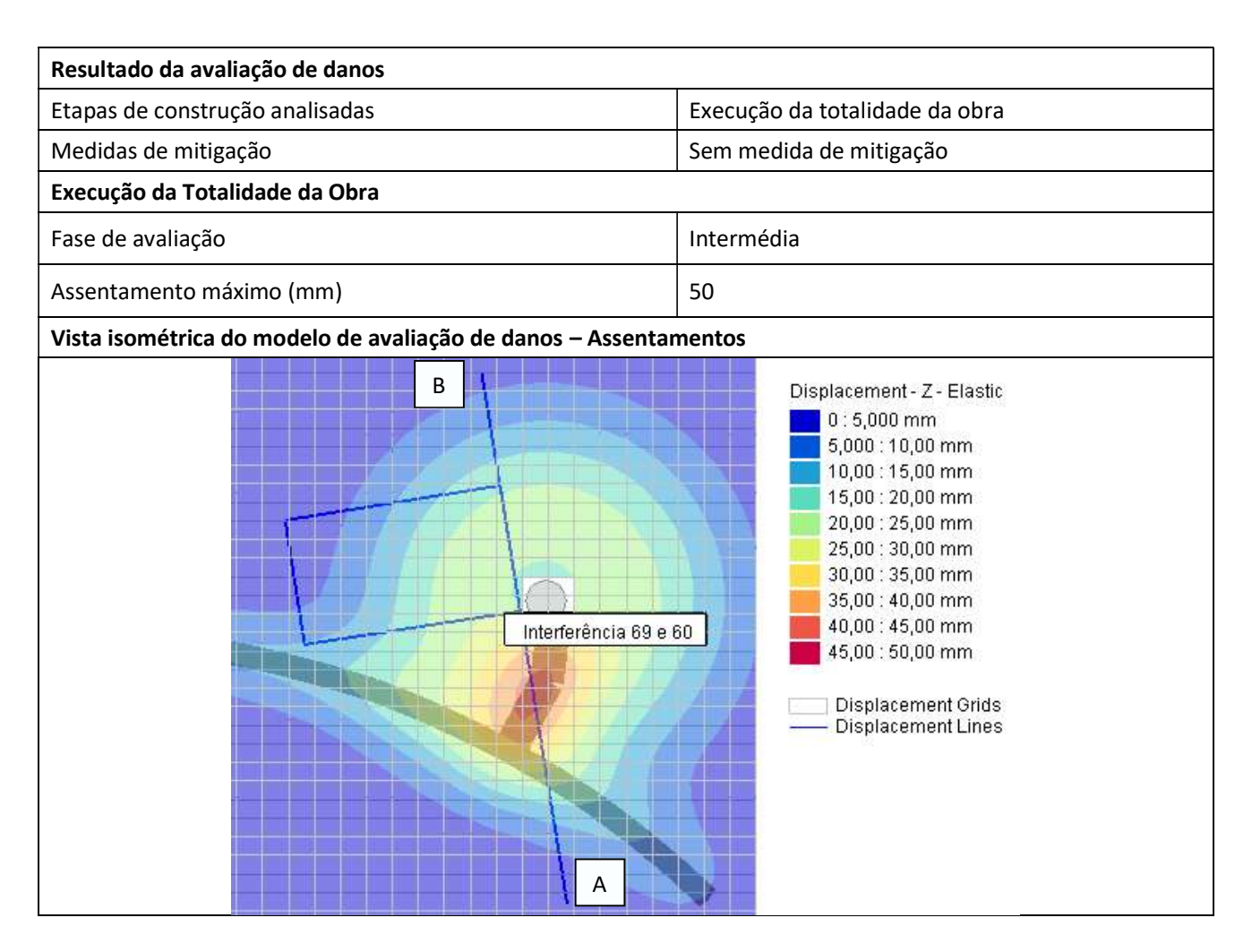


Ficha de avaliação de danos	
Características gerais	
Número da interferência	69 e 60
Categoria	Aqueduto
Localização	Travessa do Barbosa
Composição	Estrutura Enterrada
Tipo de estrutura	Alvenaria
Tipo de Fundação	Direta
Cobertura	NA
Revestimento das fachadas	NA
Cadastro	Não
Mapa de localização	
Danos visíveis	
Fissuras	Desconhecido
Eflorescências	Desconhecido
Deslocamentos	Desconhecido
Armaduras à vista	Desconhecido
Elementos metálicos danificados	Desconhecido
Deformações visíveis	Desconhecido
Degradação do revestimento	Desconhecido
Descasque e destacamento da pintura	Desconhecido
Condição geral	Desconhecido
	1

Pág. 1 of 3 Revisão: 0 (11/10/2024)



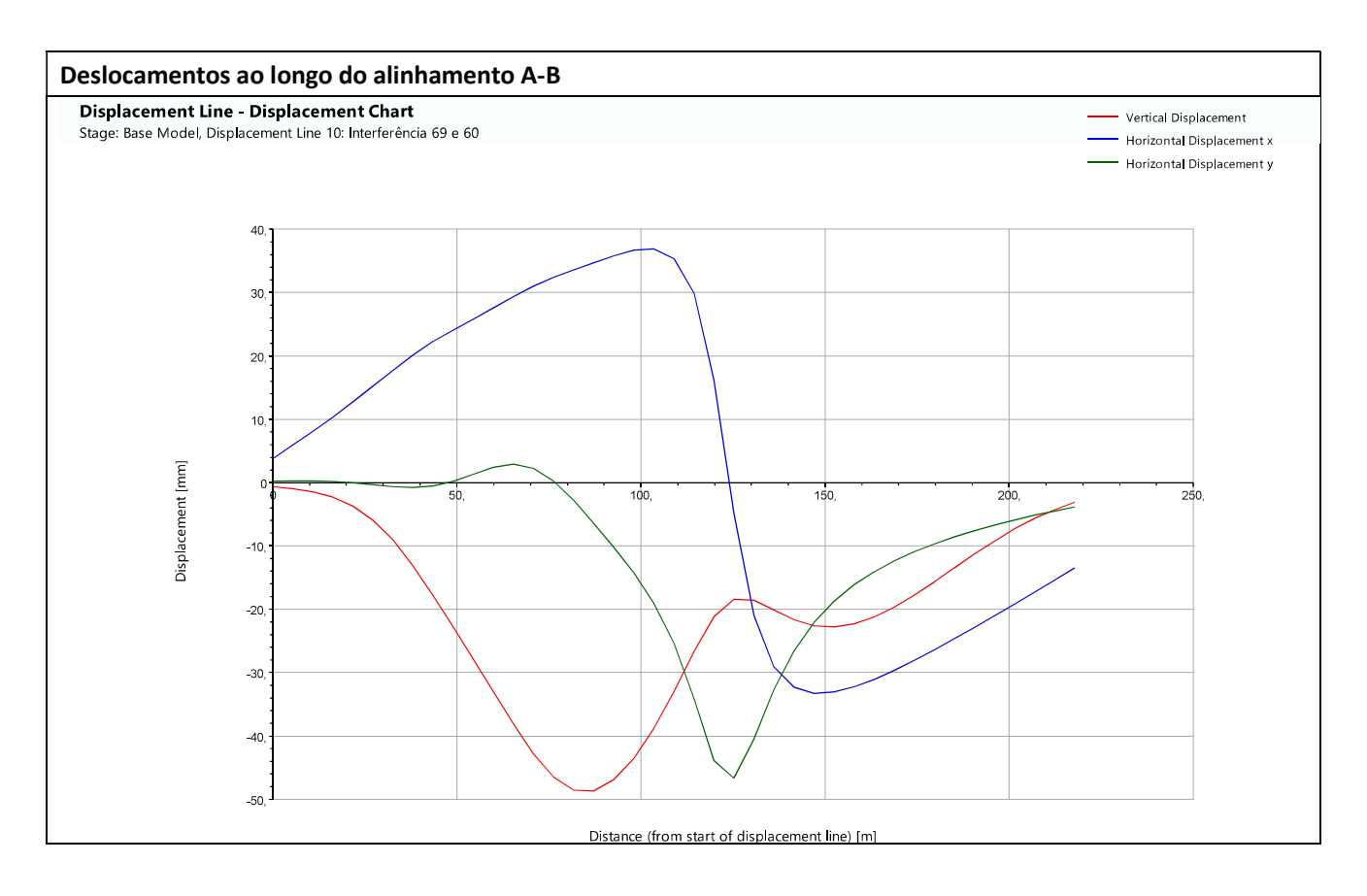




Pág. 2 of 3 Revisão: 0 (11/10/2024)







Pág. 3 of 3 Revisão: 0 (11/10/2024)

Condição geral





Ficha de avaliação de danos	
Características gerais	
Número da interferência	96
Categoria	Edifício Interesse Patrimonial
Localização	Quartel Campo de Ourique, 1
Composição	? Caves + 3 Pisos
Tipo de estrutura	Misto (betão armado/ alvenaria)
Tipo de Fundação	Direta
Cobertura	Telhado
Revestimento das fachadas	Reboco e pedra
Cadastro	Sim
Mapa de localização e vista isométrica do edifício	
Dance victorie	
Danos visíveis	
Fissuras	Sim
Eflorescências	Sim
Deslocamentos	Não
Armaduras à vista	Não
Elementos metálicos danificados	Não
Deformações visíveis	Não
Degradação do revestimento	Sim
Descasque e destacamento da pintura	Sim
	1

Pág. 1 of 11 Revisão: 0 (11/10/2024)



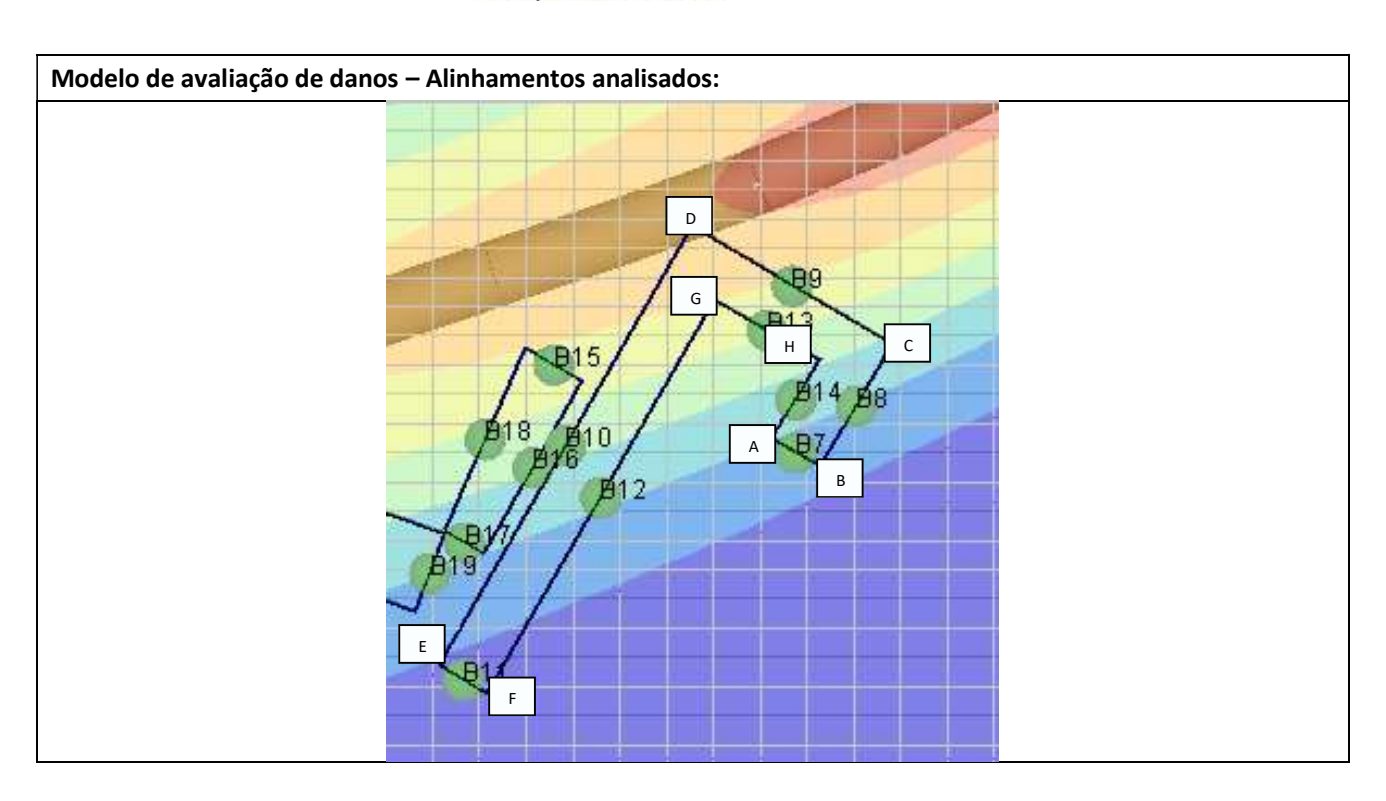


Resultado da avaliação de danos	
Etapas de construção analisadas	Execução da totalidade da obra
Medidas de mitigação	Sem medida de mitigação
Execução da Totalidade da Obra	
Fase de avaliação	Preliminar
Assentamento máximo (mm)	8
Categoria de danos <b>sem fator de agravamento</b> da categoria para edifícios/estruturas classificados (Burland, 1995)	Empena A-B — Categoria 0 Empena B-C — Categoria 0 Empena C-D — Categoria 0 Empena D-E — Categoria 0 Empena E-F — Categoria 0 Empena F-G — Categoria 0 Empena G-H — Categoria 0 Empena G-H — Categoria 0
Vista isométrica do modelo de avaliação de danos – Assentame	ntos e categoria de danos:
	Duilding Results   Sensitivity   Cat. 0 (Negligible)   Cat. 1 (Very Slight)   Cat. 2 (Slight)   Cat. 3 (Moderate)   Cat. 4 (Severe)   Ca

Pág. 2 of 11 Revisão: 0 (11/10/2024)

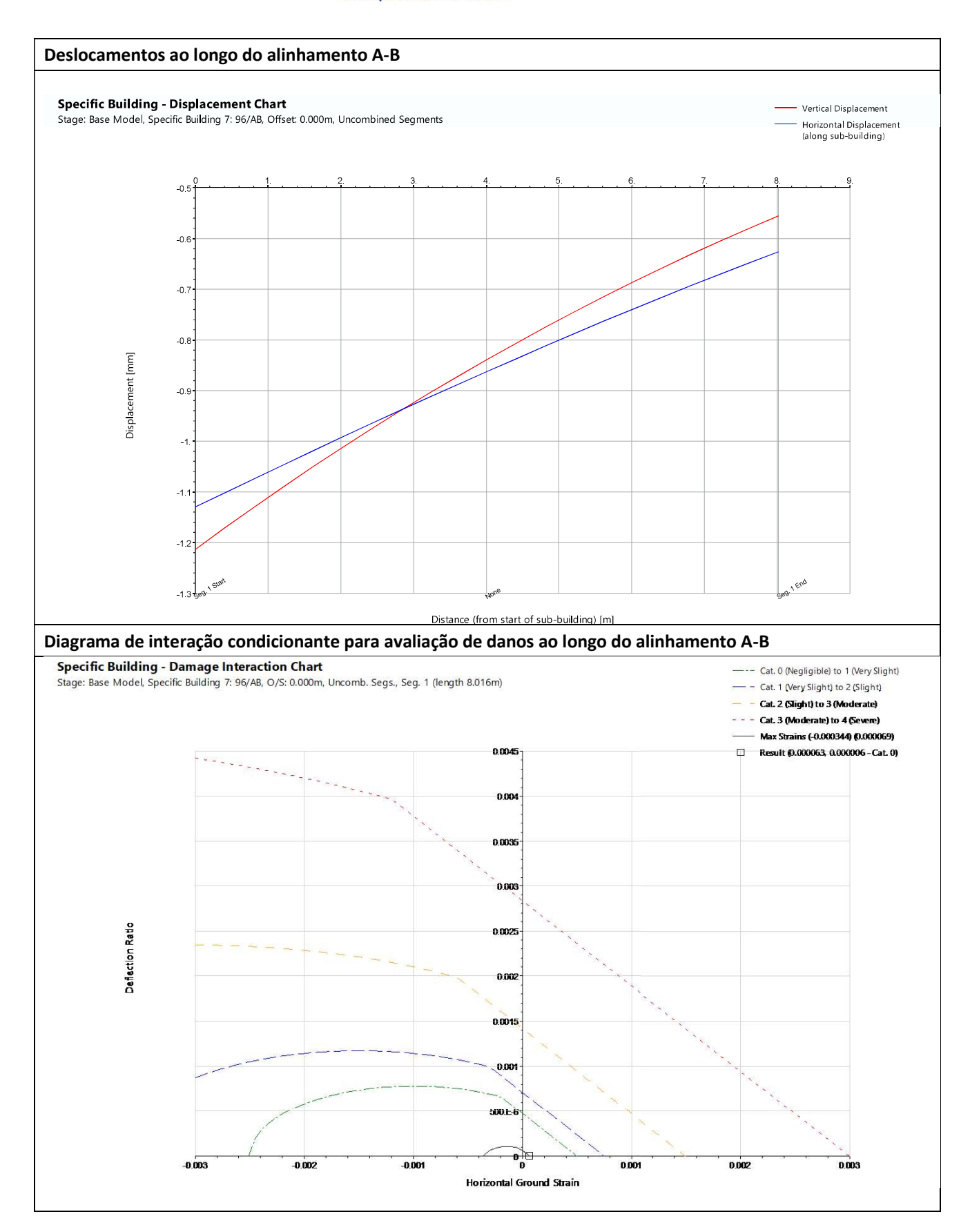






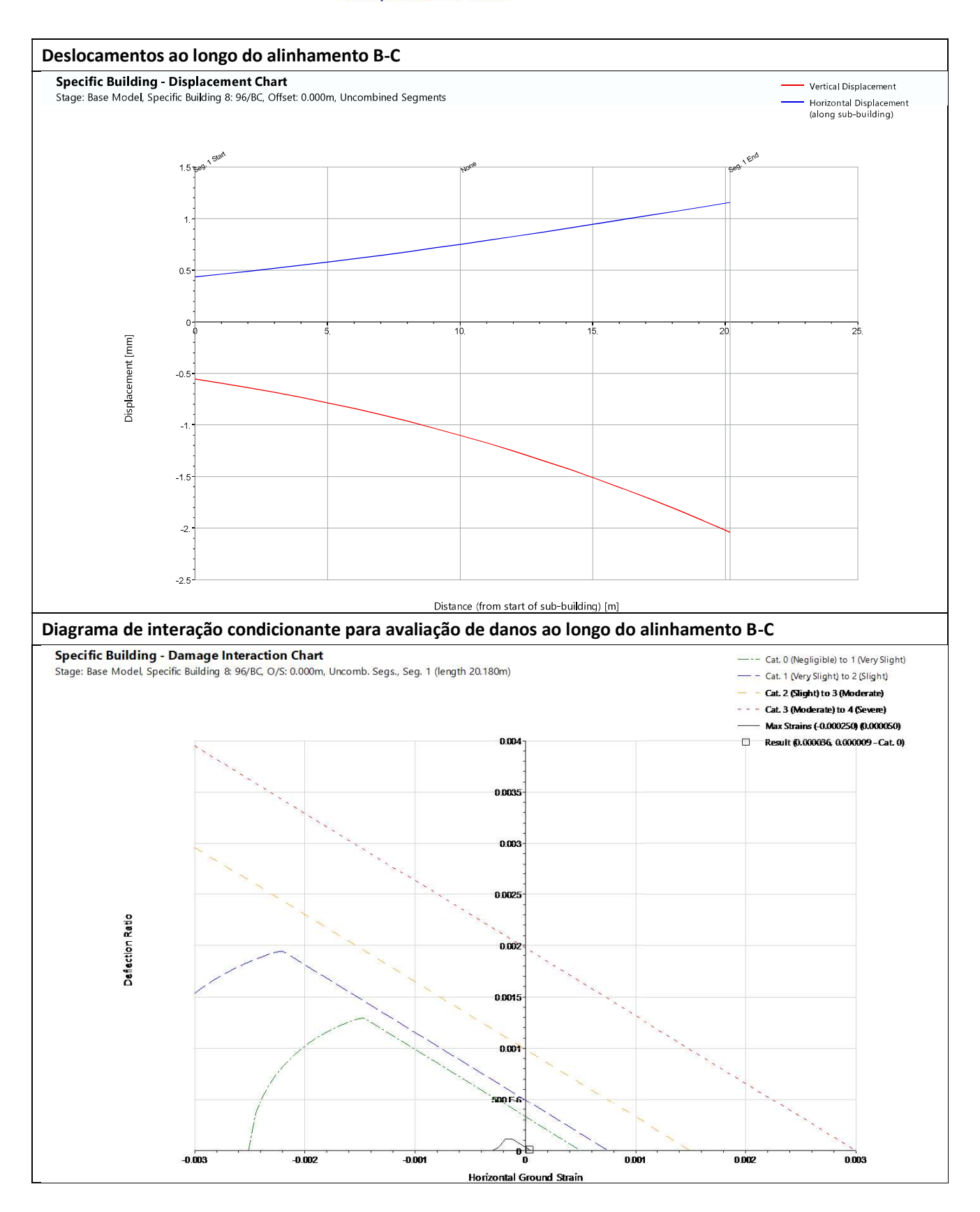
Pág. 3 of 11 Revisão: 0 (11/10/2024)





Pág. 4 of 11 Revisão: 0 (11/10/2024)

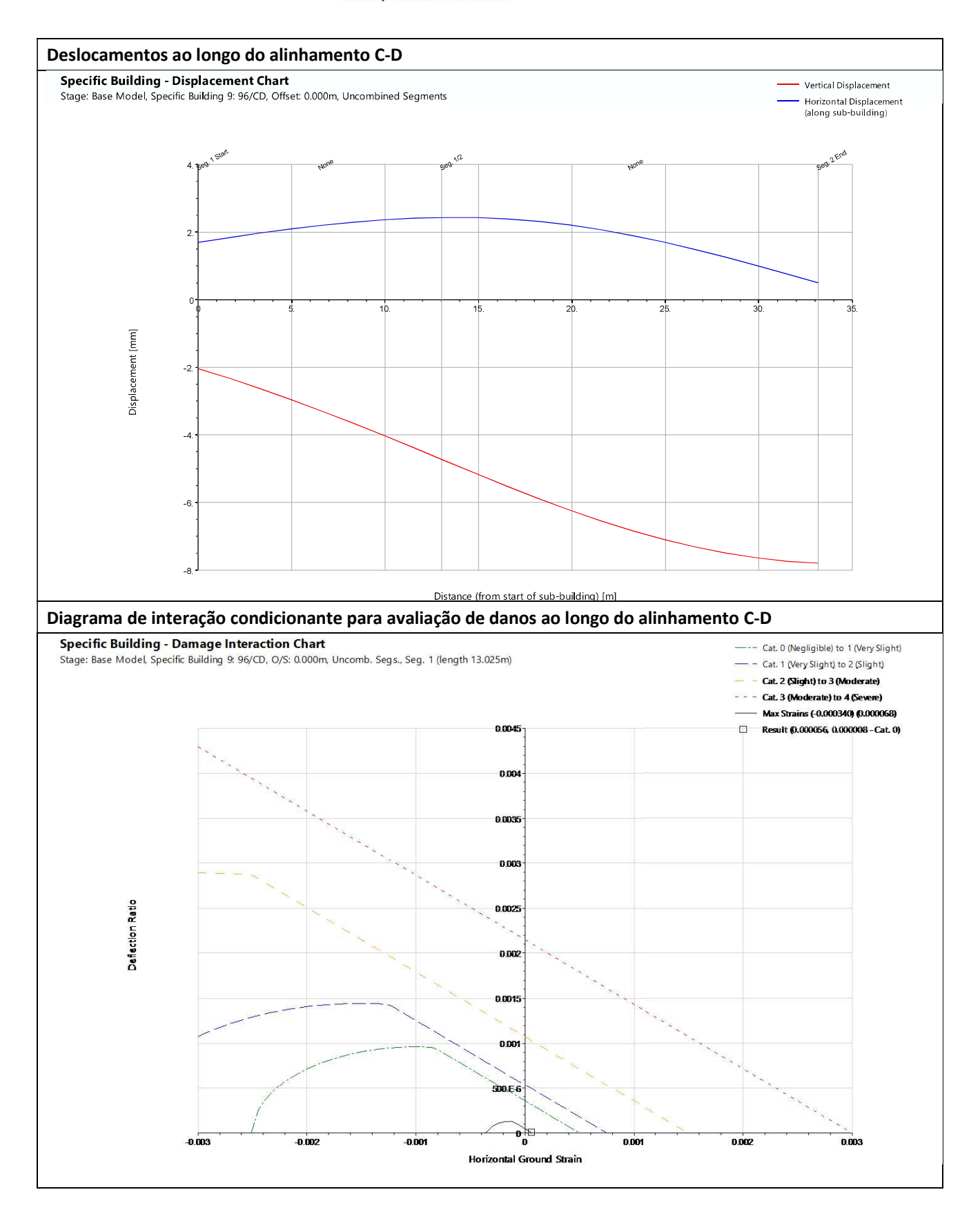




Pág. 5 of 11 Revisão: 0 (11/10/2024)

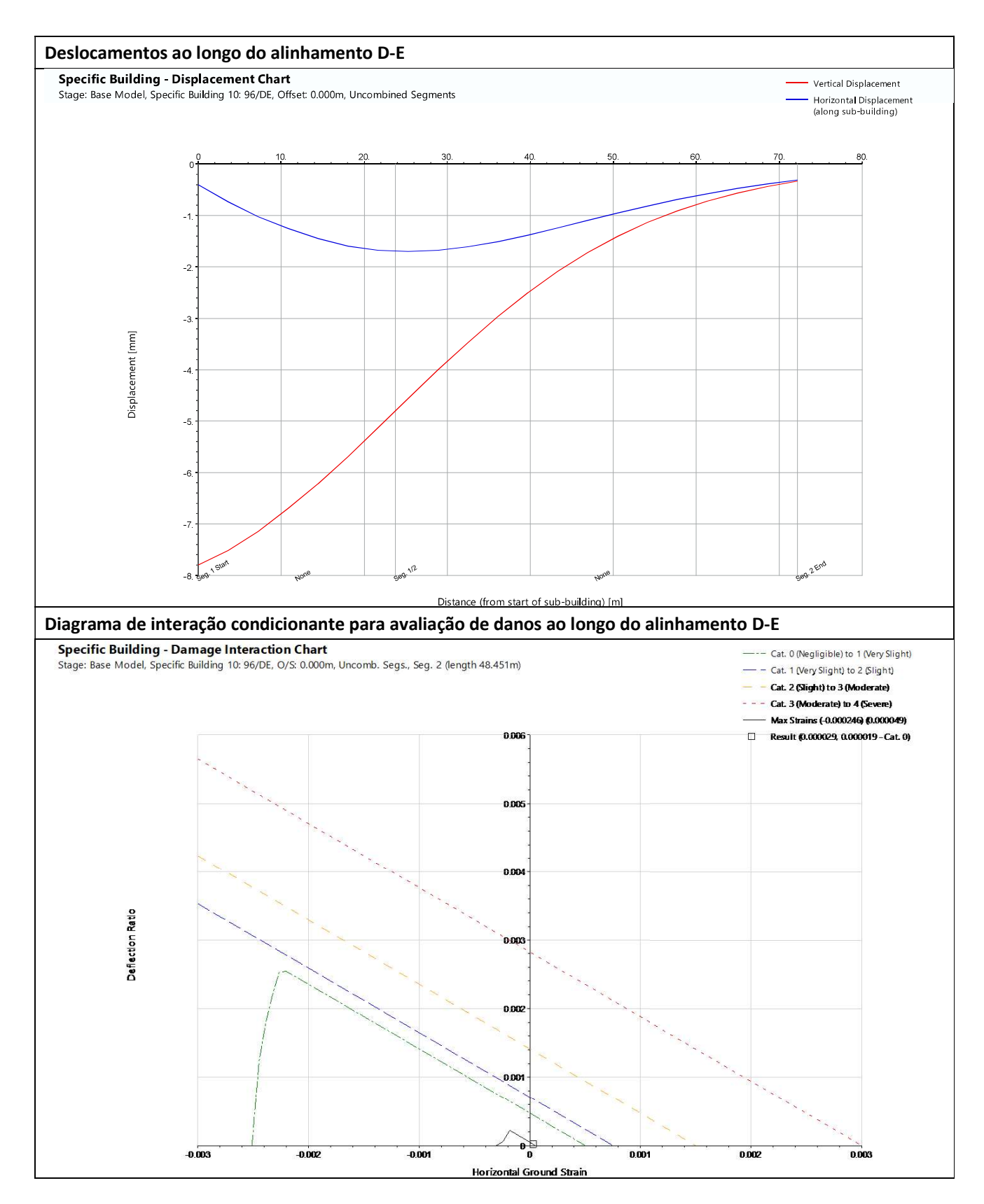






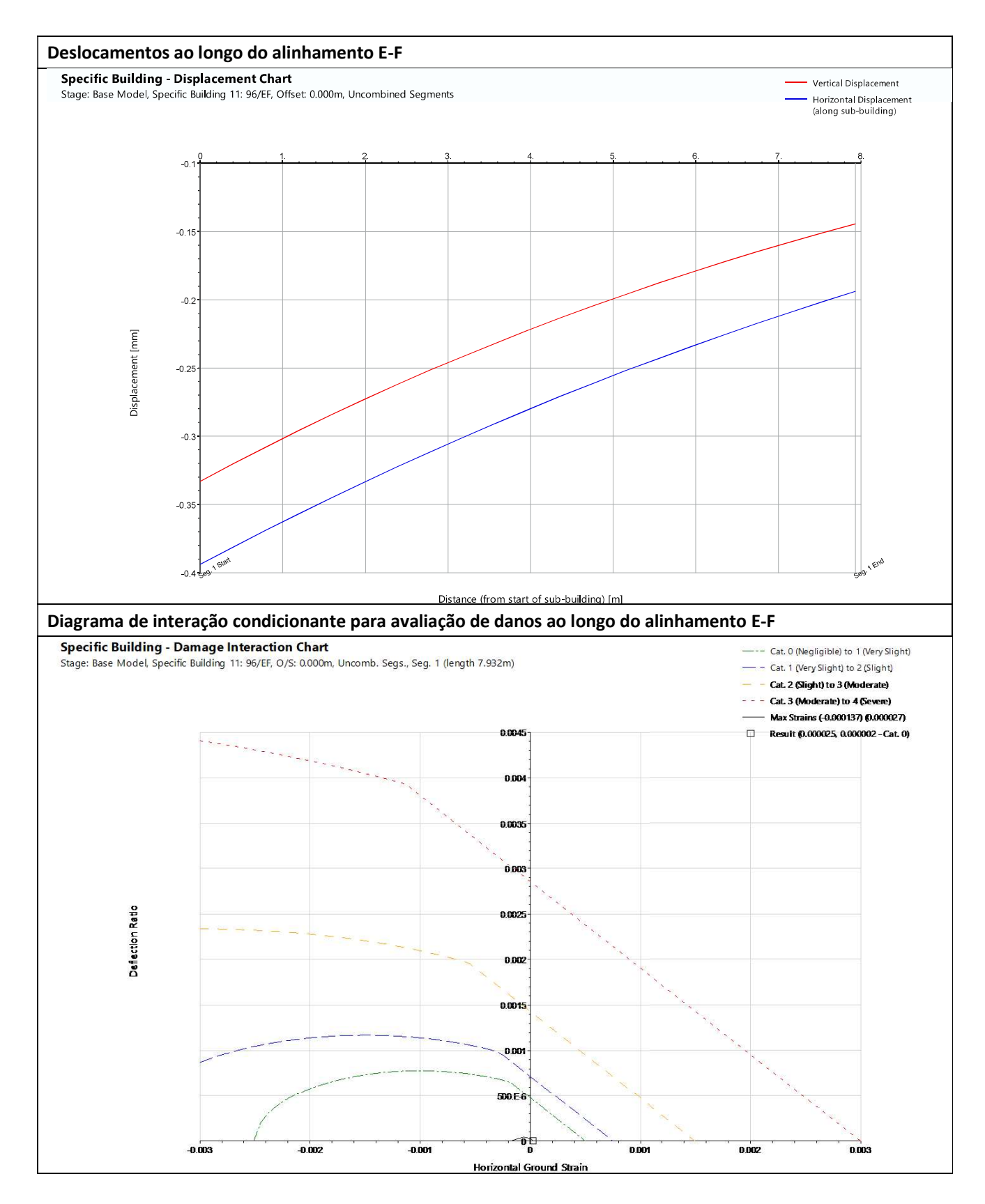
Pág. 6 of 11 Revisão: 0 (11/10/2024)





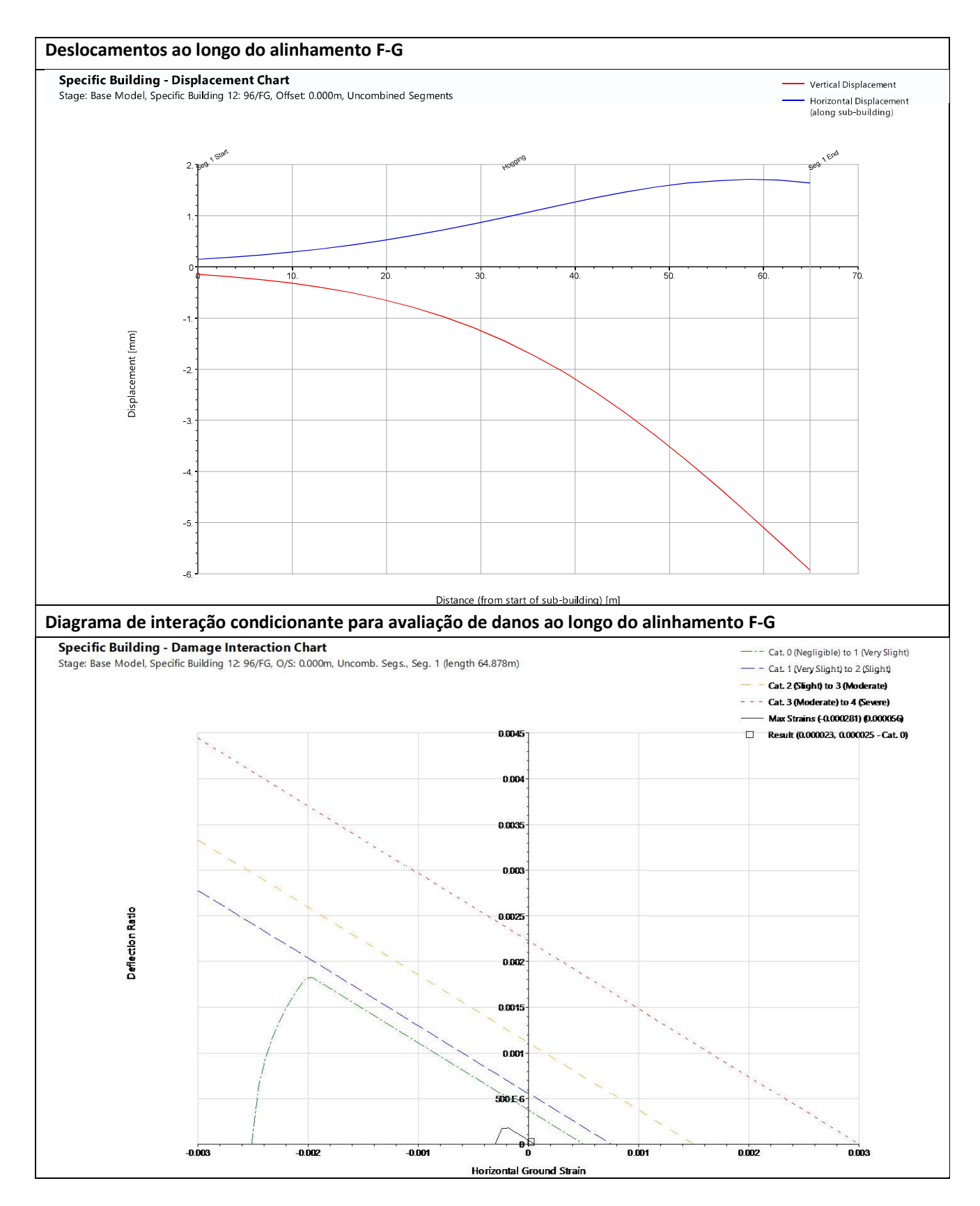
Pág. 7 of 11 Revisão: 0 (11/10/2024)





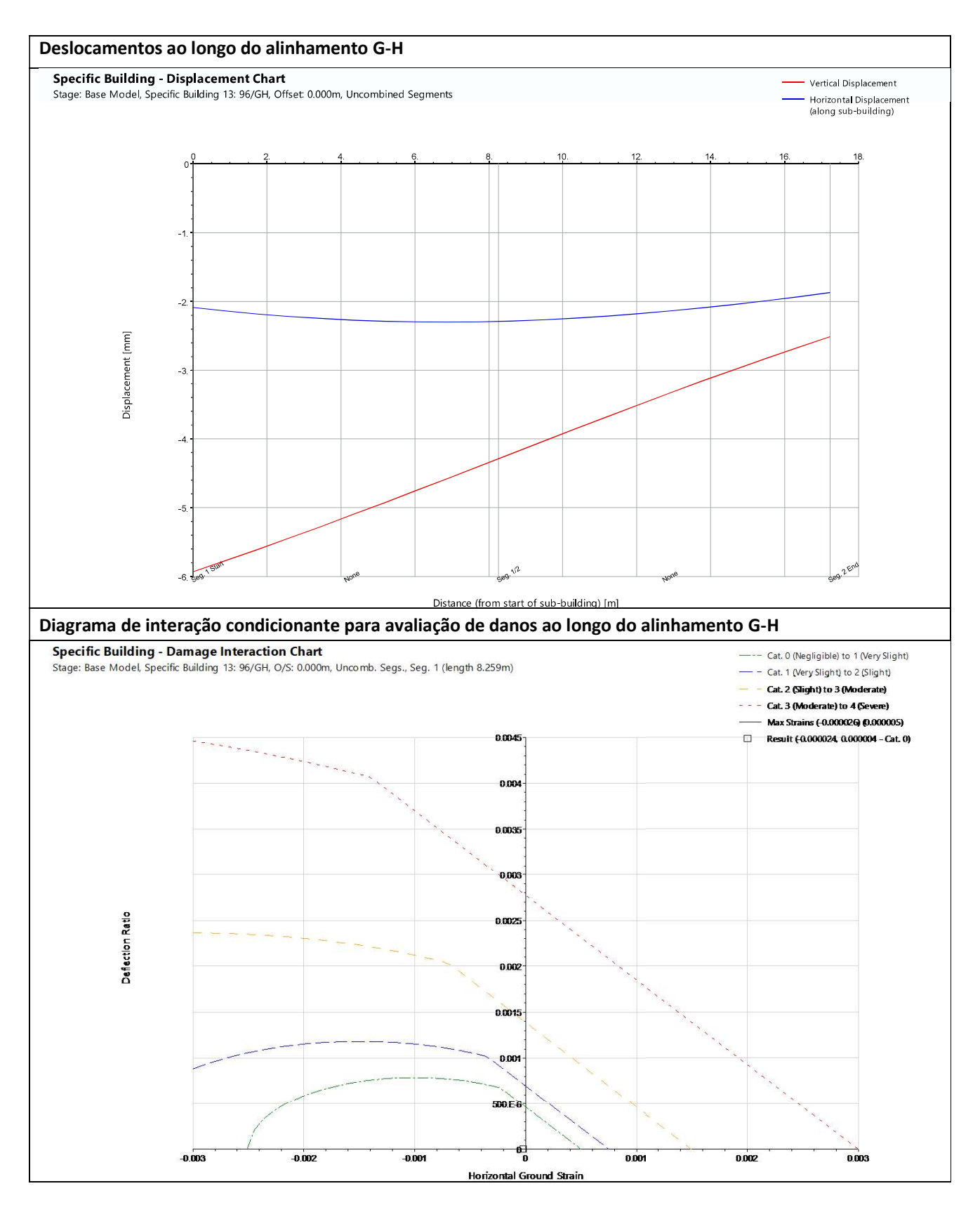
Pág. 8 of 11 Revisão: 0 (11/10/2024)





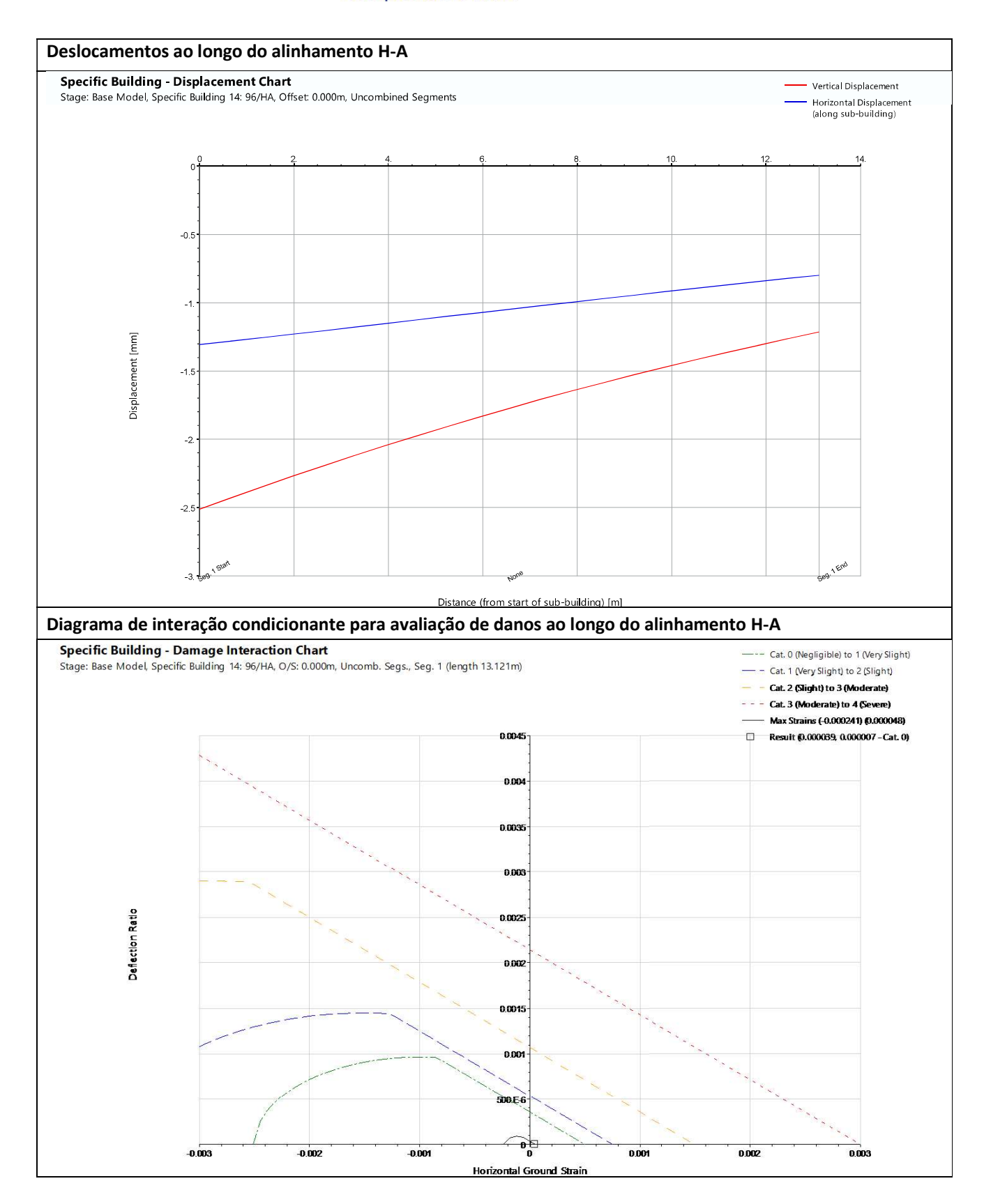
Pág. 9 of 11 Revisão: 0 (11/10/2024)





Pág. 10 of 11 Revisão: 0 (11/10/2024)





Pág. 11 of 11 Revisão: 0 (11/10/2024)





Ficha de avaliação de danos	
Características gerais	
Número da interferência	97
Categoria	Edifício Público
Localização	Quartel Campo de Ourique, 2
Composição	? Caves + 2 Pisos
Tipo de estrutura	Misto (betão armado/ alvenaria)
Tipo de Fundação	Direta
Cobertura	Terraço
Revestimento das fachadas	Reboco
Cadastro	Não
Mapa de localização e vista isométrica do edifício	
Danos visíveis	
Fissuras	Sim
Eflorescências	Sim
Deslocamentos	Não
Armaduras à vista	Não
Elementos metálicos danificados	Não
Deformações visíveis	Não
Degradação do revestimento	Sim
Descasque e destacamento da pintura	Sim
Condição geral	

Pág. 1 of 8 Revisão: 0 (11/10/2024)



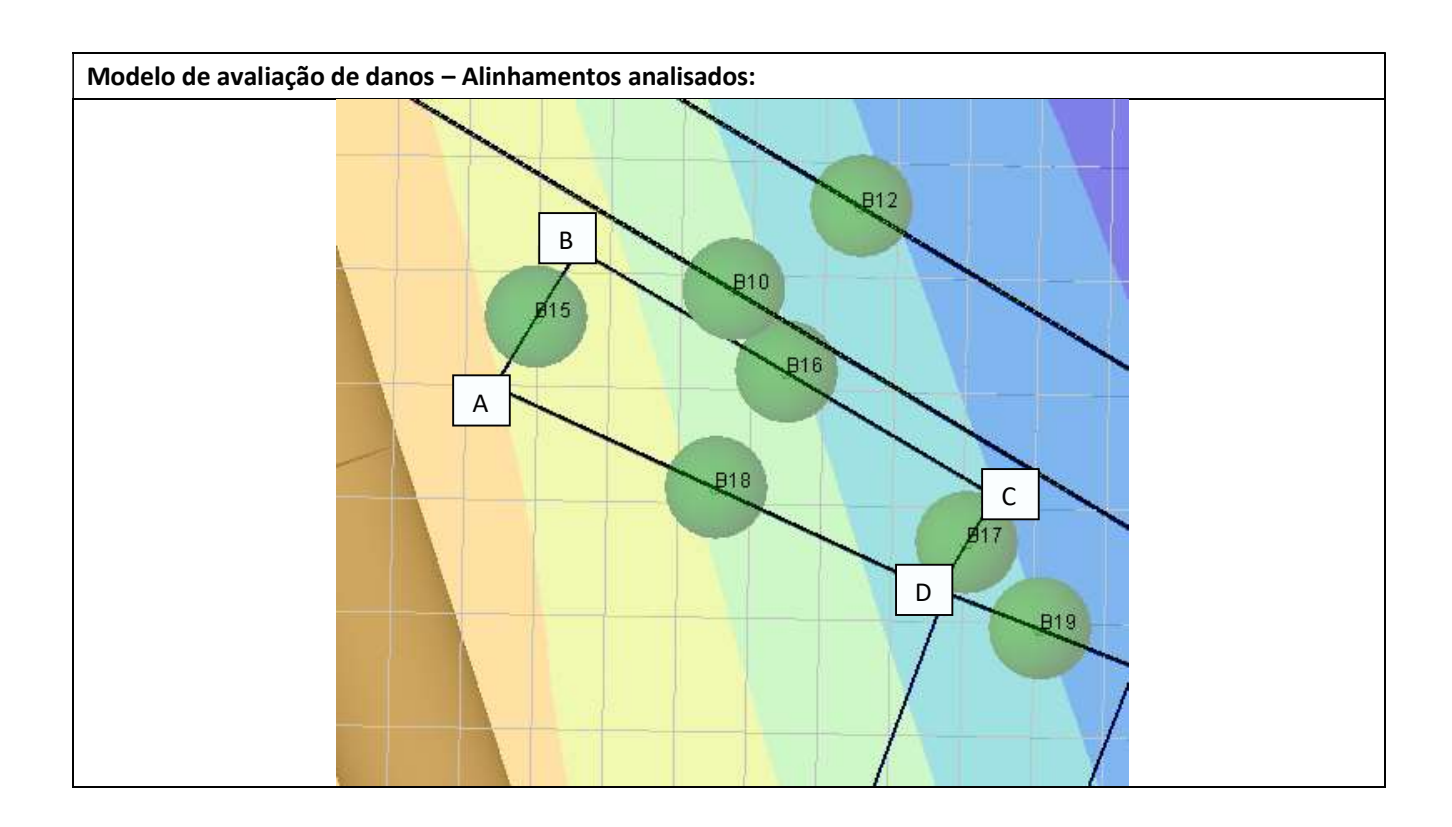


Etapas de construção analisadas	Execução da totalidade da obra
Medidas de mitigação	Sem medida de mitigação
Execução da Totalidade da Obra	
Fase de avaliação	Preliminar
Assentamento máximo (mm)	7
Categoria de danos <b>sem fator de agravamento</b> da categoria para edifícios/estruturas classificados (Burland, 1995)	Empena A-B — Categoria 0 Empena B-C — Categoria 0 Empena C-D — Categoria 0 Empena D-A — Categoria 0
B12 B10 B15 B15	Building Results  Sensitivity Cat. 0 (Negligible) Cat. 1 (Very Slight) Cat. 2 (Slight) Cat. 3 (Moderate) Cat. 4 (Severe)  Displacement - Z - Elastic 0: 2.000 mm 2.000: 4.000 mm

Pág. 2 of 8 Revisão: 0 (11/10/2024)

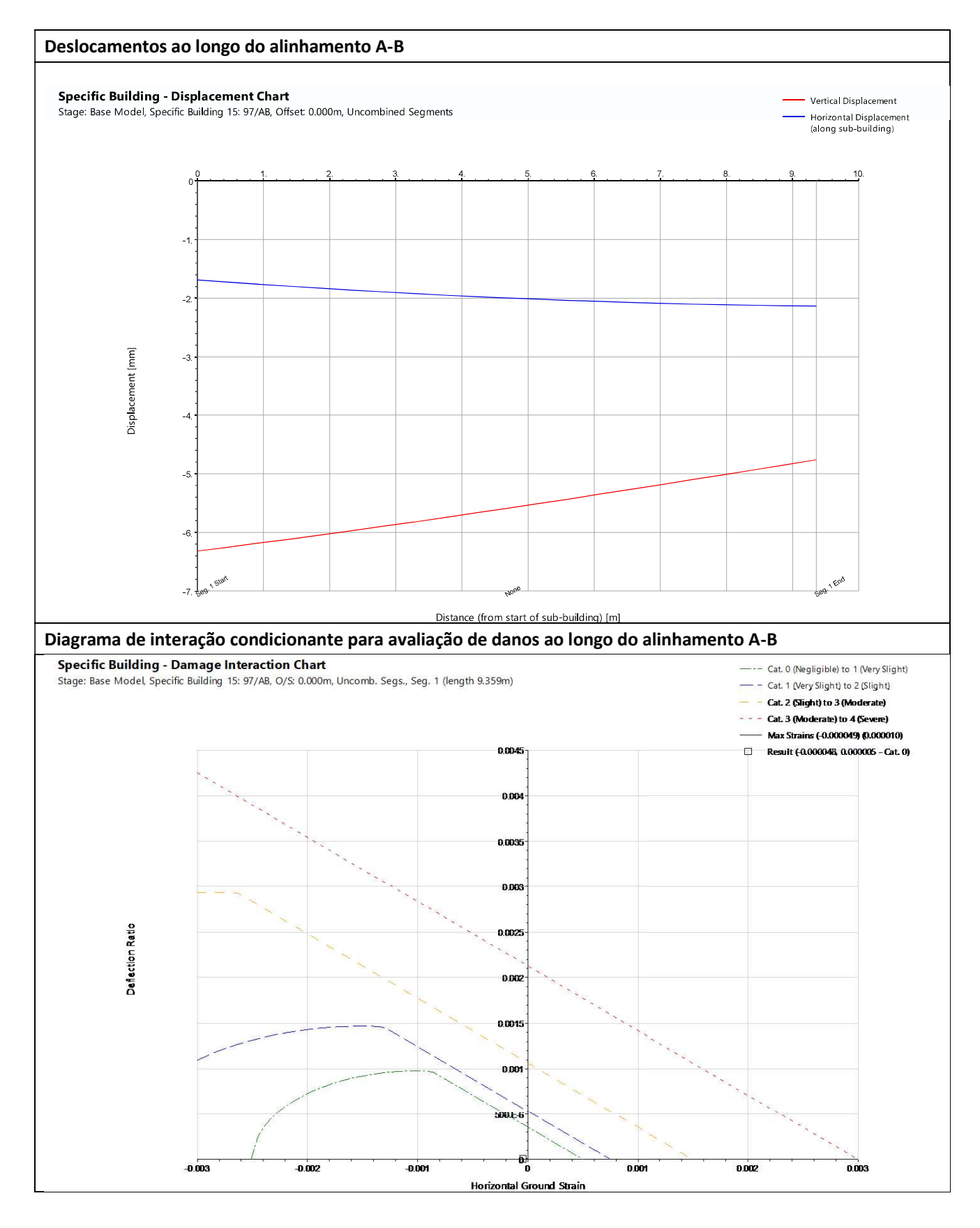






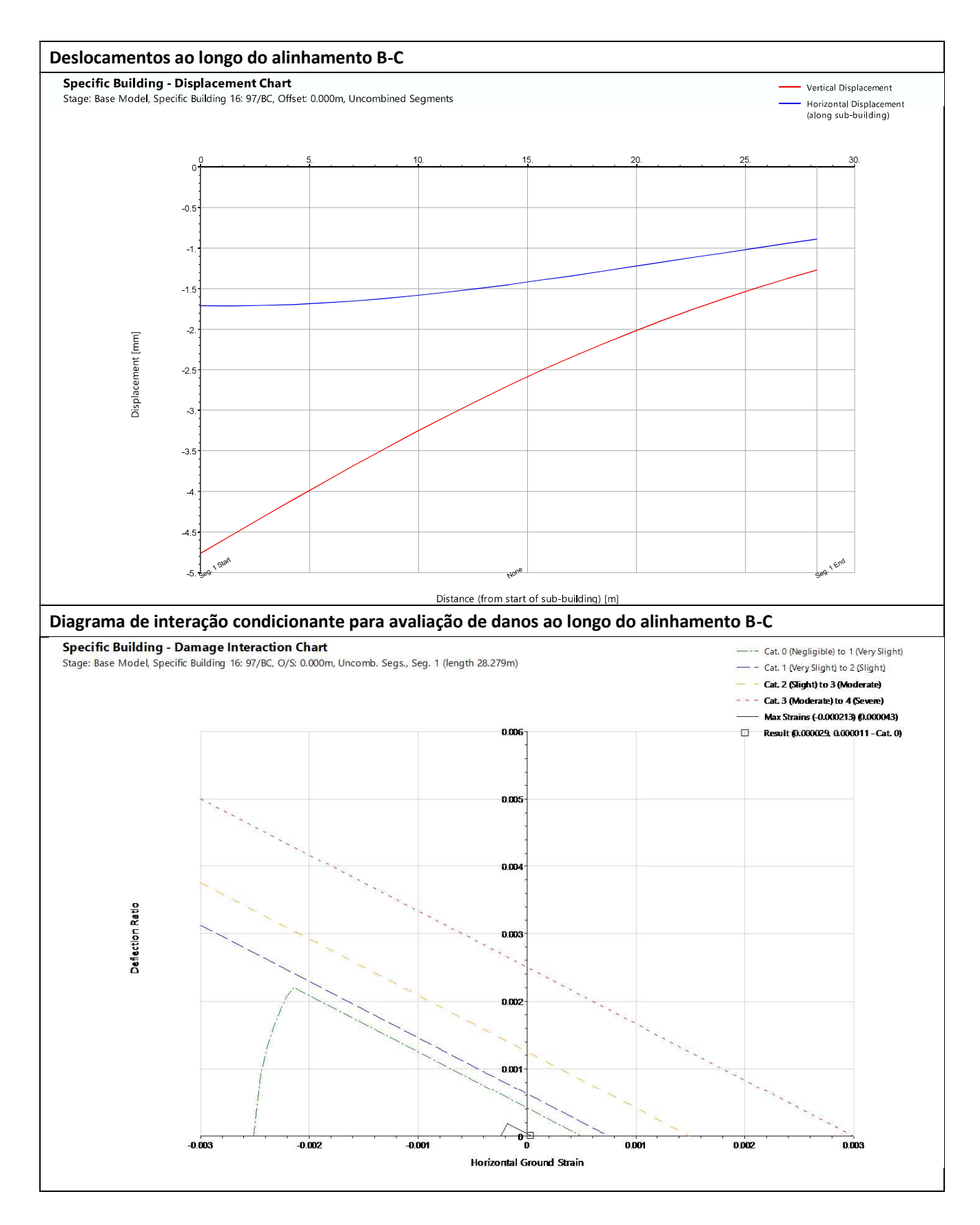
Pág. 3 of 8 Revisão: 0 (11/10/2024)





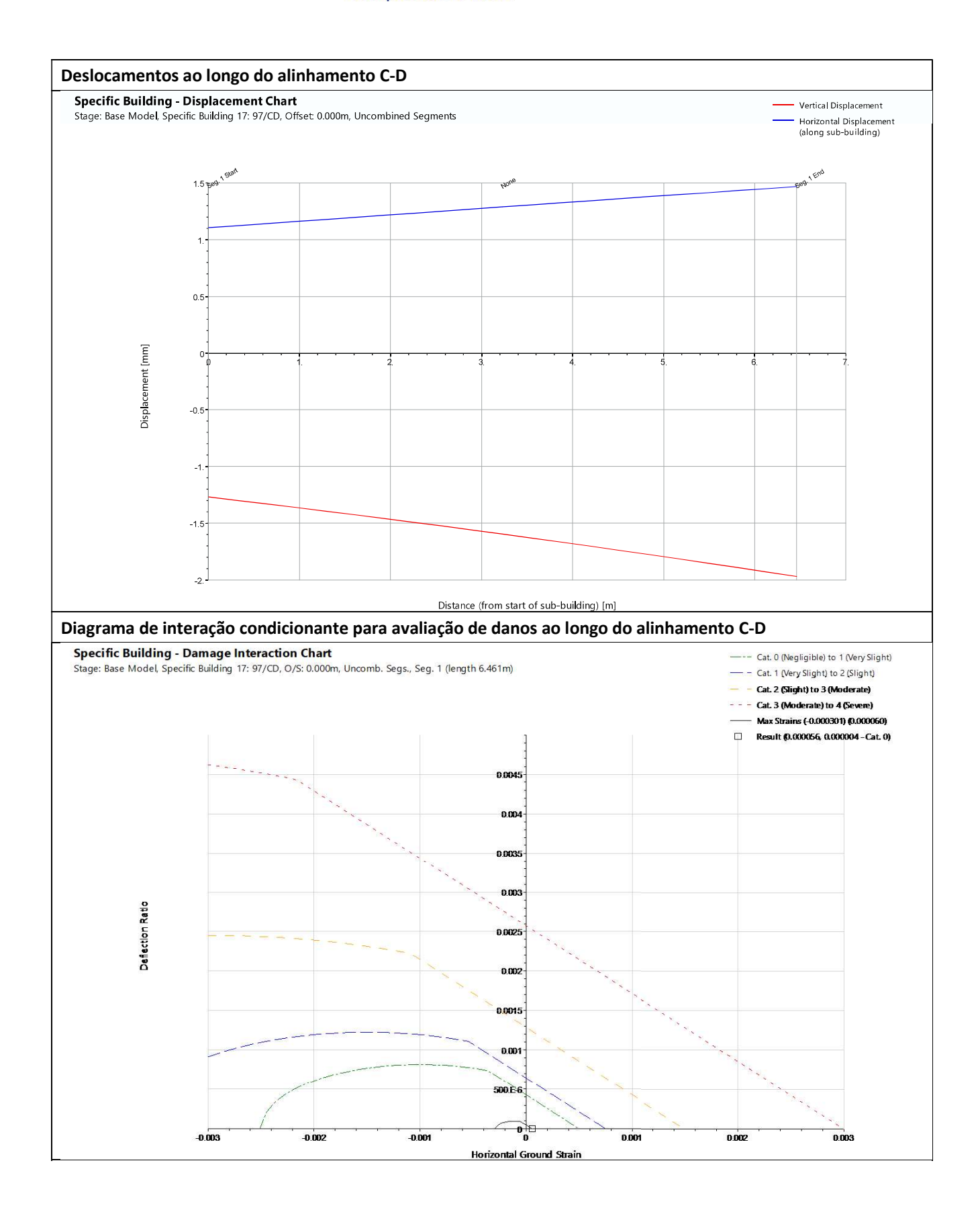
Pág. 4 of 8 Revisão: 0 (11/10/2024)





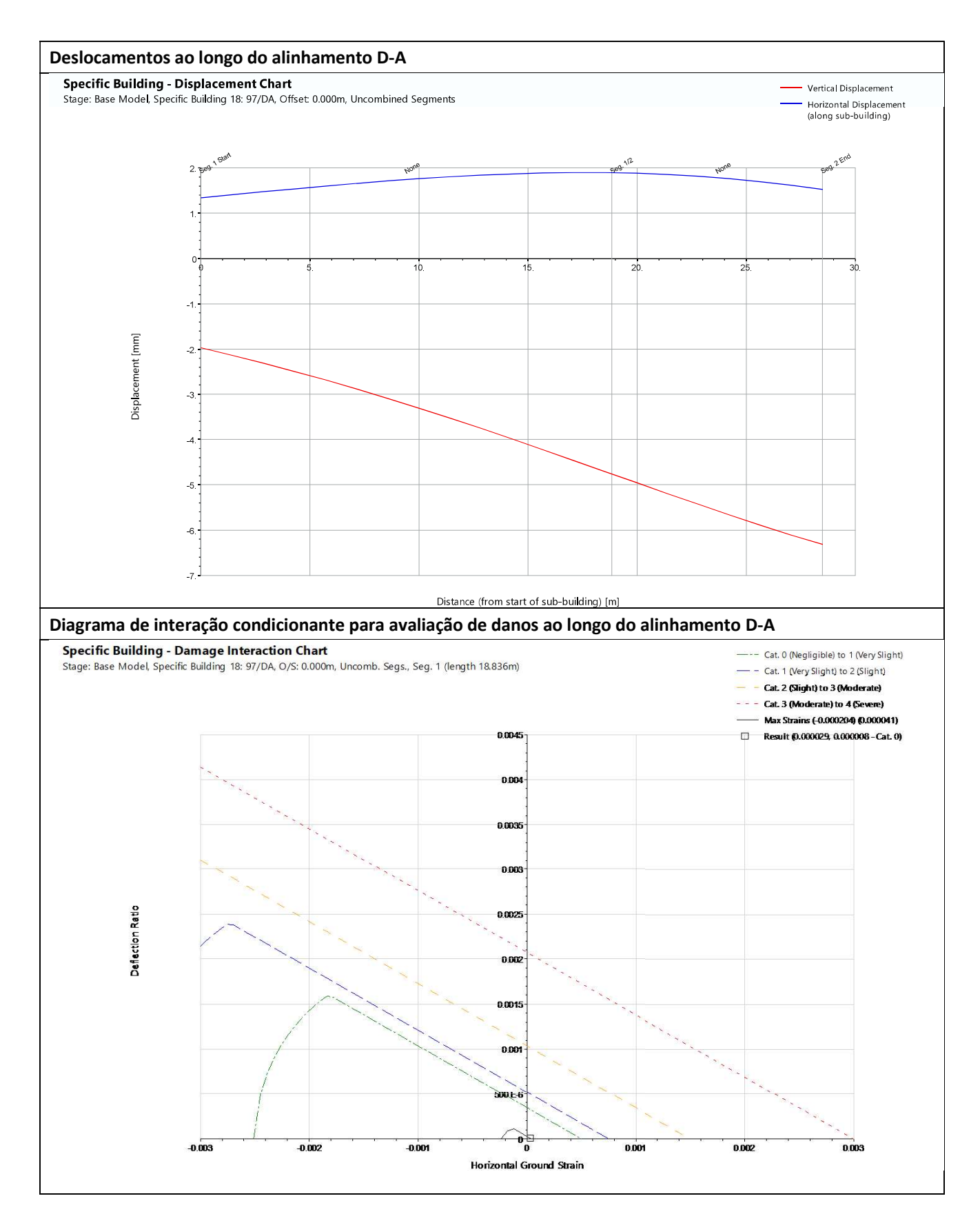
Pág. 5 of 8 Revisão: 0 (11/10/2024)





Pág. 6 of 8 Revisão: 0 (11/10/2024)





Pág. 7 of 8 Revisão: 0 (11/10/2024)





Pág. 8 of 8 Revisão: 0 (11/10/2024)





Ficha de avaliação de danos	
Características gerais	
Número da interferência	98
Categoria	Edifício Público
Localização	Quartel Campo de Ourique, 3
Composição	? Caves + 2 Pisos
Tipo de estrutura	Betão armado
Tipo de Fundação	Direta
Cobertura	Telhado
Revestimento das fachadas	Reboco
Cadastro	Não
Mapa de localização e vista isométrica do edifício	
Danos visíveis	
Fissuras	Sim
Eflorescências	Sim
Deslocamentos	Não
Armaduras à vista	Não
Elementos metálicos danificados	Não
Deformações visíveis	Não
Degradação do revestimento	Sim
Descasque e destacamento da pintura	Sim
•	

Pág. 1 of 7 Revisão: 0 (11/10/2024)



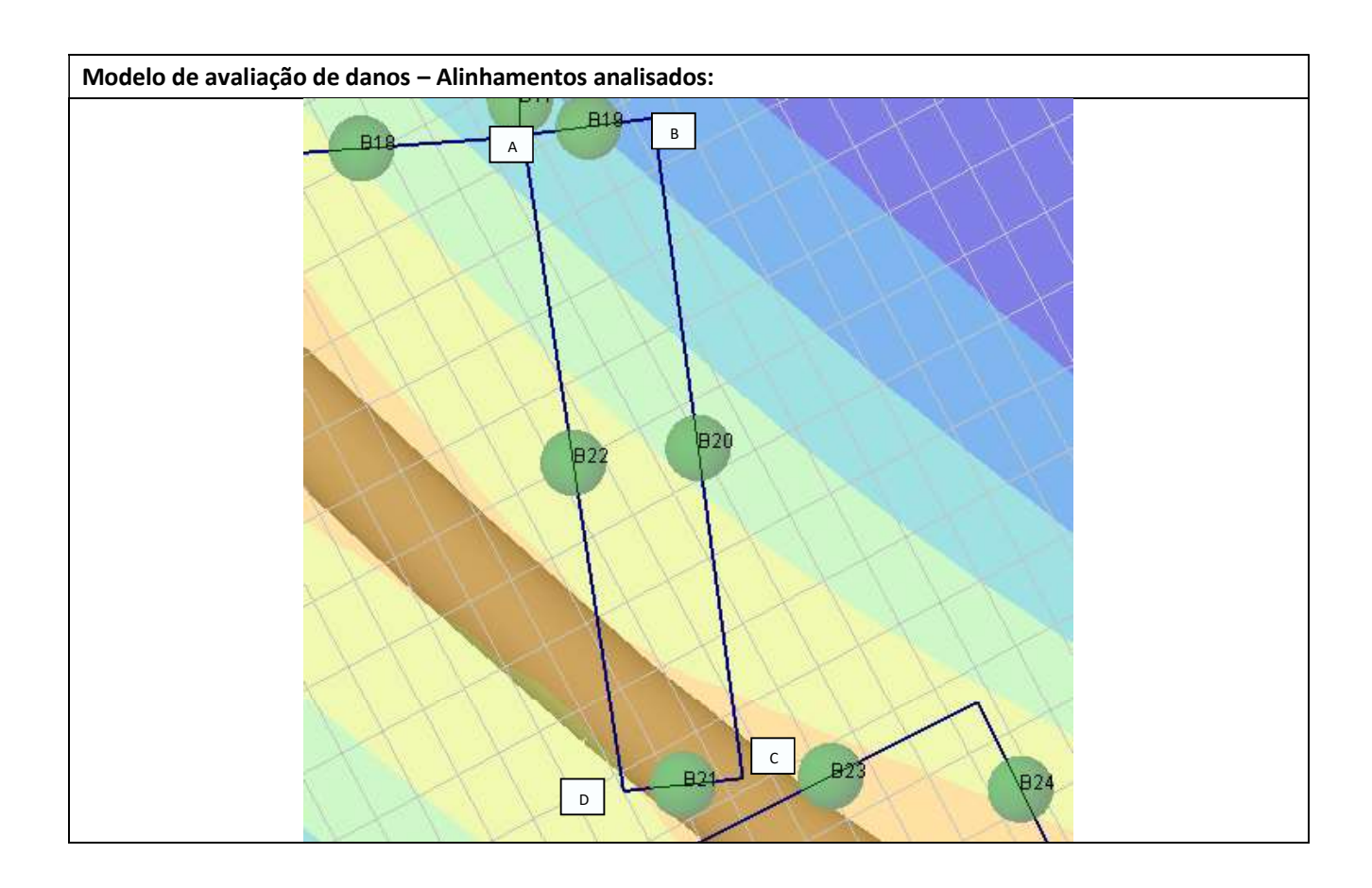


Resultado da avaliação de danos		
Etapas de construção analisadas	Execução da totalidade da obra	
Medidas de mitigação	Sem medida de mitigação	
Execução da Totalidade da Obra		
Fase de avaliação	Preliminar	
Assentamento máximo (mm)	7	
Categoria de danos <b>sem fator de agravamento</b> da categoria para edifícios/estruturas classificados (Burland, 1995)	Empena A-B – Categoria 0 Empena B-C – Categoria 0 Empena C-D – Categoria 0 Empena D-A – Categoria 0	
Vista isométrica do modelo de avaliação de danos – Ass	Building Results  Sentamentos e categoria de danos: Building Results Sensitivity Cat. 0 (Negligible) Cat. 1 (Very Slight) Cat. 2 (Slight) Cat. 3 (Moderate) Cat. 4 (Severe) Displacement - Z - Elastic 0: 2.000 mm 2.000: 4.000 mm 4.000: 6.000 mm 6.000: 8.000 mm 8.000: 10.00 mm 10.00: 12.00 mm	

Pág. 2 of 7 Revisão: 0 (11/10/2024)



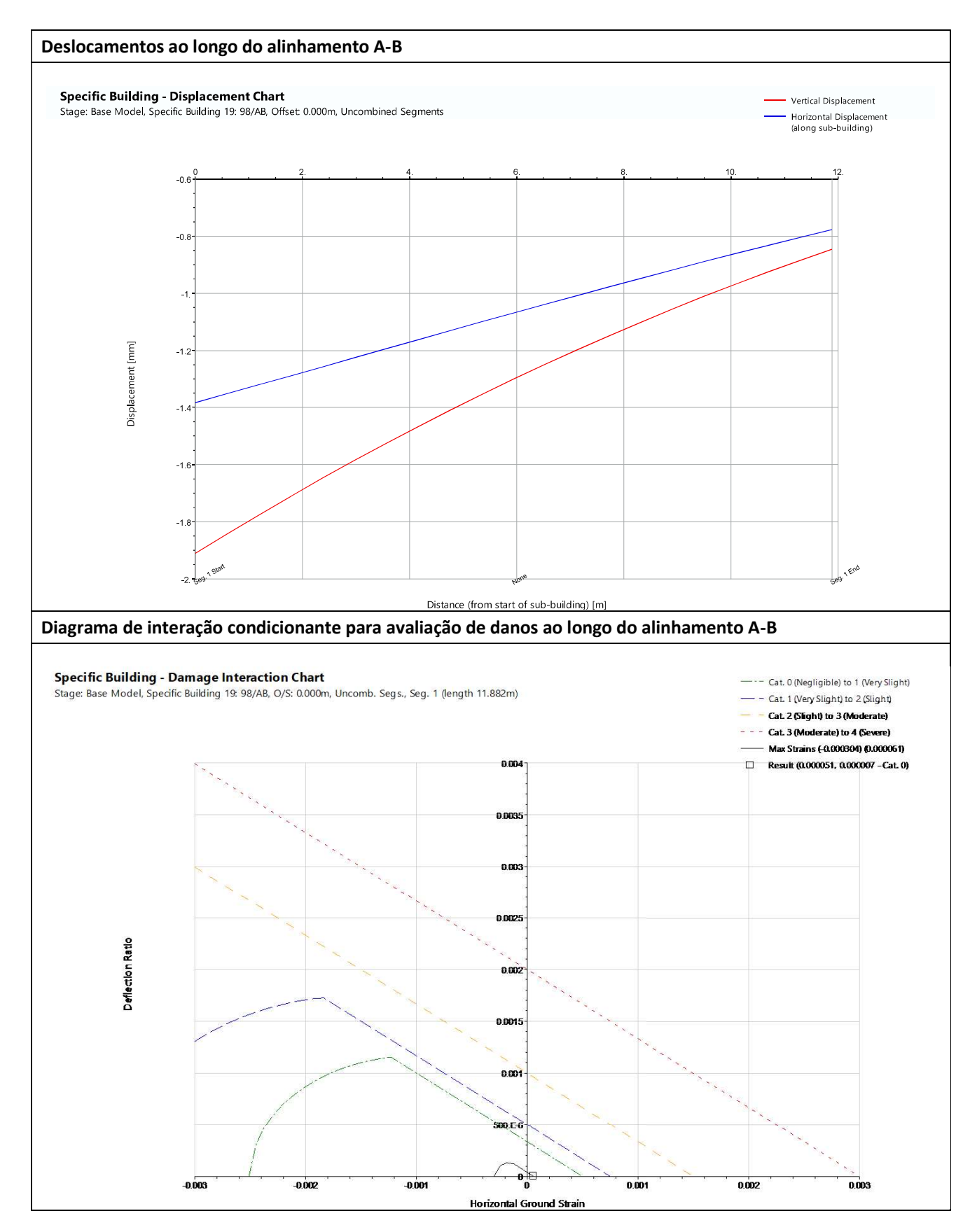




Pág. 3 of 7 Revisão: 0 (11/10/2024)

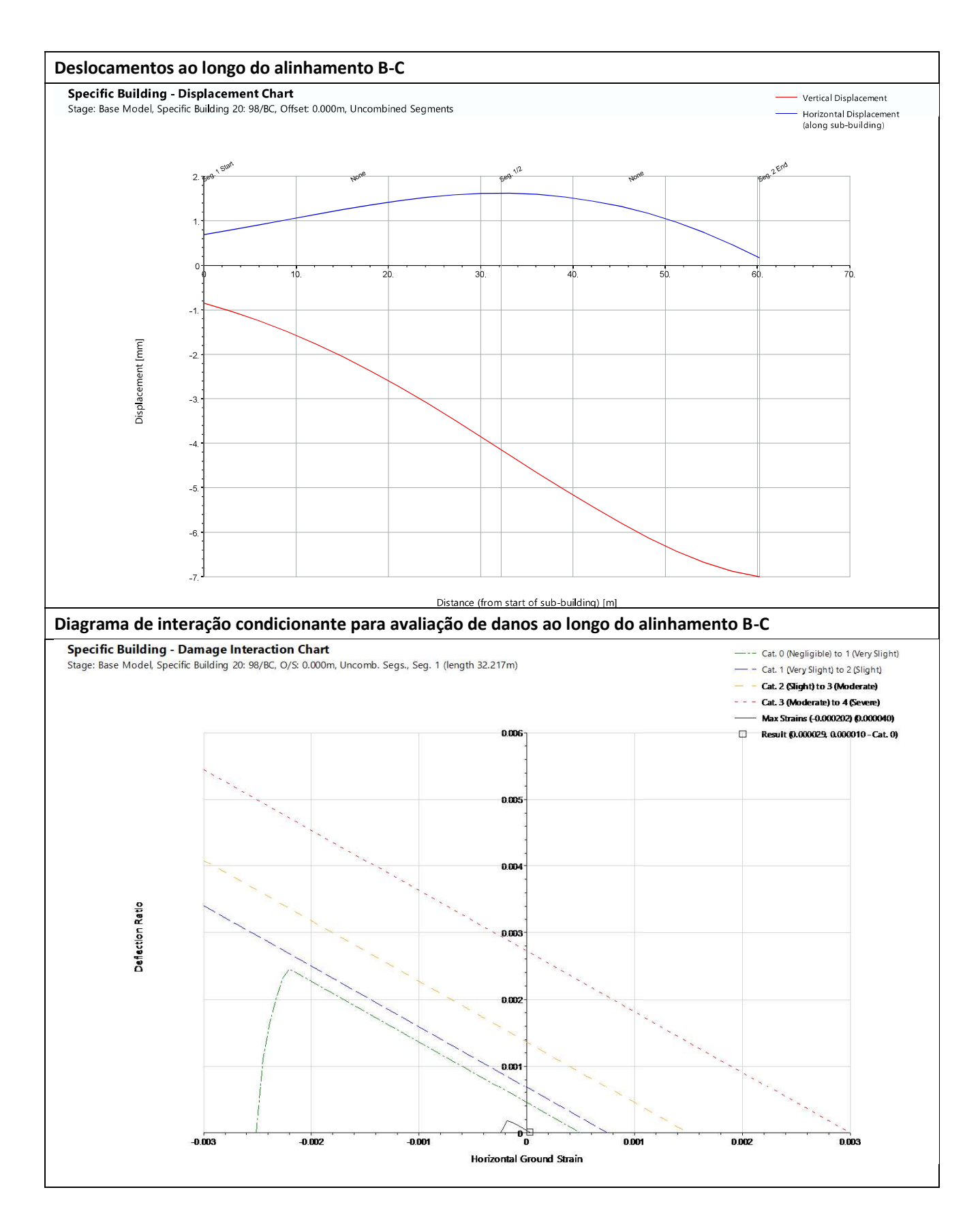






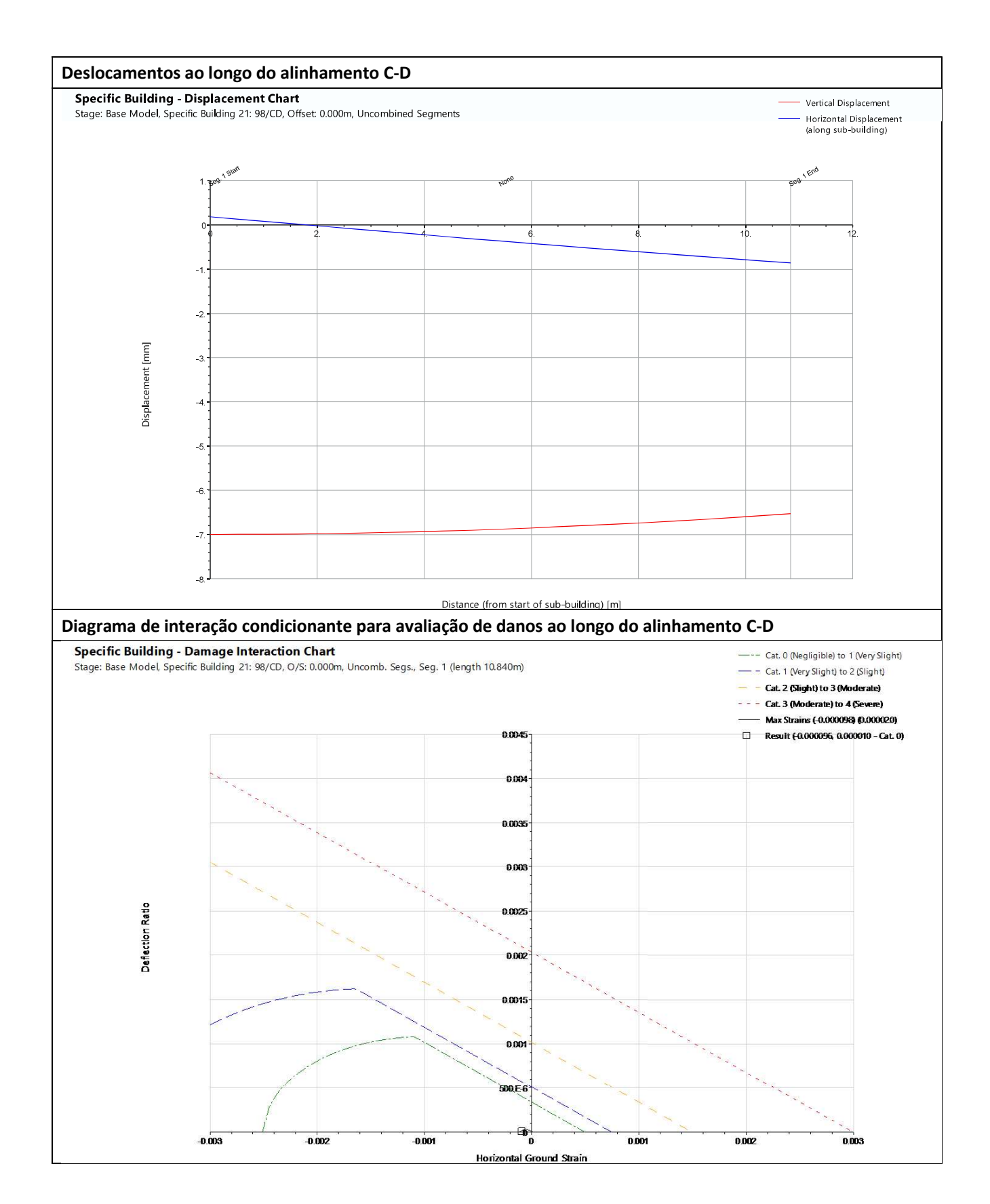
Pág. 4 of 7 Revisão: 0 (11/10/2024)





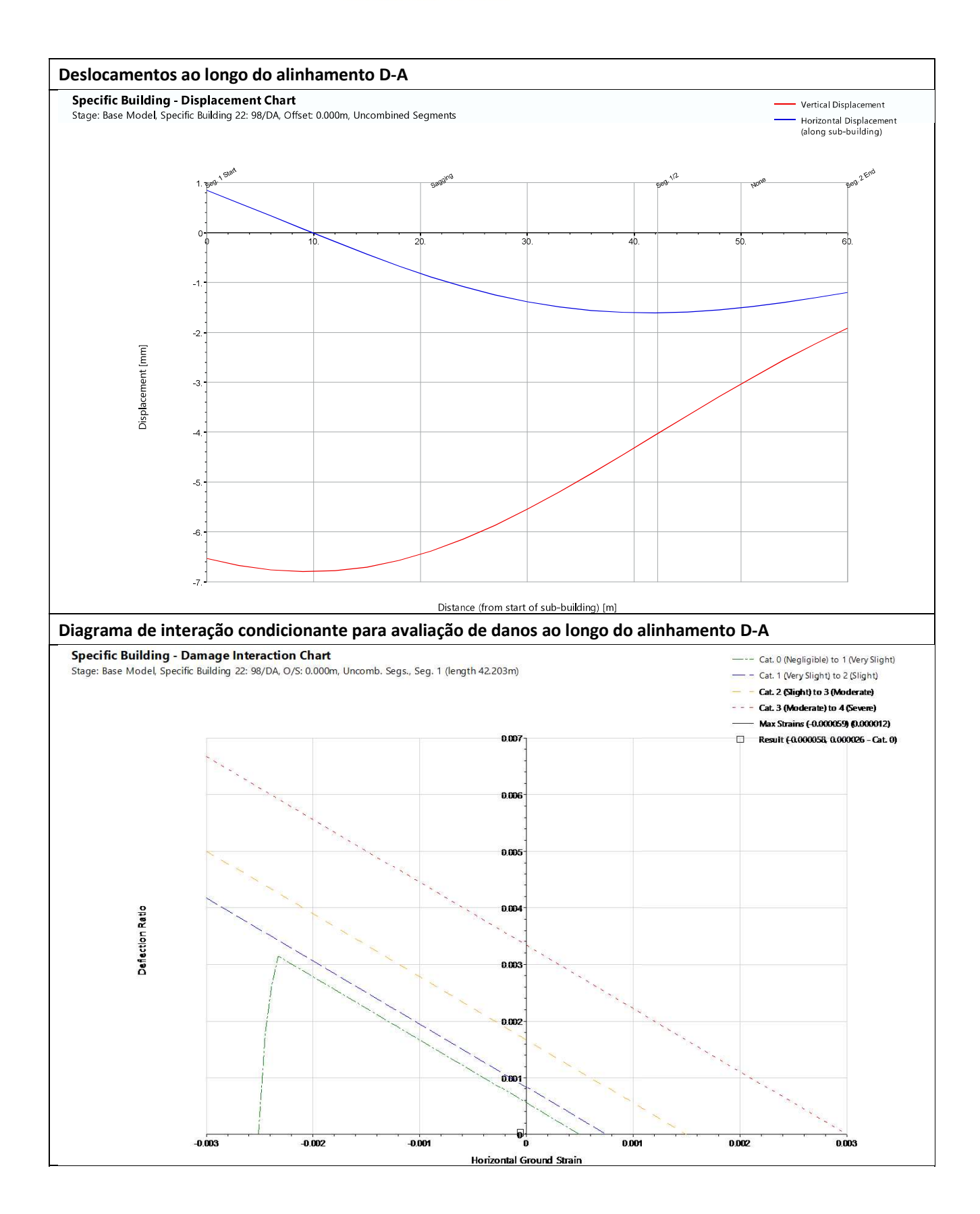
Pág. 5 of 7 Revisão: 0 (11/10/2024)





Pág. 6 of 7 Revisão: 0 (11/10/2024)





Pág. 7 of 7 Revisão: 0 (11/10/2024)

Condição geral





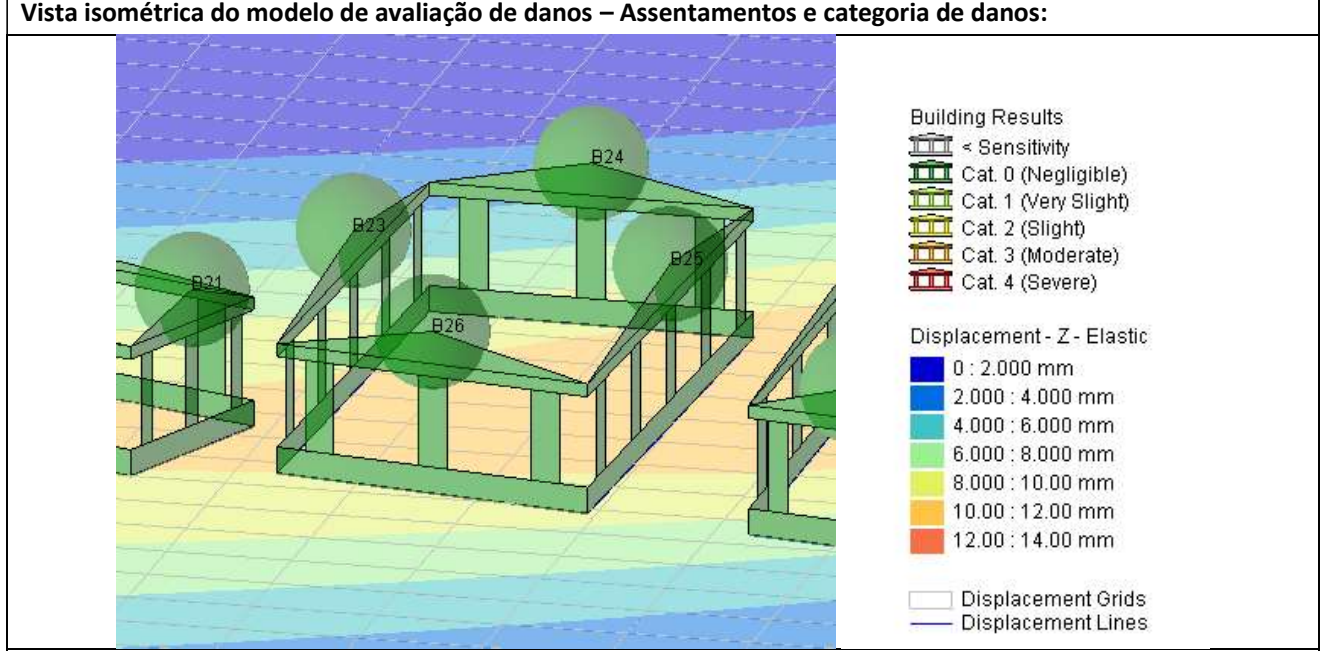
Características gerais	
Número da interferência	99
Categoria	Edifício Público
Localização	Quartel Campo de Ourique, 4
Composição	? Caves + 2 Pisos
Tipo de estrutura	Misto (betão armado/ alvenaria)
Tipo de Fundação	Direta
Cobertura	Telhado
Revestimento das fachadas	Reboco
Cadastro	Não
Mapa de localização e vista isométrica do edifício	
Danos visíveis	
Fissuras	Sim
Eflorescências	Sim
Deslocamentos	Não
Armaduras à vista	Não
Elementos metálicos danificados	Não
Deformações visíveis	Não
Degradação do revestimento	Sim
Descasque e destacamento da pintura	Sim

Pág. 1 of 7 Revisão: 0 (11/10/2024)





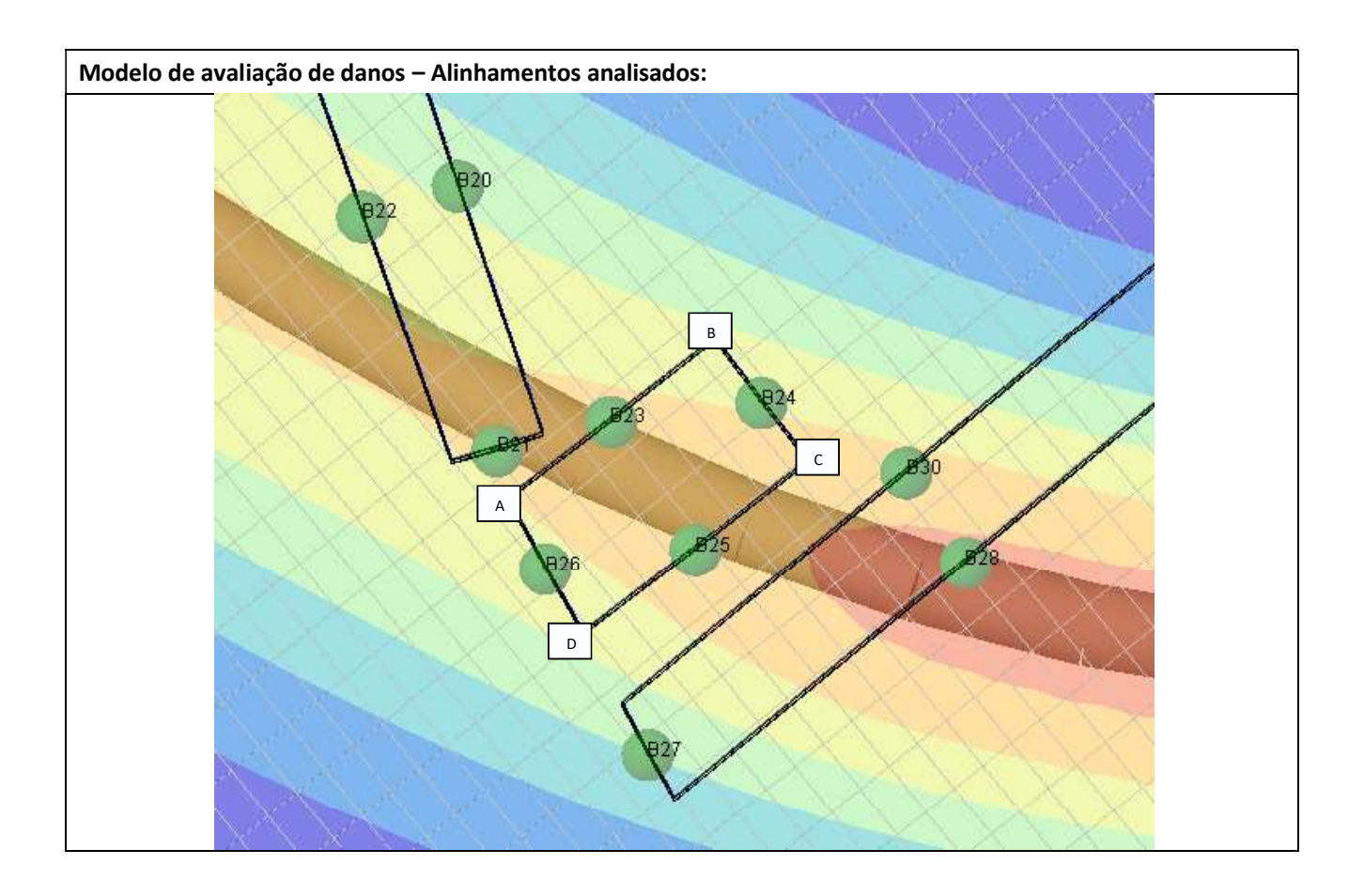
Resultado da avaliação de danos		
Etapas de construção analisadas	Execução da totalidade da obra	
Medidas de mitigação	Sem medida de mitigação	
Execução da Totalidade da Obra		
Fase de avaliação	Preliminar	
Assentamento máximo (mm)	8	
Categoria de danos <b>sem fator de agravamento</b> da categoria para edifícios/estruturas classificados (Burland, 1995)	Lilipella b-C — Calegoria 0	
Vista isométrica do modelo de avaliação de danos – Ass	sentamentos e categoria de danos:	
## ### B24	Building Results  Cat 0 (Negligible)	



Pág. 2 of 7 Revisão: 0 (11/10/2024)

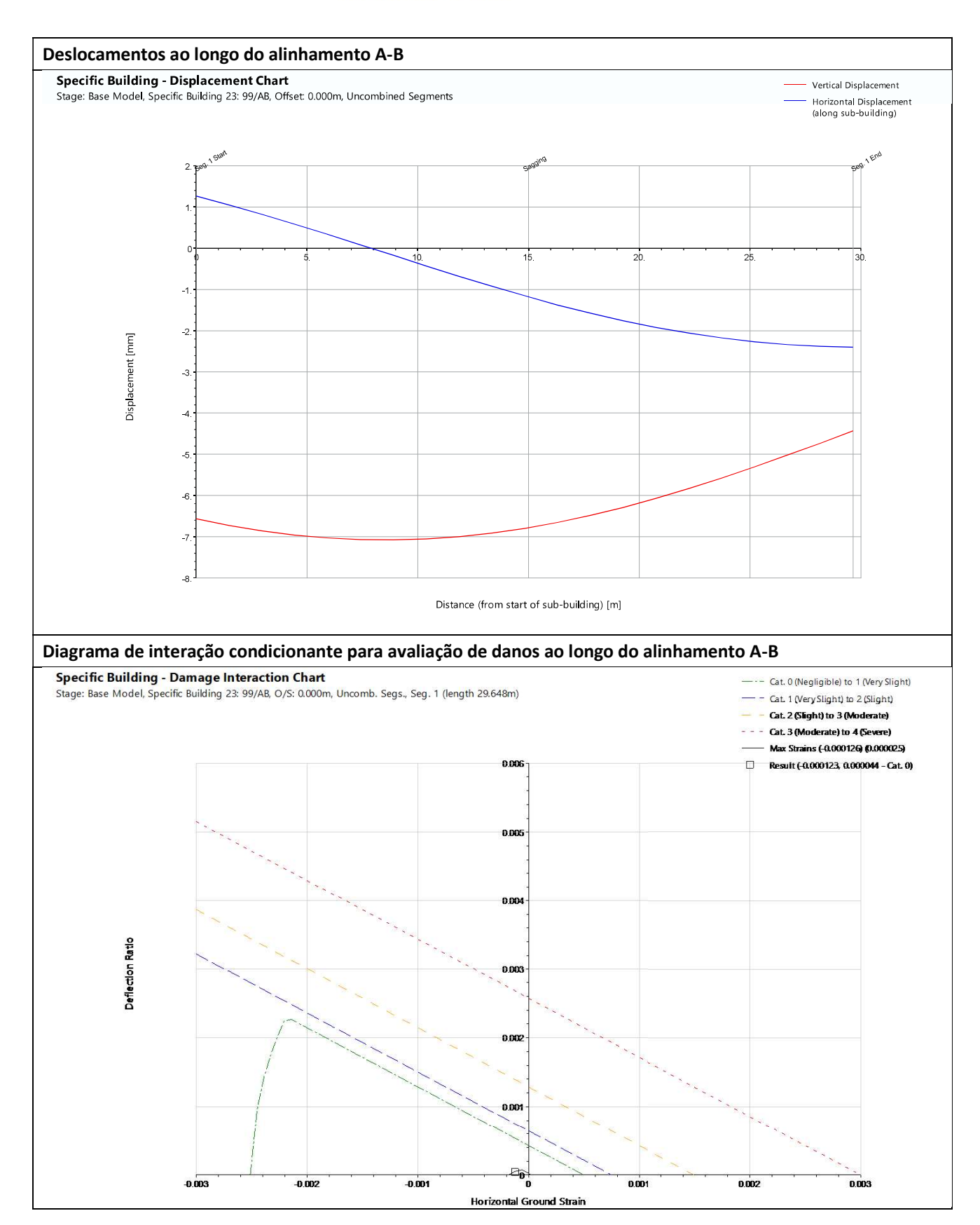






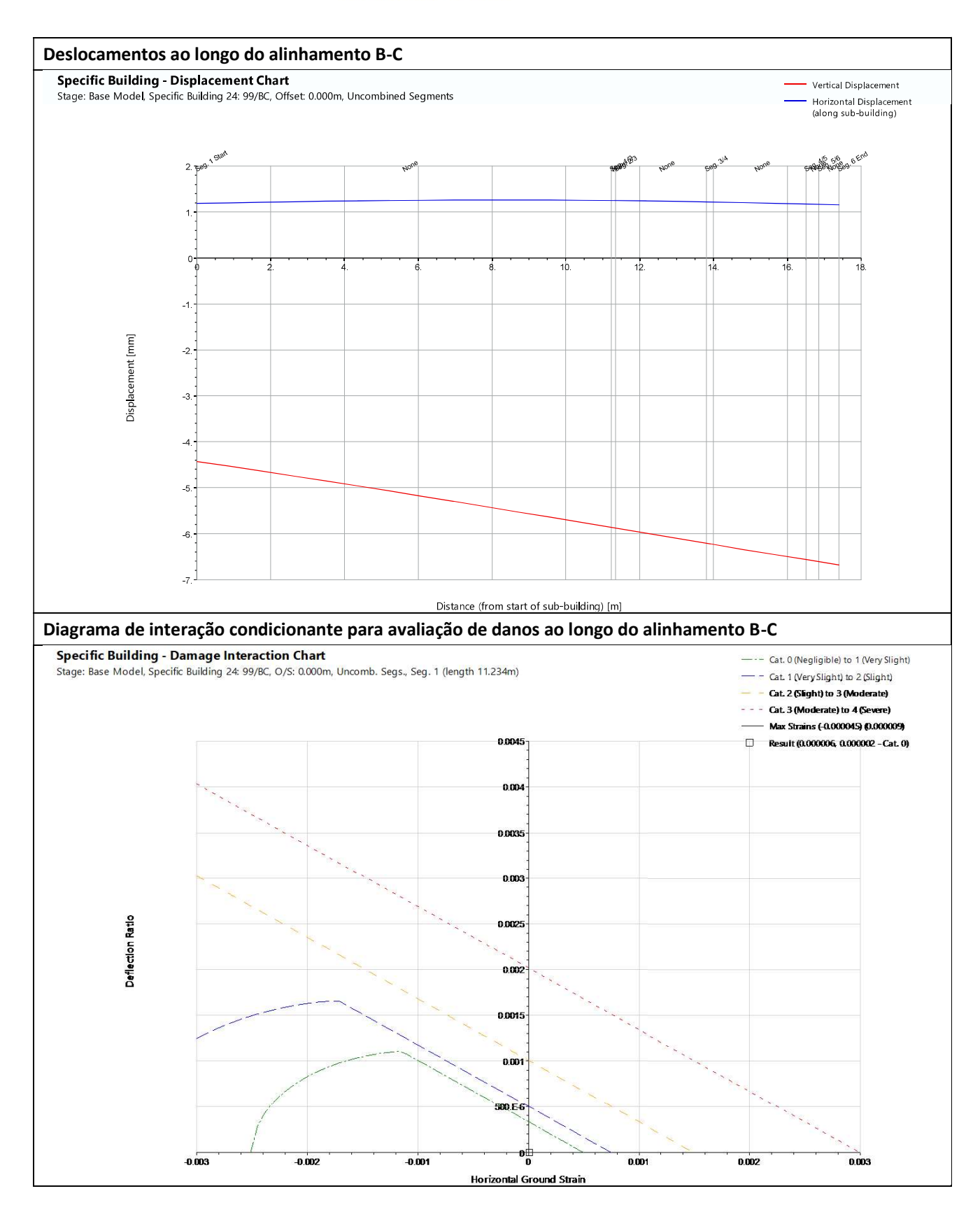
Pág. 3 of 7 Revisão: 0 (11/10/2024)





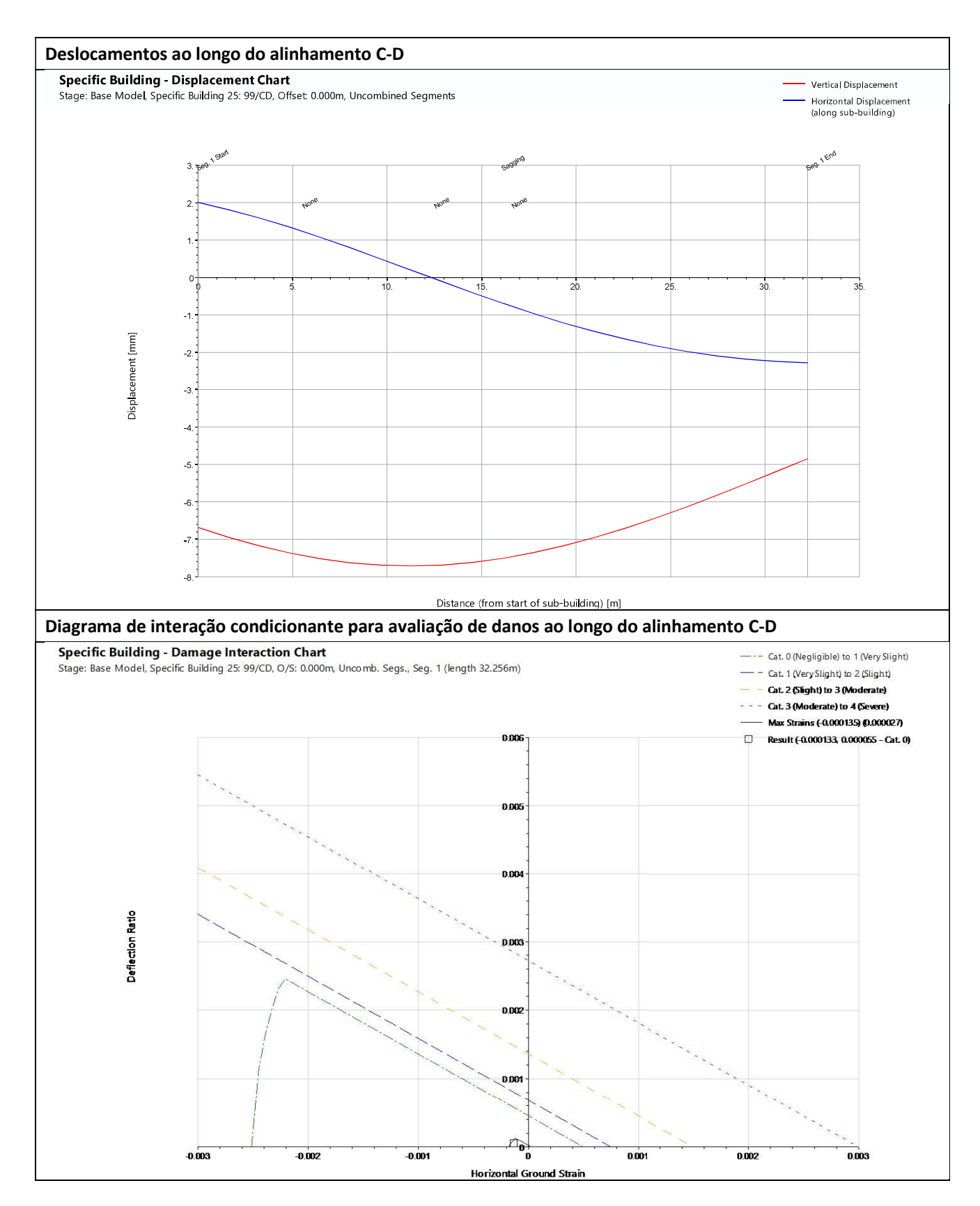
Pág. 4 of 7 Revisão: 0 (11/10/2024)





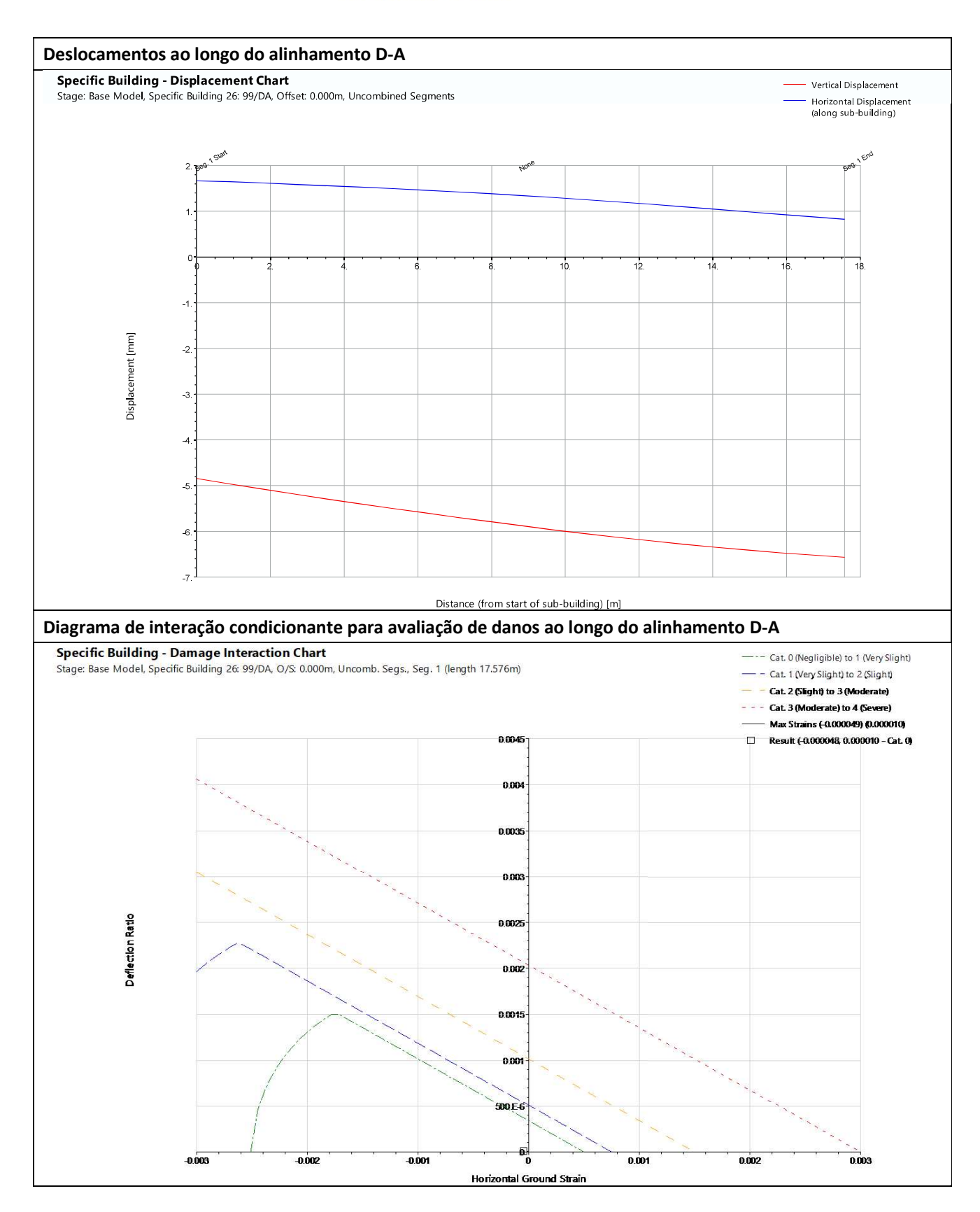
Pág. 5 of 7 Revisão: 0 (11/10/2024)





Pág. 6 of 7 Revisão: 0 (11/10/2024)





Pág. 7 of 7 Revisão: 0 (11/10/2024)





Ficha de avaliação de danos	
Características gerais	
Número da interferência	100 e 101
Categoria	Edifício Publico
Localização	Quartel Campo de Ourique, 5 e 6, respetivamente
Composição	? Caves + 2 Pisos
Tipo de estrutura	Misto (betão armado/ alvenaria)
Tipo de Fundação	Direta
Cobertura	Telhado
Revestimento das fachadas	Reboco
Cadastro	Não

## Mapa de localização e vista isométrica do edifício





Danos visíveis	
Fissuras	Sim
Eflorescências	Sim
Deslocamentos	Não
Armaduras à vista	Não
Elementos metálicos danificados	Não
Deformações visíveis	Não
Degradação do revestimento	Sim
Descasque e destacamento da pintura	Sim
Condição geral	

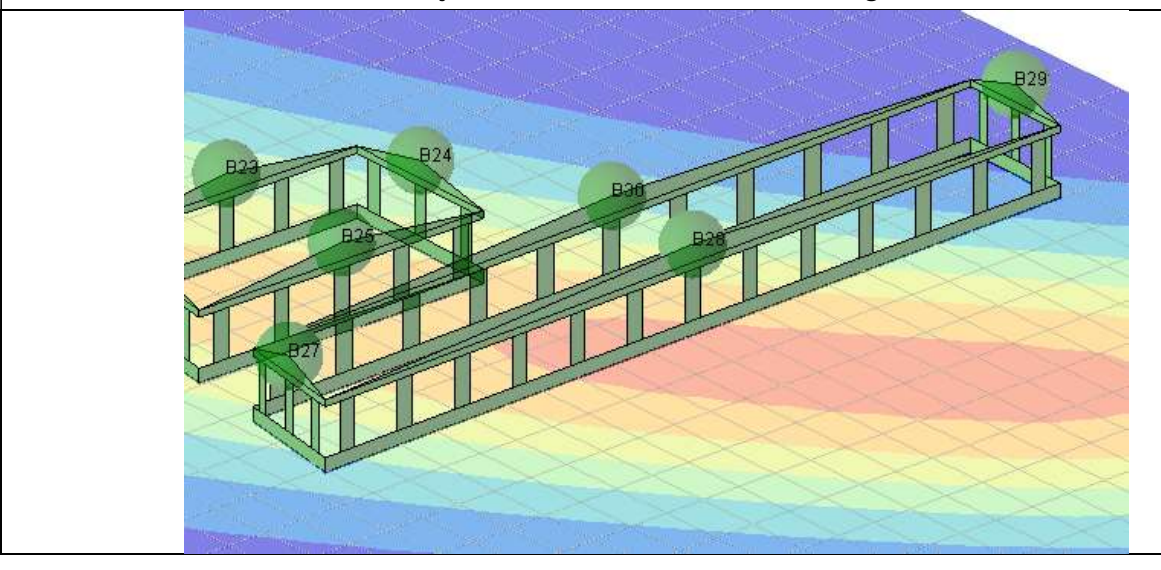
Pág. 1 of 8 Revisão: 0 (11/10/2024)





Resultado da avaliação de danos		
Etapas de construção analisadas Execução da totalidade da obra		
Medidas de mitigação	Sem medida de mitigação	
Execução da Totalidade da Obra		
Fase de avaliação	Preliminar	
Assentamento máximo (mm)	9	
Categoria de danos <b>sem fator de agravamento</b> da categoria para edifícios/estruturas classificados (Burland, 1995)	Empena A-B – Categoria 0 Empena B-C – Categoria 0 Empena C-D – Categoria 0 Empena D-A – Categoria 0	

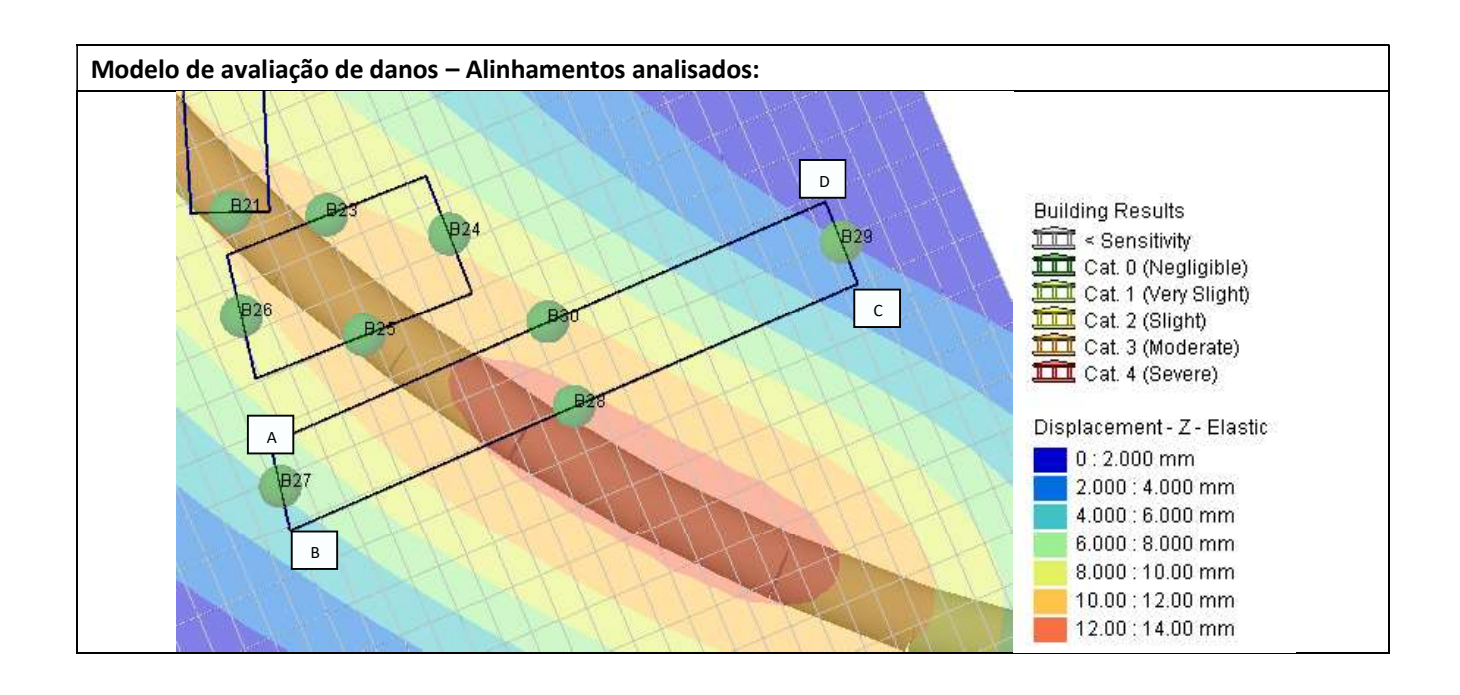
## Vista isométrica do modelo de avaliação de danos – Assentamentos e categoria de danos:



Pág. 2 of 8 Revisão: 0 (11/10/2024)

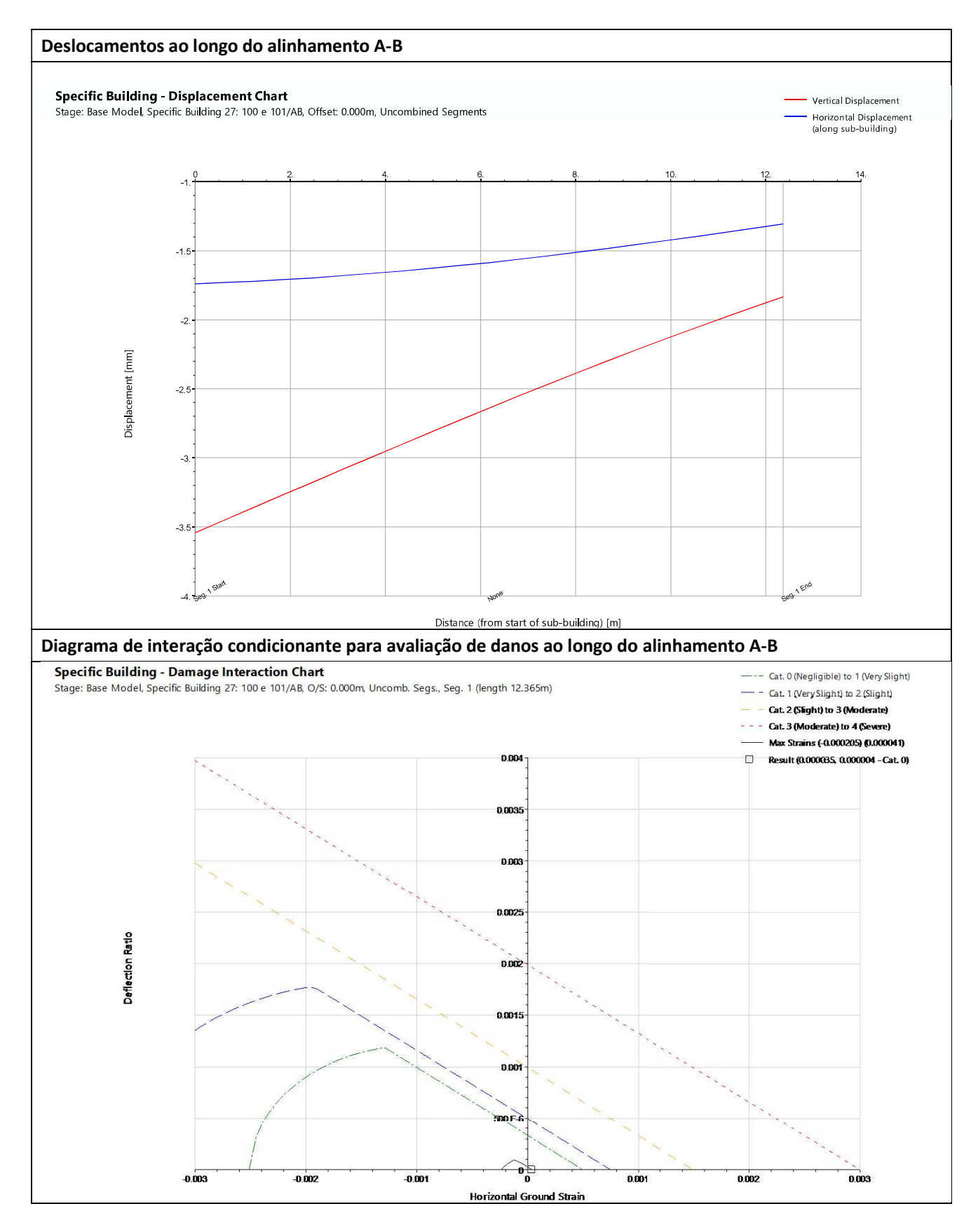






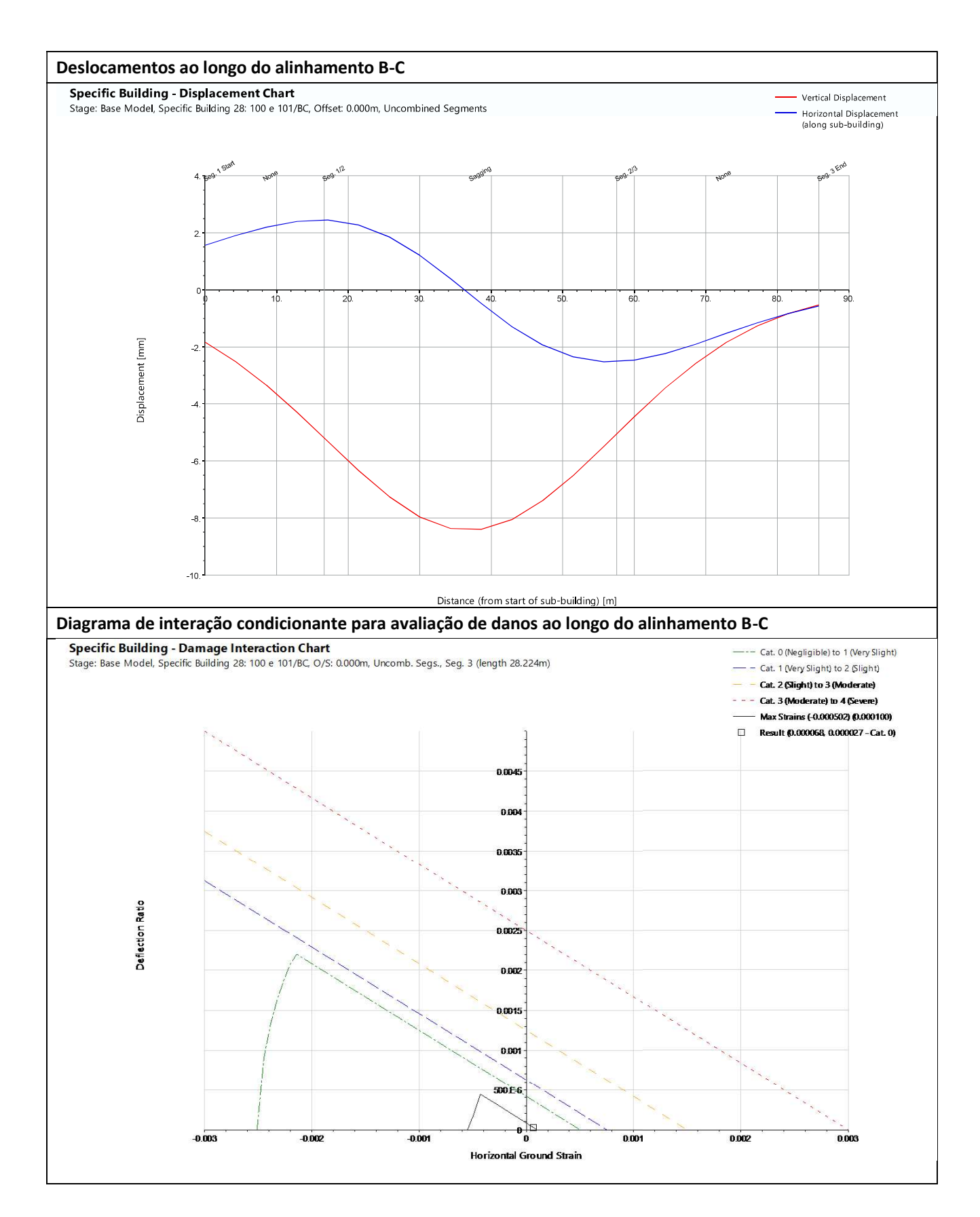
Pág. 3 of 8 Revisão: 0 (11/10/2024)





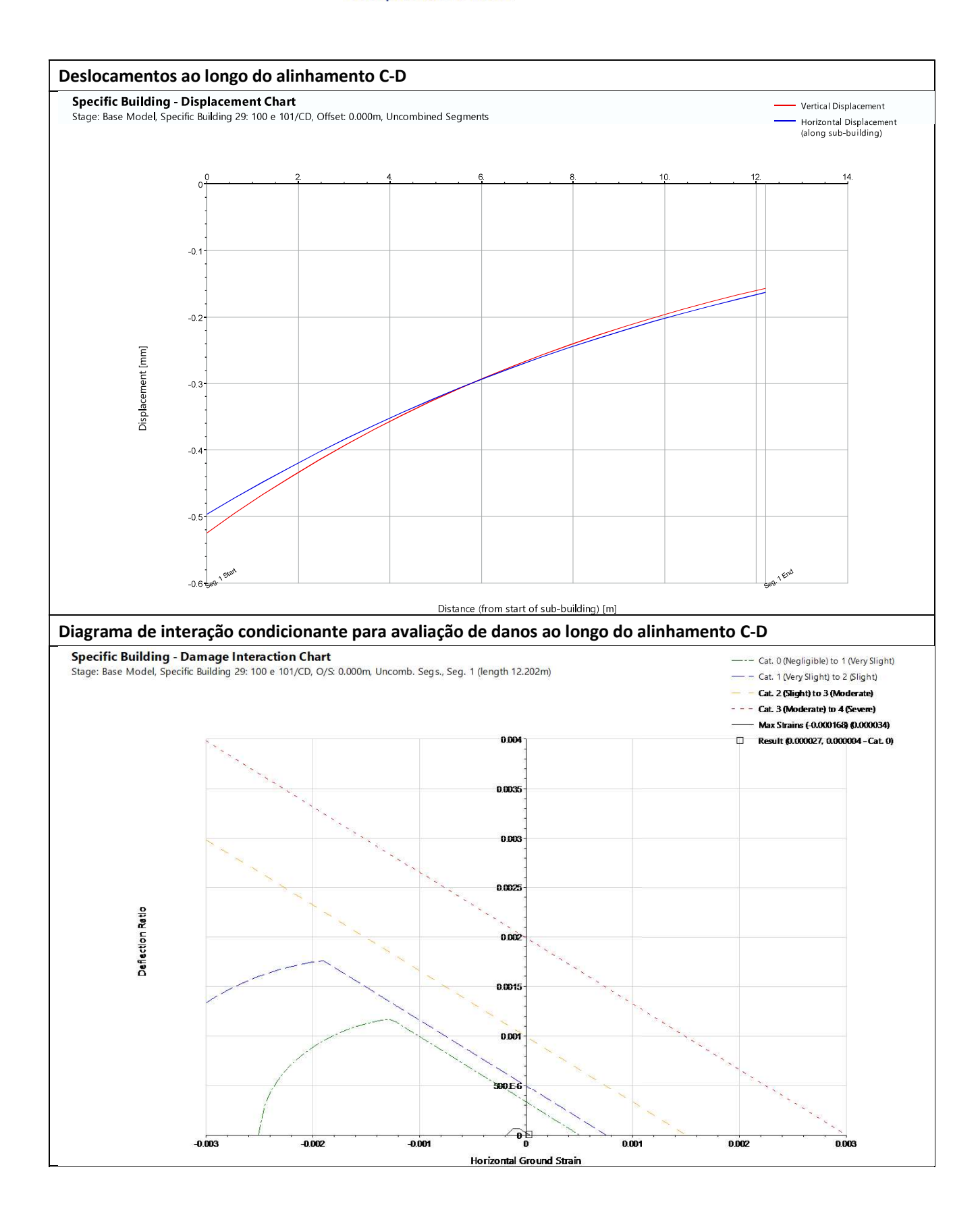
Pág. 4 of 8 Revisão: 0 (11/10/2024)





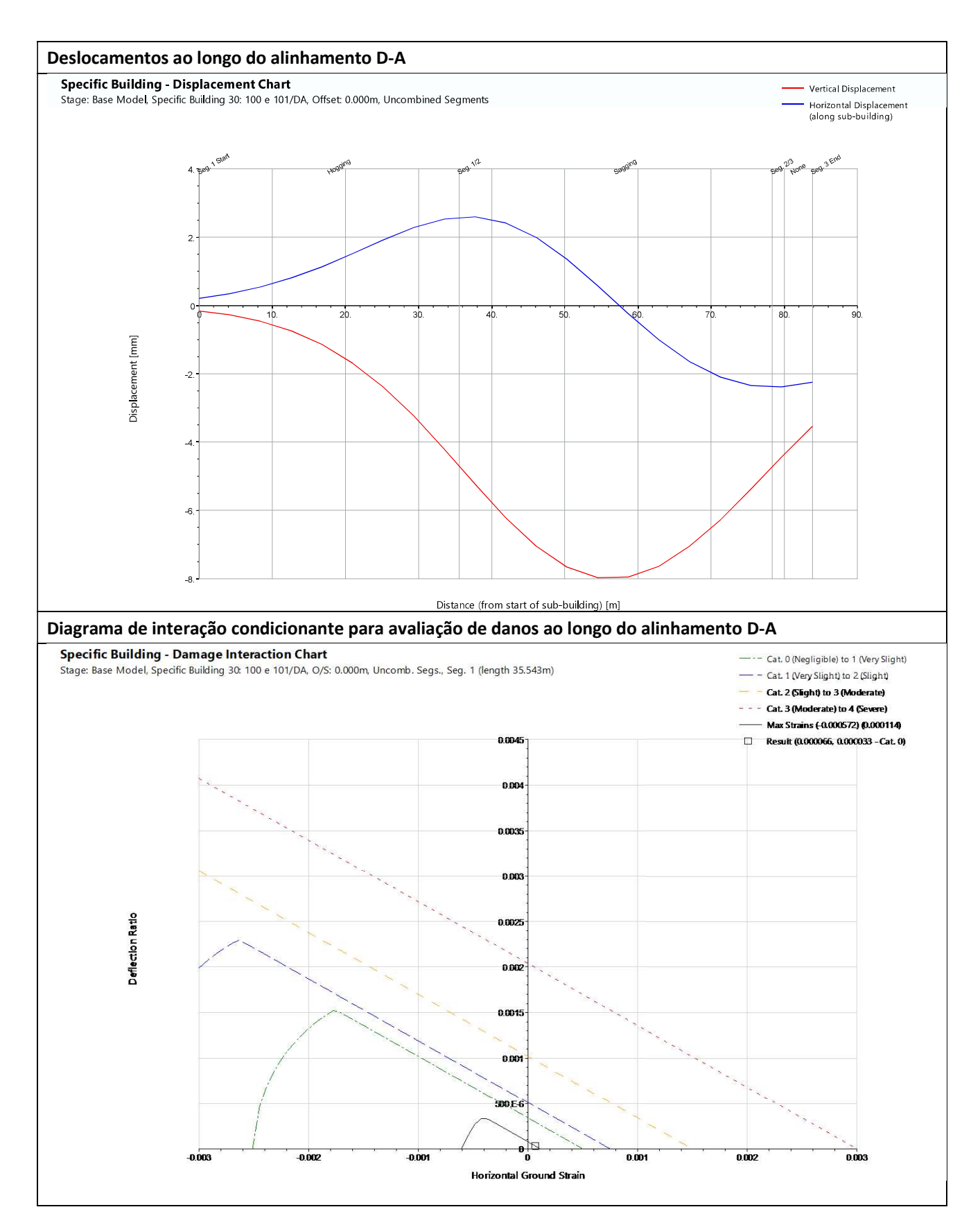
Pág. 5 of 8 Revisão: 0 (11/10/2024)





Pág. 6 of 8 Revisão: 0 (11/10/2024)





Pág. 7 of 8 Revisão: 0 (11/10/2024)





Pág. 8 of 8 Revisão: 0 (11/10/2024)



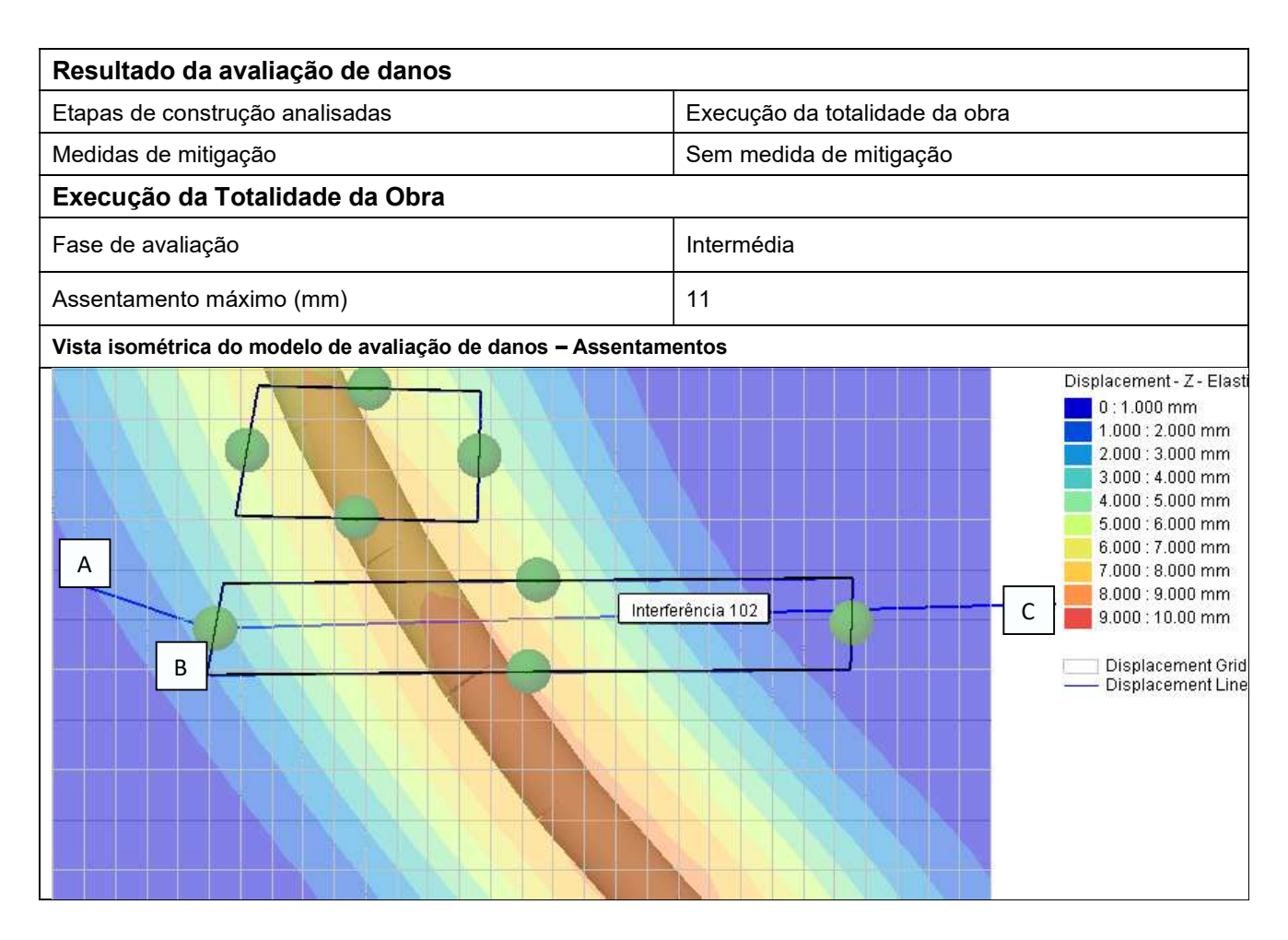


Ficha de avaliação de danos	
Características gerais	
Número da interferência	102
Categoria	Aqueduto
Localização	Rua Ferreira Borges (Quartel Campo de Ourique)
Composição	Estrutura Enterrada
Tipo de estrutura	Alvenaria
Tipo de Fundação	Direta
Cobertura	NA
Revestimento das fachadas	NA
Cadastro	Não
Mapa de localização	
Danos visíveis	
Fissuras	Desconhecido
Eflorescências	Desconhecido
Deslocamentos	Desconhecido
Armaduras à vista	Desconhecido
Elementos metálicos danificados	Desconhecido
Deformações visíveis	Desconhecido
Degradação do revestimento	Desconhecido
Descasque e destacamento da pintura	Desconhecido
Condição geral	Desconhecido

Pág. 1 of 3 Revisão: 0 (11/10/2024)

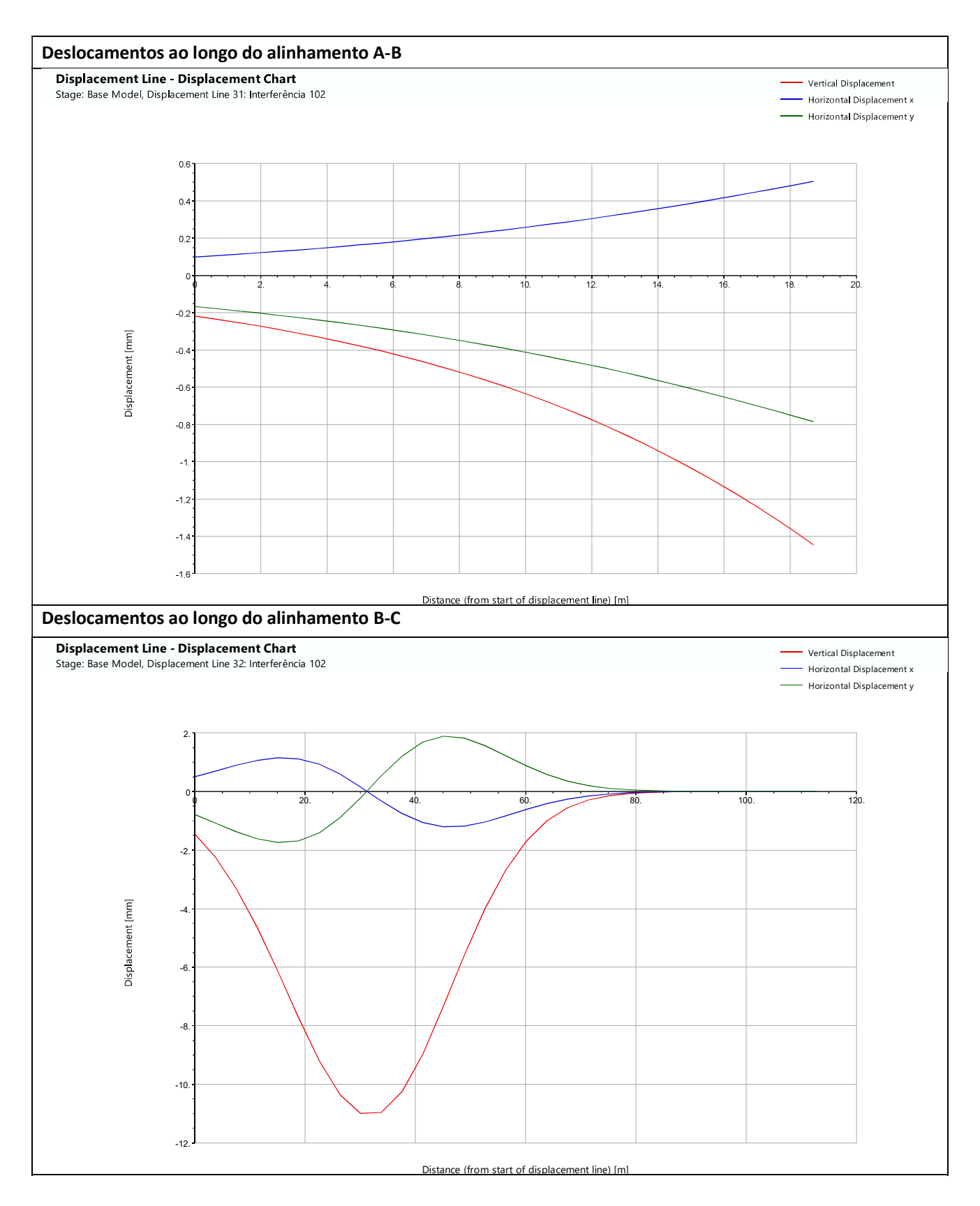






Pág. 2 of 3 Revisão: 0 (11/10/2024)





Pág. 3 of 3 Revisão: 0 (11/10/2024)



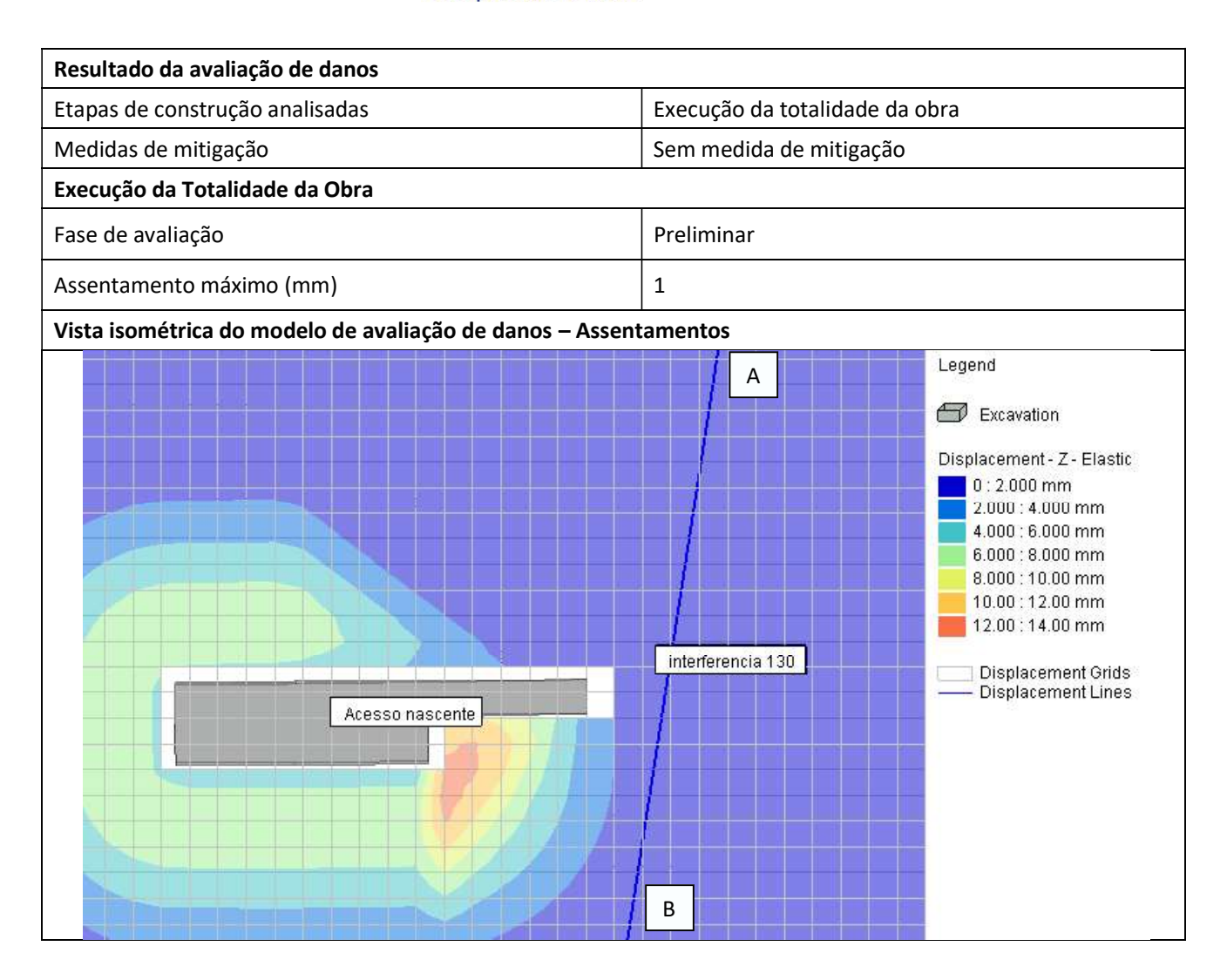


Ficha de avaliação de danos	
Características gerais	
Número da interferência	130
Categoria	Aqueduto
Localização	Rua Ferreira Borges
Composição	Estrutura Enterrada
Tipo de estrutura	Alvenaria
Tipo de Fundação	Direta
Cobertura	NA
Revestimento das fachadas	NA
Cadastro	Não
Mapa de localização	
Danos visíveis	
Fissuras	Desconhecido
Eflorescências	Desconhecido
Deslocamentos	Desconhecido
Armaduras à vista	Desconhecido
Elementos metálicos danificados	Desconhecido
Deformações visíveis	Desconhecido
Degradação do revestimento	Desconhecido
Descasque e destacamento da pintura	Desconhecido
Condição geral	Desconhecido

Pág. 1 of 3 Revisão: 0 (11/10/2024)



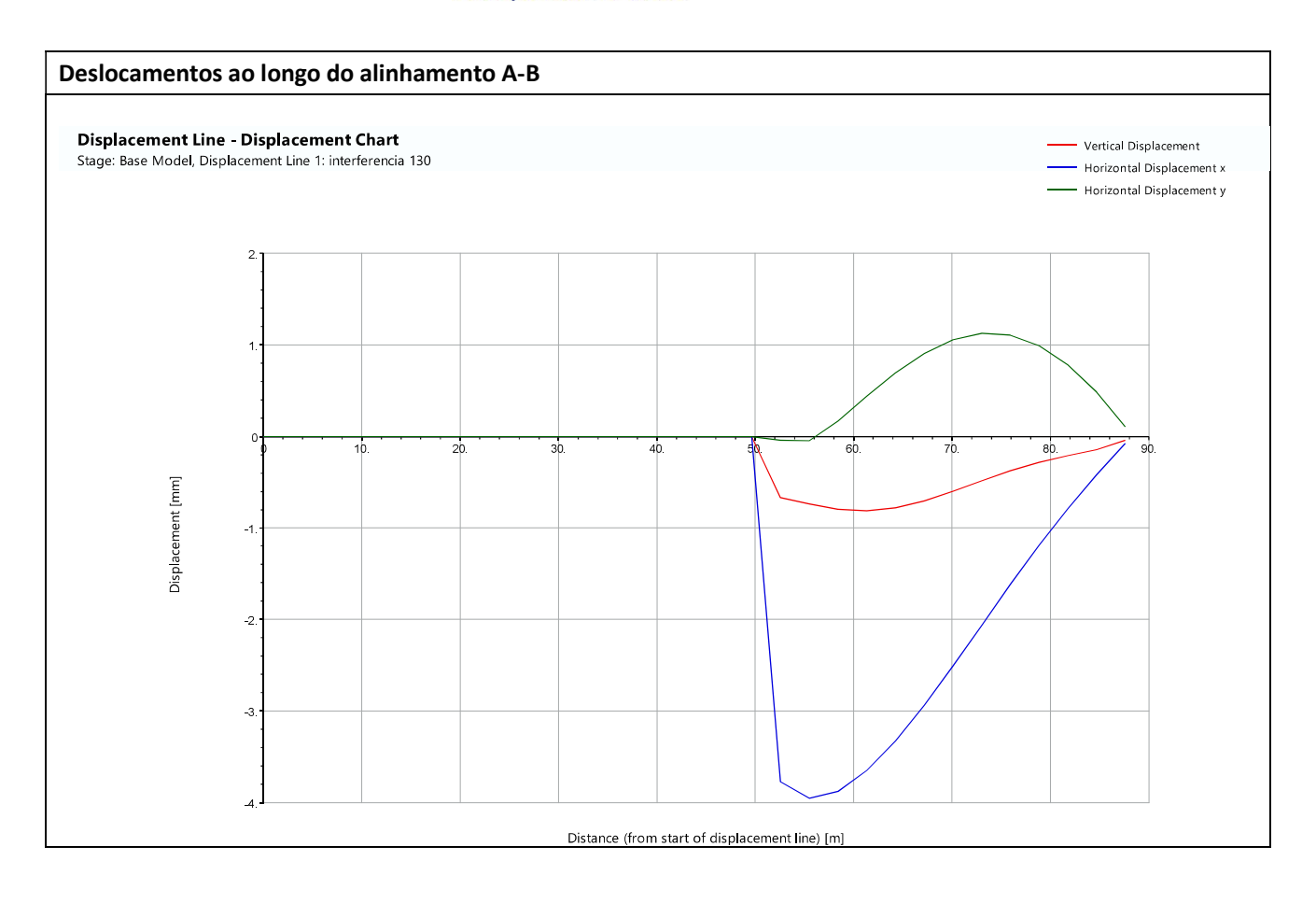




Pág. 2 of 3 Revisão: 0 (11/10/2024)







Pág. 3 of 3 Revisão: 0 (11/10/2024)

Condição geral





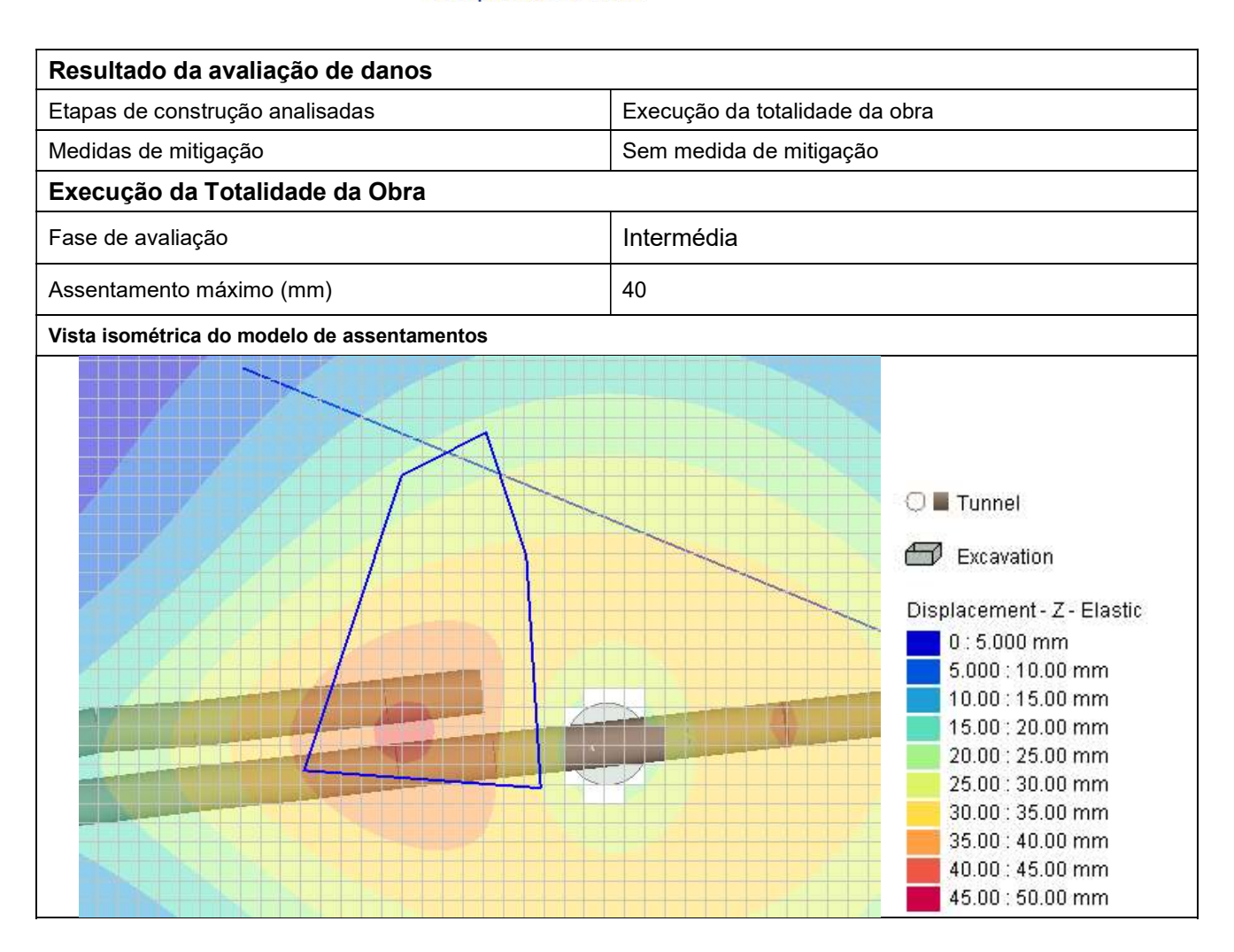
Ficha de avaliação de danos	
Características gerais	
Número da interferência	263
Categoria	Cemitério
Localização	Rua do Patrocínio, 57-61
Composição	NA
Tipo de estrutura	NA
Tipo de Fundação	NA
Cobertura	NA
Revestimento das fachadas	NA
Cadastro	Sim
Mapa de localização e vista isométrica do edifício	
Danos visíveis	Cemitello Alemao
Fissuras	NA
Eflorescências	NA NA
Deslocamentos	NA NA
Armaduras à vista	NA NA
Elementos metálicos danificados	NA NA
Deformações visíveis	NA NA
Degradação do revestimento	NA NA
Descasque e destacamento da pintura	NA NA
Descusque e destacamento da pintara	197

Pág. 1 of 6 Revisão: 0 (11/10/2024)

NA



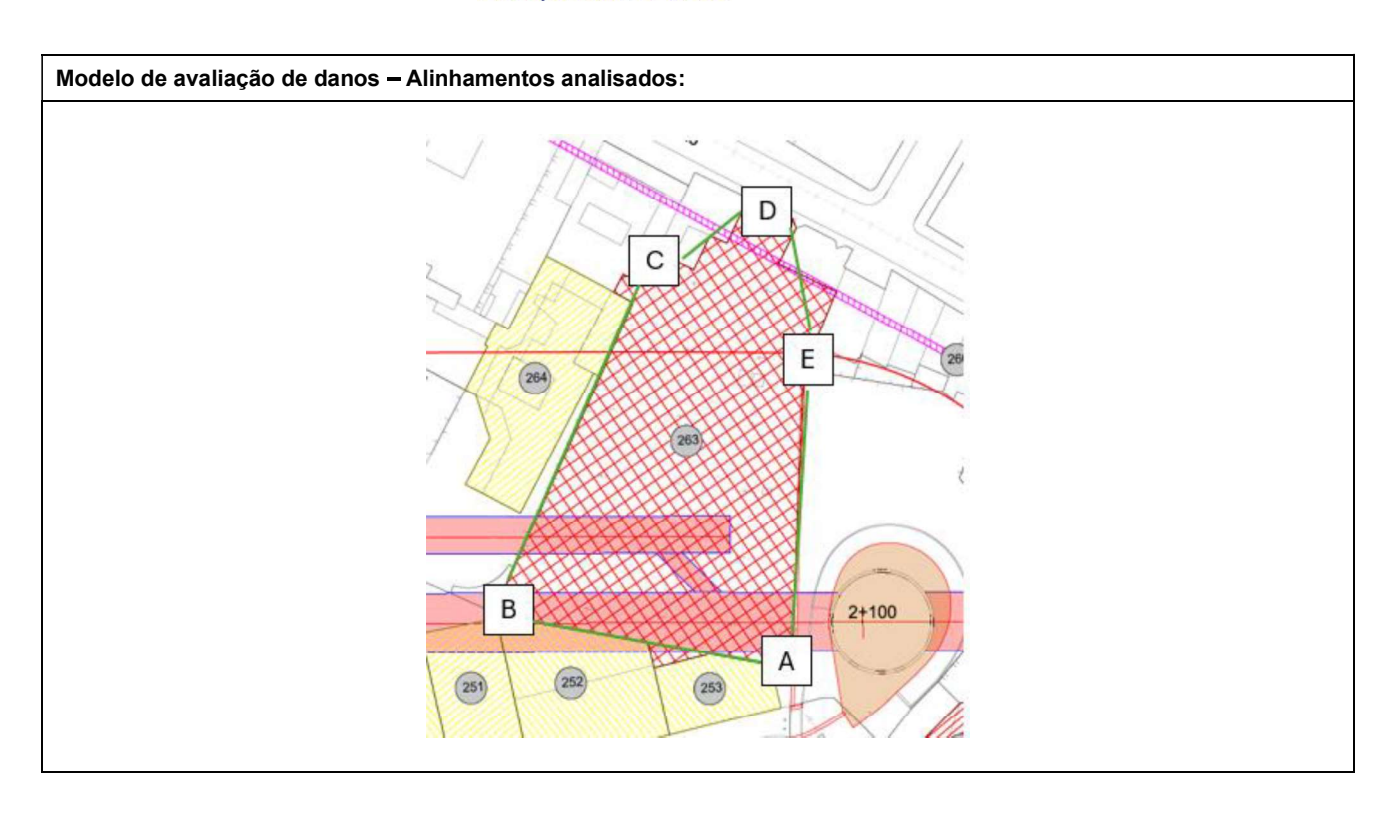




Pág. 2 of 6 Revisão: 0 (11/10/2024)

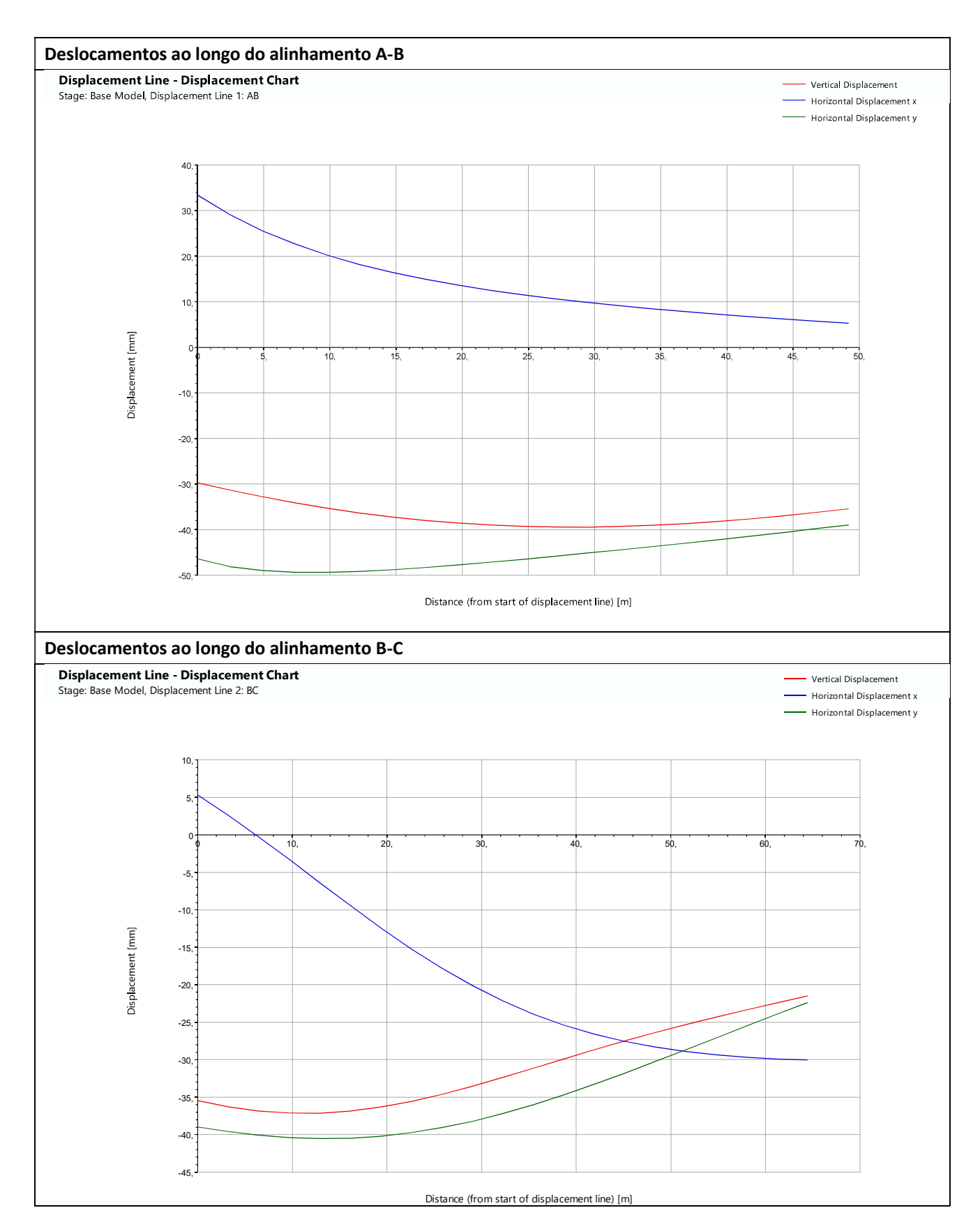






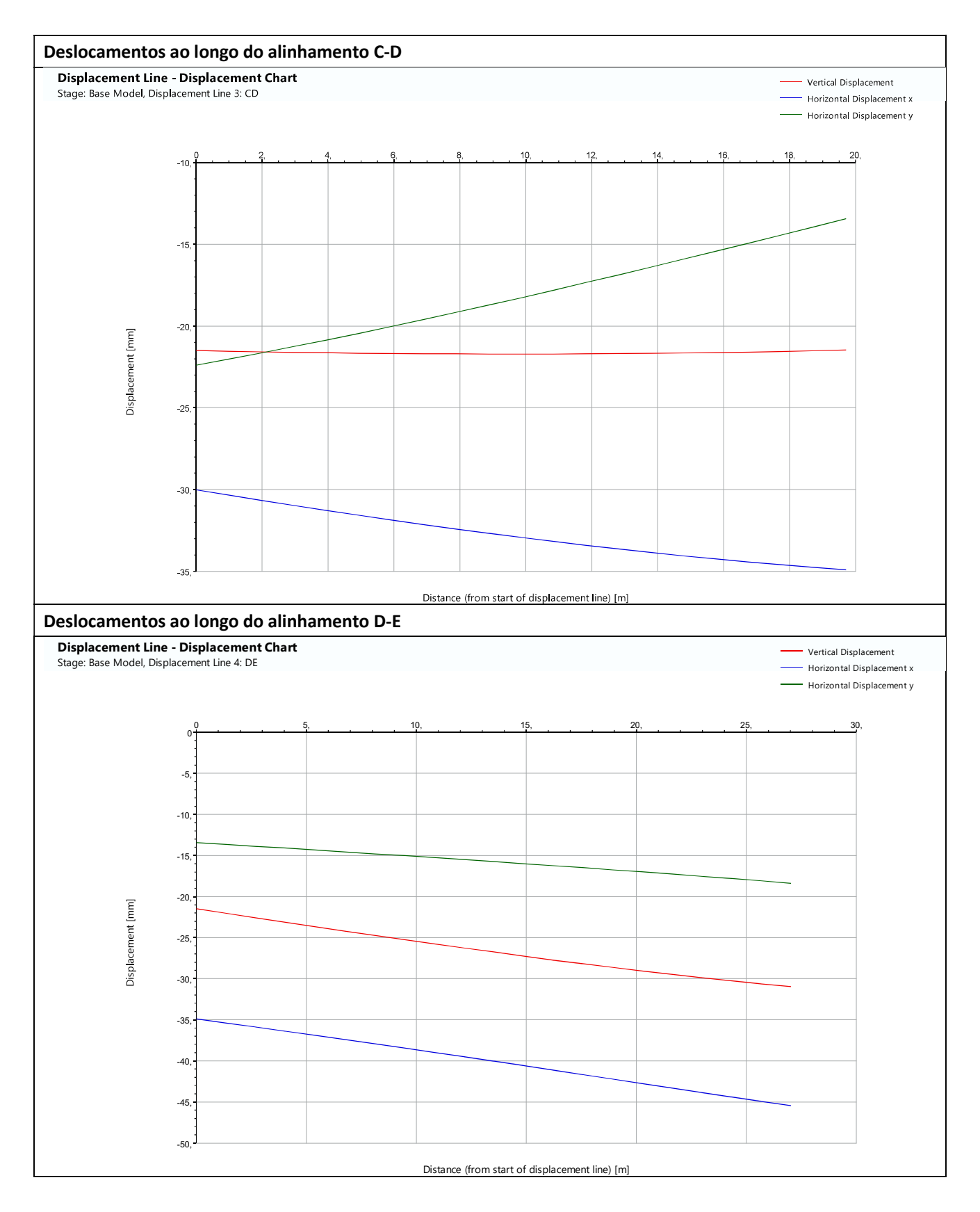
Pág. 3 of 6 Revisão: 0 (11/10/2024)





Pág. 4 of 6 Revisão: 0 (11/10/2024)

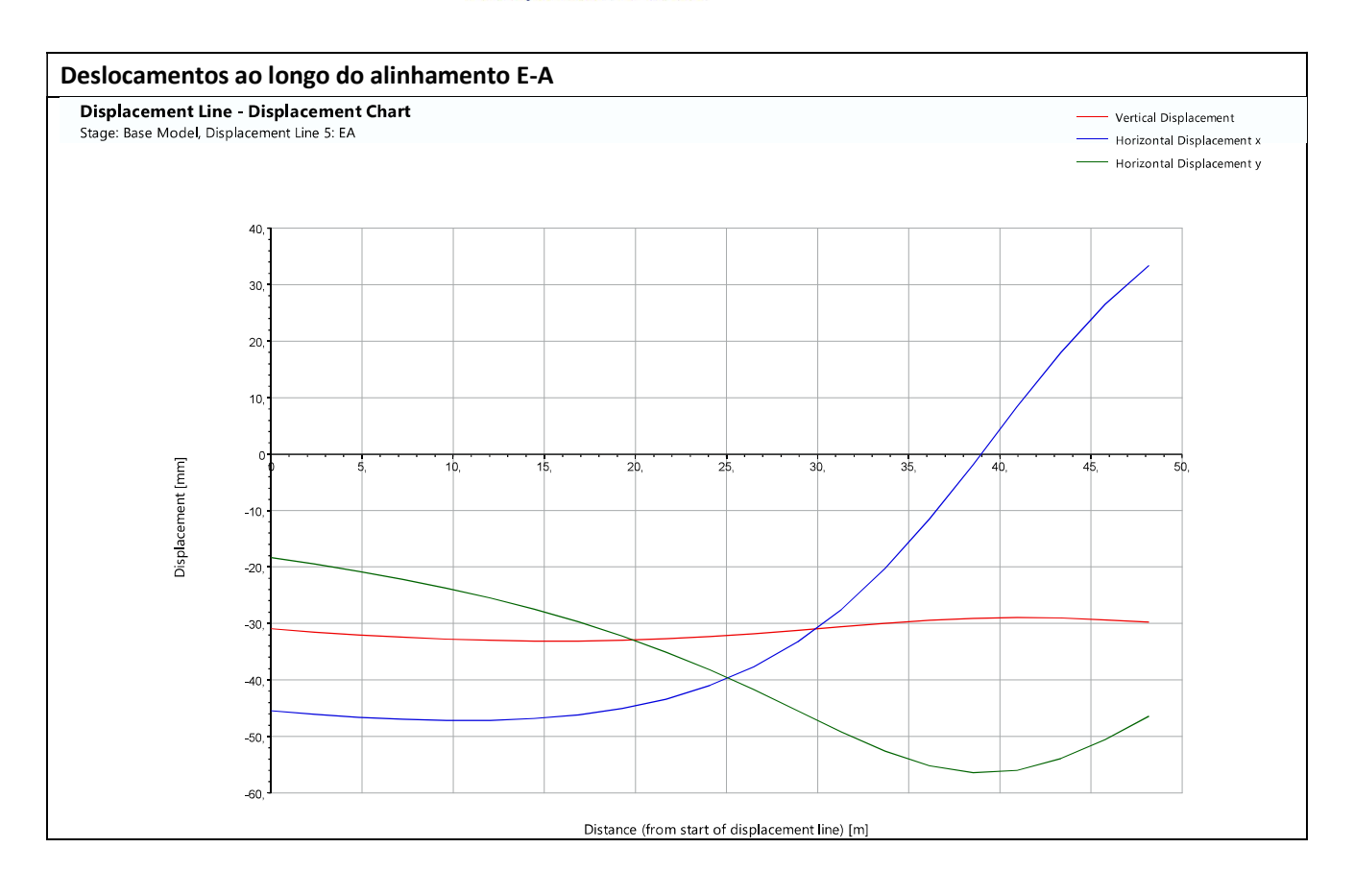




Pág. 5 of 6 Revisão: 0 (11/10/2024)







Pág. 6 of 6 Revisão: 0 (11/10/2024)



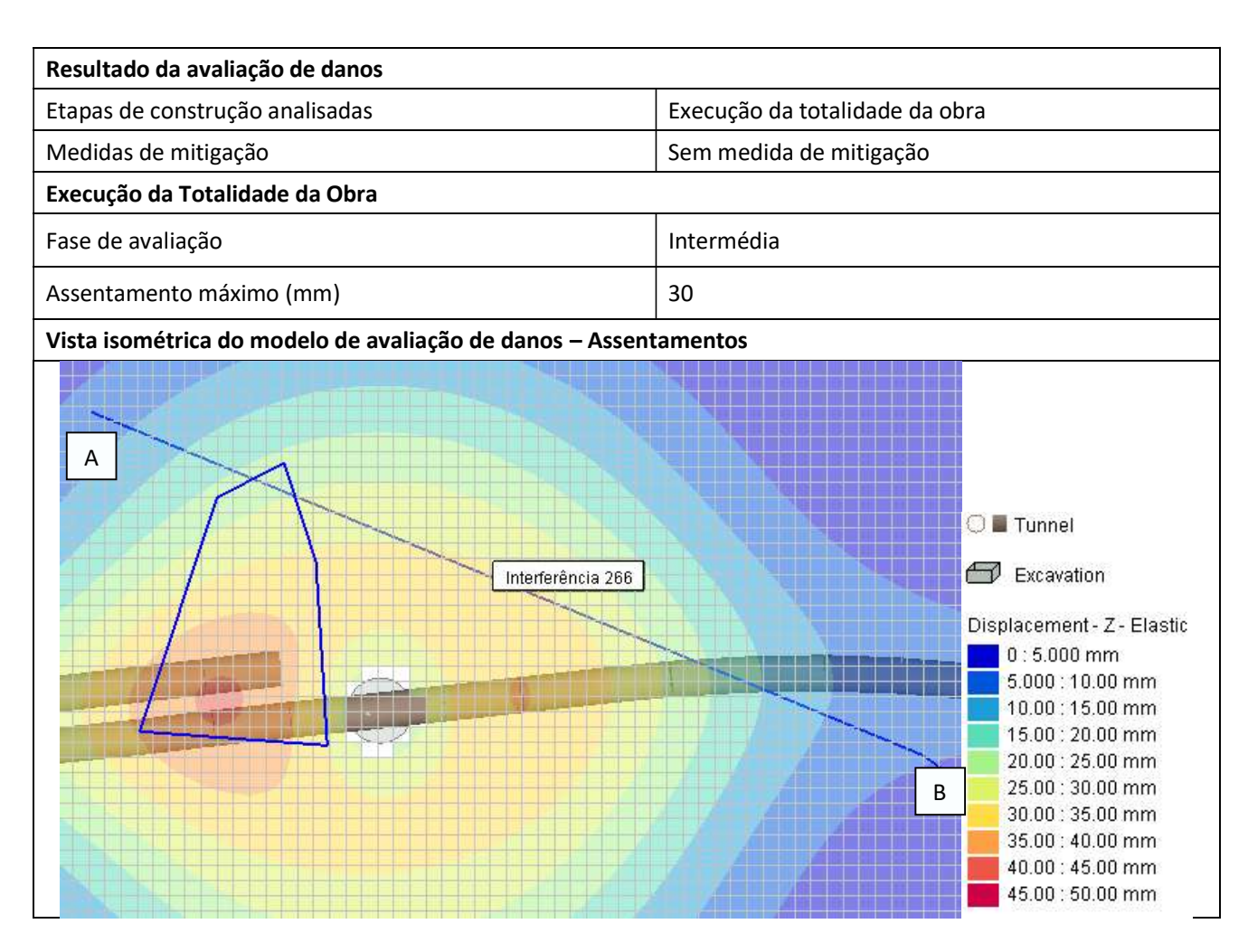


Ficha de avaliação de danos	
Características gerais	
Número da interferência	266
Categoria	Aqueduto
Localização	Rua do Patrocínio
Composição	Estrutura Enterrada
Tipo de estrutura	Alvenaria
Tipo de Fundação	Direta
Cobertura	NA
Revestimento das fachadas	NA
Cadastro	Não
Mapa de localização	
Rua do Patrocínio  2+1200  250  250  250  250  250  250  250	
Danos visíveis	Daniel de la contraction de la
Fissuras	Desconhecido
Eflorescências Parla se se se testa de la constant	Desconhecido
Deslocamentos  A secondario and a secondari and a secondario and a secondario and a secondario and a seconda	Desconhecido
Armaduras à vista	Desconhecido
Elementos metálicos danificados	Desconhecido
Deformações visíveis	Desconhecido
Degradação do revestimento	Desconhecido
Descasque e destacamento da pintura	Desconhecido
Condição geral	Desconhecido

Pág. 1 of 3 Revisão: 0 (11/10/2024)



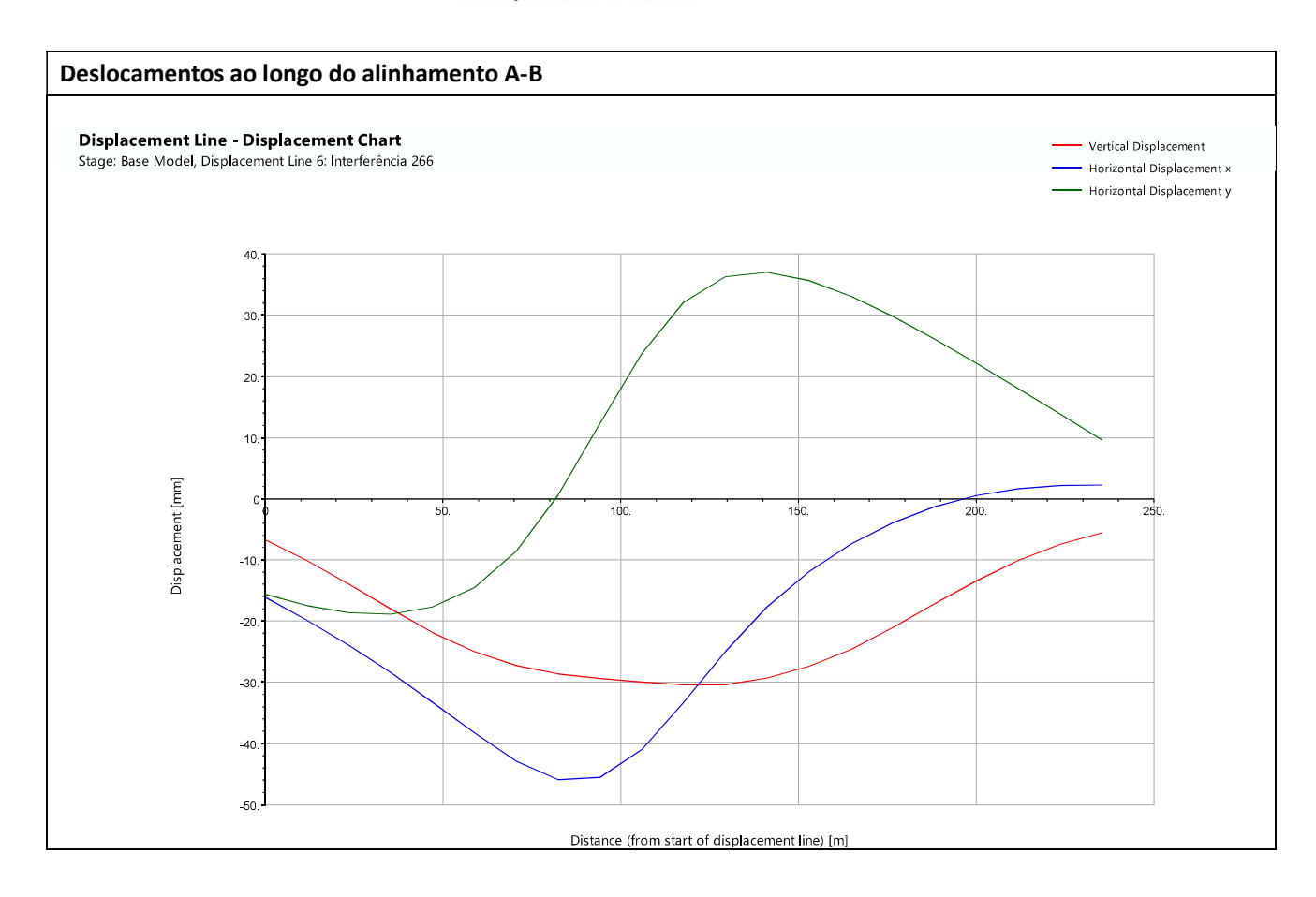




Pág. 2 of 3 Revisão: 0 (11/10/2024)







Pág. 3 of 3 Revisão: 0 (11/10/2024)



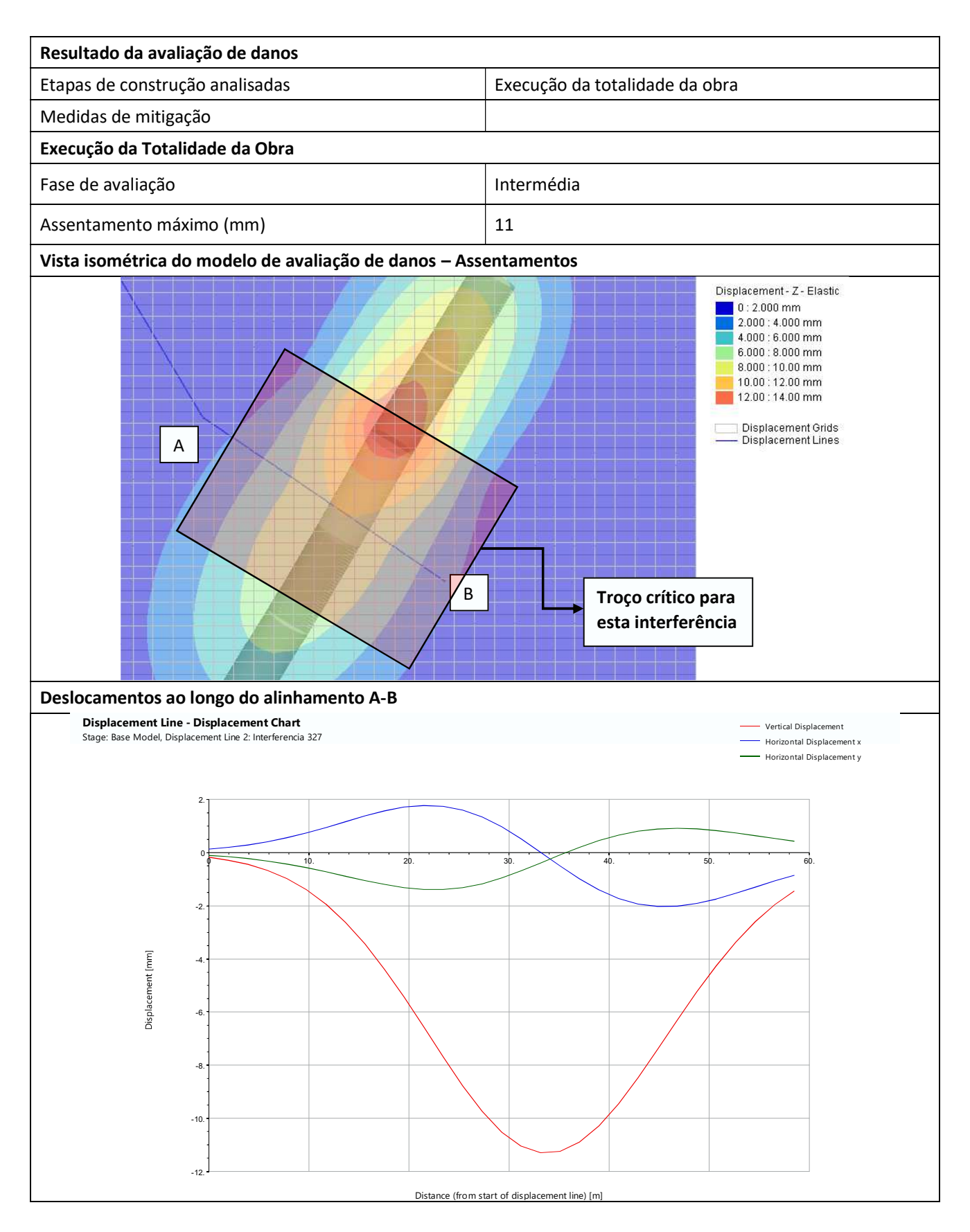


Ficha de avaliação de danos	
Características gerais	
Número da interferência	327
Categoria	Aqueduto
Localização	Avenida Infante Santo
Composição	Estrutura Enterrada
Tipo de estrutura	Alvenaria
Tipo de Fundação	Direta
Cobertura	NA
Revestimento das fachadas	NA
Cadastro	Não
Mapa de localização	
Averida  22  250  260  24700  33  33  33  33  33  33  33  33  34  35  35	
Danos visíveis	Danasahasida
Fissuras	Desconhecido
Eflorescências	Desconhecido
Deslocamentos	Desconhecido
Armaduras à vista	Desconhecido
Elementos metálicos danificados	Desconhecido
Deformações visíveis	Desconhecido
Degradação do revestimento	Desconhecido
Descasque e destacamento da pintura	Desconhecido
Condição geral	Colapsado sobre o eixo do túnel

Pág. 1 of 2 Revisão: 0 (11/10/2024)







Pág. 2 of 2 Revisão: 0 (11/10/2024)





Ficha de avaliação de danos	
Características gerais	
Número da interferência	374
Categoria	Edifício Interesse Patrimonial
Localização	Largo das Necessidades, 58
Composição	? Caves + 2 Pisos
Tipo de estrutura	Misto (Betão Armado/ Alvenaria)
Tipo de Fundação	Direta
Cobertura	Telhado
Revestimento das fachadas	Pedra e Reboco
Cadastro	Não
Mana de localização e victa icométrica de edifício	

## Mapa de localização e vista isométrica do edifício





Danos visíveis	1.02
Fissuras	Sim
Eflorescências	Sim
Deslocamentos	Não
Armaduras à vista	Não
Elementos metálicos danificados	Não
Deformações visíveis	Não
Degradação do revestimento	Não
Descasque e destacamento da pintura	Sim
Condição geral	

Pág. 1 of 9 Revisão: 0 (11/10/2024)



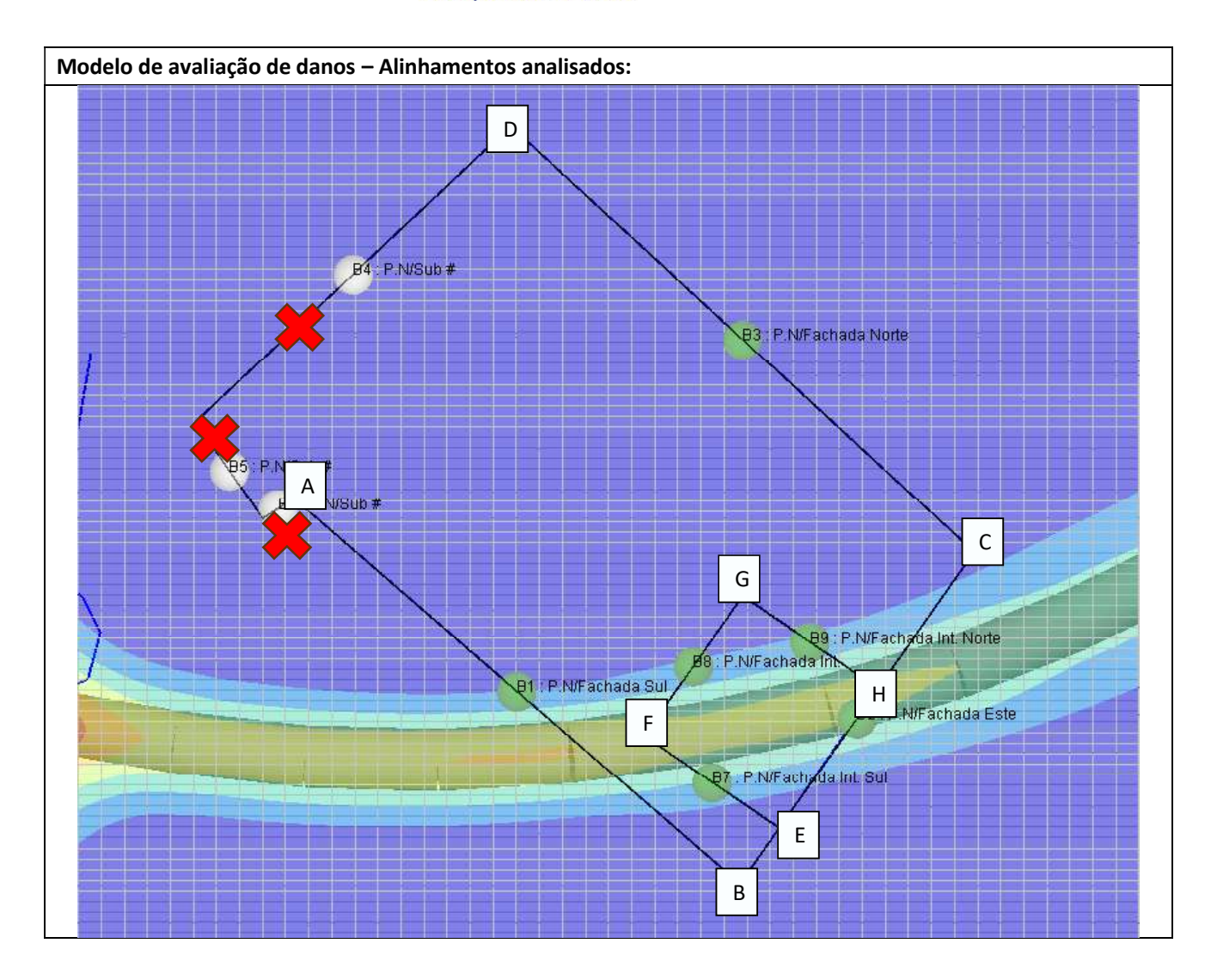


Resultado da avaliação de danos	
Etapas de construção analisadas	Execução da totalidade da obra
Medidas de mitigação	Sem medida de mitigação
Execução da Totalidade da Obra	
Fase de avaliação	Preliminar
Assentamento máximo (mm)	8
Categoria de danos <b>sem fator de agravamento</b> da categoria para edifícios/estruturas classificados (Burland, 1995)	Empena A-B – Categoria 0 Empena B-C – Categoria 0 Empena C-D – Categoria 0 Empena E-F – Categoria 0 Empena F-G – Categoria 0 Empena G-H – Categoria 0
Vista isométrica do modelo de avaliação de danos – Ass	entamentos e categoria de danos:
B5 P.N/Sub # B6 P.N/Sub # Interferencia 375 B4.1	Building Results  Sensitivity Cat. 0 (Negligible) Cat. 1 (Very Slight) Cat. 2 (Slight) Cat. 3 (Moderate) Cat. 4 (Severe)  Displacement - Z - Elastic  0 : 2,000 mm 2,000 : 4,000 mm 4,000 : 6,000 mm 6,000 : 8,000 mm 8,000 : 10,00 mm 10,00 : 12,00 mm 12,00 : 14,00 mm

Pág. 2 of 9 Revisão: 0 (11/10/2024)

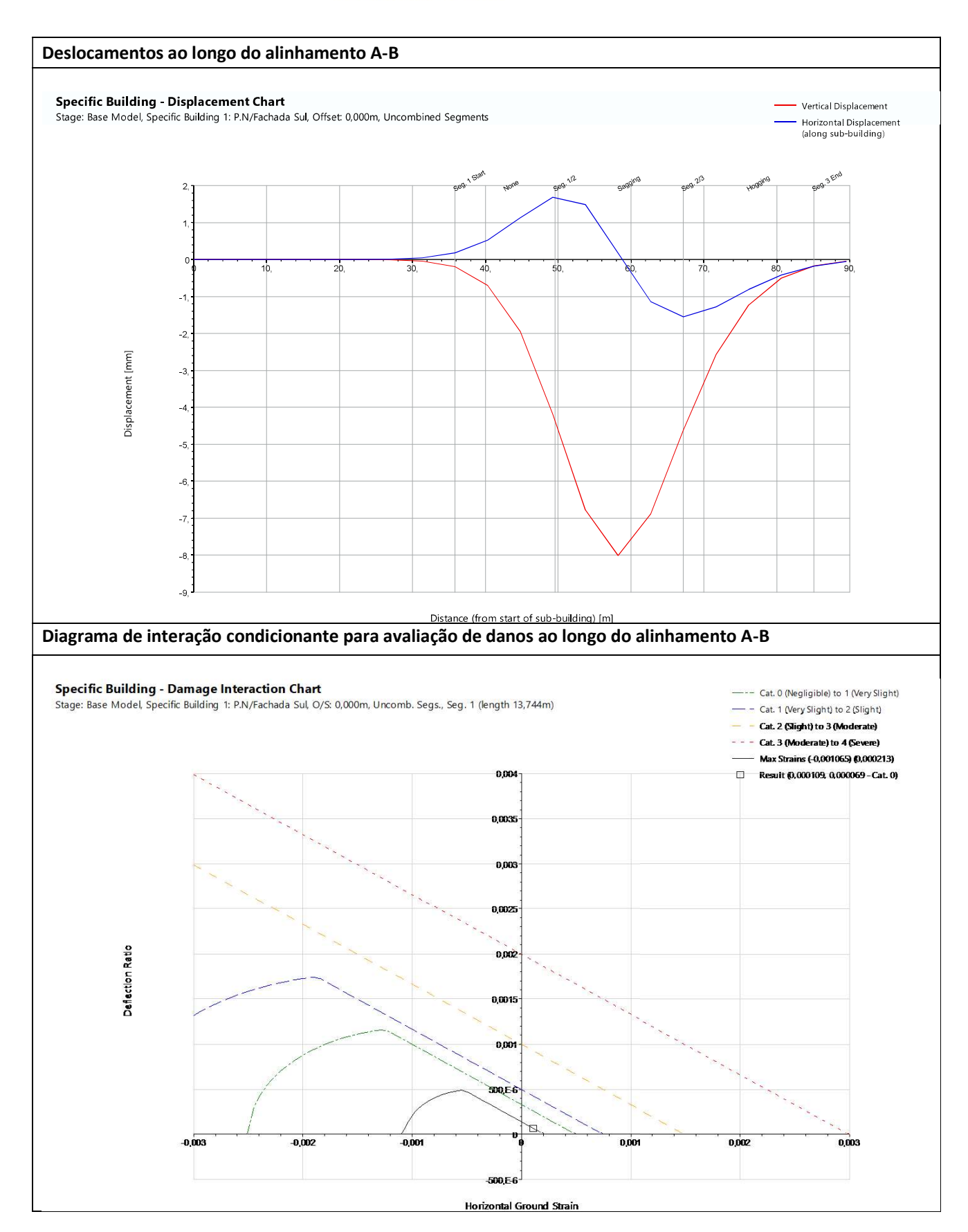






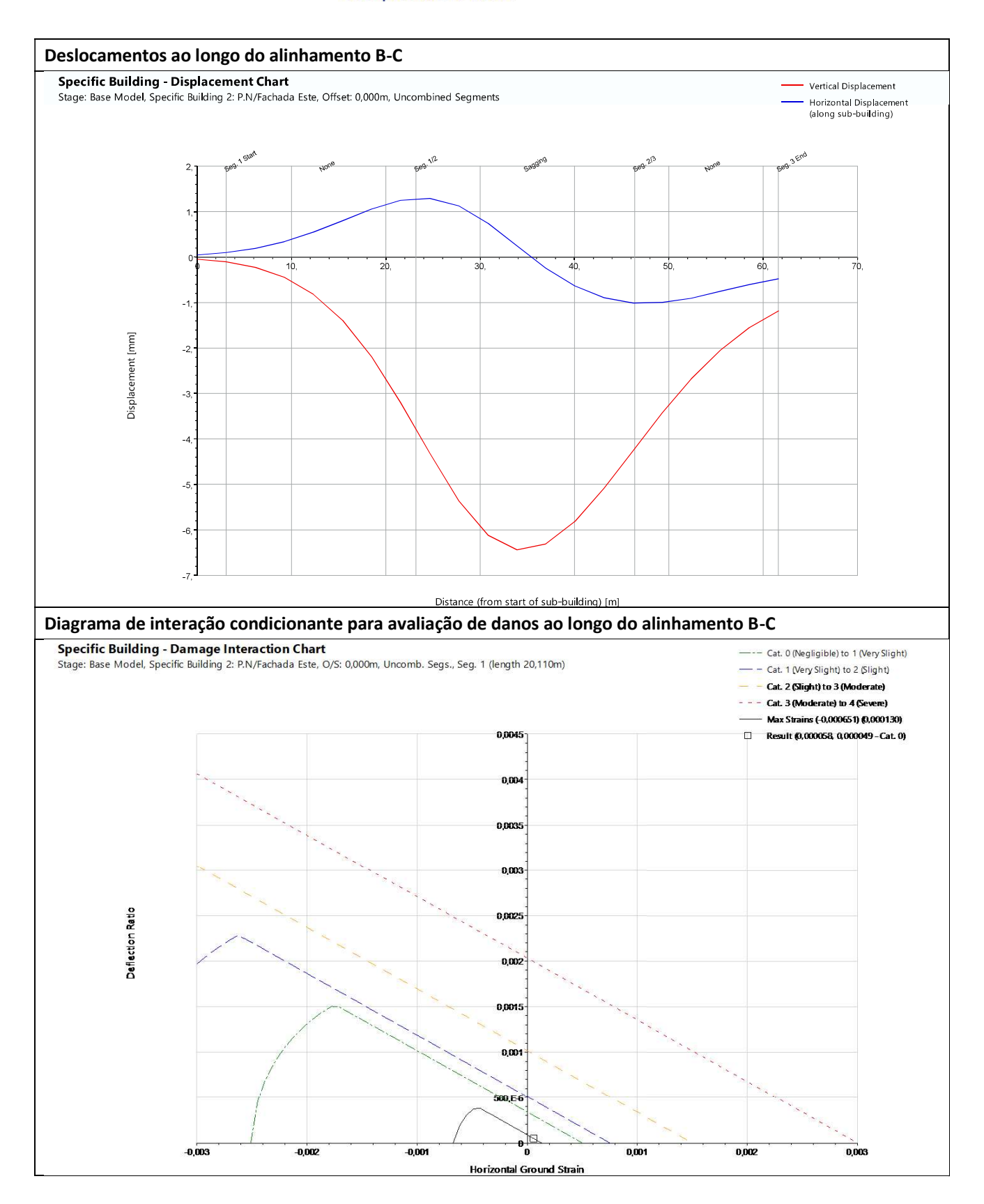
Pág. 3 of 9 Revisão: 0 (11/10/2024)





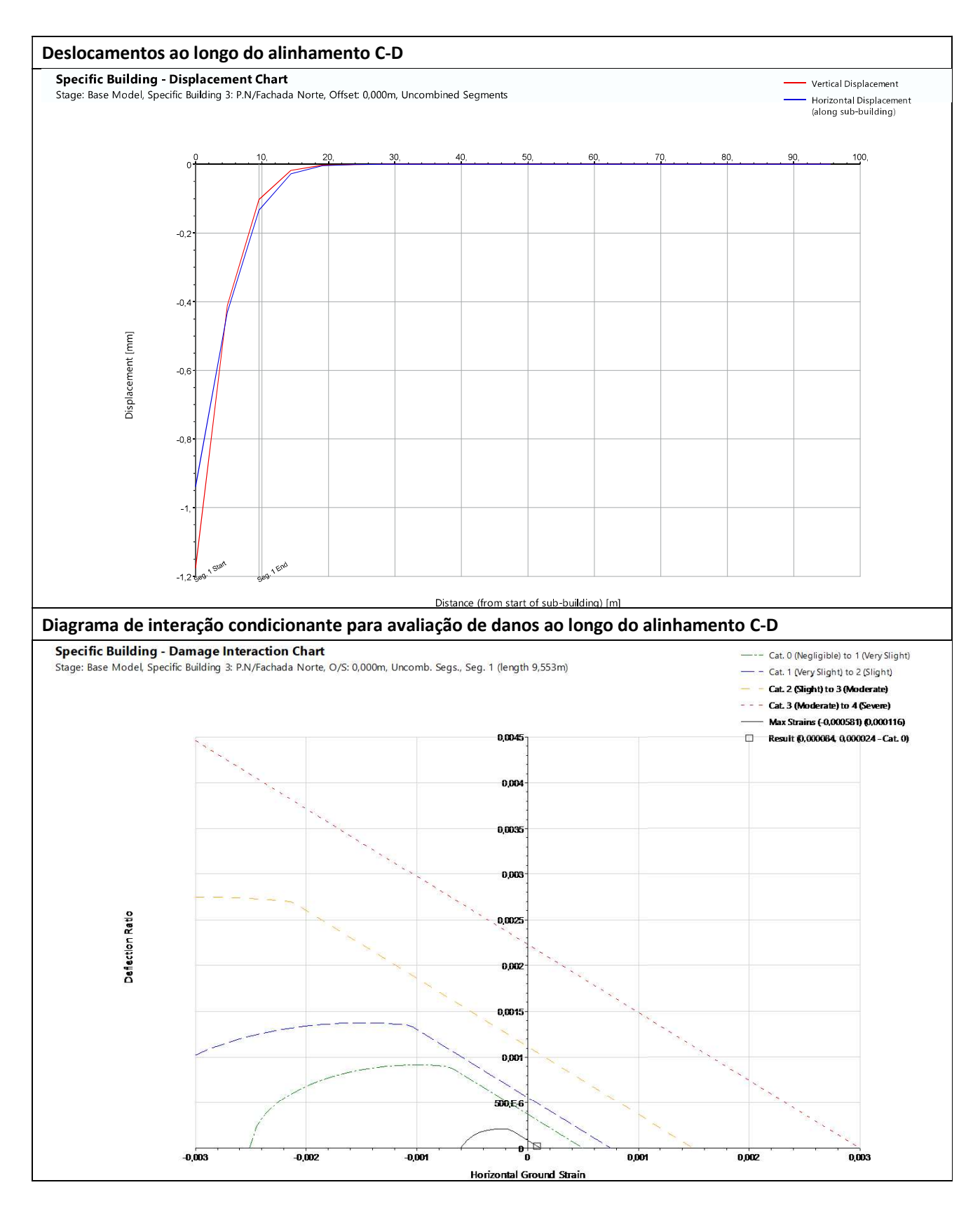
Pág. 4 of 9 Revisão: 0 (11/10/2024)





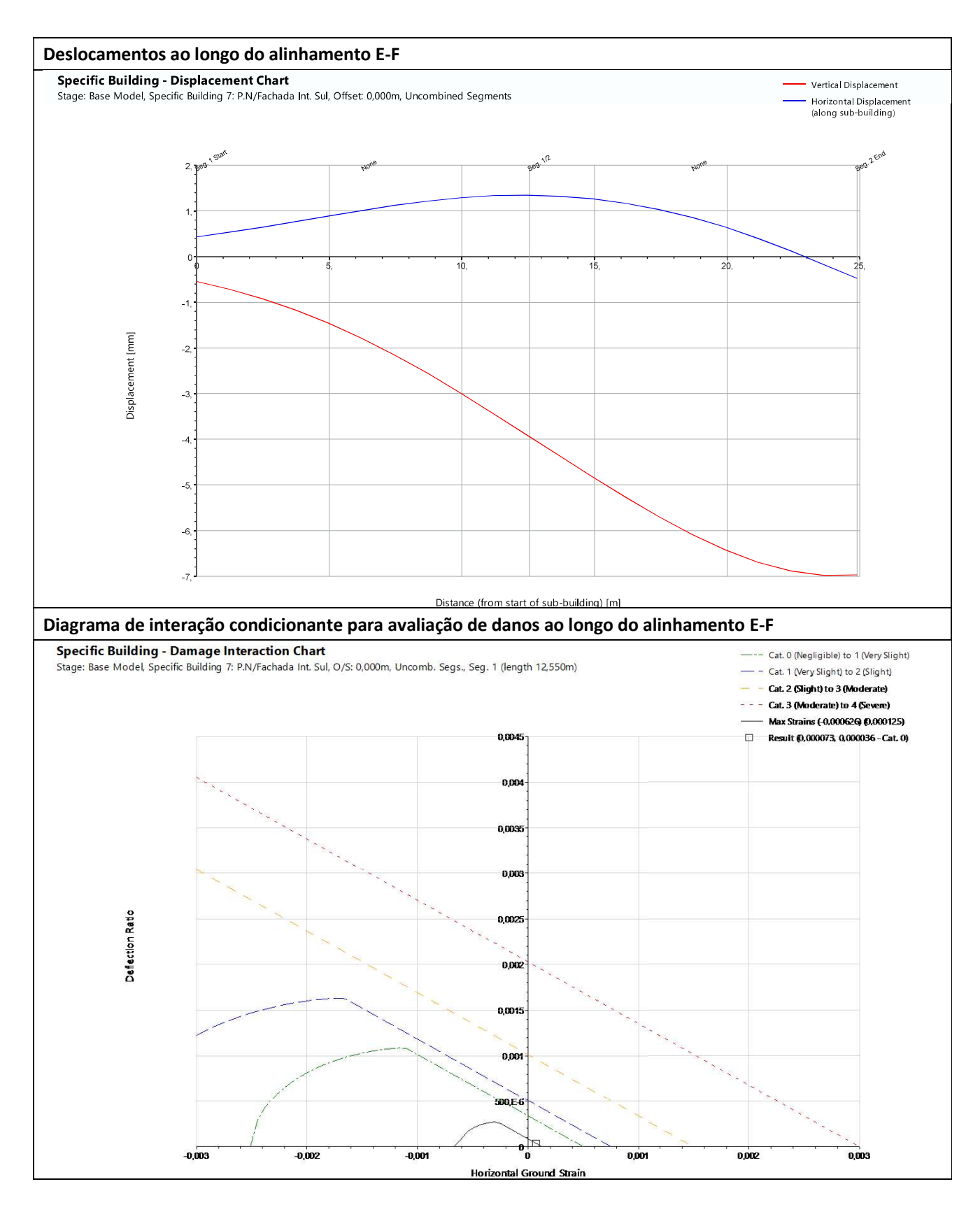
Pág. 5 of 9 Revisão: 0 (11/10/2024)





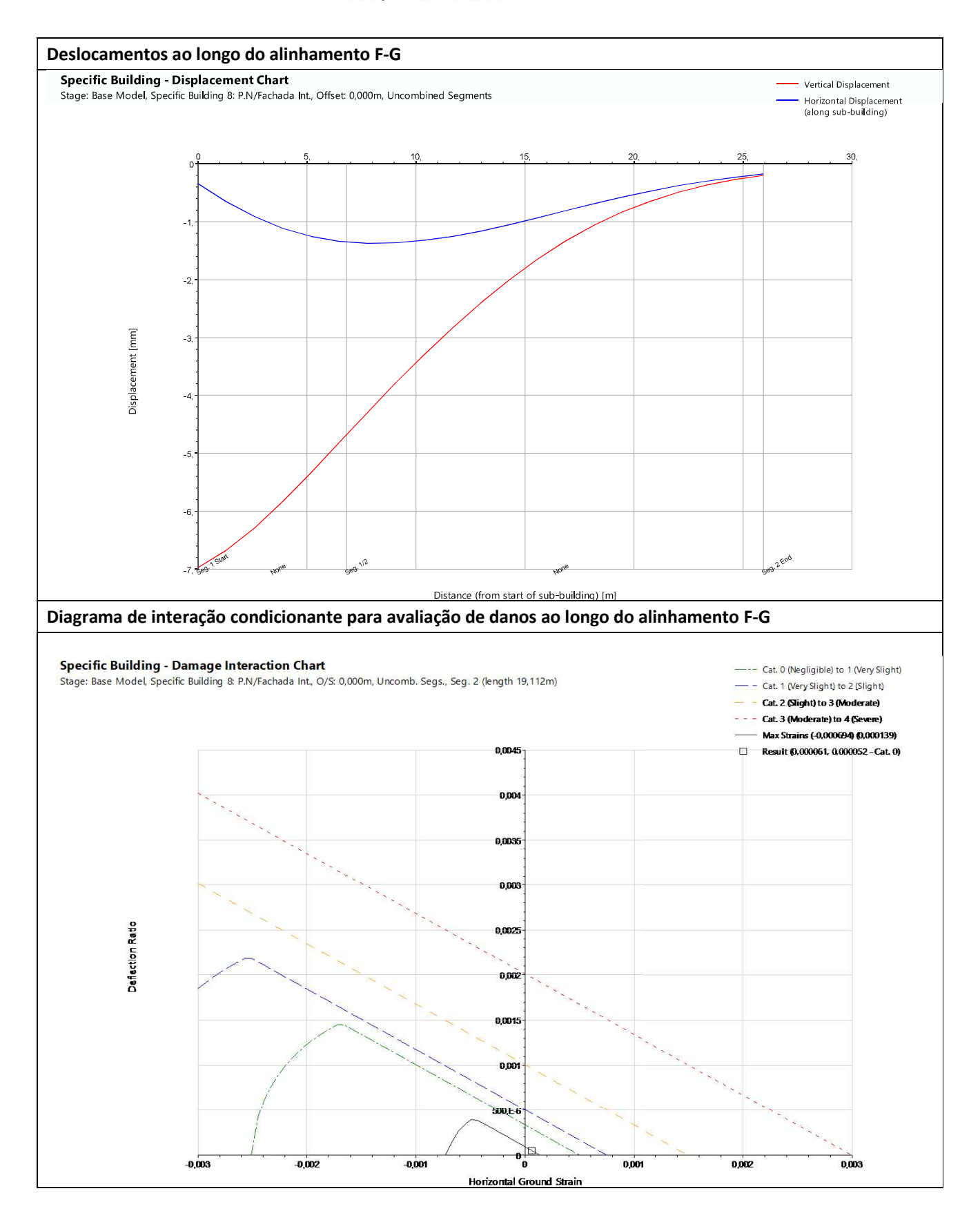
Pág. 6 of 9 Revisão: 0 (11/10/2024)





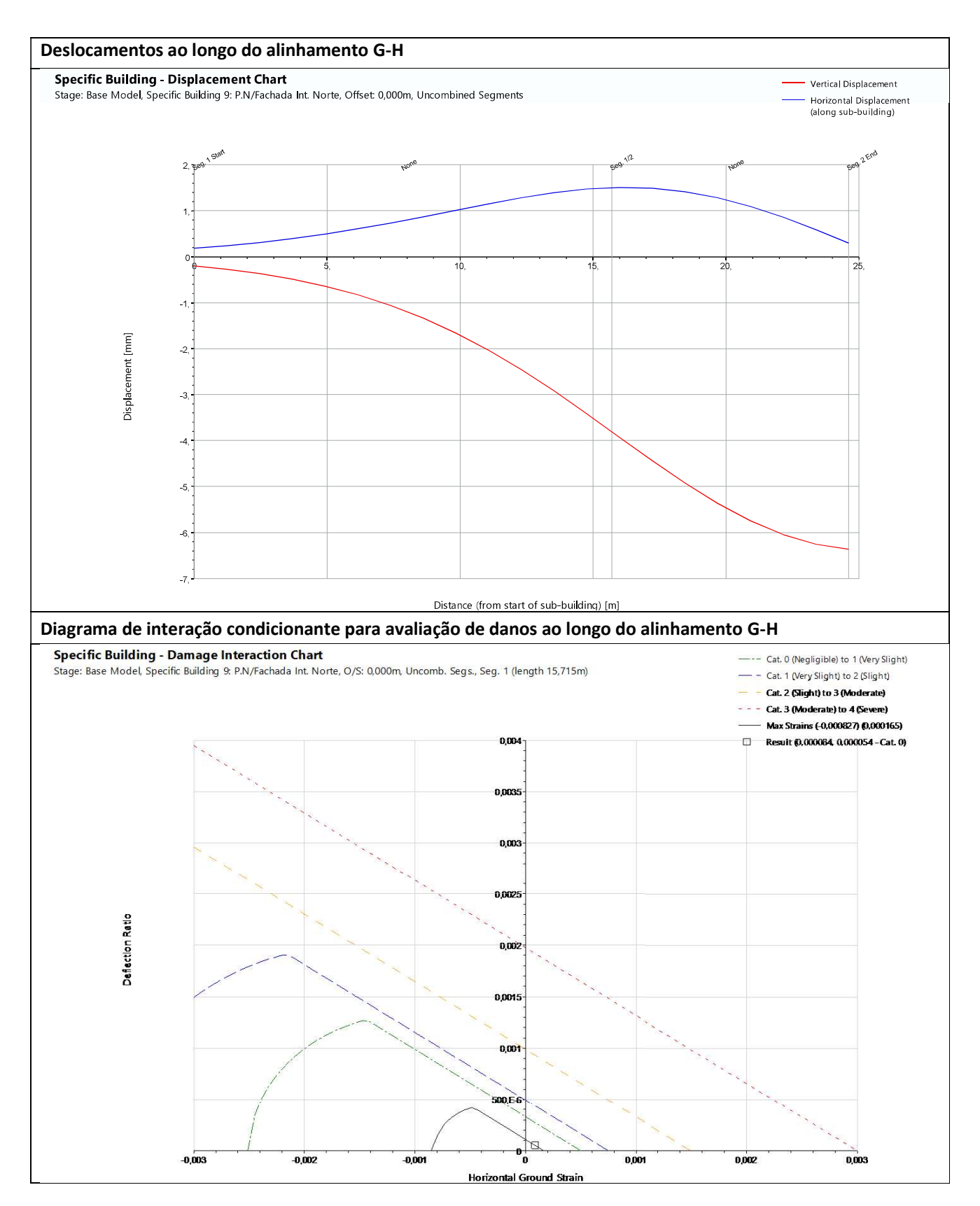
Pág. 7 of 9 Revisão: 0 (11/10/2024)





Pág. 8 of 9 Revisão: 0 (11/10/2024)





Pág. 9 of 9 Revisão: 0 (11/10/2024)





Características gerais       Número da interferência     375       Categoria     Aqueduto       Localização     Adutor do Chafariz do Largo das Necessidades       Composição     NA       Tipo de estrutura     Alvenaria       Tipo de Fundação     Direta       Cobertura     NA       Revestimento das fachadas     NA       Mapa de localização       Mapa de localização       Danos visíveis       Fissuras     Desconhecido       Eflorescências     Desconhecido       Desiocamentos     Desconhecido       Armaduras à vista     Desconhecido       Desconhecido     Desconhecido       Degradação do revestimento     Desconhecido       Desconhecido     Desconhecido	Ficha de avaliação de danos	
Aqueduto Localização Adutor do Chafariz do Largo das Necessidades Composição NA Tipo de estrutura Alvenaria Tipo de Fundação Direta Cobertura NA Revestimento das fachadas NA Cadastro Não  Mapa de localização  Danos visíveis Fissuras Desconhecido Eflorescências Desconhecido Desconhecido Desconhecido Deformações visíveis Degradação do revestimento Desconhecido		
Localização Adutor do Chafariz do Largo das Necessidades Composição NA Tipo de estrutura Alvenaria Tipo de Fundação Direta Cobertura NA Revestimento das fachadas NA Cadastro Não Mapa de localização  Danos visíveis Fissuras Desconhecido	Número da interferência	375
Composição NA Tipo de estrutura Alvenaria Tipo de Fundação Direta Cobertura NA Revestimento das fachadas NA Cadastro Não Mapa de localização  Danos visíveis Fissuras Desconhecido Desconhecido Desconhecido Desconhecido Elementos metálicos danificados Desconhecido	Categoria	Aqueduto
Tipo de estrutura  Tipo de Fundação  Direta  NA  Revestimento das fachadas  NA  Mapa de localização  Danos visíveis  Fisuras  Fisuras  Florescências  Desconhecido  Desconhecido  Armaduras à vista  Elementos metálicos danificados  Desconhecido	Localização	Adutor do Chafariz do Largo das Necessidades
Tipo de Fundação  Cobertura  NA  Revestimento das fachadas  NA  Cadastro  Mapa de localização  Danos visíveis  Fissuras  Efforescências  Desconhecido  Desconhecido  Armaduras à vista  Elementos metálicos danificados  Deformações visíveis  Degradação do revestimento  Desconhecido	Composição	NA
Cobertura NA Revestimento das fachadas NA Cadastro Não  Mapa de localização  Danos visíveis  Fissuras Desconhecido  Eflorescências Desconhecido  Deslocamentos Desconhecido  Armaduras à vista Desconhecido  Elementos metálicos danificados Deformações visíveis  Desconhecido	Tipo de estrutura	Alvenaria
Revestimento das fachadas  Cadastro  Não  Mapa de localização  Danos visíveis  Fissuras  Desconhecido	Tipo de Fundação	Direta
Cadastro  Mapa de localização  Danos visíveis Fissuras Desconhecido Deslocamentos Armaduras à vista Desconhecido Deformações visíveis Desconhecido Deformações visíveis Desconhecido	Cobertura	NA
Mapa de localização  Particular de localização  Danos visíveis  Fissuras  Eflorescências  Desconhecido  Desconhecido  Desconhecido  Armaduras à vista  Elementos metálicos danificados  Deformações visíveis  Desconhecido	Revestimento das fachadas	NA
Danos visíveis Fissuras Desconhecido Eflorescências Desconhecido Deslocamentos Desconhecido Armaduras à vista Desconhecido Elementos metálicos danificados Desconhecido Deformações visíveis Desconhecido Degradação do revestimento Desconhecido Descasque e destacamento da pintura Desconhecido	Cadastro	Não
Danos visíveisFissurasDesconhecidoEflorescênciasDesconhecidoDeslocamentosDesconhecidoArmaduras à vistaDesconhecidoElementos metálicos danificadosDesconhecidoDeformações visíveisDesconhecidoDegradação do revestimentoDesconhecidoDescasque e destacamento da pinturaDesconhecido	Mapa de localização	
Fissuras Desconhecido  Eflorescências Desconhecido  Deslocamentos Desconhecido  Armaduras à vista Desconhecido  Elementos metálicos danificados Desconhecido  Deformações visíveis Desconhecido  Degradação do revestimento Desconhecido  Desconhecido  Desconhecido  Desconhecido		Trapplands at / Copernous
EflorescênciasDesconhecidoDeslocamentosDesconhecidoArmaduras à vistaDesconhecidoElementos metálicos danificadosDesconhecidoDeformações visíveisDesconhecidoDegradação do revestimentoDesconhecidoDesconhecidoDesconhecidoDesconhecidoDesconhecido		Desconhecido
DeslocamentosDesconhecidoArmaduras à vistaDesconhecidoElementos metálicos danificadosDesconhecidoDeformações visíveisDesconhecidoDegradação do revestimentoDesconhecidoDesconhecidoDesconhecidoDesconhecidoDesconhecido		
Armaduras à vista  Elementos metálicos danificados  Desconhecido  Deformações visíveis  Desconhecido  Degradação do revestimento  Desconhecido  Desconhecido  Desconhecido		
Elementos metálicos danificadosDesconhecidoDeformações visíveisDesconhecidoDegradação do revestimentoDesconhecidoDescasque e destacamento da pinturaDesconhecido		
Deformações visíveisDesconhecidoDegradação do revestimentoDesconhecidoDescasque e destacamento da pinturaDesconhecido		
Degradação do revestimento  Desconhecido  Desconhecido  Desconhecido		
Descasque e destacamento da pintura Desconhecido		
	Condição geral	

Pág. 1 of 3 Revisão: 0 (11/10/2024)

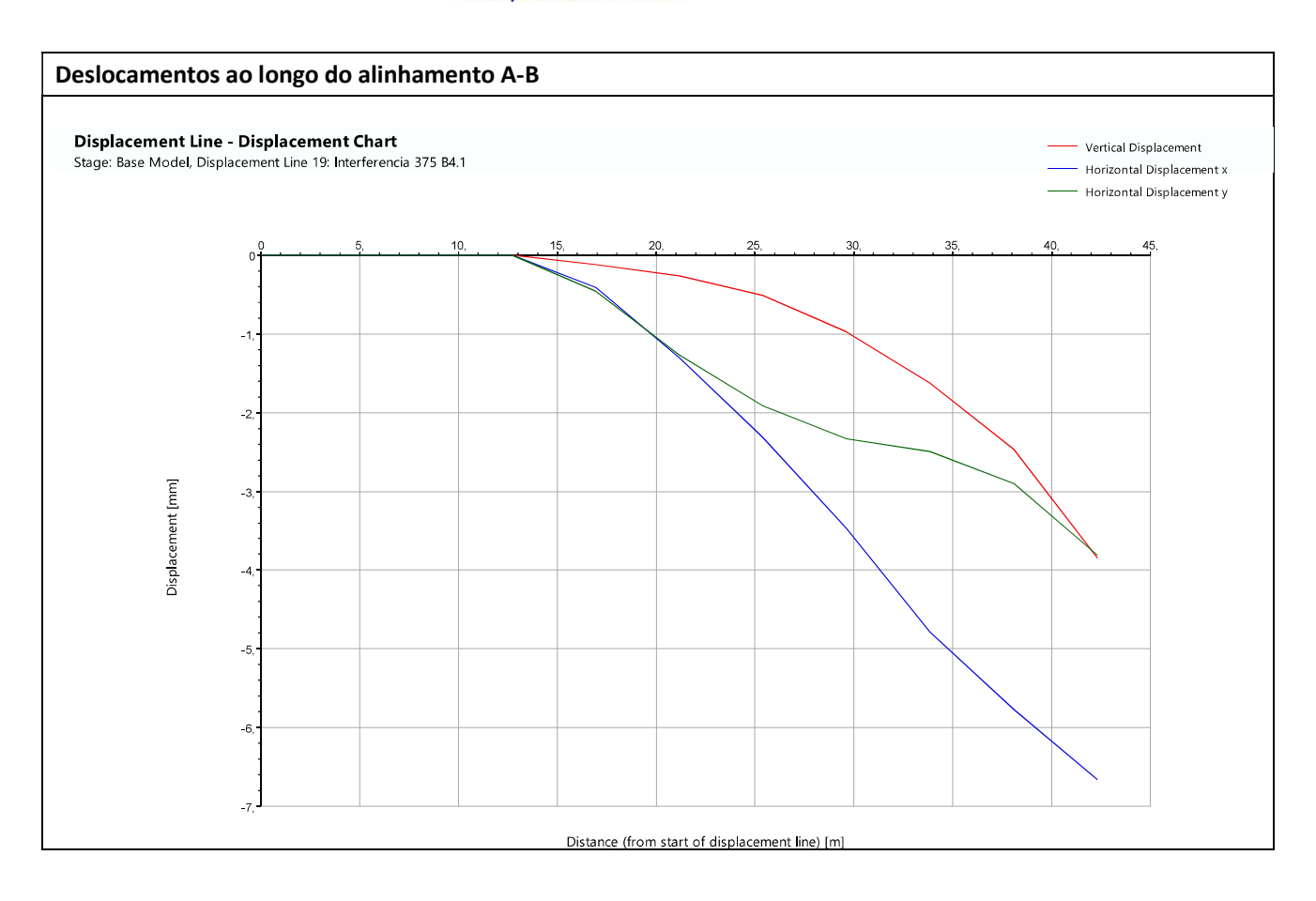




Resultado da avaliação de danos	
Etapas de construção analisadas	Execução da totalidade da obra
Medidas de mitigação	Sem medida de mitigação
Execução da Totalidade da Obra	
Fase de avaliação	Preliminar
Assentamento máximo (mm)	4
Modelo de avaliação de danos – Alinhamentos analisad	dos:
	B6 \P \N\Sub #

Pág. 2 of 3 Revisão: 0 (11/10/2024)





Pág. 3 of 3 Revisão: 0 (11/10/2024)





Ficha de avaliação de danos		
Características gerais		
Número da interferência	376	
Categoria	Chafariz	
Localização	Largo das Necessidades	
Composição	NA	
Tipo de estrutura	Pedra	
Tipo de Fundação	Direta	
Cobertura	NA	
Revestimento das fachadas	NA	
Cadastro	Não	
Mapa de localização e vista isométrica do edifício		
Danos visíveis  Figures	This clands at / Copernicus	
Fissuras	Não	
Eflorescências	Não	
Deslocamentos	Não	
Armaduras à vista	Não	
Elementos metálicos danificados	Não	
Deformações visíveis	Não	
Degradação do revestimento	Não	
Descasque e destacamento da pintura	Não	
Condição geral	Chafariz em bom estado de conservação	

Pág. 1 of 4 Revisão: 0 (11/10/2024)



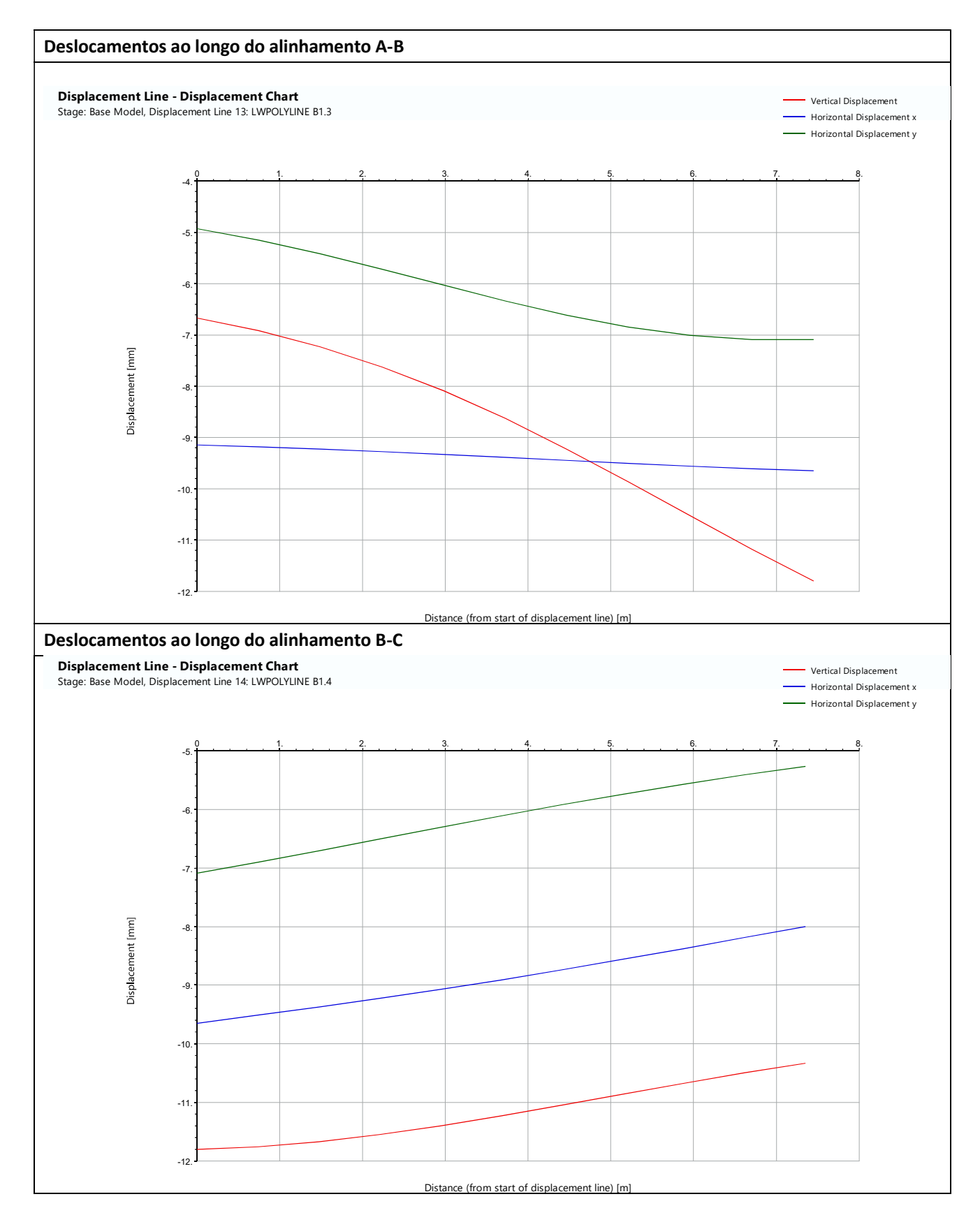


Etapas de construção analisadas	Execução da totalidade da obra
Medidas de mitigação	Sem medida de mitigação
Execução da Totalidade da Obra	
Fase de avaliação	Intermédia
Assentamento máximo (mm)	12
Modelo de avaliação de danos – Alinhamentos analis	sados:
	A PL13: LWPOLYLINE B1.3  B DL14: LWPOLYLINE B1.4  C

Pág. 2 of 4 Revisão: 0 (11/10/2024)







Pág. 3 of 4 Revisão: 0 (11/10/2024)





Pág. 4 of 4 Revisão: 0 (11/10/2024)





Número da interferência Categoria Baluarte Localização Calçada do Livramento, Baluarte, muro 1 Composição Tipo de estrutura Tipo de Fundação Cobertura NA Revestimento das fachadas Cadastro Não Mapa de localização e vista isométrica do edifício  Danos visívels Fissuras Fissuras Fissuras Fissuras Sim Deslocamentos Armaduras à vista Elementos metálicos danificados NA Deformações visíveis Degradação do revestimento Sim Degradação do revestimento Sim Degradação do revestimento	Ficha de avaliação de danos	
Categoria Baluarte Localização Calçada do Livramento, Baluarte, muro 1 Composição Tipo de estrutura Alvenaria Tipo de Fundação Direta Cobertura NA Revestimento das fachadas Pedra e Reboco Cadastro Não Mapa de localização e vista isométrica do edifício  Danos visíveis Fissuras Sim Eflorescências Sim Deslocamentos Armaduras à vista Elementos metálicos danificados NA Deformações visíveis Sim Degradação do revestimento Sim Degradação do revestimento Sim Degradação do revestimento	Características gerais	
Localização Calçada do Livramento, Baluarte, muro 1 Composição Tipo de estrutura Alvenaria Tipo de Fundação Direta Cobertura NA Revestimento das fachadas Pedra e Reboco Cadastro Não Mapa de localização e vista isométrica do edificio  Danos visíveis Fissuras Sim Eflorescências Sim Deslocamentos Armaduras à vista Elementos metálicos danificados NA Deformações visíveis Sim Degradação do revestimento Sim Degradação do revestimento Sim Degradação do revestimento	Número da interferência	381a
Composição Tipo de estrutura Alvenaria Tipo de Fundação Cobertura Revestimento das fachadas Cadastro Não Mapa de localização e vista isométrica do edifício  Danos visíveis Fissuras Eflorescências Deslocamentos Armaduras à vista Elementos metálicos danificados Deformações visíveis Degradação do revestimento Sim Alvenaria Alvenaria Alvenaria Alvenaria Direta NA  Pedra e Reboco Não Não Não Não Não Não Não Sim Sim Sim Sim Sim Sim NA Elementos metálicos danificados NA Deformações visíveis Sim Degradação do revestimento Sim	Categoria	Baluarte
Tipo de estrutura Tipo de Fundação Direta Cobertura NA Revestimento das fachadas Cadastro Não Mapa de localização e vista isométrica do edifício  Danos visíveis Fissuras Eflorescências Deslocamentos Armaduras à vista Elementos metálicos danificados Deformações visíveis Degradação do revestimento Sim Direta NA Pedra e Reboco Não Não Não Não Não Não Não Não Sim Sim Sim NA Elementos metálicos danificados NA Deformações visíveis Sim Degradação do revestimento Sim	Localização	Calçada do Livramento, Baluarte, muro 1
Tipo de Fundação Cobertura Revestimento das fachadas Pedra e Reboco Não Mapa de localização e vista isométrica do edifício  Danos visíveis Fissuras Eflorescências Deslocamentos Armaduras à vista Elementos metálicos danificados Deformações visíveis Sim Degradação do revestimento Sim	Composição	
Cobertura NA Revestimento das fachadas Pedra e Reboco Não  Mapa de localização e vista isométrica do edifício  Danos visíveis Fissuras Sim Eflorescências Sim Deslocamentos Sim Armaduras à vista Elementos metálicos danificados Deformações visíveis Sim Degradação do revestimento Sim	Tipo de estrutura	Alvenaria
Revestimento das fachadas Cadastro Não  Mapa de localização e vista isométrica do edifício  Danos visíveis Fissuras Eflorescências Deslocamentos Armaduras à vista Elementos metálicos danificados Deformações visíveis Sim Degradação do revestimento Sim Degradação do revestimento Sim	Tipo de Fundação	Direta
Cadastro  Mapa de localização e vista isométrica do edifício  Danos visíveis Fissuras Eflorescências Deslocamentos Armaduras à vista Elementos metálicos danificados Deformações visíveis Sim Degradação do revestimento Sim	Cobertura	NA
Mapa de localização e vista isométrica do edifício  Danos visíveis Fissuras Eflorescências Sim Deslocamentos Armaduras à vista Elementos metálicos danificados Deformações visíveis Sim Deformações visíveis Sim	Revestimento das fachadas	Pedra e Reboco
Danos visíveis Fissuras Eflorescências Deslocamentos Armaduras à vista Elementos metálicos danificados Deformações visíveis Degradação do revestimento Sim Degradação do revestimento	Cadastro	Não
Danos visíveis Fissuras Eflorescências Deslocamentos Armaduras à vista Elementos metálicos danificados Deformações visíveis Degradação do revestimento Sim	Mapa de localização e vista isométrica do edifício	
Eflorescências Sim  Deslocamentos Sim  Armaduras à vista NA  Elementos metálicos danificados NA  Deformações visíveis Sim  Degradação do revestimento Sim	376 381 381 381 381 381 381 381 381 381 381	
Eflorescências Sim  Deslocamentos Sim  Armaduras à vista NA  Elementos metálicos danificados NA  Deformações visíveis Sim  Degradação do revestimento Sim		Sim
Deslocamentos Sim  Armaduras à vista NA  Elementos metálicos danificados NA  Deformações visíveis Sim  Degradação do revestimento Sim	Eflorescências	
Armaduras à vista NA  Elementos metálicos danificados NA  Deformações visíveis Sim  Degradação do revestimento Sim	Deslocamentos	
Elementos metálicos danificadosNADeformações visíveisSimDegradação do revestimentoSim	Armaduras à vista	
Deformações visíveis     Sim       Degradação do revestimento     Sim	Elementos metálicos danificados	
Degradação do revestimento Sim		
	•	
Descasque e destacamento da pintura   NA	Descasque e destacamento da pintura	NA .
	Condição geral	

Pág. 1 of 2 Revisão: 0 (11/10/2024)





Resultado da avaliação de danos	
Etapas de construção analisadas	Execução da totalidade da obra
Medidas de mitigação	Medida de Mitigação Tipo B

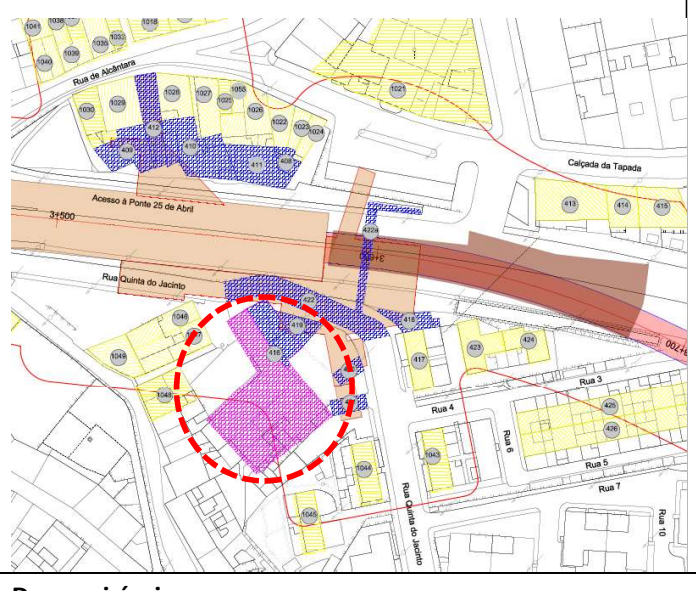
Pág. 2 of 2 Revisão: 0 (11/10/2024)





Ficha de avaliação de danos	
Características gerais	
Número da interferência	416
Categoria	Edifício Importância Patrimonial
Localização	Travessa do Fiúza, 37-39
Composição	? Caves + 3 Pisos
Tipo de estrutura	Alvenaria Resistente
Tipo de Fundação	Direta
Cobertura	Telhado
Revestimento das fachadas	Reboco e pedra
Cadastro	Sim

## Mapa de localização e vista isométrica do edifício





Danos visíveis	
Fissuras	Não
Eflorescências	Não
Deslocamentos	Não
Armaduras à vista	Não
Elementos metálicos danificados	Sim
Deformações visíveis	Não
Degradação do revestimento	Não
Descasque e destacamento da pintura	Não
Condição geral	

Pág. 1 of 9 Revisão: 0 (11/10/2024)



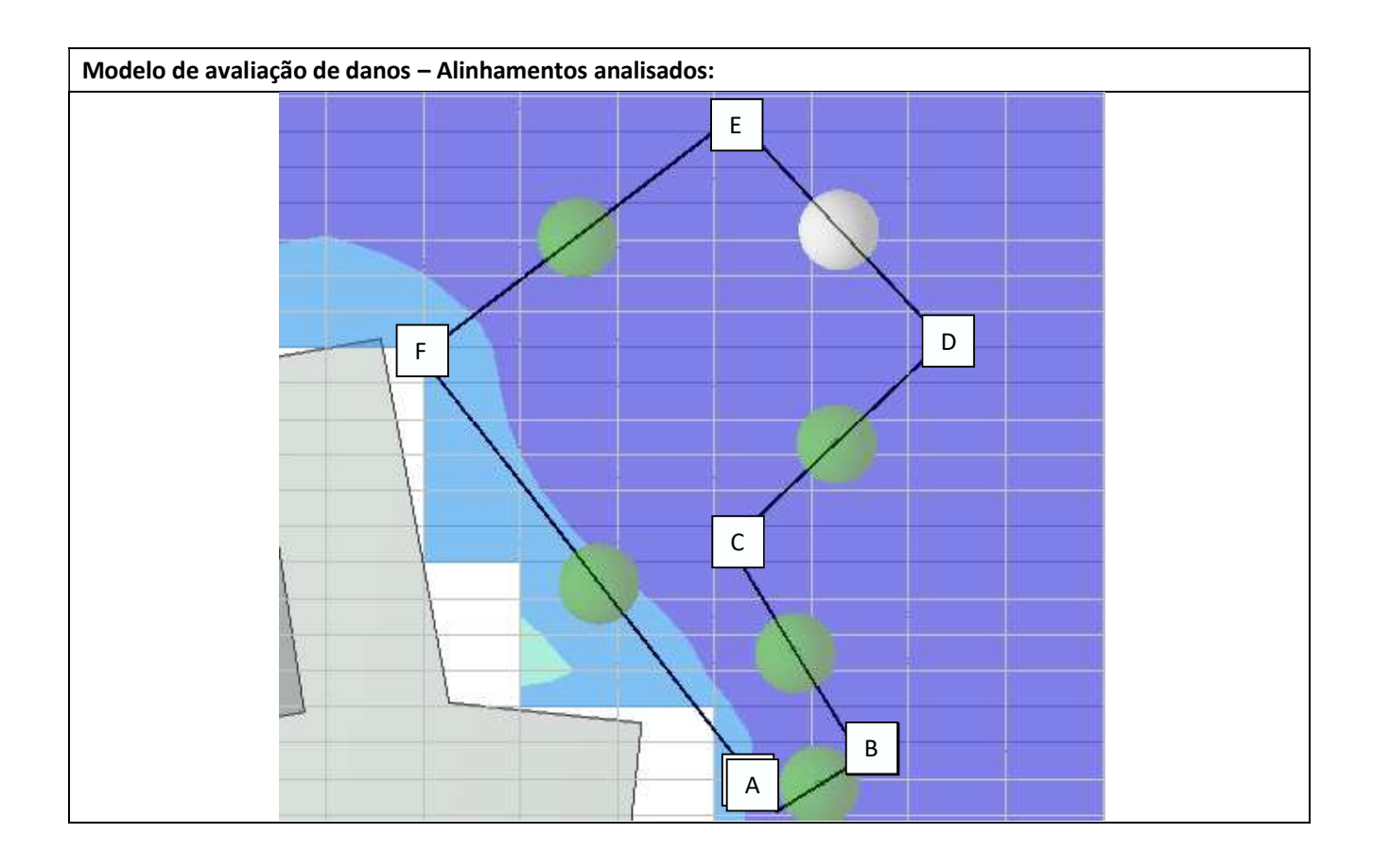


Resultado da avaliação de danos		
Etapas de construção analisadas	Execução do acesso Norte da estação	
Medidas de mitigação	Sem medida de mitigação	
Execução da Fase 1 de escavação da Obra		
Fase de avaliação	Preliminar	
Assentamento máximo (mm)	4	
Categoria de danos <b>sem fator de agravamento</b> da categoria para edifícios/estruturas classificados (Burland, 1995)	Empena A-B — Categoria 0 Empena B-C — Categoria 0 Empena C-D — Categoria 0 Empena D-E — Categoria 0 Empena E-F — Categoria 0 Empena F-A — Categoria 0	
Vista isométrica do modelo de avaliação de danos – Ass	sentamentos e categoria de danos:	
B5 : Palácio Fiuza/EF	Building Results  Sensitivity Cat. 0 (Negligible) Cat. 1 (Very Slight) Cat. 2 (Slight) Cat. 3 (Moderate) Cat. 4 (Severe)  Displacement - Resultant - Elastic 0:5.000 mm 10.00:15.00 mm 10.00:15.00 mm 20.00:25.00 mm 25.00:30.00 mm  Displacement Grids Displacement Lines	

Pág. 2 of 9 Revisão: 0 (11/10/2024)

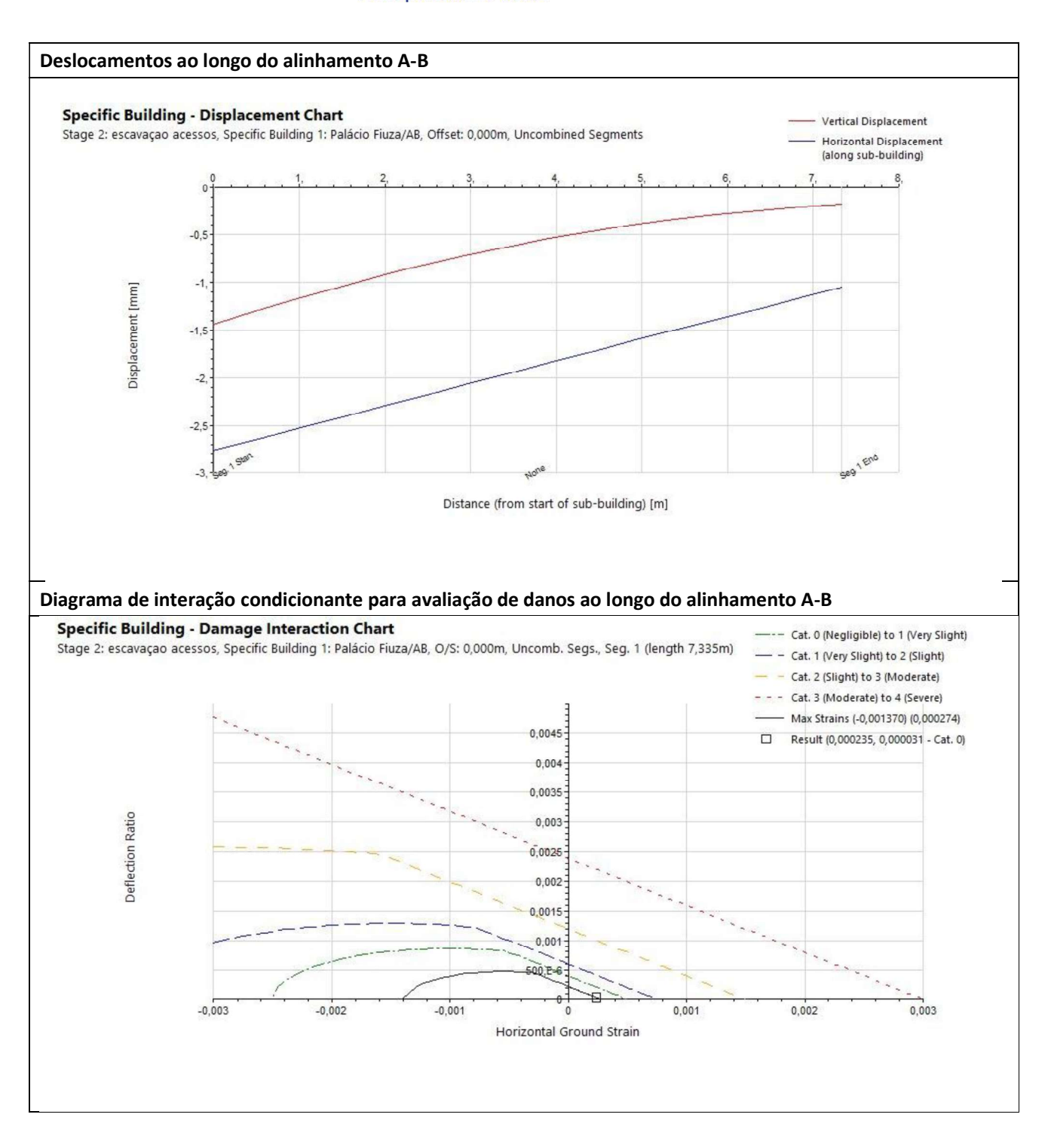






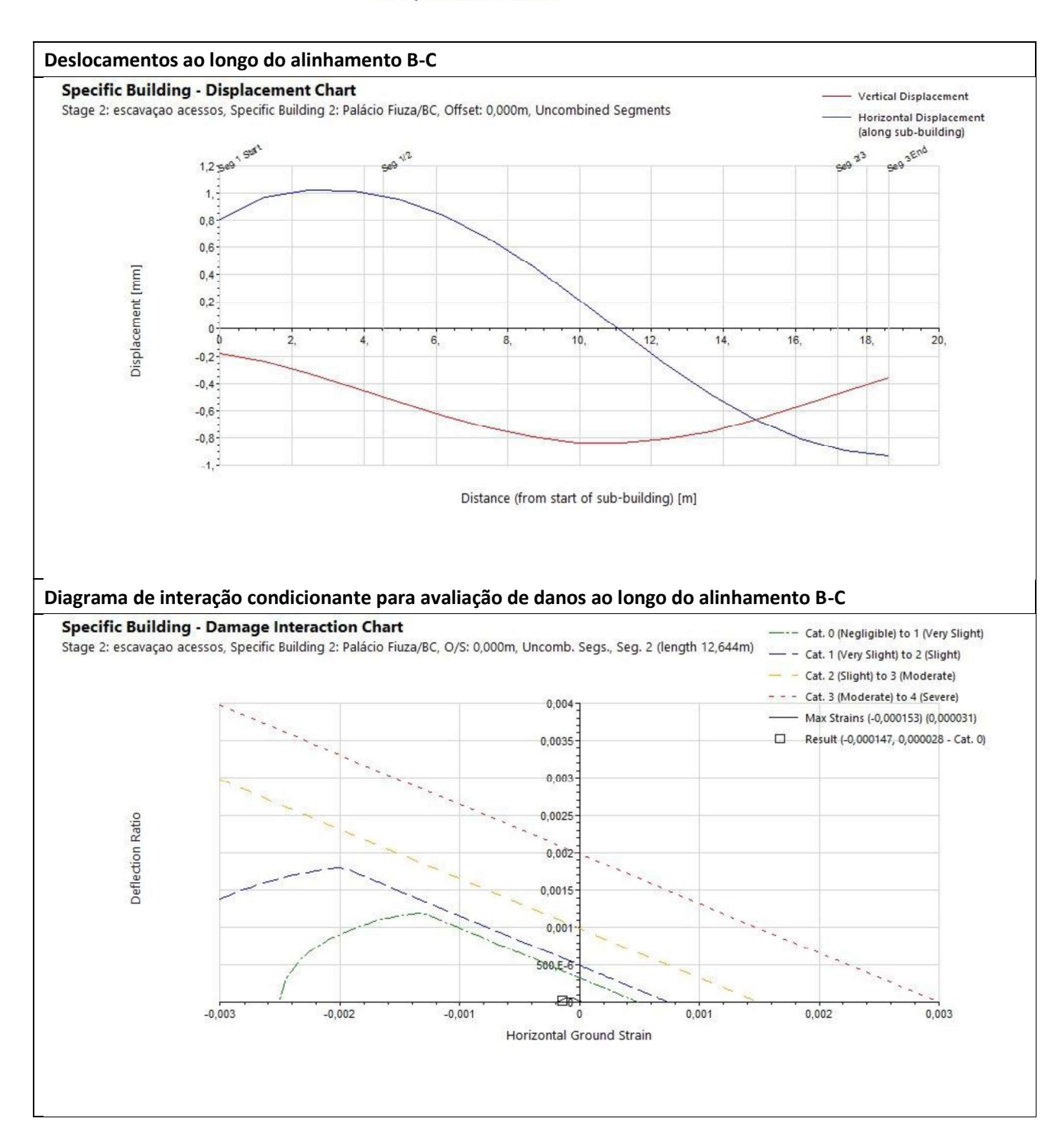
Pág. 3 of 9 Revisão: 0 (11/10/2024)





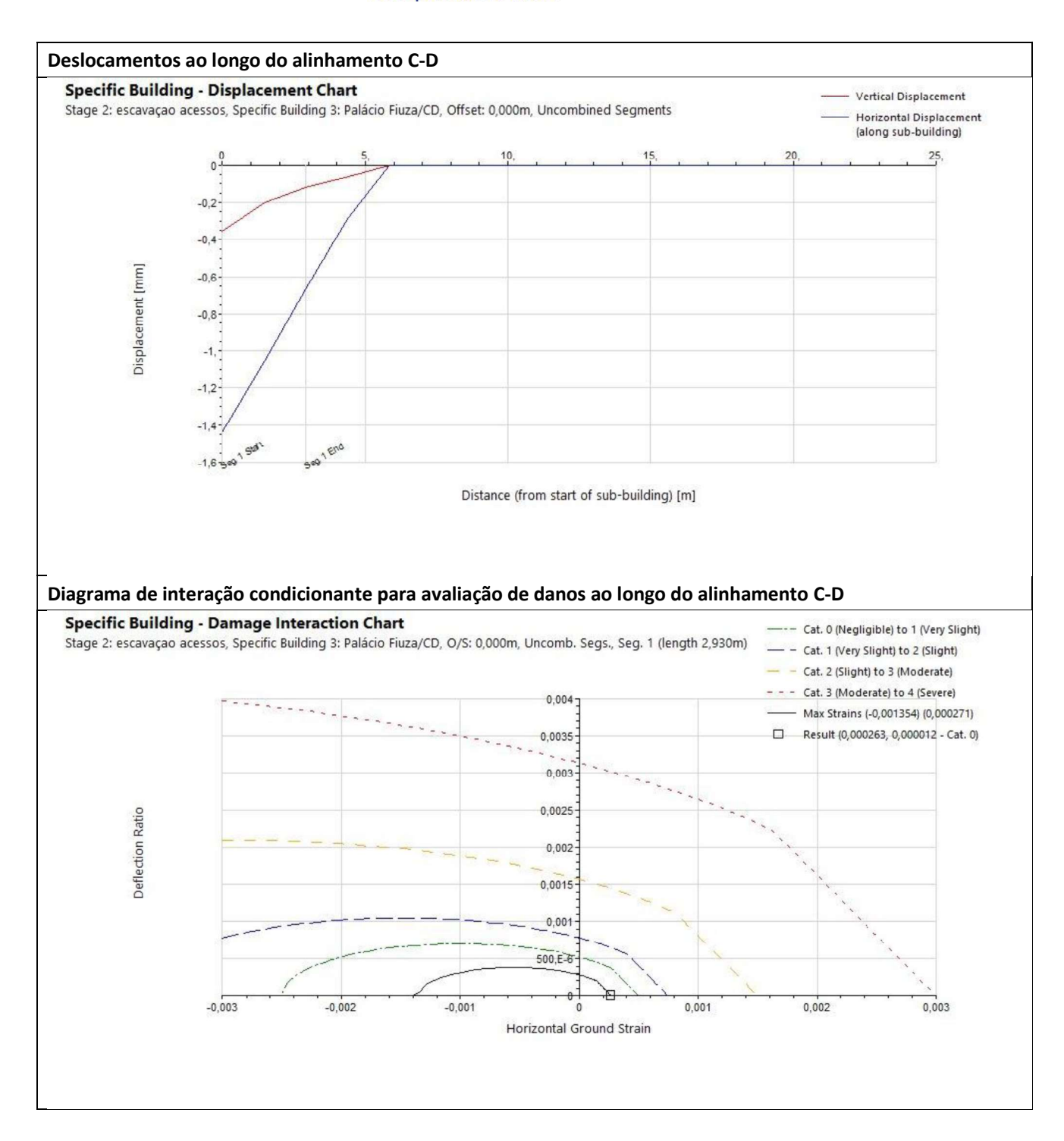
Pág. 4 of 9 Revisão: 0 (11/10/2024)





Pág. 5 of 9 Revisão: 0 (11/10/2024)

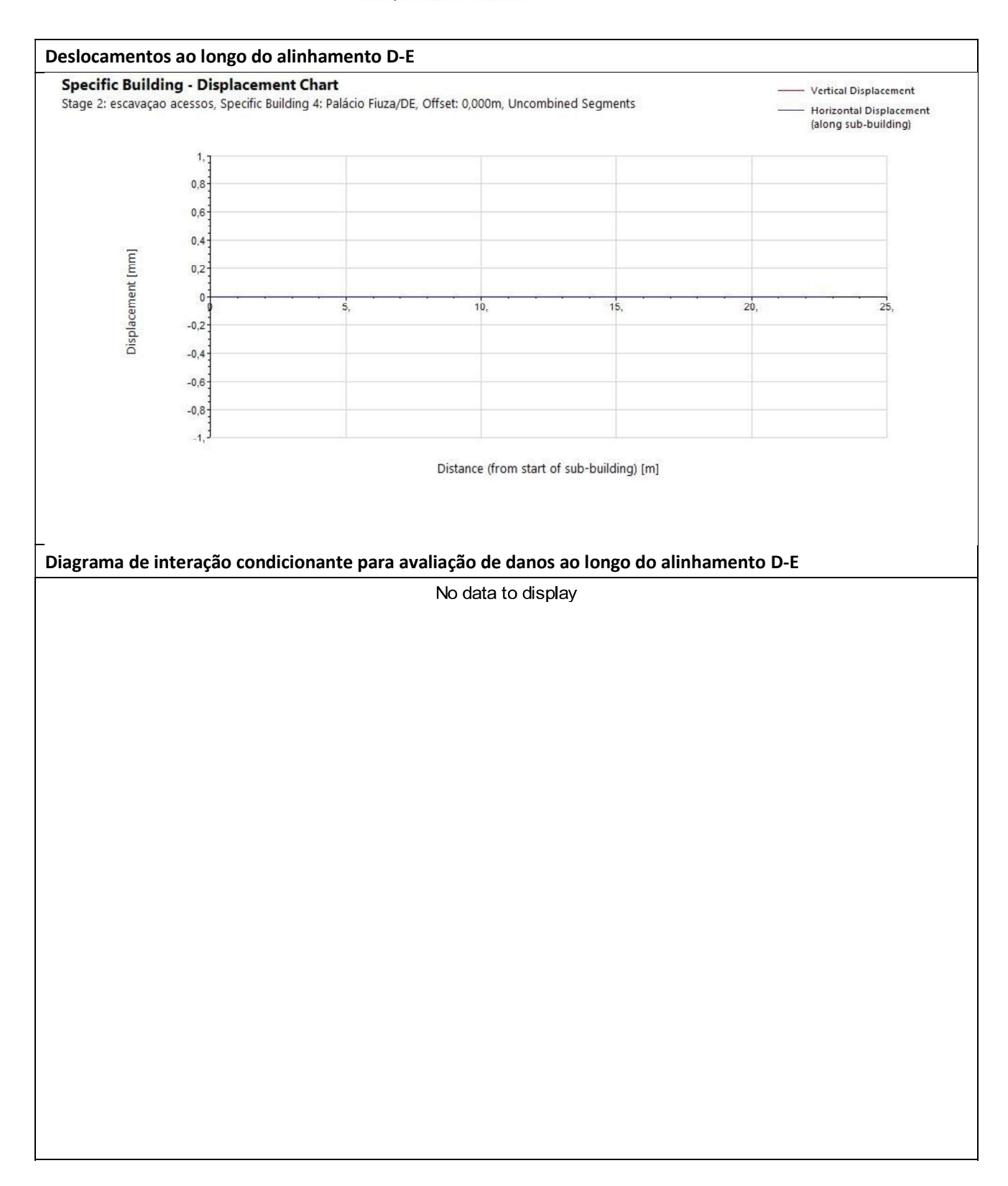




Pág. 6 of 9 Revisão: 0 (11/10/2024)

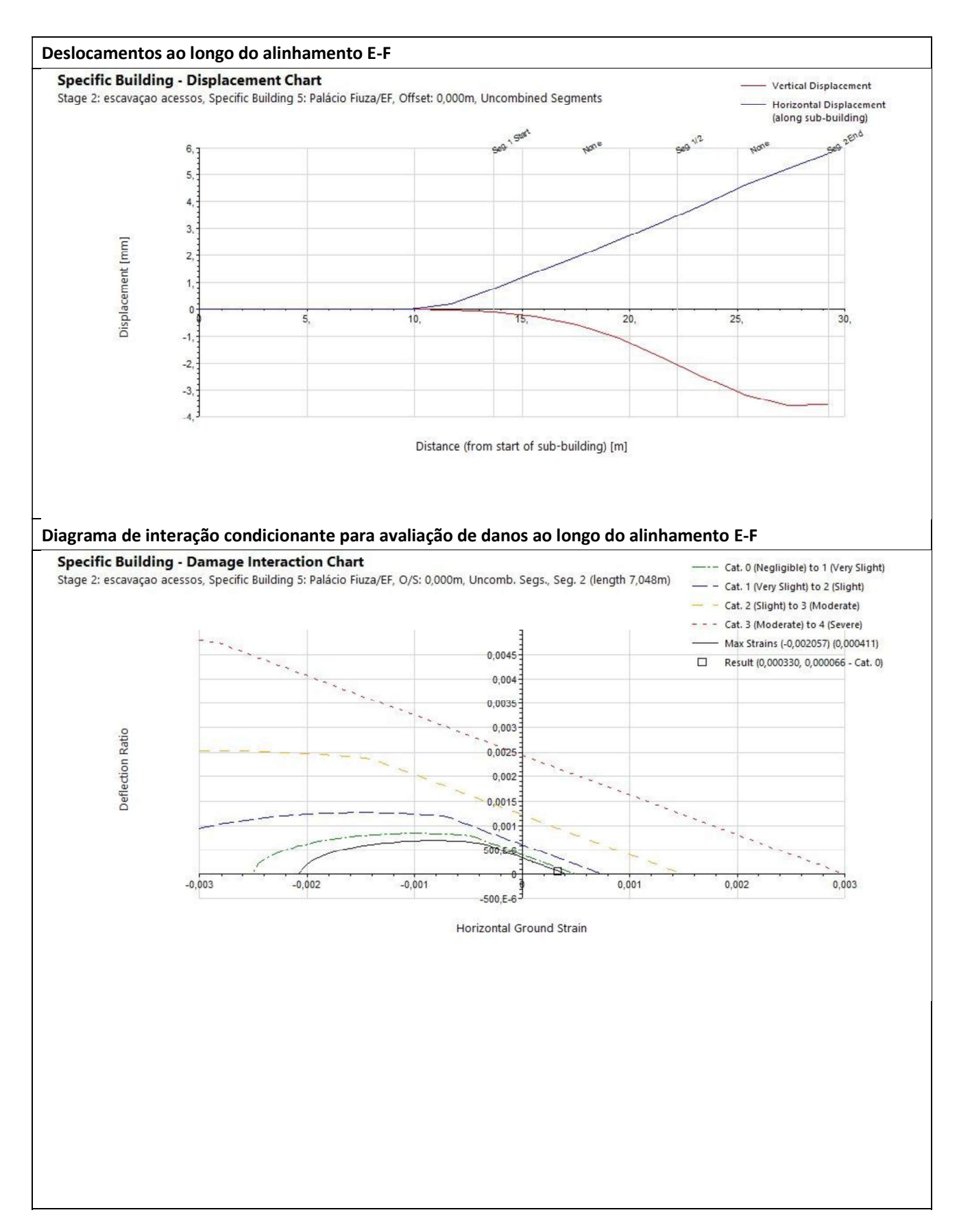






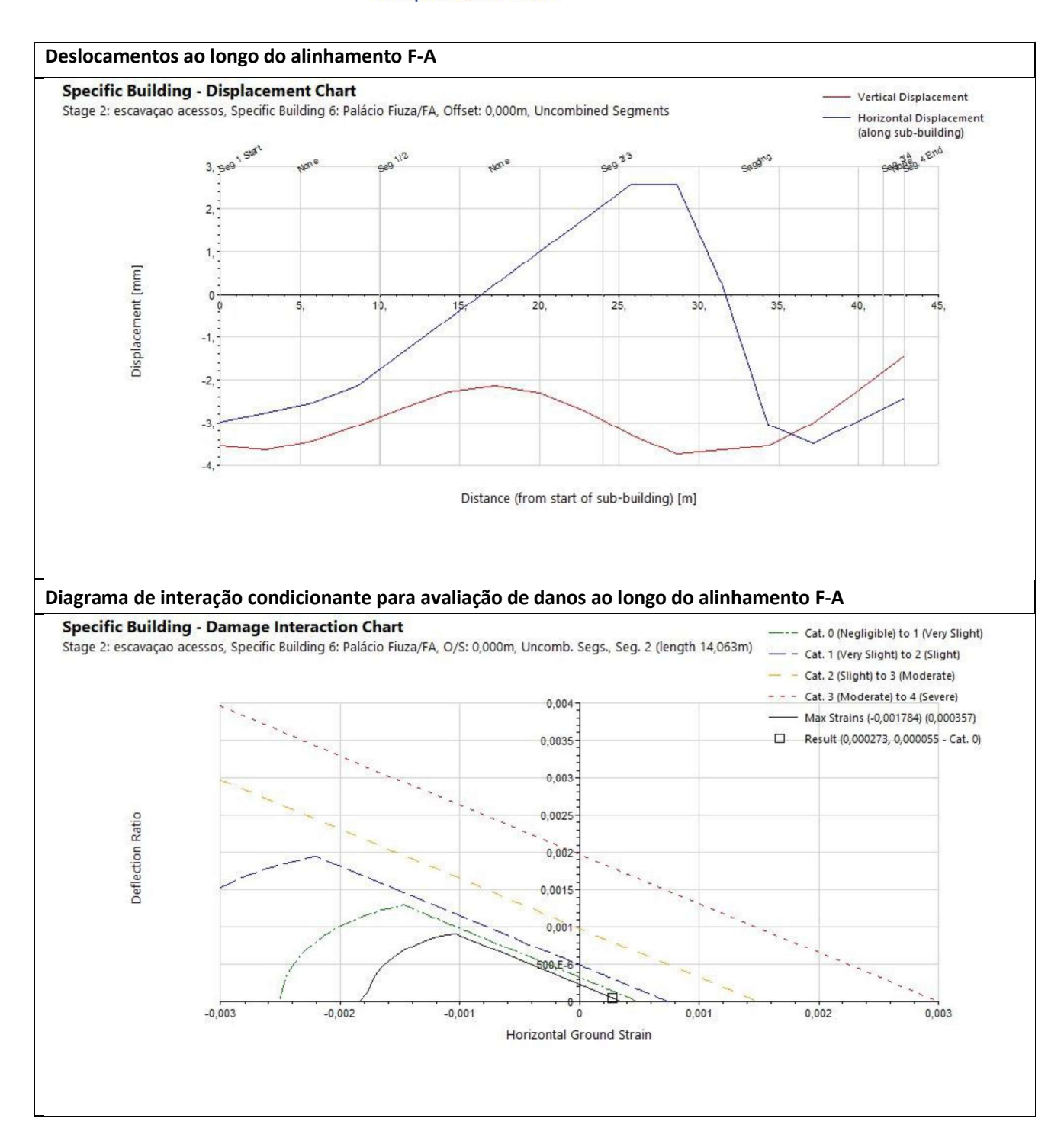
Pág. 7 of 9 Revisão: 0 (11/10/2024)





Pág. 8 of 9 Revisão: 0 (11/10/2024)





Pág. 9 of 9 Revisão: 0 (11/10/2024)





Características gerais	
Número da interferência	429
Categoria	Caneiro
Localização	Avenida de Ceuta s/n
Composição	NA
Tipo de estrutura	Alvenaria
Tipo de Fundação	Direta
Cobertura	NA
Revestimento das fachadas	NA
Cadastro	Não
Mapa de localização e vista interior	
Danos visíveis	AGUAS A AATA
Fissuras	Desconhecido
Eflorescências	Desconhecido
Deslocamentos	Desconhecido
Armaduras à vista	Desconhecido
Elementos metálicos danificados	Desconhecido
Deformações visíveis	Desconhecido
Degradação do revestimento	Desconhecido
Descasque e destacamento da pintura	Desconhecido
Condição geral	Desconhecido

Pág. 1 of 4 Revisão: 0 (11/10/2024)



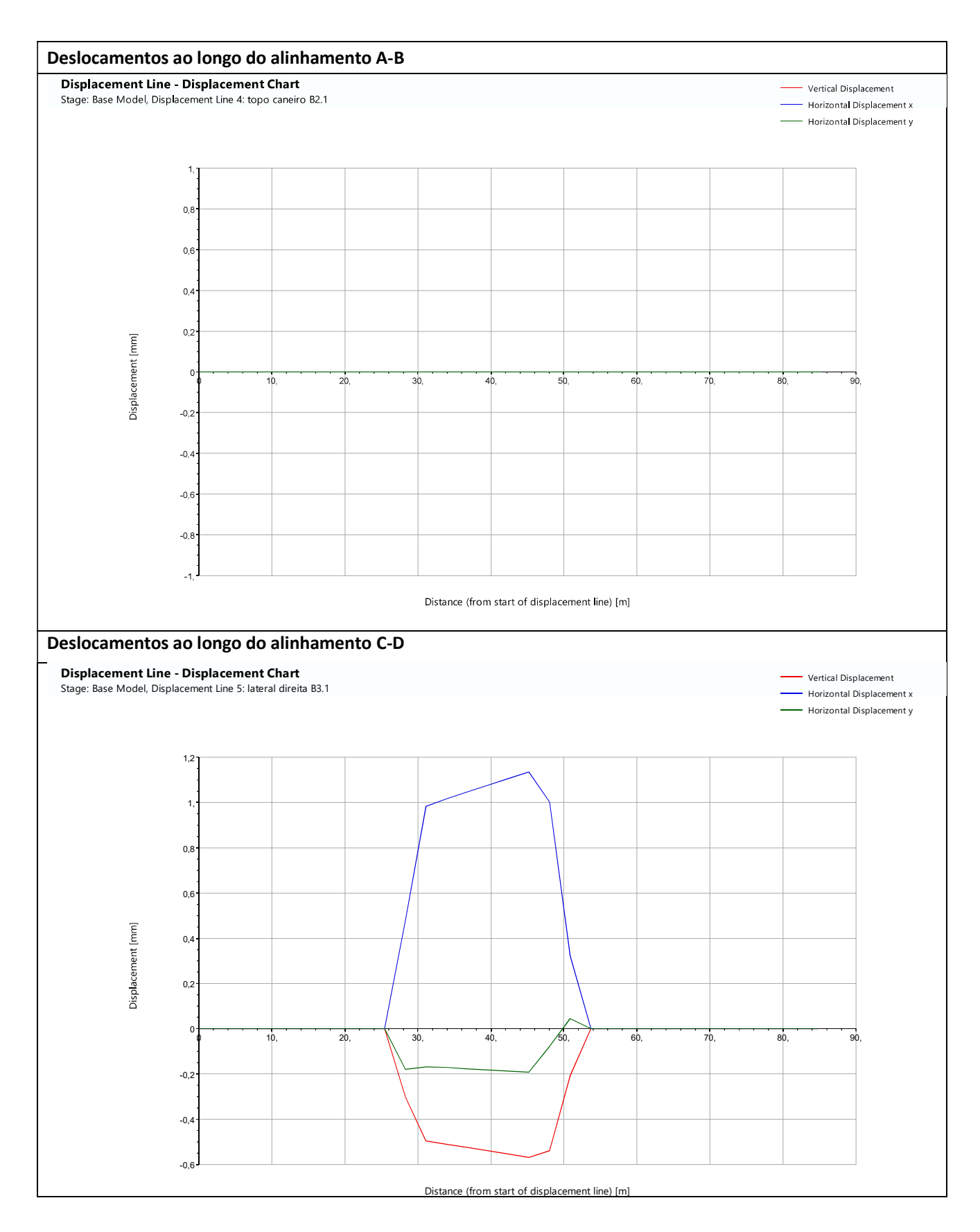


Resultado da avaliação de danos		
Etapas de construção analisadas	Execução da totalidade da obra	
Medidas de mitigação	Sem medida de mitigação	
Execução da Totalidade da Obra		
Fase de avaliação	Preliminar	
Assentamento máximo (mm)	1	
Modelo de avaliação de danos – Alinhamentos analisad	los:	
E A C  P2  topo caneiro B2.1  F B D	Legend  Excavation  Polyline  HH+ Rail Track  Displacement - Z - Elastic  0:2,000 mm  2,000:4,000 mm  4,000:6,000 mm  6,000:8,000 mm  6,000:10,00 mm  10,00:12,00 mm  Displacement Grids  Displacement Lines	

Pág. 2 of 4 Revisão: 0 (11/10/2024)



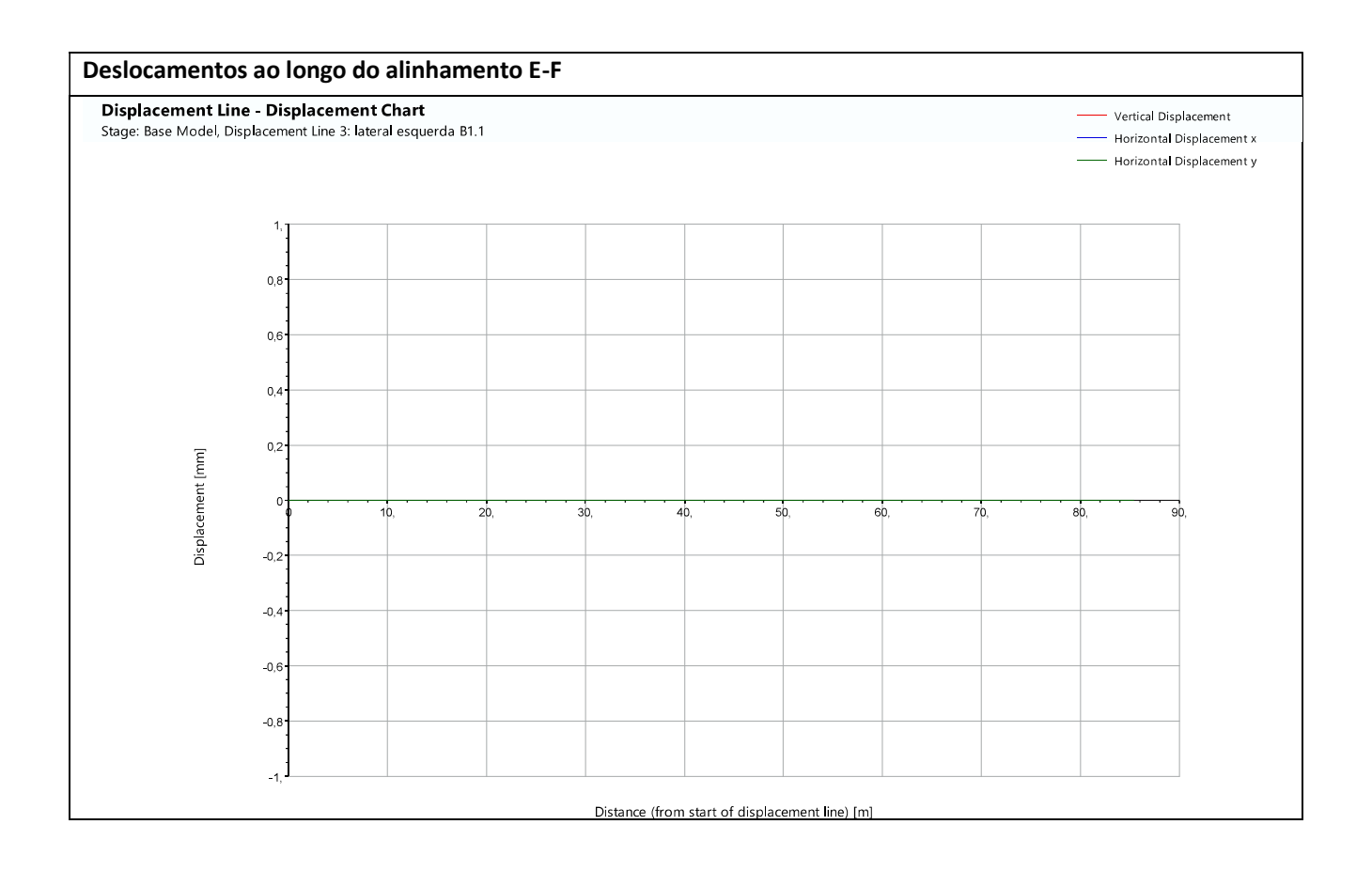




Pág. 3 of 4 Revisão: 0 (11/10/2024)







Pág. 4 of 4 Revisão: 0 (11/10/2024)



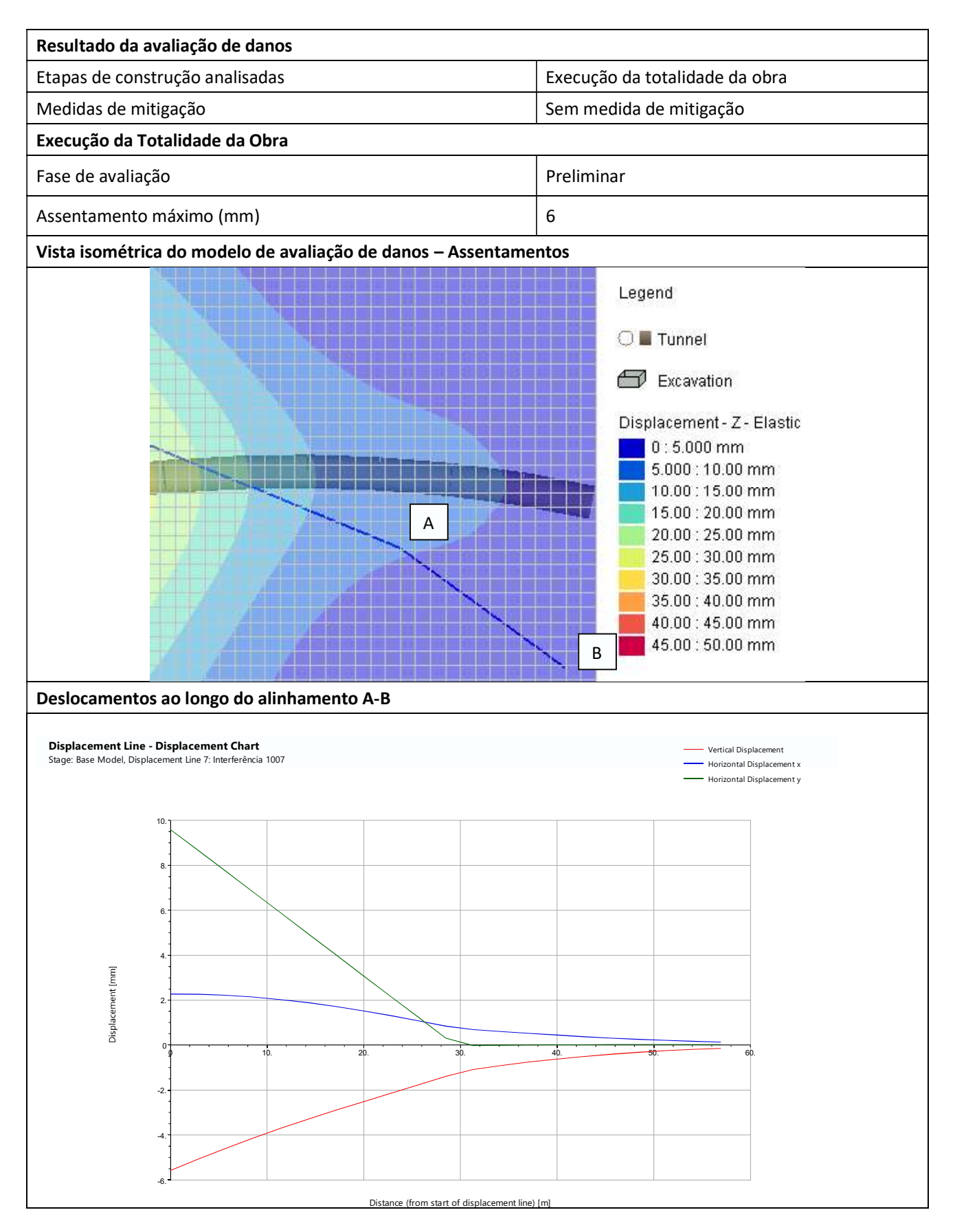


Ficha de avaliação de danos		
Características gerais		
Número da interferência	1007	
Categoria	Aqueduto	
Localização	Rua Possidónio da Silva	
Composição	Estrutura Enterrada	
Tipo de estrutura	Alvenaria	
Tipo de Fundação	Direta	
Cobertura	NA	
Revestimento das fachadas	NA	
Cadastro	Não	
Mapa de localização e vista isométrica do edifício	,	
Panos visíveis		
Fissuras	Desconhecido	
Eflorescências	Desconhecido	
Deslocamentos	Desconhecido	
Armaduras à vista	Desconhecido	
Elementos metálicos danificados	Desconhecido	
Deformações visíveis	Desconhecido	
Degradação do revestimento	Desconhecido	
Descasque e destacamento da pintura	Desconhecido	
Condição geral	Desconhecido	

Pág. 1 of 3 Revisão: 0 (11/10/2024)







Pág. 2 of 3 Revisão: 0 (11/10/2024)





Pág. 3 of 3 Revisão: 0 (11/10/2024)





Ficha de avaliação de danos  Características gerais		
Via Férrea		
Avenida de Ceuta c/ Rua Prior do Crato		
Via não eletrificada		
Via Betonada e Balastrada		
Direta		
NA		
NA		
Não		

#### Mapa de localização





Danos visíveis		
Fissuras	NA	
Eflorescências	NA	
Deslocamentos	NA	
Armaduras à vista	NA	
Elementos metálicos danificados	NA	
Deformações visíveis	NA	
Degradação do revestimento	NA	
Descasque e destacamento da pintura	NA	
Condição geral		

Pág. 1 of 9 Revisão: 0 (11/10/2024)

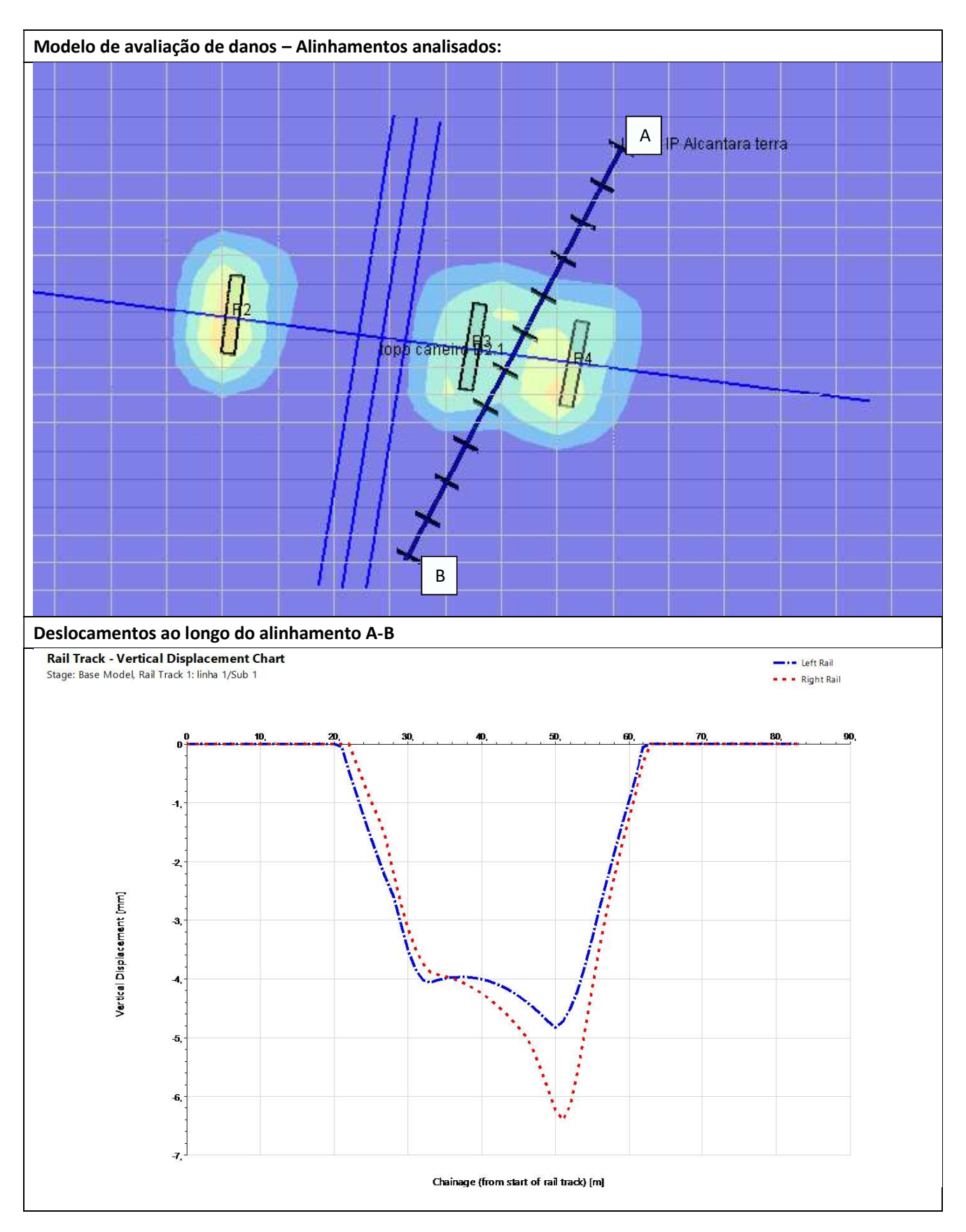




Resultado da avaliação de danos (1/2)	
Etapas de construção analisadas	Execução da totalidade da obra
Medidas de mitigação	Sem medida de mitigação
Execução da Totalidade da Obra	
Fase de avaliação	Preliminar
Assentamento máximo (mm)	6,5
Vista isométrica do modelo de avaliação de d	lanos – Assentamentos

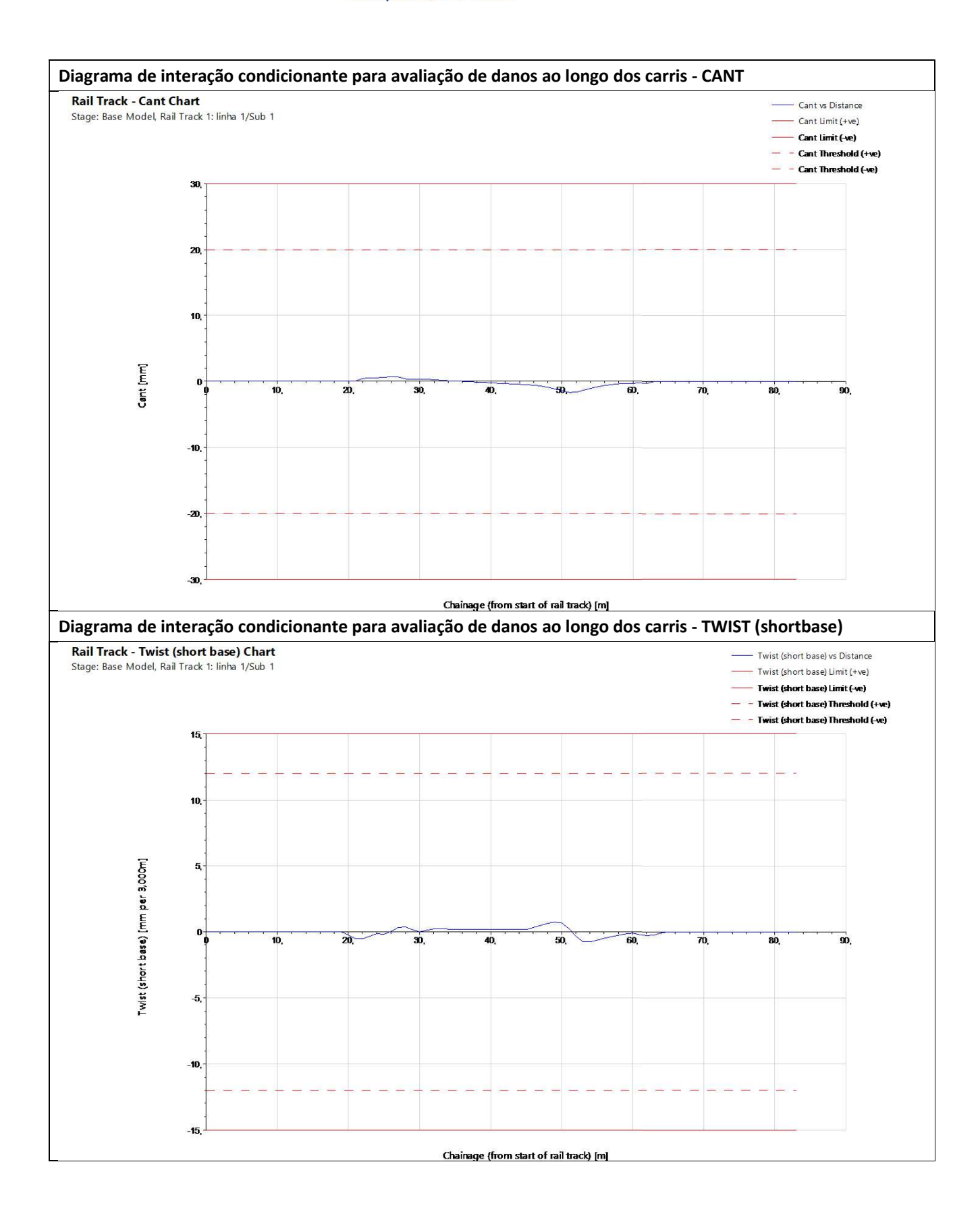
Pág. 2 of 9 Revisão: 0 (11/10/2024)





Pág. 3 of 9 Revisão: 0 (11/10/2024)

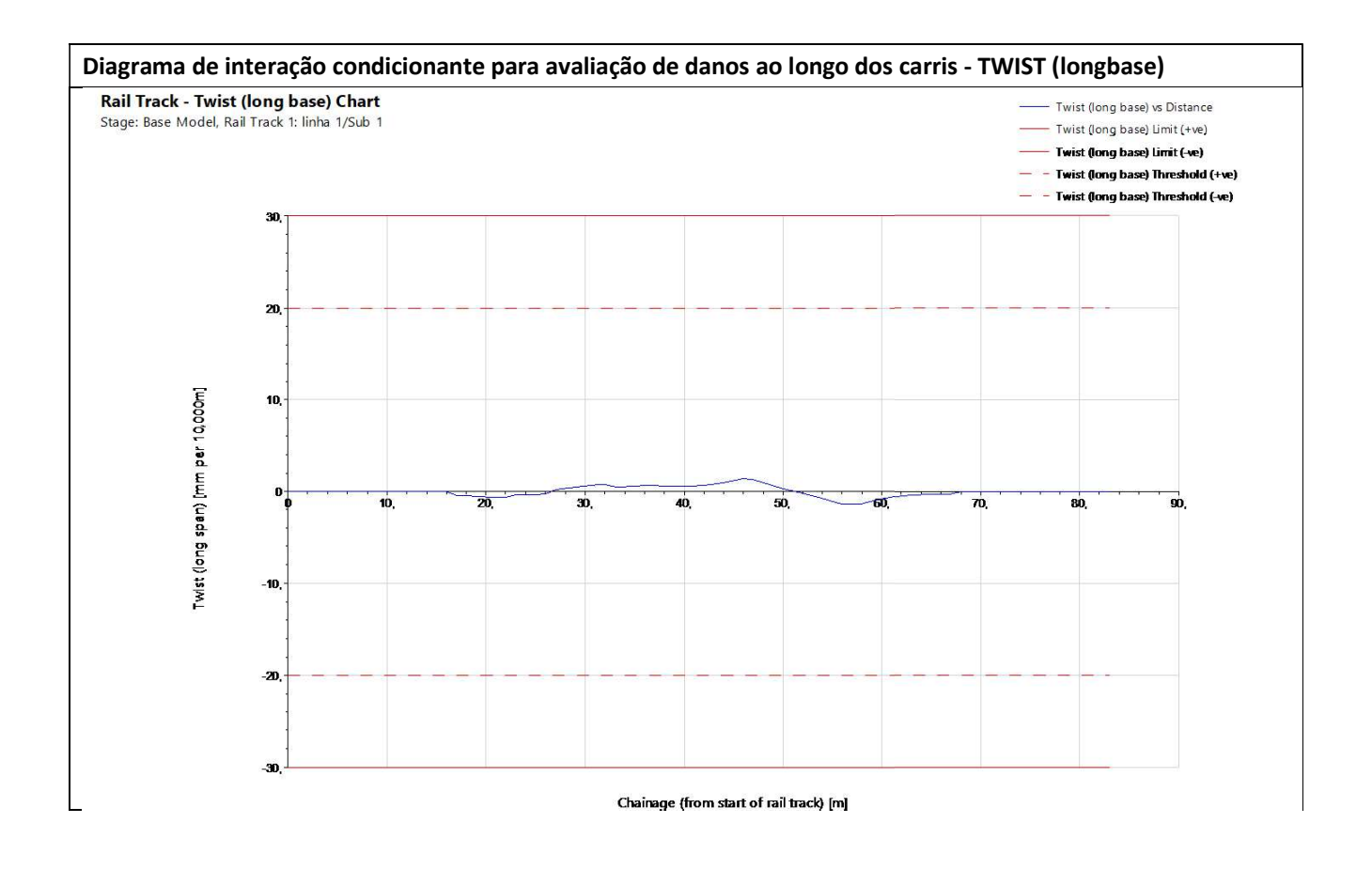




Pág. 4 of 9 Revisão: 0 (11/10/2024)







Pág. 5 of 9 Revisão: 0 (11/10/2024)

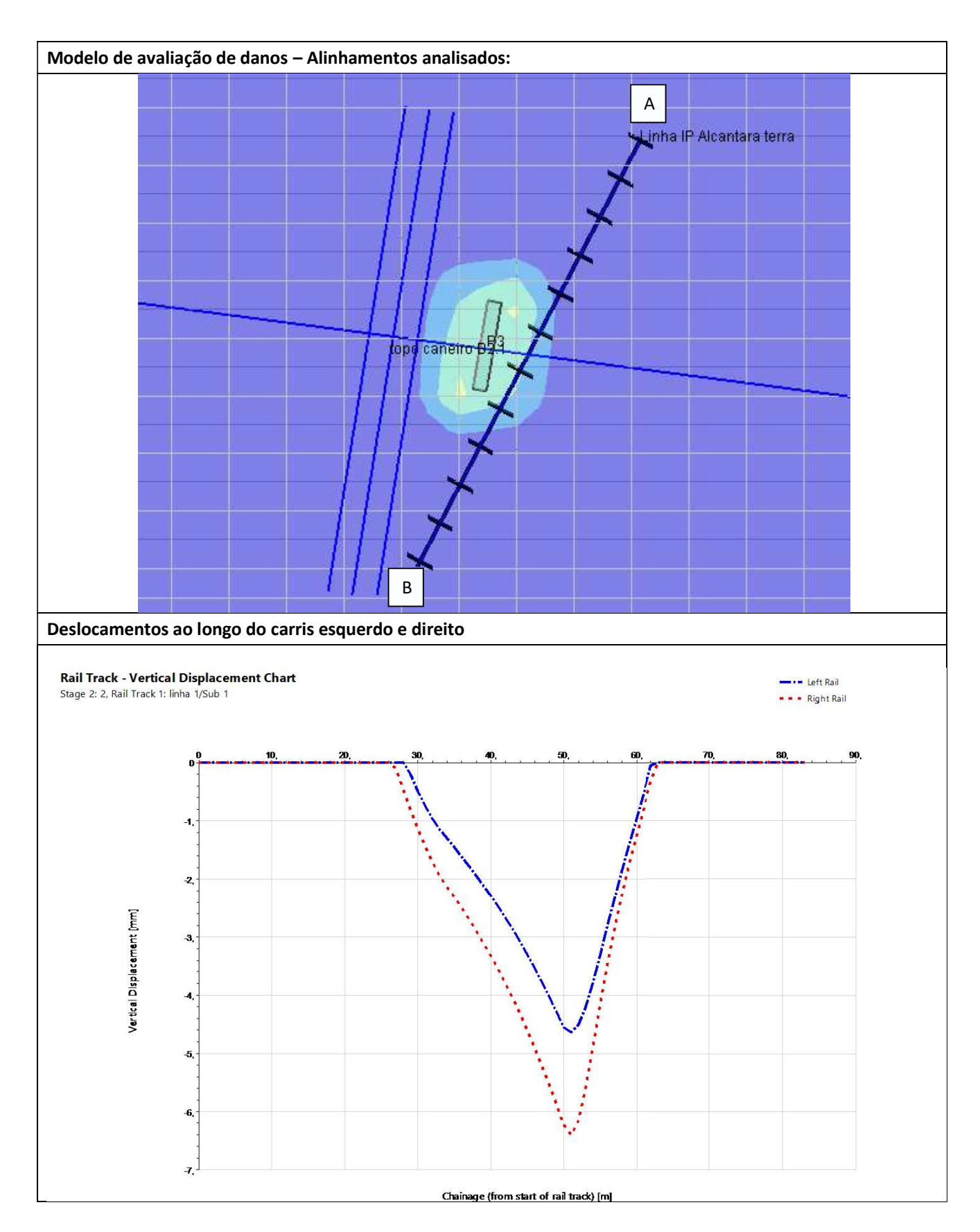




Resultado da avaliação de danos (2/2)	
Etapas de construção analisadas	Execução da escavação do Pilar 3 (P3, o mais crítico)
Medidas de mitigação	Instrumentação e observação Nível 1
Execução da Totalidade da Obra	
Fase de avaliação	Preliminar
Assentamento máximo (mm)	6,5
Vista isométrica do modelo de avaliação de dano	os – Assentamentos
topo raneiro B2.1	Excavation  — Polyline  +III+ Rail Track  Displacement - Z - Elastic  0: 2,000 mm  2,000: 4,000 mm  4,000: 6,000 mm  6,000: 8,000 mm  8,000: 10,00 mm  10,00: 12,00 mm

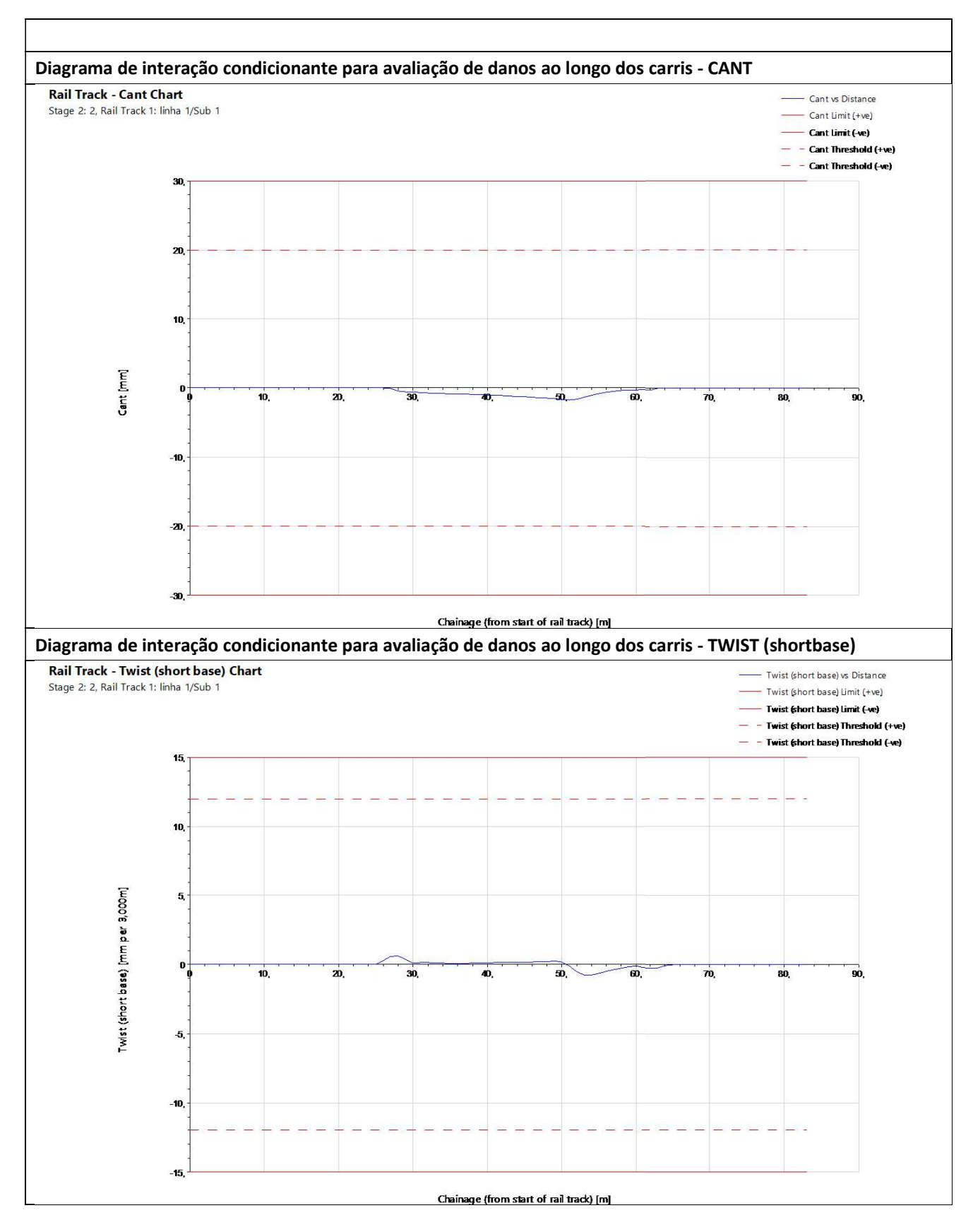
Pág. 6 of 9 Revisão: 0 (11/10/2024)





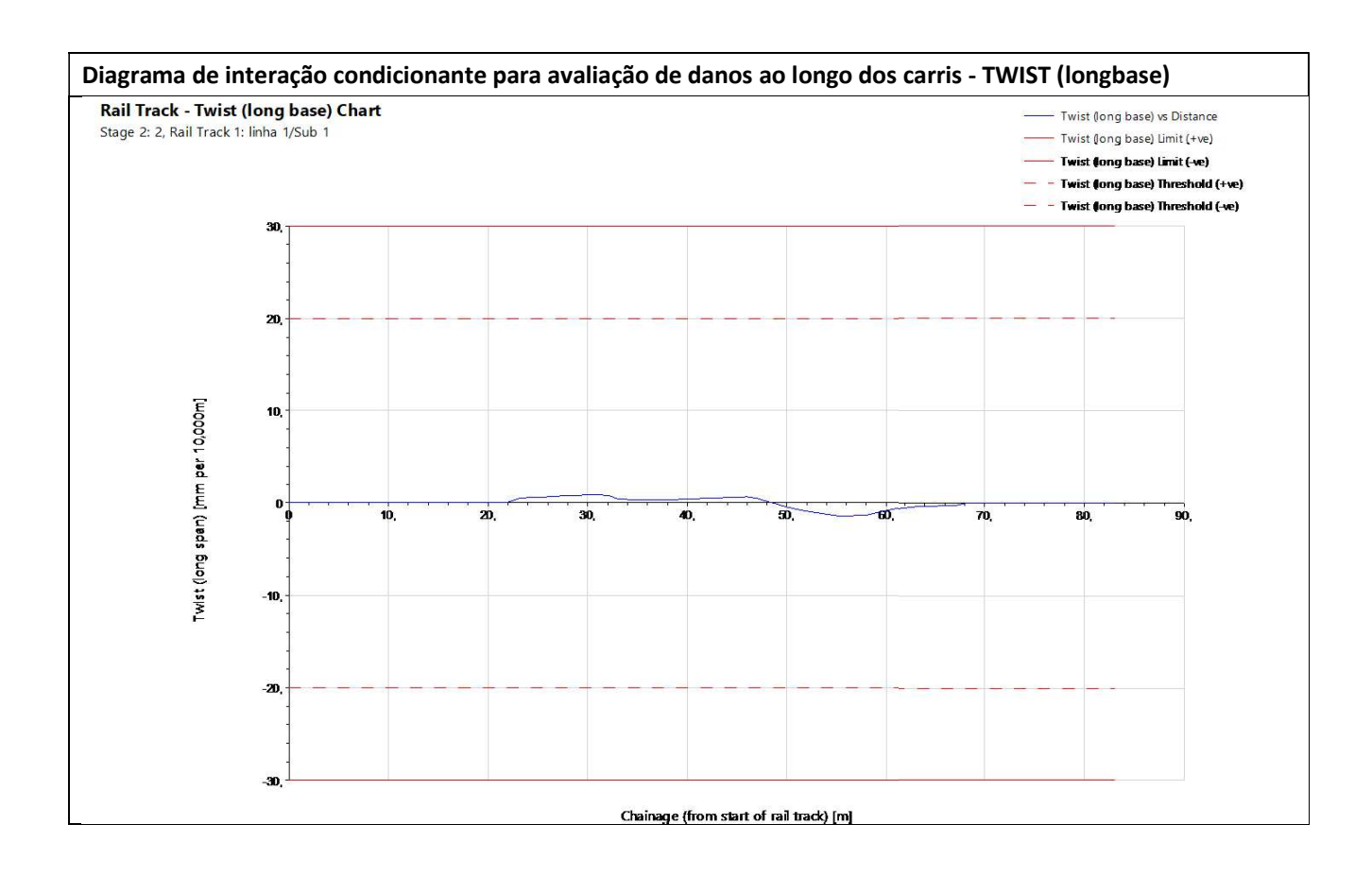
Pág. 7 of 9 Revisão: 0 (11/10/2024)





Pág. 8 of 9 Revisão: 0 (11/10/2024)





Pág. 9 of 9 Revisão: 0 (11/10/2024)



#### NOTA TÉCNICA



#### Registo e Controlo de Alterações

Revisão	Data	Descrição
00	2024-10-03	Emissão Inicial



#### MEMÓRIA DESCRITIVA E JUSTIFICATIVA



### ANEXO II – RELATÓRIOS DE INSPEÇÃO

#### RELATÓRIO TÉCNICO SOBRE LEVANTAMENTO TOPOGRÁFICO

Sérgio Filipe Marques de Jesus, morador na Rua do Penedo, 6-A 2640-734 Alcainça, cartão de cidadão n.º 10295781 9ZY6 e contribuinte nº 203 068 718, com a Certificação Profissional de Técnico de Topografia, conforme o Catálogo Nacional de Qualificações, em 30/04/2018, ao abrigo do Decreto-Lei 37/2015, de 10 Março, Sócio n. 3536 da ANT, declara que o trabalho de topografia sobre as interceções altimétricas dos aquedutos da EPAL sobre o trajeto da linha vermelha foram efetuadas recorrendo a um sistema integrado composto pelos seguintes equipamentos: sistema GNSS Trimble R8s e estação total Trimble S7 de 3". O levantamento topográfico encontra-se georreferenciado no sistema "ETRS89" e com cotas altimétricas referidas ao "marégrafo de Cascais".

Em vista das condições existentes no local e pela falta de "fecho" da 'poligonal' topográfica existe uma incerteza razoável das direções obtidas, mas as cotas altimétricas apresentadas terão uma certeza razoável.

Igualmente existe uma incerteza razoável dos dados fornecidos para os elementos planimétricos dos aquedutos da EPAL.

No troço **013** conclui-se que na plataforma de entrada do túnel a cota altimétrica é de 114,39m. Desde o início do túnel até á escada em caracol são aproximadamente 65m e cota altimétrica final é de 105,44m.

Deste o inicio da entrada até aos 28,30m existe uma diferença de cotas de 7,59m, sendo a cota no final da primeira rampa de 106,80m, nos próximos 36,70m a diferença de cotas é de 1,36m.

A cota altimétrica no túnel da EPAL para o eixo do túnel do metro é de 106,50m, sendo as cotas para os 15m de afastamento é de 109.35m e de 105,83m.

Mafra, 28 de setembro de 2024,



### RELATÓRIO DE INSPEÇÃO TÉCNICA

#### RIT 440/2024 – Interferência Nº 13



Requerente: Metro S. Sebastião - Alcântara, ACE

Imóvel Vistoriado: Rua Marquês de Fronteira - Troço Aqueduto - Lisboa

Obra: RE 03.417 – Metropolitano de Lisboa - Linha Vermelha – Prolongamento

S. Sebastião - Alcântara

Dono-de-Obra: Metropolitano de Lisboa, E.P.E.

Tipo de Imóvel inspecionado: Troço N do Aqueduto Campo de Santana

Objeto da Vistoria: Inspeção Técnica Prévia ao troço de 60 metros com centro no eixo do túnel a escavar (PK 0+220) sob o Aqueduto para zeragem

Datas Visitas de Inspeção ao Aqueduto: 26 e 27 de setembro de 2024



### ÍNDICE

1. Conclusões da Inspeção	
1.1. Identificação	03
1.2. Notas Introdutórias	03
2. Desenvolvimento do Processo de Inspeção	
2.1. Enquadramento Urbano do Aqueduto	04
2.2. Caracterização do Aqueduto	05
2.3. Conclusões das Vistorias	06
3. Anexos ao Processo	
ANEXO I – Foto Aérea de Localização	08
ANEXO II - Levantamentos Fotográficos	10



#### 1. Conclusões da Inspeção

#### 1.1. Identificação

Requerente: Metro S. Sebastião - Alcântara, ACE

Acompanhantes na visita: Engº Carlos Filipe Carvalho (EPAL)

Imóvel da Vistoria: Aqueduto do Campo de Santana

Rua Marquês de Fronteira – Lisboa

Dono-de-Obra: Metropolitano de Lisboa, EPE

Tipo Imóvel inspecionado: Troço do Aqueduto Campo de Santana

Objeto da Monitorização: Inspeção Técnica Prévia para zeragem do

Aqueduto e sua georreferenciação topográfica

Datas da Inspeção e Topografia: 26 e 27 de setembro de 2024

#### 1.2. Notas Introdutórias

O presente trabalho foi solicitado pelo ACE Requerente, tendo em vista uma Inspeção Técnica Prévia ao troço do Aqueduto acima identificado, para monitorização do mesmo, durante os trabalhos de escavação do túnel entre a Estação de S. Sebastião e Estação de Campolide-Amoreiras, conforme obrigação contratual.

Para tal, foram efetuadas duas vistorias ao interior do Aqueduto do Campo de Santana nos dias 26 e 27 de agosto de 2024, nomeadamente ao estado de conservação do interior do túnel, com acompanhamento dum técnico da EPAL, durante as quais foram levantadas e analisadas as patologias visíveis no intradorso do túnel, ocupado por uma tubagem 500 mm em ferro fundido.

Dos dados levantados e das informações recolhidas, foi elaborado o seguinte Relatório de Inspeção, tendo como principal objetivo a zeragem das anomalias constatadas no troço do Aqueduto do Campo de Santana, através do seu registo fotográfico e georreferenciação topográfica, os quais constituem os **Anexo II** deste Relatório.



#### 2. Desenvolvimento do Processo de Inspeção

#### 2.1. Enquadramento Urbano do Imóvel

A zona envolvente é urbana consolidada, com construções de várias idades, junto do Reservatório do Arco, constituído por duas células, visitadas previamente, com acessos pela Rua Marquês de Fronteira e Av. Miguel Torga.



Foto 1 – Vista envolvente ao troço do Aqueduto do Campo de Santana da EPAL

A zona adjacente é urbana, possui uma caracterização mista de habitação, serviços e comércio.

Note-se que é uma zona com grande incidência de tráfego automóvel. O estacionamento em superfície é insuficiente, pois a maioria dos prédios na zona não possuem estacionamento próprio.

O acesso ao local de veículos prioritários é bom, localizando-se uma Esquadra da PSP e um Quartel de Bombeiros a menos de dois quilómetros.



#### 2.2. Caracterização do Aqueduto

O troço do aqueduto inspecionado, faz parte do Aqueduto do Campo de Santana, possui na lateral nascente uma caleira gravítica. A sua estrutura resistente composta por paredes em alvenaria de pedra argamassada, com arco superior autoportante.



Foto 2 – Vista do interior do aqueduto na zona sobre o Eixo do túnel

A cobertura é composta por um arco autoportante de pedra, apoiado em paredes de pedra argamassada, com revestimento interior a argamassa de cal. Na zona superior da caleira E localiza-se uma passagem de cabos eléctricos.

O estado de conservação deste troço do aqueduto é razoável a mau.



#### 2.3. Conclusões das Vistorias

Da análise pormenorizada às anomalias vistoriadas no interior do Aqueduto à data das duas vistorias, concluímos que o mesmo apresentava algumas patologias, a saber:

- Verificaram-se danos nas paredes interiores do Aqueduto, por escorrências devido a infiltrações e avançada idade do Aqueduto;
- Foram registadas algumas anomalias na caleira lateral de drenagem, devido a entupimentos por escorrências calcárias;
- A tubagem em ferro fundido com 500 mm de diâmetro interno, apresenta uma oxidação avançada pela avançada idade.
- Este troço do Aqueduto serve de acesso na zona S, através de uma escada vertical de pedra em caracol, com um desnível de cerca de 3 pisos ao troço de Aqueduto localizado sob a zona norte da Rua da Artilharia 1.

Todas as patologias encontram-se devidamente registadas nos Anexos II deste Relatório.

Lisboa, 28 de setembro de 2024

José Emílio Drumond

José Emilie Drumond



(Eng.º Civil - Membro Sénior O.E. Nº 27238)

3 . ANEXOS



ANEXO I – Foto aérea de Localização





OBRA AFECTA

Troço do Aqueduto inspecionado



# ANEXO II - Levantamentos Fotográficos



NOMENCLATURAS		
NOMENCEATORAS		
FENDA HORIZONTAL	FH	Planos
FENDA VERTICAL	FV	Verticais
FENDA OBLÍQUA	FO	
FENDA TRANSVERSAL	FT	Planos Horizontais e Planos
FENDA DIAGONAL	FD	de Inclinação Ligeira
FENDA LONGITUDINAL	FL	
FENDA VERTICAL E OBLÍQUA	FV/O	Planos
FENDA VERTICAL E HORIZONTAL	FV/H	Verticais
FENDA HORIZONTAL E OBLÍQUA	FH/O	
FENDA TRANSVERSAL E LONGITUDINAL	FT/L	Planos Horizontais e Planos
FENDA TRANSVERSAL E DIAGONAL	FT/D	de Inclinação Ligeira
FENDA LONGITUDINAL E DIAGONAL	FL/D	de ilicililação Ligeira
	•	
FENDA HORIZONTAL/ FENDA TRANSVERSAL	FH/FT	Extensão de Fendas nos
FENDA VERTICAL/ FENDA TRANSVERSAL	FV/FT	planos Verticais,
FENDA OBLÍQUA/ FENDA TRANSVERSAL	FO/FT	Horizontais e Inclinados
FENDILHAÇÃO RENDILHADA	FR	Em qualquer Plano
FENDILHAÇÃO GENERALIZADA	FG	Em qualquer Flano
FISSURA	FISS	
IIII	1133	
Parede a Poente	W	
Parede a Nascente	E	
Parede a Sul	S	
Parede a Norte	N	



#### .Interferência 16 – Aqueduto sob Rua Artilharia 1 - Lisboa

Data Vistoria	26/09/2024
Local	Rua Artilharia 1 - Lisboa
Ref	Interior Aqueduto
Técnico Inspetor	José Drumond
Técnicos Externos	Eng.º Nuno Henriques; Eng.º Sérgio Bernardes;
Acompanhante/Tipo	Eng.º Carlos Carvalho; Sérgio Jesus (Topógrafo)
Época/Data de Construção	Séc. XVIII
Enquadramento Urbano	Sob via automóvel distribuidora
Infraestruturas existentes no interior do Aqueduto	Tubagem em ferro fundido de 500 mm; esteira com cablagens elétricas
Tipologia Arquitetónica	Arco de pedra calcária sobre paredes em blocos de cantaria calcária: Secção: Altura = 1,80m; Largura = 1,10m; Altura até arco = 1,30m
Estrutura Resistente	Pórtico em betão armado
Revestimento interior	Inexistente
Acesso entre pisos	Escada de pedra em caracol
Data de últimas obras de conservação	Desconhecido
Estado de Conservação	Razoável
Uso	Aqueduto para passagem de adutoras de abastecimento de água

O Técnico Responsável

Mosé Emilio Drumond

•



#### Interior Aqueduto

#### Foto Ref. IMG\_0544

Juntas do arco com nova argamassa e danos por infiltração externa, na entrada E do troço do Aqueduto sob a Rua da Artilharia



### Interior Aqueduto (Cont.)

#### Foto Ref. IMG\_0545

Juntas do arco com nova argamassa e danos por infiltração externa





Foto Ref. IMG\_0546

Juntas do arco com nova argamassa e danos por infiltração externa



## Interior Aqueduto (Cont.)

Foto Ref. IMG\_0547

Juntas do arco com nova argamassa e danos por infiltração externa





Foto Ref. IMG\_0548

Vista geral do estado



Interior Aqueduto (Cont.)

Foto Ref. IMG\_0549

Vista geral do estado





#### Foto Ref. IMG\_0550

Juntas do arco com nova argamassa e danos por infiltração externa



### Interior Aqueduto (Cont.)

#### Foto Ref. IMG\_0551

Juntas do arco com nova argamassa e danos por infiltração externa





Foto Ref. IMG\_0552

Juntas do arco com nova argamassa e danos por infiltração externa



## Interior Aqueduto (Cont.)

Foto Ref. IMG\_0553

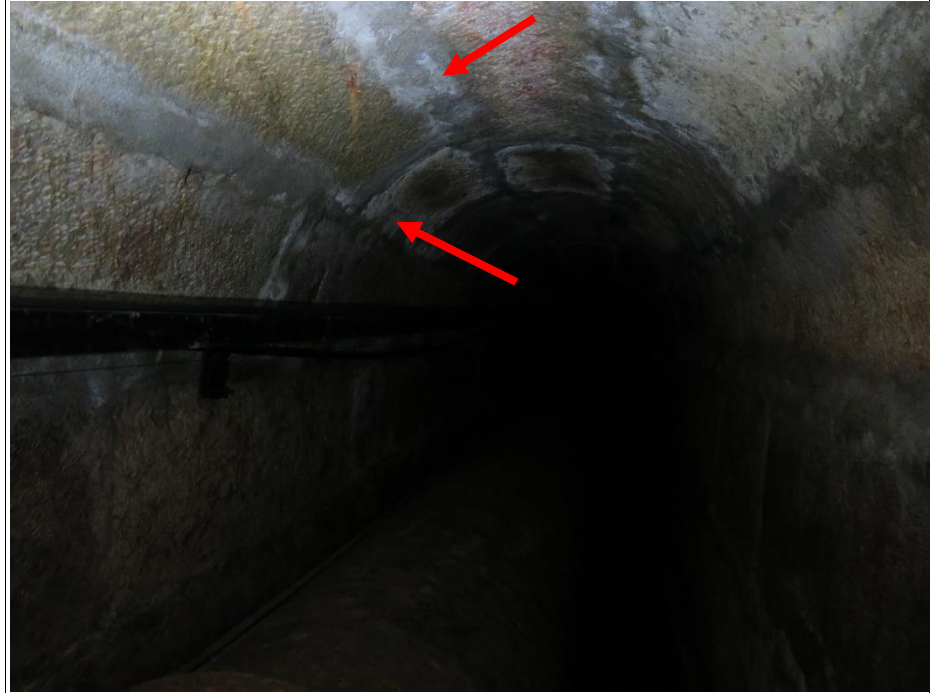
Juntas do arco com nova argamassa e danos por infiltração externa





Foto Ref. IMG\_0554

Juntas do arco com nova argamassa e danos por infiltração externa



## Interior Aqueduto (Cont.)

Foto Ref. IMG\_0556

Estado das juntas do arco; Fenda FH na parede N





Foto Ref. IMG\_0557

Estado das juntas no arco seladas com nova argamassa



## Interior Aqueduto (Cont.)

Foto Ref. IMG\_0558

Danos no arco por infiltrações e escorrências calcárias pelas juntas





Foto Ref. IMG\_0559

Danos nas cantarias da parede N num nicho por infiltrações e escorrências calcárias



### Interior Aqueduto (Cont.)

Foto Ref. IMG\_0561

Danos no arco por infiltrações e escorrências calcárias pelas juntas





Foto Ref. IMG\_0562

Danos no arco por infiltrações e escorrências calcárias pelas juntas



### Interior Aqueduto (Cont.)

Foto Ref. IMG\_0563

Danos no arco por infiltrações e escorrências calcárias pelas juntas

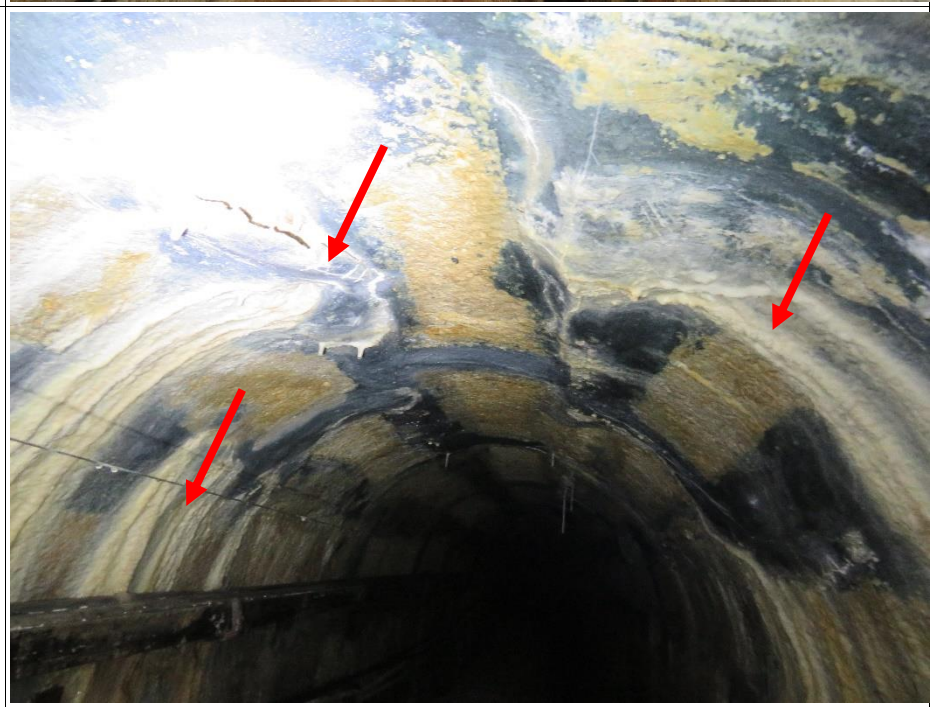




Foto Ref. IMG\_0564

Danos no arco por infiltrações e escorrências calcárias pelas juntas



## Interior Aqueduto (Cont.)

Foto Ref. IMG\_0565

Fenda horizontal FH na junta argamassada na parede N





Foto Ref. IMG\_0566

Fenda horizontal FH na junta argamassada na parede N



### Interior Aqueduto (Cont.)

Foto Ref. IMG\_0567

Fenda na junta argamassada na parede N, na transição entre a parede e arco





# Interior Aqueduto (Cont.)

Foto Ref. IMG\_0568

Fenda FH na junta de transição entre parede e arco; bloco com degradação anormal



# Interior Aqueduto W-E (Cont.)

Foto Ref. IMG\_0569

Fenda horizontal FH na junta argamassada na parede N





## Interior Aqueduto (Cont.)

Foto Ref. IMG\_0570

Estado das juntas argamassadas do teto



## Interior Aqueduto (Cont.)

Foto Ref. IMG\_0571

Estado das juntas argamassadas do arco; tubagem em ferro fundido com oxidação exterior; Fiss na junta de ligação parede S e arco





# Interferência 16 - Aqueduto sob Rua Artilharia 1, Lisboa; Ref.ª Acesso Aqueduto

Data Vistoria	26/09/2024
Morada	Rua Artilharia nº1 - Lisboa
Ref	Acesso + Aqueduto
Técnico Inspetor	José Drumond
Técnicos Externos	Eng.º Nuno Henriques; Eng.º Sérgio Bernardes;
Acompanhante/Tipo	Eng.º Carlos Carvalho; Sérgio Jesus (Topógrafo)
Época/Data de Construção	Séc. XVIII
Enquadramento Urbano	Via automóvel distribuidora superior
Infraestruturas existentes no interior	Tubagem adutora e cablagens elétricas
Tipologia Arquitetónica	Arco e paredes em cantaria de alvenaria de pedra, com Secção Transversal: Altura = 1,80 m; Largura = 1,10m; Altura até arco = 1,30m
Estrutura Resistente	Blocos em alvenaria de pedra calcária
Revestimento interno do Aqueduto	Cantaria à vista com juntas em argamassa
Acesso ao Aqueduto	Troço sob Rua Marquês da Fronteira e escada vertical em caracol de pedra
Data de últimas obras de conservação	Desconhecido
Estado de Conservação	Mau
Uso	Aqueduto para passagem de adutora de abastecimento de água e cablagens elétricas

O Técnico Responsável

posé Emilio Drumond



## Acesso Aqueduto

#### Foto Ref. IMG\_0538

Danos na parede E no patamar de acesso ao Aqueduto



# Acesso ao Aqueduto (Cont.)

## Foto Ref. IMG\_0539

Danos na parede circular da escada em caracol por escorrências e oxidações





# Acesso ao Aqueduto (Cont.)

Foto Ref. IMG\_0540

Danos na parede E e conduta vertical por escorrências e oxidações



# Acesso ao Aqueduto (Cont.)

Foto Ref. IMG\_0541

Danos na parede circular por escorrências e oxidações





Acesso ao Aqueduto (Cont.)

Foto Ref. IMG\_0542

Danos na parede E por escorrências



Acesso ao Aqueduto (Cont.)

Foto Ref. IMG\_0543

Danos na escada de acesso por escorrências calcárias

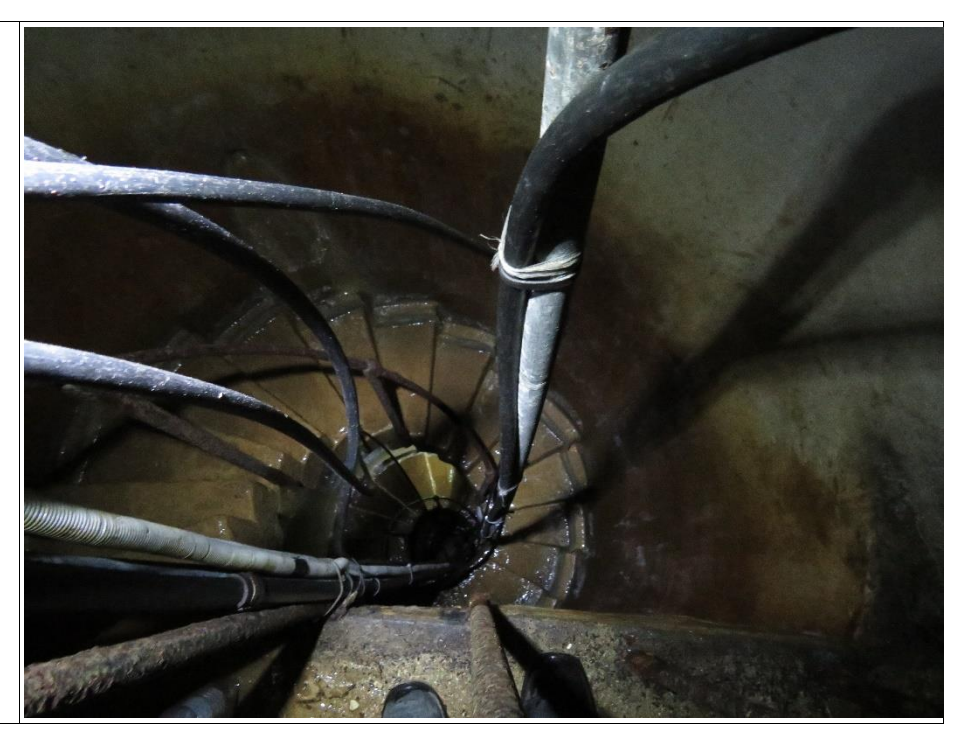




# Acesso ao Aqueduto (Cont.)

Foto Ref. IMG\_0610

Vista geral do estado da parede e escada devido a escorrências permanentes



#### RELATÓRIO TÉCNICO SOBRE LEVANTAMENTO TOPOGRÁFICO

Sérgio Filipe Marques de Jesus, morador na Rua do Penedo, 6-A 2640-734 Alcainça, cartão de cidadão n.º 10295781 9ZY6 e contribuinte nº 203 068 718, com a Certificação Profissional de Técnico de Topografia, conforme o Catálogo Nacional de Qualificações, em 30/04/2018, ao abrigo do Decreto-Lei 37/2015, de 10 Março, Sócio n. 3536 da ANT, declara que o trabalho de topografia sobre as interceções altimétricas dos aquedutos da EPAL sobre o trajeto da linha vermelha foram efetuadas recorrendo a um sistema integrado composto pelos seguintes equipamentos: sistema GNSS Trimble R8s e estação total Trimble S7 de 3". O levantamento topográfico encontra-se georreferenciado no sistema "ETRS89" e com cotas altimétricas referidas ao "marégrafo de Cascais".

Em vista das condições existentes no local e pela falta de "fecho" da 'poligonal' topográfica existe uma incerteza razoável das direções obtidas, mas as cotas altimétricas apresentadas terão uma certeza razoável.

Igualmente existe uma incerteza razoável dos dados fornecidos para os elementos planimétricos dos aquedutos da EPAL.

No troço **016** conclui-se que a cota altimétrica é de 92,75m na plataforma junto á escada em caracol.

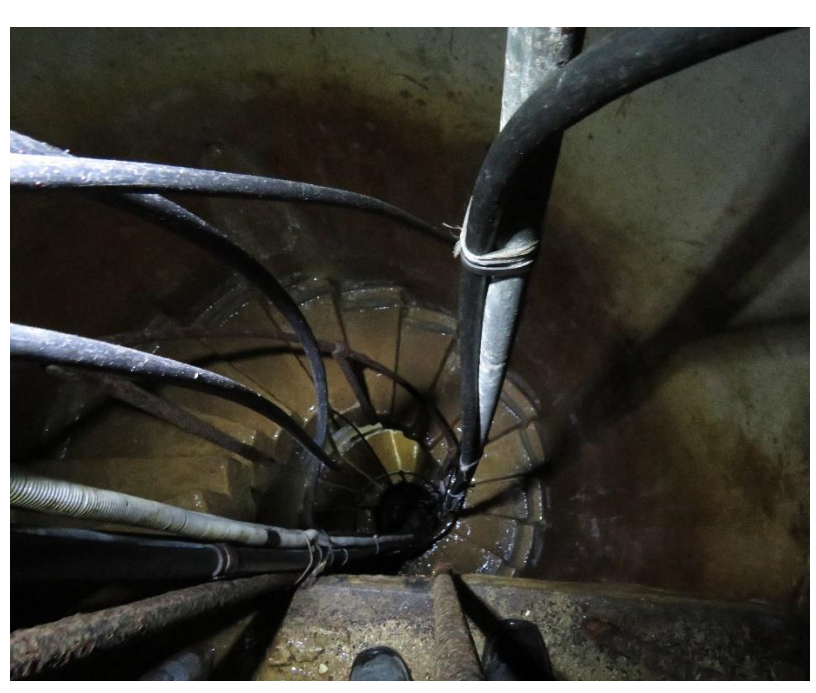
O troço **016** tem cerca de 96m e cota final é de 92,92m, sendo que existe um desnível de aproximadamente 0,17m. A cota altimétrica no túnel da EPAL para o eixo do túnel do metro é de 92,90m, sendo as cotas para os 15m de afastamento é de 92,84m e de 92,92m.

Mafra, 28 de setembro de 2024,



## RELATÓRIO DE INSPEÇÃO TÉCNICA

## RIT 440/2024 – Interferência Nº 16





Requerente: Metro S. Sebastião - Alcântara, ACE

Aqueduto Vistoriado: Troço Aqueduto da Galeria de Santana sob

Rua Artilharia 1 - Lisboa

Obra: RE 03.417 – Metropolitano de Lisboa - Linha Vermelha – Prolongamento

S. Sebastião - Alcântara

Dono-de-Obra: Metropolitano de Lisboa, E.P.E.

Objeto da Vistoria: Inspeção Técnica Prévia ao aqueduto para sua zeragem

fotográfica e georreferenciação topográfica

Datas Visitas ao Aqueduto: 26 e 27 de setembro de 2024



## ÍNDICE

1. Conclusões da Inspeção	
1.1. Identificação	03
1.2. Notas Introdutórias	03
2. Desenvolvimento do Processo de Inspeção	
2.1. Enquadramento Urbano do Aqueduto	04
2.2. Caracterização do Aqueduto	05
2.3. Conclusões das Vistorias	06
3. Anexos ao Processo	
ANEXO I – Foto Aérea de Localização	09
ANEXO II - Levantamentos Fotográficos	11



### 1. Conclusões da Inspeção

#### 1.1. Identificação

Requerente: Metro S. Sebastião - Alcântara, ACE

Acompanhantes na visita: Engº Carlos Filipe Carvalho (EPAL)

Sérgio Jesus (Topógrafo – SolidZenith)

Aqueduto da Vistoria: Aqueduto da Galeria de Santana sob

Rua Artilharia 1 – Lisboa

Dono-de-Obra: Metropolitano de Lisboa, EPE

Infraestrutura inspecionada: Troço W do Aqueduto da Galeria de Santana

Objeto da Monitorização: Inspeção Técnica Prévia para zeragem do

Aqueduto e sua georreferenciação topográfica

Datas da Inspeção e Topografia: 26 e 27 de setembro de 2024

#### 1.2. Notas Introdutórias

O presente trabalho foi solicitado pelo ACE Requerente, tendo em vista uma Inspeção Técnica Prévia e georreferenciação ao troço do Aqueduto acima identificado, para monitorização do mesmo, durante os trabalhos de escavação do túnel entre a Estação de S. Sebastião e Estação de Campolide-Amoreiras, conforme obrigação contratual do ML.

Para tal, foram efetuadas duas vistorias ao troço do Aqueduto da Galeria de Santana nos dias 26 e 27 de setembro de 2024, ao estado do interior do túnel, acompanhadas pelo técnico do Património da EPAL, durante as quais foram levantadas e analisadas as patologias visíveis no intradorso do túnel, onde se encontra instalada uma tubagem 500 mm em ferro fundido no lado sul, com várias décadas de utilização.

Dos dados levantados e das informações recolhidas, foi elaborado o seguinte Relatório de Inspeção, tendo como principal objetivo a zeragem das anomalias constatadas no Aqueduto, através do seu registo fotográfico e georreferenciação, os quais constituem os **Anexo II** deste Relatório.



### 2. Desenvolvimento do Processo de Inspeção

#### 2.1. Enquadramento Urbano do Aqueduto

A zona envolvente ao Aqueduto é urbana consolidada, cujos edifícios mistos predominantes, reportam às décadas de 40/50 do século passado, a Penitenciária de Lisboa e o Reservatório do Pombal, constituído por duas células. O acesso ao Aqueduto é efetuado por uma escada de pedra localizada num dos edifícios de apoio do Reservatório do Pombal.



Foto 1 – Vista envolvente superior ao troço do Aqueduto da Galeria de Santana da EPAL

A zona adjacente é urbana, possui uma caracterização mista de habitação, serviços, algum comércio e Equipamento (Penitenciária de Lisboa).

Note-se que é uma zona com média incidência de tráfego automóvel. O estacionamento em superfície é insuficiente, pois a maioria dos prédios na zona não possuem estacionamento próprio, afetando os acessos ao local.

O acesso ao local de veículos prioritários é bom, localizando-se uma Esquadra da PSP e um Quartel de Bombeiros a menos de dois quilómetros.



#### 2.2. Caracterização do Aqueduto

O troço do Aqueduto inspecionado, compreende a ligação para poente da Galeria de Santana ao Aqueduto Principal, possui uma secção transversal com 1,10 m de largura e 1,80 m de altura máxima, o qual é ocupado por uma adutora em ferro fundido de 500 mm, localizada junto do piso no lado sul.

O Aqueduto possui um a estrutura resistente composta por paredes e hasteal autoportante em blocos de pedra argamassada à vista.

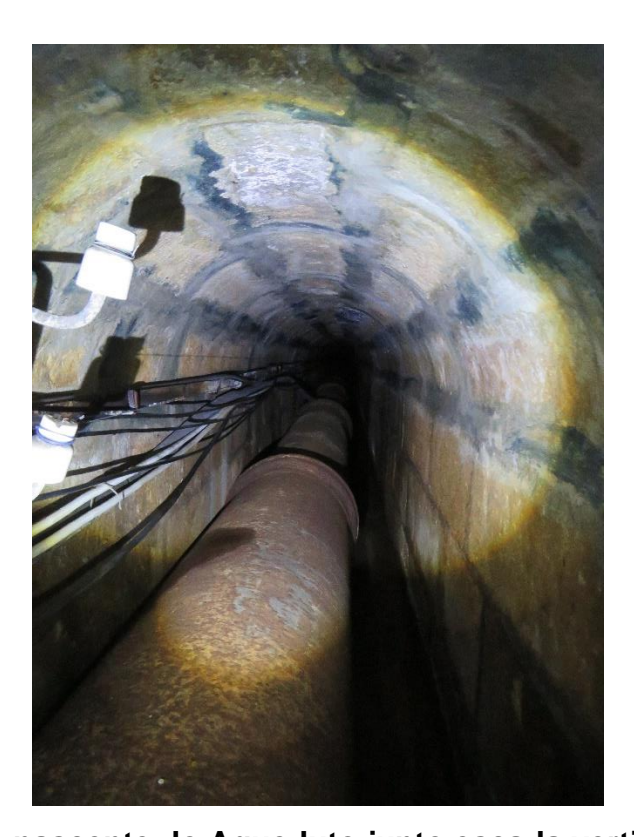


Foto 2 – Início nascente do Aqueduto junto escada vertical de acesso

O aqueduto possui o piso revestido a lajetas de pedra e possui uma caleira de drenagem no piso junto da parede N, utilizada para canalização de escorrências para nascente, cujo troço nascente junto escada de acesso encontrava-se inundada em cerca de 20 metros.

Nas paredes ao longo do Aqueduto localizam-se numa esteira alguns cabos elétricos no lado sul.



O estado de conservação deste troço do aqueduto é razoável, com alguns pontos de infiltração exterior, cujas juntas no troço sobre o futuro eixo do túnel a escavar encontram-se contaminadas por infiltrações.

#### 2.3. Conclusões das Vistorias

Da análise pormenorizada às anomalias vistoriadas no Aqueduto à data da vistoria técnica, concluímos que o mesmo apresentava algumas patologias, a saber:

- Verificaram-se danos nas paredes interiores e teto em arco do Aqueduto, por empolamentos, infiltrações e avançada idade;
- Foram registadas algumas anomalias no teto circular e paredes, na zona superior à escavação do túnel da Obra, com origem em infiltrações exteriores, como mostra a foto seguinte.



Foto 3 – Estado do hasteal do Aqueduto ao PK 0+315m da obra por infiltrações exteriores com incrustações calcárias



As patologias detetadas visualmente no interior do Aqueduto encontram-se devidamente registadas no Anexo II deste Relatório.

A georreferenciação do troço do aqueduto localizado na zona de influência do eixo do túnel a construir na obra, foi efetuada em paralelo pelo topógrafo da "SolidZenith, Lda "da equipa de parceria da Cre2m, cujo Relatório será apresentado em separado.

Lisboa, 28 de setembro de 2024

José Emílio Drumond

José Emilio Drumond

(Eng.º Civil - Membro Sénior O.E. Nº 27238)



3 . ANEXOS



## ANEXO I – Foto aérea de Localização





Eixo da Obra afeta

Troço inspecionado



## **ANEXO II - Levantamentos Fotográficos**



NOMENCLATURAS		
FENDA HORIZONTAL	FH	Planos
FENDA VERTICAL	FV	Verticais
FENDA OBLÍQUA	FO	
FENDA TRANSVERSAL	FT	Planos Horizontais e Planos
FENDA DIAGONAL	FD	de Inclinação Ligeira
FENDA LONGITUDINAL	FL	
FENDA VERTICAL E OBLÍQUA	FV/O	Planos
FENDA VERTICAL E HORIZONTAL	FV/H	Verticais
FENDA HORIZONTAL E OBLÍQUA	FH/O	
FENDA TRANSVERSAL E LONGITUDINAL	FT/L	Planos Horizontais e Planos
FENDA TRANSVERSAL E DIAGONAL	FT/D	de Inclinação Ligeira
FENDA LONGITUDINAL E DIAGONAL	FL/D	
FENDA HORIZONTAL/ FENDA TRANSVERSAL	FH/FT	Extensão de Fendas nos
FENDA VERTICAL/ FENDA TRANSVERSAL	FV/FT	planos Verticais,
FENDA OBLÍQUA/ FENDA TRANSVERSAL	FO/FT	Horizontais e Inclinados
FENDILHAÇÃO RENDILHADA	FR	Em qualquer Plano
FENDILHAÇÃO GENERALIZADA	FG	
FISSURA	FISS	
	T	
Parede a Poente	W	
Parede a Nascente	E	
Parede a Sul	S	
Parede a Norte	N	



## Interferência 54 - Aqueduto Galeria Campo de Ourique 1250-045 Lisboa; Ref.º Acesso S

Data Vistoria	25/09/2024
Morada	Rua Silva Carvalho - 1250-045 Lisboa
Ref	Acesso S Aqud Campo Ourique
Técnico Inspetor	José Drumond
Técnicos Externos	Eng.º Nuno Henriques; Eng.º Sérgio Bernardes;
Acompanhante/Tipo	Eng.º Carlos Carvalho (EPAL); Sérgio Jesus (Topógrafo)
Época/Data de Construção	Século XVIII
Enquadramento Urbano	Zona mista de habitação e comércio
Secção do Aqueduto	Larg: 1,60m; Altura= 2,20m; Altura até arco = 1,70m
Infraestruturas existentes no seu interior	Duas tubagens. inferior em ferro fundido com 600mm (em carga); Superior DN 800mm em chapa de aço apoiado em berços metálicos (em carga)
Tipologia Arquitetónica	Arco e paredes em blocos de alvenaria de pedra calcária
Estrutura Resistente	Paredes e arco intradorso em blocos de alvenaria de pedra calcária
Revestimento interno	Reboco pintado
Acesso ao interior	Clarabóias externas de acesso aos Reservatórios a S junto Aqueduto Principal
Data de últimas obras de conservação	Desconhecido
Estado de Conservação	Razoável
Uso	Aqueduto utilizada para passagem de duas adutoras de abastecimento de água

O Técnico Responsável

Hosé Emilio Drumond



#### Acesso SE ao Aqueduto

Foto Ref. IMG\_0413

Danos no revestimento da parede W junto entrada S por infiltrações



## Aqueduto (Cont.)

Foto Ref. IMG\_0414

Ocupação do Aqueduto por duas adutoras em ferro fundido e aço (Início S do Aqued)





## Aqueduto (Cont.)

## Foto Ref. IMG\_0415

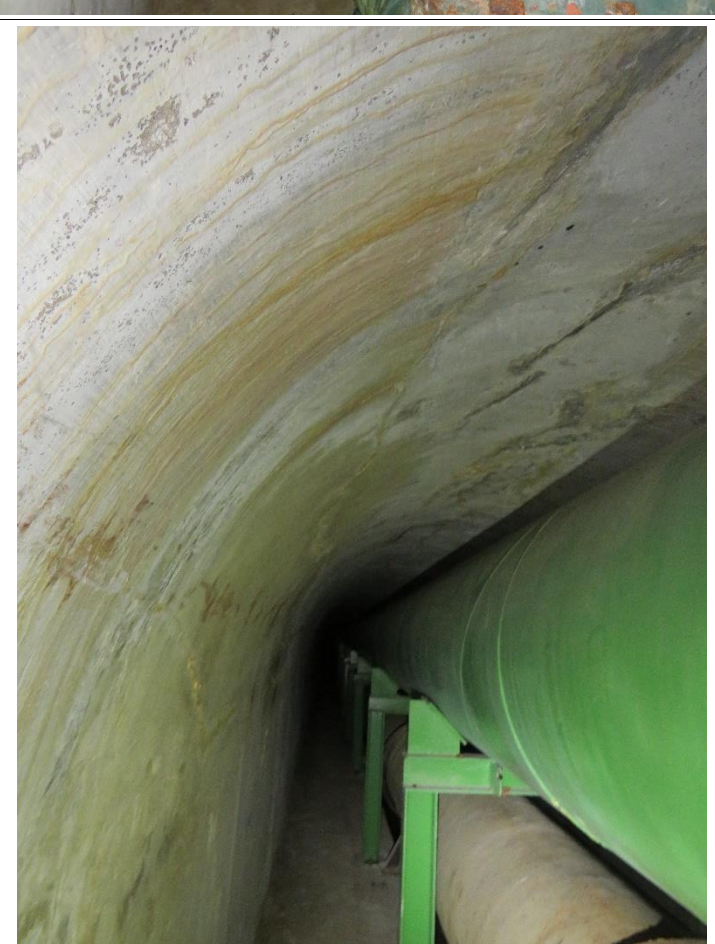
Danos nas paredes por escorrências na clarabóia intermédia com acesso superior tamponado junto Edif EPAL Aquamatrix (Rua silva carvalho



#### Aqueduto (Cont.)

## Foto Ref. IMG\_0416

Danos na parede S por infiltrações e escorrências calcárias junto do eixo do túnel da Obra ao PK ...+...





Aqueduto (Cont.)

Foto Ref. IMG\_0417

Danos na parede S por infiltrações e escorrências





## INTERFERÊNCIA 54 – Rua Silva Carvalho, 1250–045 LISBOA

Data Diagnóstico	24/09/2024 e 25/09/2024
Morada / Localização	Ria Silva Carvalho, 1250 Lisboa
Ref	Interior do Aqueduto
Técnico Inspetor	José Drumond
Contatado	Eng. Carlos Carvalho (EPAL)
Acompanhantes na visita	Eng. Carlos Carvalho (EPAL); Sérgio Jesus (Topógrafo)
Estrutura resistente	Alvenaria de pedra rebocada e pintada no intradorso
Uso do Aqueduto	Passagem de duas adutoras: 600 mm em ferro fundido; 700 mm em chapa de aço

O Técnico Responsável

Hosé Emilio Drumond

1



#### Interior

## Foto Ref. IMG\_0498

Danos no piso e conduta inferior pelo uso e escorrências na zona da clarabóia a E



## Interior (Cont.)

## Foto Ref. IMG\_0499

Danos na parede S e arco por infiltrações externas





Foto Ref. IMG\_0500

Estação topográfica montada



Interior (Cont.)

Foto Ref. IMG\_0501

Medição de cotas





## Foto Ref. IMG\_0502

Alvo montado no berço da conduta superior



## Interior (Cont.)

## Foto Ref. IMG\_0503

Alvo montado no berço da conduta superior





## Foto Ref. IMG\_0504

Alvo montado no berço da conduta superior



## Interior (Cont.)

## Foto Ref. IMG\_0505

Alvo montado no berço da conduta superior





Interior (Cont.)

Foto Ref. IMG\_0456

Início do Aqueduto a W



Interior (Cont.)

Foto Ref. IMG\_0457

Início do Aqueduto a W





Foto Ref. IMG\_0458

Danos no piso e parede S por escorrências



## Interior (Cont.)

Foto Ref. IMG\_0459

Início E do troço a partir de clarabóia com cobertura tapada





## Foto Ref. IMG\_0460

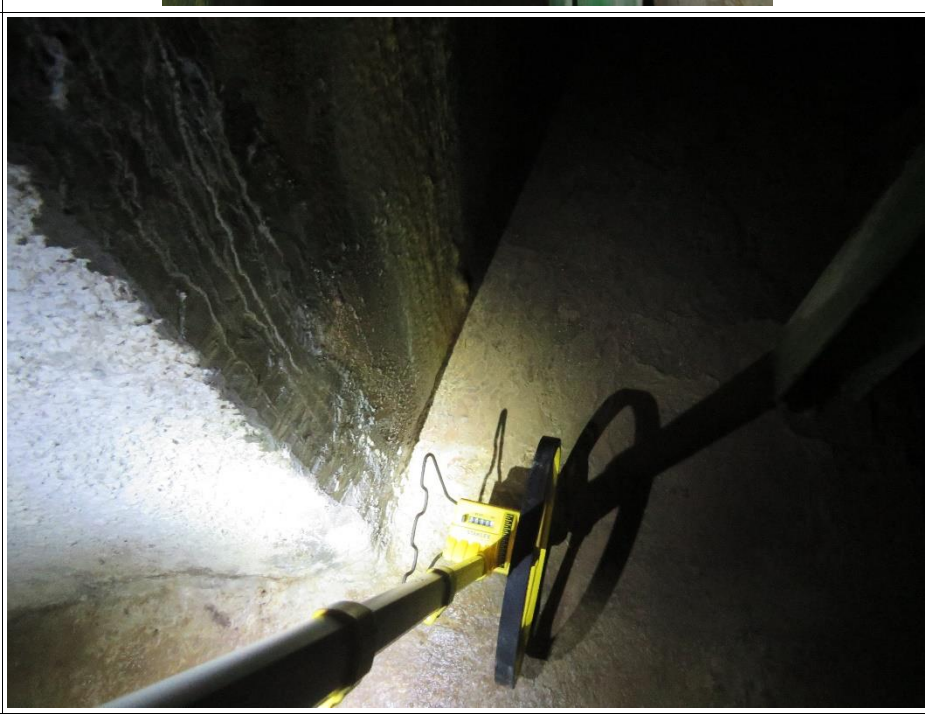
Danos na parede S por infiltrações



## Interior (Cont.)

## Foto Ref. IMG\_0461

Início da medição para obtenção da localização do eixo do túnel da obra





Interior (Cont.)

Foto Ref. IMG\_0462

Zeragem da medição



Interior (Cont.)

Foto Ref. IMG\_0464

Zona do eixo do túnel

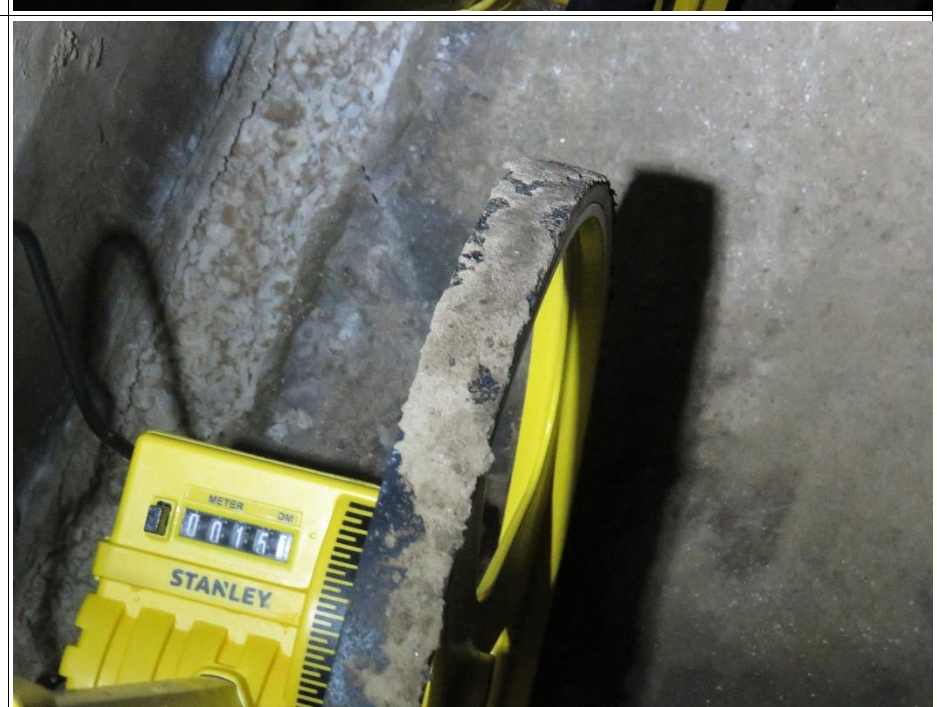




Foto Ref. IMG\_0466

Estado do teto PK 0+865



## Interior (Cont.)

Foto Ref. IMG\_0467

Danos no piso por escorrências na zona E





## Foto Ref. IMG\_0468

Danos no piso por escorrências



## Interior (Cont.)

## Foto Ref. IMG\_0469

Danos na parede S por escorrências calcárias





## Foto Ref. IMG\_0470

Danos na parede S e piso por escorrências calcárias



## Interior (Cont.)

## Foto Ref. IMG\_0471

Danos na parede S e piso por escorrências calcárias





### Foto Ref. IMG\_0472

Danos na parede S e piso por escorrências calcárias



### Interior (Cont.)

### Foto Ref. IMG\_0473

Danos na parede S e piso por escorrências calcárias





### Foto Ref. IMG\_0474

Danos na parede S e piso por escorrências calcárias



### Interior (Cont.)

#### Foto Ref. IMG\_0475

Danos na parede S e piso por escorrências calcárias





### Foto Ref. IMG\_0477

Danos na parede S e piso por escorrências calcárias



## Interior (Cont.)

## Foto Ref. IMG\_0478

Zona da conduta do eixo do Túnel





Foto Ref. IMG\_0479

Danos no piso e parede S pelo uso



## Interior (Cont.)

Foto Ref. IMG\_0480

Danos no piso e parede S pelo uso





### Foto Ref. IMG\_0481

Danos no piso e parede S por infiltrações



## Interior (Cont.)

## Foto Ref. IMG\_0482





### Foto Ref. IMG\_0483

Danos no piso e parede S por infiltrações



## Interior (Cont.)

## Foto Ref. IMG\_0484





### Foto Ref. IMG\_0485

Marca na tubagem do eixo do túnel



## Interior (Cont.)

### Foto Ref. IMG\_0486





### Foto Ref. IMG\_0487

Danos no piso e parede S por infiltrações



## Interior (Cont.)

### Foto Ref. IMG\_0489



#### RELATÓRIO TÉCNICO SOBRE LEVANTAMENTO TOPOGRÁFICO

Sérgio Filipe Marques de Jesus, morador na Rua do Penedo, 6-A 2640-734 Alcainça, cartão de cidadão n.º 10295781 9ZY6 e contribuinte nº 203 068 718, com a Certificação Profissional de Técnico de Topografia, conforme o Catálogo Nacional de Qualificações, em 30/04/2018, ao abrigo do Decreto-Lei 37/2015, de 10 Março, Sócio n. 3536 da ANT, declara que o trabalho de topografia sobre as interceções altimétricas dos aquedutos da EPAL sobre o trajeto da linha vermelha foram efetuadas recorrendo a um sistema integrado composto pelos seguintes equipamentos: sistema GNSS Trimble R8s e estação total Trimble S7 de 3". O levantamento topográfico encontra-se georreferenciado no sistema "ETRS89" e com cotas altimétricas referidas ao "marégrafo de Cascais".

Em vista das condições existentes no local e pela falta de "fecho" da 'poligonal' topográfica existe uma incerteza razoável das direções obtidas, mas as cotas altimétricas apresentadas terão uma certeza razoável.

Igualmente existe uma incerteza razoável dos dados fornecidos para os elementos planimétricos dos aquedutos da EPAL.

No troço **054** conclui-se que a cota altimétrica no túnel da EPAL para o eixo do túnel do metro é de 86,61m, sendo as cotas para os 15m de afastamento é de 86,66m e de 86,55m.

Mafra, 28 de setembro de 2024,

#### RELATÓRIO TÉCNICO SOBRE LEVANTAMENTO TOPOGRÁFICO

Sérgio Filipe Marques de Jesus, morador na Rua do Penedo, 6-A 2640-734 Alcainça, cartão de cidadão n.º 10295781 9ZY6 e contribuinte nº 203 068 718, com a Certificação Profissional de Técnico de Topografia, conforme o Catálogo Nacional de Qualificações, em 30/04/2018, ao abrigo do Decreto-Lei 37/2015, de 10 Março, Sócio n. 3536 da ANT, declara que o trabalho de topografia sobre as interceções altimétricas dos aquedutos da EPAL sobre o trajeto da linha vermelha foram efetuadas recorrendo a um sistema integrado composto pelos seguintes equipamentos: sistema GNSS Trimble R8s e estação total Trimble S7 de 3". O levantamento topográfico encontra-se georreferenciado no sistema "ETRS89" e com cotas altimétricas referidas ao "marégrafo de Cascais".

Em vista das condições existentes no local e pela falta de "fecho" da 'poligonal' topográfica existe uma incerteza razoável das direções obtidas, mas as cotas altimétricas apresentadas terão uma certeza razoável.

Igualmente existe uma incerteza razoável dos dados fornecidos para os elementos planimétricos dos aquedutos da EPAL.

No troço **054** conclui-se que a cota altimétrica no túnel da EPAL para o eixo do túnel do metro é de 86,61m, sendo as cotas para os 15m de afastamento é de 86,66m e de 86,55m.

Mafra, 28 de setembro de 2024,



# PROC 440 – INTERFERÊNCIA 60 – TRAVESSA DA BARBOSA, Nº 2 – TROÇO AQUEDUTO PRINCIPAL – LISBOA\_REF.ª EXT

Data Diagnóstico	25/08/2024
Morada / Localização	Travessa da Barbosa, № 2 – Troço Aqueduto Principal EPAL - Lisboa
Ref	Aqueduto Ext
Técnico Inspetor	José Drumond
Contatados	Dr. <sup>a</sup> Mara Fava; Eng. <sup>o</sup> Carlos Carvalho
Tipo de Contatados	Dir. Museu da Água; Técnico da EPAL
Estrutura resistente	Alvenaria de pedra argamassada
Uso	Antigo Aqueduto de abastecimento de água a Lisboa

O Técnico Responsável

posé Emilio Drumond

•



## Aqueduto

## Foto Ref. IMG\_8151

Vista geral da zona superior a SE



## Aqueduto (Cont.)

## Foto Ref. IMG\_8152

Vista geral da zona superior a SE





## Aqueduto (Cont.)

### Foto Ref. IMG\_8153

Estado da clarabóia E com obras recentes de restauro



## Aqueduto (Cont.)

### Foto Ref. IMG\_8157

Estado da fachada W da clarabóia E com obras recentes de restauro





## Aqueduto (Cont.)

Foto Ref. IMG\_8216

Estado da fachada N em pedra argamassada



## Aqueduto (Cont.)

Foto Ref. IMG\_8217

Estado da fachada N em pedra argamassada





## Aqueduto (Cont.)

### Foto Ref. IMG\_8218

Estado da fachada N em pedra argamassada



## Aqueduto (Cont.)

## Foto Ref. IMG\_8219

Estado da fachada N em pedra argamassada





# INTERFERÊNCIA 60 - TRAVESSA DA BARBOSA 2, 1250-045 LISBOA\_REF.ª AQUED PRINC

Data Diagnóstico	22/08/2024
Morada / Localização	Travessa da Barbosa 2, 1250-045 Lisboa
Ref	Inter Aqued Princ
Técnico Inspetor	José Drumond
Contatados	Eng. Carlos Carvalho; Dr. <sup>a</sup> Mara Fava
Tipo de Contatados	Técnico da EPAL e Dir. Museu da Água
Estrutura resistente	Alvenaria de blocos de pedra argamassada
Uso	Aqueduto histórico com passagem de cablagens elétricas

O Técnico Responsável

posé Emilio Drumond

•



### Aqueduto Galeria Santana

Foto Ref. IMG\_8105

Danos na pintura das paredes do Aqueduto SN perpendicular ao Principal



# Aqueduto Principal (Cont.)

Foto Ref. IMG\_8106

Vista geral do estado do Aqueduto a partir do acesso E

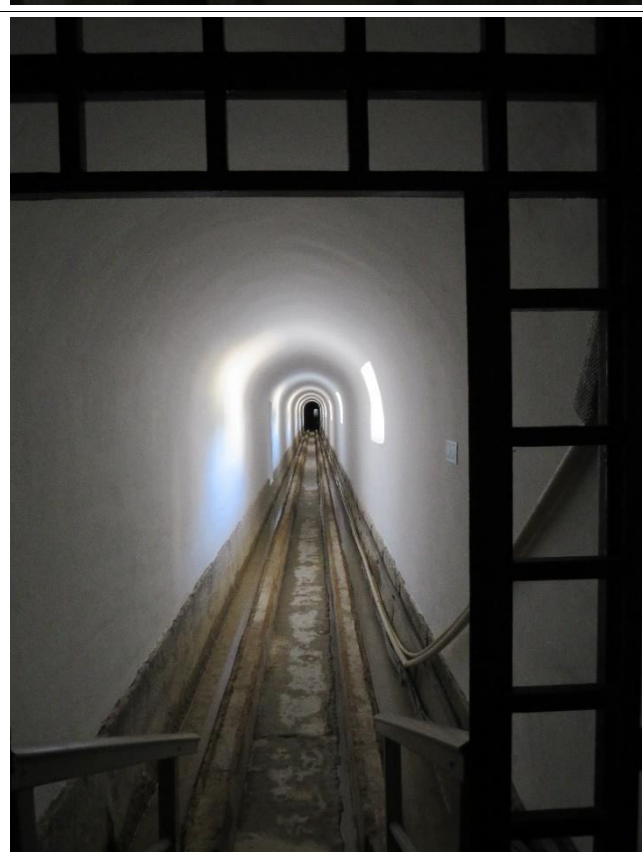




Foto Ref. IMG\_8107

Vista do Contador do medidor de distância



### Clarabóia SW do AP (Cont.)

Foto Ref. IMG\_8108

Danos nas paredes da clarabóia por infiltrações





Foto Ref. IMG\_8109

Danos na pintura das paredes por infiltrações e uso



# Aqueduto Principal (Cont.)

Foto Ref. IMG\_8110

Danos na pintura das paredes e soco por infiltrações e uso





Foto Ref. IMG\_8111

Danos na pintura das paredes e soco por infiltrações



# Aqueduto Principal (Cont.)

Foto Ref. IMG\_8112





### Foto Ref. IMG\_8113

Danos na pintura das paredes e soco por infiltrações; danos no piso pelo uso



# Aqueduto Principal (Cont.)

### Foto Ref. IMG\_8114





### Foto Ref. IMG\_8115

Danos na pintura das paredes e soco por infiltrações; danos no piso pelo uso



# Aqueduto Principal (Cont.)

#### Foto Ref. IMG\_8116





#### Foto Ref. IMG\_8117

Danos na pintura das paredes e soco por infiltrações; danos no piso pelo uso



# Aqueduto Principal (Cont.)

### Foto Ref. IMG\_8118





Foto Ref. IMG\_8119

Danos nas paredes por infiltrações e fungos



# Aqueduto Principal (Cont.)

Foto Ref. IMG\_8120

Danos nas paredes por infiltrações exteriores





Foto Ref. IMG\_8121

Medição da distância percorrida



# Aqueduto Principal (Cont.)

Foto Ref. IMG\_8122

Estado da clarabóia SW





Foto Ref. IMG\_8123

Danos no piso e caleiras pelo uso e avançada idade



# Aqueduto Principal (Cont.)

Foto Ref. IMG\_8124

Danos no piso, caleiras e soco das paredes pelo uso e avançada idade





### Foto Ref. IMG\_8125

Danos no piso, soco das paredes e caleiras pelo uso e avançada idade



# Aqueduto Principal (Cont.)

#### Foto Ref. IMG\_8126

Localização em metros do fim da Inspeção 205



RELATÓRIO TÉCNICO SOBRE LEVANTAMENTO TOPOGRÁFICO

Sérgio Filipe Marques de Jesus, morador na Rua do Penedo, 6-A 2640-734 Alcainça, cartão de cidadão n.º

10295781 9ZY6 e contribuinte nº 203 068 718, com a Certificação Profissional de Técnico de Topografia,

conforme o Catálogo Nacional de Qualificações, em 30/04/2018, ao abrigo do Decreto-Lei 37/2015, de 10

Março, Sócio n. 3536 da ANT, declara que o trabalho de topografia sobre as interceções altimétricas dos

aquedutos da EPAL sobre o trajeto da linha vermelha foram efetuadas recorrendo a um sistema integrado

composto pelos seguintes equipamentos: sistema GNSS Trimble R8s e estação total Trimble S7 de 3".

O levantamento topográfico encontra-se georreferenciado no sistema "ETRS89" e com cotas

altimétricas referidas ao "marégrafo de Cascais".

Em vista das condições existentes no local e pela falta de "fecho" da 'poligonal' topográfica existe

uma incerteza razoável das direções obtidas, mas as cotas altimétricas apresentadas terão uma

certeza razoável.

Igualmente existe uma incerteza razoável dos dados fornecidos para os elementos planimétricos

dos aquedutos da EPAL.

No troço **090** conclui-se que a cota altimétrica no túnel da EPAL para o eixo do túnel do metro é de

95,53m, sendo as cotas para os 15m de afastamento é de 95,53m e de 95,48m.

Mafra, 10 de outubro de 2024,

Sérgio de Jesus, topografo



# RELATÓRIO DE INSPEÇÃO TÉCNICA

# RIT 440/2024 - Interferência Nº 60



Requerente: Metro S. Sebastião - Alcântara, ACE

Imóvel Vistoriado: Travessa do Barbosa, Nº 2 – Troço Aqueduto Principal EPAL

Lisboa

Obra: RE 03.417 – Metropolitano de Lisboa - Linha Vermelha – Prolongamento

S. Sebastião - Alcântara

Dono-de-Obra: Metropolitano de Lisboa, E.P.E.

Tipo de Imóvel inspecionado: Troço S do Aqueduto junto Reservatório do Arco

Objeto da Vistoria: Inspeção Técnica Prévia ao aqueduto para zeragem

Datas da Visita de Inspeção ao Aqueduto: 22 de agosto de 2024



# ÍNDICE

1. Conclusões da Inspeção	
1.1. Identificação	03
1.2. Notas Introdutórias	03
2. Desenvolvimento do Processo de Inspeção	
2.1. Enquadramento Urbano do Aqueduto	04
2.2. Caracterização do Aqueduto	05
2.3. Conclusões da Vistoria	06
3. Anexos ao Processo	
ANEXO I – Foto Aérea de Localização	08
ANEXO II - Levantamentos Fotográficos	10



### 1. Conclusões da Inspeção

#### 1.1. Identificação

Requerente: Metro S. Sebastião – Alcântara, ACE

Acompanhantes na visita: Dr.ª Mara Fava (Dir. do Museu da água)

Eng.º Luís Ramos (EPAL)

Engo Carlos Filipe Carvalho (EPAL)

Aqueduto da Vistoria: Trav. do Barbosa, Nº 2 – Lisboa

Dono-de-Obra: Metropolitano de Lisboa, EPE

Tipo de Infraestrutura: Troço Aqueduto Principal junto Reservatório do Arco

Objeto da Vistoria: Inspeção Técnica Prévia para zeragem do Aqueduto

Data da Vistoria: 22 de agosto de 2024

#### 1.2. Notas Introdutórias

O presente trabalho foi solicitado pelo ACE Requerente, tendo em vista uma Inspeção Técnica Prévia ao troço do Aqueduto Principal acima identificado, para monitorização do mesmo, durante os trabalhos de escavação do poço de ataque no Jardim da Rua Gorgel do Amaral e escavação do túnel entre as futuras Estações de Campolide-Amoreiras e Campo de Ourique, conforme obrigação contratual.

Para tal, foi efetuada uma vistoria ao exterior e interior do troço do Aqueduto Principal, no dia 22 de agosto de 2024, com acompanhamento pelas entidades acima identificadas, durante a qual foram levantadas e analisadas as patologias visíveis no mesmo, para sua zeragem.

Dos dados levantados e das informações recolhidas, foi elaborado o seguinte Relatório de Inspeção, tendo como principal objetivo a zeragem das anomalias constatadas no edifício, através do seu registo fotográfico, o qual constitui do **Anexo II** deste Relatório.



# 2. Desenvolvimento do Processo de Inspeção

#### 2.1. Enquadramento Urbano do Aqueduto

A zona envolvente é urbana consolidada, com construções de várias idades, junto do Reservatório do Arco da EPAL, constituído por duas Células (Nº 1 e Nº 2), visitadas previamente, com acessos pela Travessa do Barbosa nº 2 no Bairro das Amoreiras.

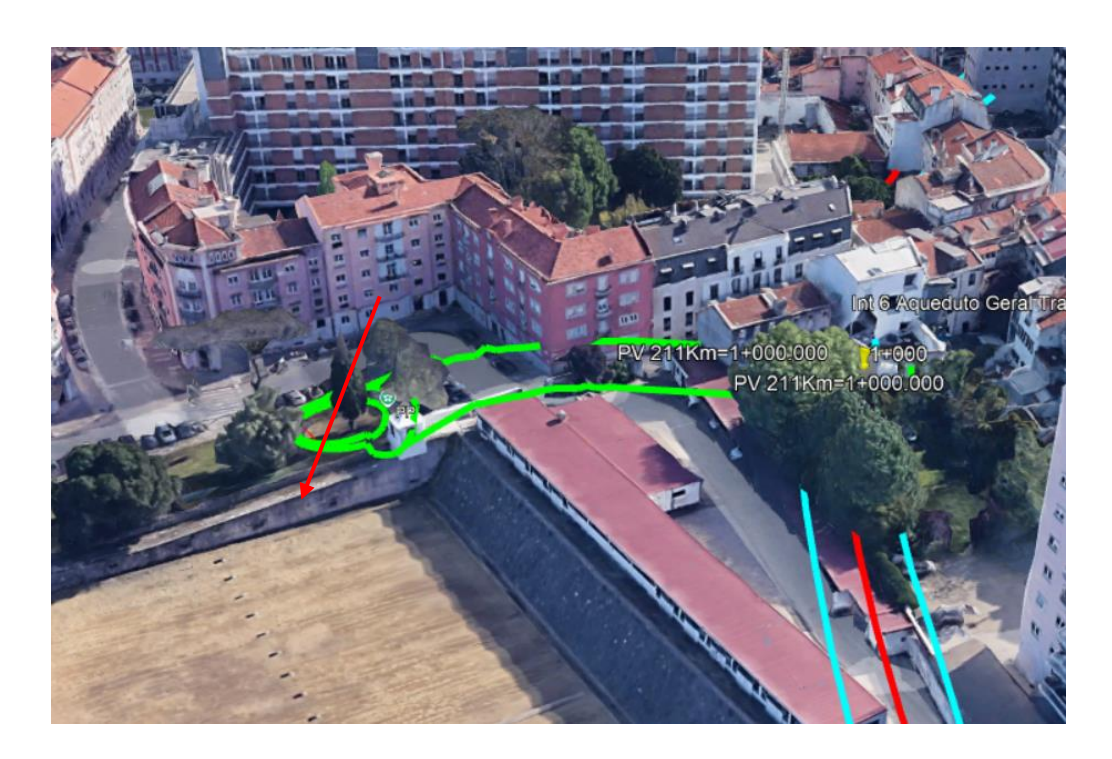


Foto 1 – Vista envolvente ao troço do Aqueduto do EPAL

A zona adjacente é urbana, possui uma caracterização mista de habitação, serviços e comércio.

Note-se que é uma zona com média incidência de tráfego automóvel. O estacionamento em superfície é insuficiente, pois a maioria dos prédios na zona não possuem estacionamento próprio, afetando os acessos à obra.

O acesso ao local de veículos prioritários é bom, localizando-se uma Esquadra da PSP e um Quartel de Bombeiros a menos de dois quilómetros.



#### 2.2. Caracterização do Aqueduto

No total, o sistema do Aqueduto das Águas Livres, dentro e fora de Lisboa, tinha cerca de 58 km de extensão em meados do século XIX, tendo as suas águas deixado de ser aproveitadas para consumo humano a partir da década de 60, do século XX.O troço do aqueduto inspecionado, faz pate do Aqueduto Principal, possui nas laterais duas levadas gravíticas e possui uma estrutura resistente composta por paredes e hasteal em blocos de pedra liós, com uma secção transversal

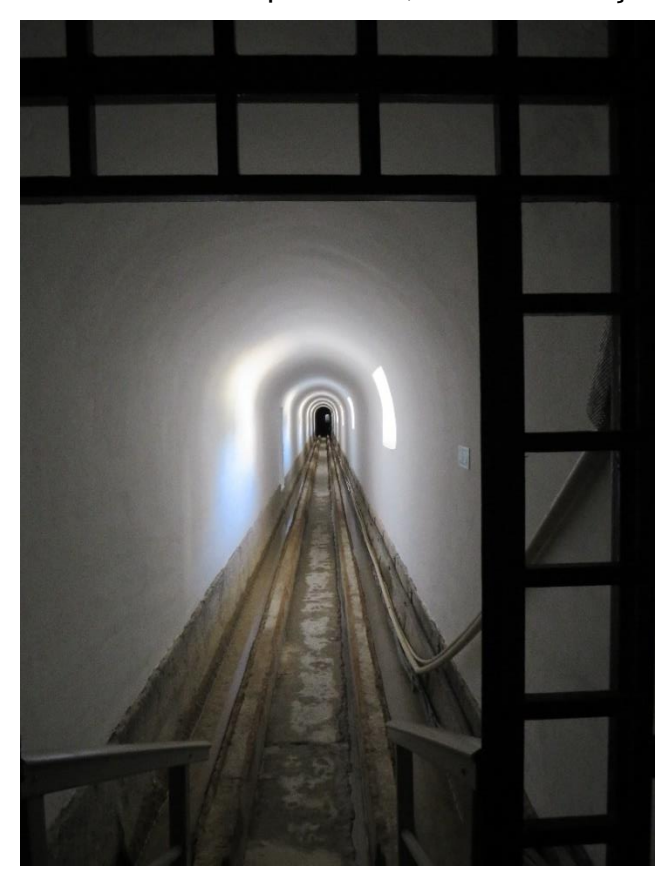


Foto 2 – Vista do interior do aqueduto de E para W pela entrada junto da esquina SE da Célula 1 do Reservatório do Arco

O arco superior autoportante, é composto por blocos de pedra argamassados, apoiado em paredes de bolos de pedra argamassada, com revestimento interior a argamassa de cal pintada. No interior do Aqueduto, na caleira N passam diversos cabos elétricos.

O estado de conservação deste troço do Aqueduto Principal é bom.



#### 2.3. Conclusões das Vistorias

Da análise pormenorizada às anomalias vistoriadas no exterior e interior do Troço do Aqueduto Principal visitado, concluímos que o mesmo apresentava algumas anomalias, a saber:



Foto 3 – Vista aérea do percurso do Aqueduto Principal inspecionado

- Verificaram-se danos nas cantarias dos elementos construtivos, nas no extradorso visível do Aqueduto, na envolvente da clarabóia localizada junto da porta Nº 2 da Travessa do Barbosa, por proliferação de limos, fungos, escorrências e avançada idade dos elementos construtivos;
- As juntas argamassadas do extradorso apresentavam degradação, pela avançada idade e contaminação de fungos.
- Foram registados ligeiros danos na pintura nas paredes e abóbada do aqueduto pelo uso, assim como, nas juntas duas caleiras laterais, e revestimento do piso em lajetas de pedra pela avançada idade.



Todas as patologias encontram-se devidamente registadas nos Anexos II deste Relatório.

Neste troço não foi efetuado o acompanhamento topográfico para obtenção da georreferenciação, pois a EPAL já possui o mesmo.

Contudo este troço do Aqueduto foi utilizado para acesso ao aqueduto localizado a NE com a cesso através da clarabóia SW.

Lisboa, 22 de agosto de 2024

José Emílio Drumond

José Emilio Drumond

(Eng.º Civil - Membro Sénior O.E. Nº 27238)

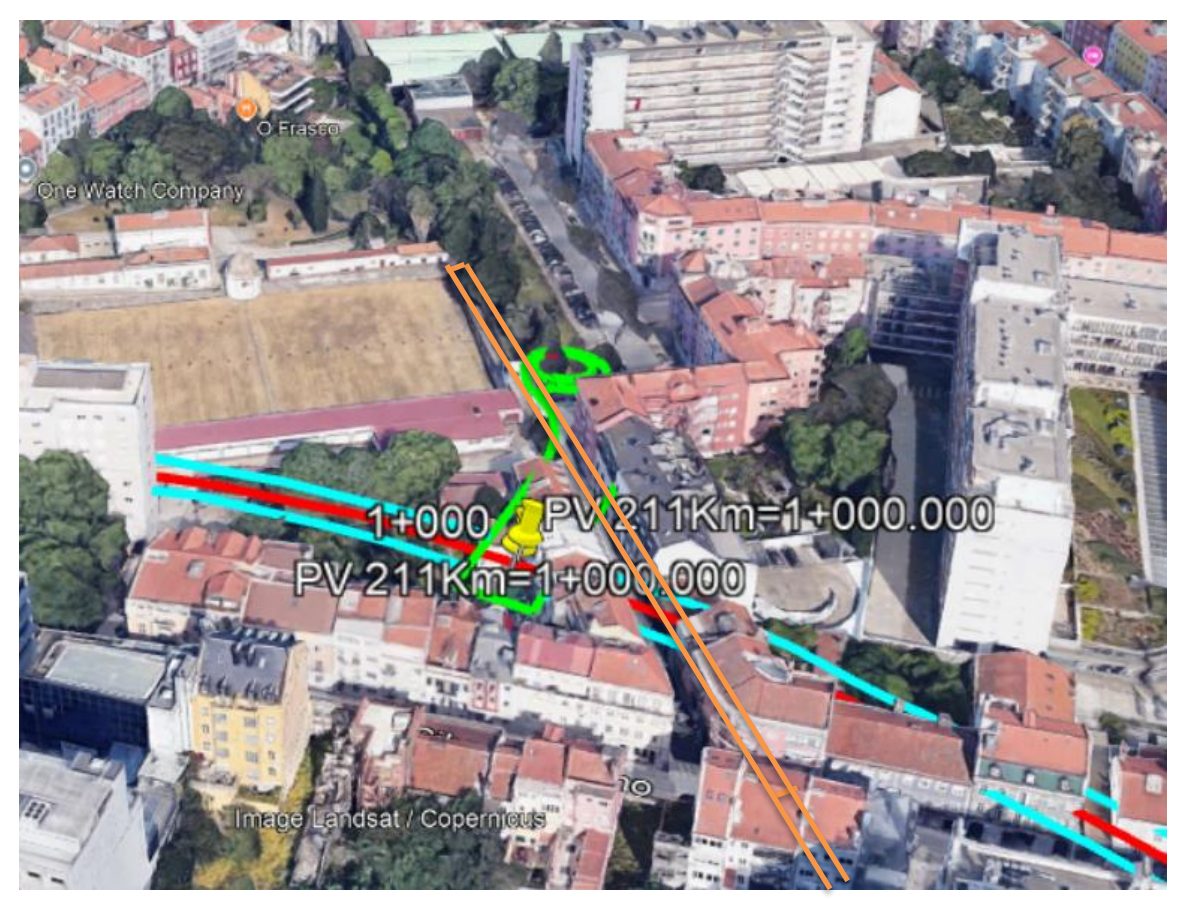


3 . ANEXOS



# ANEXO I – Foto aérea de Localização





OBRA AFECTA

Troço do Aqueduto Inspecionado



# ANEXO II - Levantamentos Fotográficos



NOMENCLATURAS					
FENDA HORIZONTAL	FH	Planos			
FENDA VERTICAL	FV	Verticais			
FENDA OBLÍQUA	FO				
FENDA TRANSVERSAL	FT	Planos Horizontais e Planos			
FENDA DIAGONAL	FD	de Inclinação Ligeira			
FENDA LONGITUDINAL	FL				
FENDA VERTICAL E OBLÍQUA	FV/O	Planos			
FENDA VERTICAL E HORIZONTAL	FV/H	Verticais			
FENDA HORIZONTAL E OBLÍQUA	FH/O				
FENDA TRANSVERSAL E LONGITUDINAL	FT/L	Planos Horizontais e Planos			
FENDA TRANSVERSAL E DIAGONAL	FT/D	de Inclinação Ligeira			
FENDA LONGITUDINAL E DIAGONAL	FL/D				
FENDA HORIZONTAL/ FENDA TRANSVERSAL	FH/FT	Extensão de Fendas nos			
FENDA VERTICAL/ FENDA TRANSVERSAL	FV/FT	planos Verticais,			
FENDA OBLÍQUA/ FENDA TRANSVERSAL	FO/FT	Horizontais e Inclinados			
	T				
FENDILHAÇÃO RENDILHADA	FR	Em qualquer Plano			
FENDILHAÇÃO GENERALIZADA	FG				
FISSURA	FISS				
	T				
Parede a Poente	W				
Parede a Nascente	E				
Parede a Sul	S				
Parede a Norte	N				



# INTERFERÊNCIA 327- AQUEDUTO INFANTE SANTO - LISBOA

Datas das Vistorias	30/09/2024 e 01/10/2024	
Morada	Calçada das Necessidades - Lisboa	
Ref	Aqueduto Infante Santo	
Técnico Inspetor	José Drumond	
Técnicos Externos	Eng.º Nuno Henriques; Eng.º Sérgio Bernardes;	
Acompanhantes/Tipo	Eng. Carlos Carvalho (EPAL); Sérgio Jesus (Topógrafo)	
Época/Data de Construção	Século XVIII	
Enquadramento Urbano	Aqueduto sob o Jardim Palácio das Necessidades	
Pé-direito	2,10m; Alt até arco =1,50m; Largura=1,10m	
Estrutura Resistente	Arco autoportante em alvenaria de pedra	
Revestimento de Alçados	Betão pintado	
Acesso ao Aqueduto	Escada pedra	
Data de últimas obras de conservação	Desconhecido	
Estado de Conservação	Mau	
Uso	Aqueduto com tubagem ferro fundido DN 400 mm	

O Técnico Responsável

Hosé Emilio Drumond



### Acesso Aqueduto

Foto Ref. IMG\_1226

Porta de acesso ao Aqueduto



### Acesso Aqueduto (Cont.)

Foto Ref. IMG\_1227

Via de acesso





Foto Ref. IMG\_1228

Danos nas escadas



### Acesso Aqueduto (Cont.)

Foto Ref. IMG\_1229

Danos nas paredes

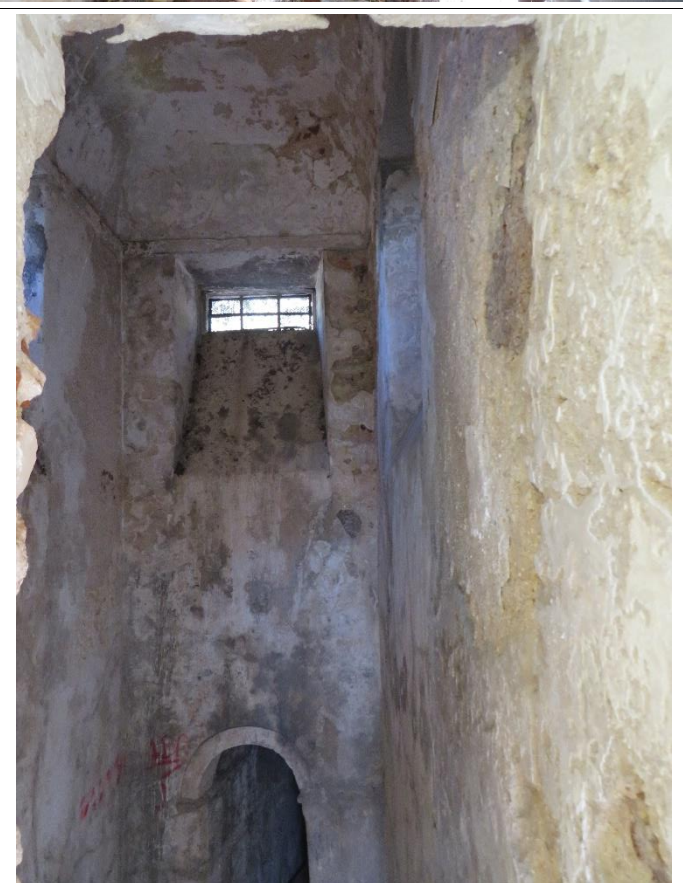




Foto Ref. IMG\_1233

Danos na escada



## Acesso Aqueduto (Cont.)

Foto Ref. IMG\_1265

Danos nas paredes

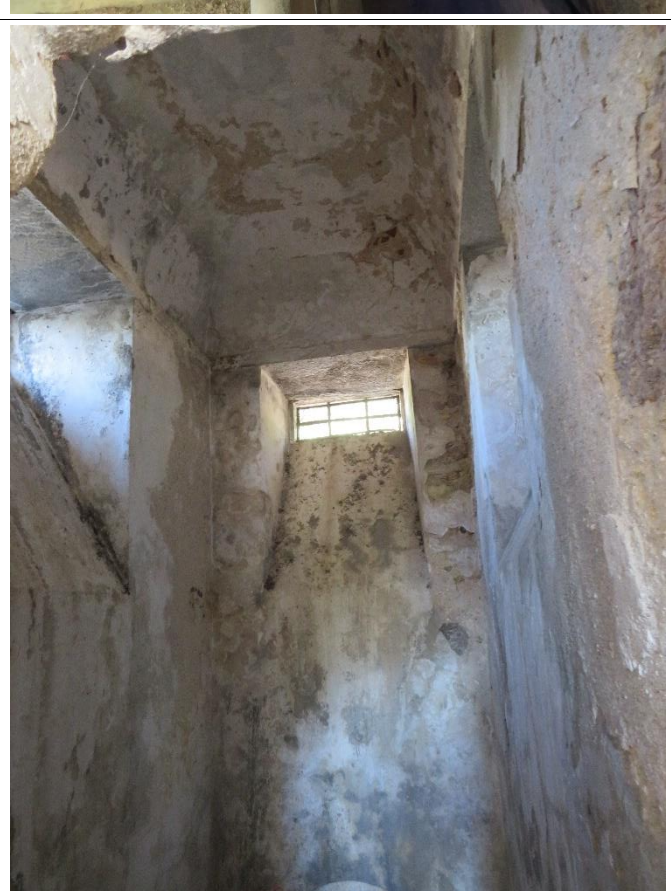




Foto Ref. IMG\_1266

Danos no teto por infiltrações



Acesso Aqueduto (Cont.)

Foto Ref. IMG\_1267

Danos na parede S e teto por infiltrações





Foto Ref. IMG\_1268

Danos nas paredes e teto



#### Acesso Aqueduto (Cont.)

Foto Ref. IMG\_1269

Fenda expressiva na parede S junto da porta





Foto Ref. IMG\_1270

Fenda expressiva no teto junto da porta E



#### Acesso Aqueduto (Cont.)

Foto Ref. IMG\_1271

Fenda expressiva na parede N junto da porta





Foto Ref. IMG\_1361

Porta de acesso ao túnel



#### Acesso Aqueduto (Cont.)

Foto Ref. IMG\_1362

Via de acesso (Calçada das Necessidades)





Foto Ref. IMG\_1383

Estado a zona superior do Aqueduto



#### Acesso Aqueduto (Cont.)

Foto Ref. IMG\_1384

Danos na ombreira da porta





Foto Ref. IMG\_1385

Danos na ombreira da porta



Acesso Aqueduto (Cont.)

Foto Ref. IMG\_1386

Danos na ombreira da porta





Foto Ref. IMG\_1387

Danos na ombreira da porta



#### Acesso Aqueduto (Cont.)

Foto Ref. IMG\_1388

Danos na ombreira da porta





Foto Ref. IMG\_1389

Danos na parede e cobertura



#### Acesso Aqueduto (Cont.)

Foto Ref. IMG\_1390

Estado da cobertura



#### RELATÓRIO TÉCNICO SOBRE LEVANTAMENTO TOPOGRÁFICO

Sérgio Filipe Marques de Jesus, morador na Rua do Penedo, 6-A 2640-734 Alcainça, cartão de cidadão n.º 10295781 9ZY6 e contribuinte nº 203 068 718, com a Certificação Profissional de Técnico de Topografia, conforme o Catálogo Nacional de Qualificações, em 30/04/2018, ao abrigo do Decreto-Lei 37/2015, de 10 Março, Sócio n. 3536 da ANT, declara que o trabalho de topografia sobre as interceções altimétricas dos aquedutos da EPAL sobre o trajeto da linha vermelha foram efetuadas recorrendo a um sistema integrado composto pelos seguintes equipamentos: sistema GNSS Trimble R8s e estação total Trimble S7 de 3". O levantamento topográfico encontra-se georreferenciado no sistema "ETRS89" e com cotas altimétricas referidas ao "marégrafo de Cascais".

Em vista das condições existentes no local e pela falta de "fecho" da 'poligonal' topográfica existe uma incerteza razoável das direções obtidas, mas as cotas altimétricas apresentadas terão uma certeza razoável.

Igualmente existe uma incerteza razoável dos dados fornecidos para os elementos planimétricos dos aquedutos da EPAL.

No troço **327** conclui-se que a cota altimétrica no túnel da EPAL para o eixo do túnel do metro está fora do túnel da EPAL, visto este estar interrompido, mas a cota para os 15m de afastamento é de 64,86m.

Mafra, 28 de setembro de 2024,



# RELATÓRIO DE INSPEÇÃO TÉCNICA RIT 440/2024 – Interferência 327



Requerente: Metro S. Sebastião - Alcântara, ACE

Aqueduto Vistoriado: Infante Santo - Calçada das Necessidades - Lisboa

Obra: RE 03.417 – Metropolitano de Lisboa - Linha Vermelha – Prolongamento

S. Sebastião - Alcântara

Dono-de-Obra: Metropolitano de Lisboa, E.P.E.

Tipo de Imóvel inspecionado: Aqueduto Infante Santo e edifício Acesso

Objeto da Vistoria: Inspeção Técnica Prévia ao edifício

Data das Visitas de Inspeção: 30 de setembro e 01 de outubro de 2024



# ÍNDICE

1. Conclusões da Inspeção	
1.1. Identificação	03
1.2. Notas Introdutórias	03
2. Desenvolvimento do Processo de Inspeção	
2.1. Enquadramento Urbano do Imóvel	04
2.2. Caracterização do Edificado	05
2.3. Conclusões das Vistorias	06
3. Anexos ao Processo	
ANEXO I – Foto Aérea de Localização	08
ANEXO II - Levantamentos Fotográficos	10



#### 1. Conclusões da Inspeção

#### 1.1. Identificação

Requerente: Metro S. Sebastião - Alcântara, ACE

Entidades Intervenientes: Eng.º Nuno Henriques (Dir. Geral ACE)

Eng.º Sérgio Bernardes (Tec. ACE – Spie B.)

Acompanhantes: Eng.º Carlos Carvalho da EPAL; Sérgio Jesus-Topógrafo

Imóvel da Vistoria: Aqueduto Infante Santo - Calç Necessidades - Lisboa

Dono-de-Obra: Metropolitano de Lisboa, E.P.E.

Tipo Imóvel inspecionado: Aqueduto seccionado

Objeto da Vistoria: Inspeção Técnica Prévia ao edificado

Datas das Vistorias: 30 de setembro e 1 de outubro de 2024

#### 1.2. Notas Introdutórias

O presente trabalho foi solicitado pelo ACE Requerente, tendo em vista uma Inspeção Técnica Prévia ao Aqueduto acima identificado, para monitorização do mesmo, durante a execução dos trabalhos de escavação da futura Estação Infante Santo e túnel para sul, conforme obrigação contratual.

Para tal, foram efetuadas vistorias ao exterior e interior Aqueduto, no dia 30 de setembro ao seu interior, nomeadamente aos pisos em cave, superiores e cobertura, acompanhados pelo Dir. Técnico e Técnico da Obra, durante as quais foram levantadas e analisadas as patologias visíveis no Muro, com maior incidência a Este, mais próximas das zonas a escavar na obra.

Dos dados levantados e das informações recolhidas, foi elaborado o seguinte Relatório de Inspeção, tendo como principal objetivo a zeragem das anomalias constatadas no edifício, através do seu registo fotográfico, o qual constitui do **Anexo II** deste Relatório.



### 2. Desenvolvimento do Processo de Inspeção

#### 2.1. Enquadramento Urbano do Imóvel

A zona envolvente é urbana consolidada, com construções de várias idades, desde o início do século passado, até construções recentes.



Foto 1 – Vista envolvente à zona superior do Aqueduto vistoriado

A zona adjacente, possui uma caracterização mista de habitação e equipamento (Palácio das Necessidades).

Note-se que é uma zona com média incidência de tráfego automóvel. O estacionamento em superfície é insuficiente, pois a maioria dos edifícios na zona não possuem estacionamento próprio, afetando os acessos à obra.



#### 2.2. Caracterização do Edificado

O Aqueduto construído no século XVIII, possui uma conduta em ferro fundido no interior fora de serviço, pois o mesmo foi seccionado nas laterais da Av. Infante Santo para a sua construção.



Foto 2 – Vista geral do troço E para a Av. Infante Santo

O arco superior e as paredes são em blocos de cantaria calcária, argamassadas possuindo um pé-direito de 2,10 m (com 1,50 m até o arco) e uma largura de 1,10m.

No seu interior localiza-se uma conduta em ferro fundido DN 400 mm.

.



#### 2.3. Conclusões das Vistorias

Da análise pormenorizada às anomalias vistoriadas no Aqueduto à data das visitas, concluímos que o mesmo apresentava várias patologias, a saber:

- Verificaram-se danos por infiltrações escorrências e uso no interior do troço E, junto até à escada que dá acesso à Av. Infante Santo;
- Foram registadas algumas anomalias nas paredes e teto do edifício de acesso, por infiltrações e fendas com origem em retrações de rebocos e elementos estruturais.
- Foi efetuado o levantamento topográfico georreferenciado em paralelo com a nossa Inspeção Técnica Prévia.

Todas as patologias encontram-se devidamente registadas nos Anexos II deste Relatório.

Lisboa, 01 de outubro de 2024

José Emílio Drumond

Hosé Emilio Drumond

(Eng.º Civil - Membro Sénior O.E. Nº 27238)



## 3 . ANEXOS



# ANEXO I – Foto aérea de Localização





OBRA AFECTA

Aquduto inspecionado



# ANEXO II - Levantamentos Fotográficos



NOMENCLATURAS		
FENDA HORIZONTAL	FH	Planos
FENDA VERTICAL	FV	Verticais
FENDA OBLÍQUA	FO	
FENDA TRANSVERSAL	FT	Planos Horizontais e Planos
FENDA DIAGONAL	FD	de Inclinação Ligeira
FENDA LONGITUDINAL	FL	de iliciliação Ligeira
FENDA LONGITODINAL	- FL	
FENDA VERTICAL E OBLÍQUA	FV/O	Planos
FENDA VERTICAL E HORIZONTAL	FV/H	Verticais
FENDA HORIZONTAL E OBLÍQUA	FH/O	
FENDA TRANSVERSAL E LONGITUDINAL	FT/L	Planos Horizontais e Planos
FENDA TRANSVERSAL E DIAGONAL	FT/D	de Inclinação Ligeira
FENDA LONGITUDINAL E DIAGONAL	FL/D	de memaşae zigena
FENDA HORIZONTAL/ FENDA TRANSVERSAL	FH/FT	Extensão de Fendas nos
FENDA VERTICAL/ FENDA TRANSVERSAL	FV/FT	planos Verticais,
FENDA OBLÍQUA/ FENDA TRANSVERSAL	FO/FT	Horizontais e Inclinados
FENDILHAÇÃO RENDILHADA	FR	Em qualquer Plano
FENDILHAÇÃO GENERALIZADA	FG	
FISSURA	FISS	
Parede a Poente	W	
Parede a Nascente	E	
Parede a Sul	S	
Parede a Norte	N	

#### RELATÓRIO TÉCNICO SOBRE LEVANTAMENTO TOPOGRÁFICO

Sérgio Filipe Marques de Jesus, morador na Rua do Penedo, 6-A 2640-734 Alcainça, cartão de cidadão n.º 10295781 9ZY6 e contribuinte nº 203 068 718, com a Certificação Profissional de Técnico de Topografia, conforme o Catálogo Nacional de Qualificações, em 30/04/2018, ao abrigo do Decreto-Lei 37/2015, de 10 Março, Sócio n. 3536 da ANT, declara que o trabalho de topografia sobre as interceções altimétricas dos aquedutos da EPAL sobre o trajeto da linha vermelha foram efetuadas recorrendo a um sistema integrado composto pelos seguintes equipamentos: sistema GNSS Trimble R8s e estação total Trimble S7 de 3". O levantamento topográfico encontra-se georreferenciado no sistema "ETRS89" e com cotas altimétricas referidas ao "marégrafo de Cascais".

Em vista das condições existentes no local e pela falta de "fecho" da 'poligonal' topográfica existe uma incerteza razoável das direções obtidas, mas as cotas altimétricas apresentadas terão uma certeza razoável.

Igualmente existe uma incerteza razoável dos dados fornecidos para os elementos planimétricos dos aquedutos da EPAL.

No troço **375** conclui-se que a cota altimétrica no túnel da EPAL para o eixo do túnel do metro está fora do túnel da EPAL, mas a cota para os 18m de afastamento é de 23,72m.

O chafariz das necessidades está a área dos 15m ao eixo do túnel do metro e a cota altimétrica desta área do chafariz é de 26,85m no solo.

Mafra, 28 de setembro de 2024,